



ESPAÑA



11 Número de publicación: 2 501 944

51 Int. Cl.:

C12P 19/02 (2006.01) C12P 19/14 (2006.01) C12P 7/10 (2006.01) C12N 9/42 (2006.01) C12N 15/56 (2006.01) C12N 15/62 (2006.01)

(12)

#### TRADUCCIÓN DE PATENTE EUROPEA

T3

- 96 Fecha de presentación y número de la solicitud europea: 15.12.2006 E 06830936 (8)
  97 Fecha y número de publicación de la concesión europea: 13.08.2014 EP 1963498
- (54) Título: Tratamiento de material celulósico y enzimas útiles en el mismo
- (30) Prioridad:

22.12.2005 FI 20051318 22.12.2005 US 753258 P

(45) Fecha de publicación y mención en BOPI de la traducción de la patente: 02.10.2014 (73) Titular/es:

ROAL OY (100.0%) TYKKIMÄENTIE 15 05200 RAJAMÄKI, FI

(72) Inventor/es:

VEHMAANPERÄ, JARI; ALAPURANEN, MARIKA; PURANEN, TERHI; SIIKA-AHO, MATTI; KALLIO, JARNO; JÄMSÄ, SATU; VOUTILAINEN, SANNI; HALONEN, TEEMU y VIIKARI, LIISA

(74) Agente/Representante:

DE ELZABURU MÁRQUEZ, Alberto

#### **DESCRIPCIÓN**

Tratamiento de material celulósico y enzimas útiles en el mismo

#### Campo de la invención

5

10

15

30

35

40

45

50

55

La presente invención se refiere a la producción de productos hidrolizados de azúcares a partir de material celulósico. Más precisamente, la invención se refiere a la producción de azúcares fermentables a partir de material lignocelulósico mediante conversión enzimática. Los azúcares fermentables son útiles p. ej. en la producción de bioetanol, o para otros fines. En particular, la invención se refiere a un método para el tratamiento de material celulósico con celobiohidrolasa, endoglucanasa, beta-glucosidasa, y opcionalmente xilanasa, y a preparaciones de enzimas y usos de las mismas. Se describen nuevos polipéptidos celulolíticos, los polinucleótidos que los codifican, y vectores y células anfitrionas que contienen los polinucleótidos. Adicionalmente, se describen otros usos de los polipéptidos y un método para prepararlos.

#### Antecedentes de la invención

Los productos hidrolizados de azúcares se pueden utilizar para la producción microbiana de una variedad de productos químicos finos o biopolímeros, tales como ácidos orgánicos, p. ej. ácido láctico, o etanol u otros alcoholes, p. ej. n-butanol, 1,3-propanodiol, o polihidroxialcanoatos (PHA). Los productos hidrolizados de azúcar también pueden servir como materia prima para otros procesos no microbianos, p. ej., para el enriquecimiento, aislamiento y purificación de azúcares de alto valor o varios procesos de polimerización. Uno de los principales usos de los productos hidrolizados de azúcares es en la producción de biocarburantes. La producción de bioetanol y/u otros productos químicos puede tener lugar en un proceso integrado en una biorrefinería (Wyman 2001).

Los recursos limitados de carburantes fósiles, y cantidades crecientes de CO2 liberado a partir de los mismos y causantes el fenómeno del efecto invernadero han planteado la necesidad de la utilización de la biomasa como fuente de energía renovable y limpia. Una tecnología prometedora alternativa es la producción de biocarburantes, es decir, etanol a partir de materiales celulósicos. En el sector del transporte los biocarburantes son, por el momento la única opción, que podría reducir las emisiones de CO2 en un orden de magnitud. Se puede utilizar el etanol en vehículos y sistemas de distribución existentes y por lo tanto no se requiere inversiones costosas en infraestructuras. Los azúcares derivados de materias primas renovables lignocelulósicas también se pueden utilizar como materias primas para una variedad de productos químicos que pueden reemplazar los productos químicos con una base oleosa.

La mayoría de los carbohidratos en las plantas están en la forma de lignocelulosa, que consiste esencialmente en celulosa, hemicelulosa, pectina y lignina. En un procedimiento de lignocelulosa a etanol el material lignocelulósico se pretrata en primer lugar químicamente o físicamente para hacer más accesible a la hidrólisis la fracción de celulosa. La fracción de celulosa se hidroliza a continuación para obtener azúcares que pueden ser fermentados por levadura a etanol. La lignina se obtiene como un co-producto principal que se puede utilizar como carburante sólido.

Los costes de producción de bioetanol son altos y la producción de energía es baja, y existe una continua búsqueda para hacer el proceso más económico. La hidrólisis enzimática se considera la tecnología más prometedora para la conversión de biomasa celulósica en azúcares fermentables. Sin embargo, la hidrólisis enzimática se utiliza solamente a una cantidad limitada a escala industrial, y especialmente cuando se utiliza material fuertemente lignificado tal como madera o residuos agrícolas, la tecnología no es satisfactoria. El coste de la etapa enzimática es uno de los principales factores económicos del procedimiento. Se han realizado esfuerzos para mejorar la eficacia de la hidrólisis enzimática del material celulósico (Badger 2002).

El documento US 2002/0192774 A1 describe un procedimiento continuo para la conversión de biomasa lignocelulósica sólida en productos carburantes combustibles. Después del pretratamiento mediante oxidación húmeda o explosión de vapor la biomasa se separa parcialmente en celulosa, hemicelulosa y lignina, y a continuación se somete a hidrólisis parcial utilizando una o más enzimas carbohidrasas (CE 3.2). Se proporciona como ejemplo Celluclast™, un producto comercial de Novo Nordisk A/S que contiene actividades celulasa y xilanasa.

El documento US 2004/0005674 A1 describe nuevas mezclas de enzimas que se pueden utilizar directamente sobre un sustrato de lignocelulosa, por medio de las cuales se pueden evitar los productos de desecho tóxicos formados durante los procedimientos de pretratamiento, y se puede ahorrar energía. La mezcla de enzimas sinérgicas contiene una celulasa y una enzima auxiliar tal como celulasa, xilanasa, ligninasa, amilasa, proteasa, lipidasa o glucuronidasa, o cualquier combinación de las mismas. Se considera que la celulasa incluye endoglucanasa (EG), beta-glucosidasa (BG) y celobiohidrolasa (CBH). Los ejemplos ilustran el uso de una mezcla de preparaciones de xilanasa y celulasa de *Trichoderma*.

Kurabi *et al.* (2005) han investigado la hidrólisis enzimática de abeto de Douglas por explosión de vapor y pretratado mediante organosoly con etanol por medio de celulasas fúngicas novedosas y comerciales. Éstos sometieron a

ensayo dos preparaciones de celulasa comerciales de *Trichoderna reesei*, y dos preparaciones novedosas producidas por cepas mutantes de *Trichoderma* sp. y *Penicillium* sp. La preparación de *Trichoderma* sp. mostró un rendimiento significativamente mejor que las otras preparaciones. Se creyó que el mejor rendimiento se debía al menos en parte a una actividad beta-glucosidasa significativamente mayor, que alivia la inhibición por producto de celobiohidrolasa y endoglucanasa.

El documento US 2004/0053373 A1 se refiere un método de conversión de celulosa en glucosa mediante tratamiento de un sustrato lignocelulósico pretratado con una mezcla de enzimas que comprende celulasa y una celobiohidrolasa I (CBHI) modificada. La CBHI ha sido modificada inactivando su dominio de unión a celulosa (CBD). Las ventajas de la modificación de CBHI son, p. ej. una mejor recuperación y una mayor tasa de hidrólisis con alta concentración de sustrato. La celulasa se selecciona del grupo que consiste en EG, CBH y BG. La CBHI se obtiene preferiblemente a partir de *Trichoderma*.

El documento US 2005/0164355 A1 describe un método para degradar material lignocelulósico con una o más enzimas celulolíticas en presencia de al menos un tensioactivo. También se pueden usar enzimas adicionales tales como hemicelulasas, esterasa, peroxidasa, proteasa, lacasa o una mezcla de las mismas. La presencia de agente tensioactivo aumenta la degradación de material lignocelulósico en comparación con la ausencia de tensioactivo. Las enzimas celulolíticas pueden ser cualquier enzima implicada en la degradación de lignocelulosa incluyendo CBH, EG y BG.

Existe un gran número de publicaciones que describen diversas celulasas y hemicelulasas.

5

10

15

40

45

50

55

Se describen celobiohidrolasas (CBHS) p. ej., en el documento WO 03/000941, que se refiere a enzimas CBHI obtenidas a partir de diversos hongos. No se proporcionan las propiedades fisiológicas de las enzimas, ni ningún ejemplo de sus usos. Hong et al. (2003b) caracteriza CBHI de *Thermoascus aurantiacus* producida en levadura. No se describen las aplicaciones de la enzima. Tuohy et al. (2002) describen tres formas de celobiohidrolasas de *Talaromyces emersonii*.

Se describen las endoglucanasas de la familia cel5 (EG fam 5) p. ej., en el documento WO 03/062409, que se refiere a composiciones que comprenden al menos dos enzimas termoestables para su uso en aplicaciones para forraje. Hong et al. (2003a) describen la producción de endo-β-1,4-glucanasa termoestable a partir de *T. aurantiacus* en levadura. No se explican las aplicaciones. El documento WO 01/70998 se refiere a β-glucanasas de *Talaromyces*. También describe β-glucanasas de *Talaromyces emersonii*. Se comentan las aplicaciones para alimentos, forrajes, bebidas, elaboración de la cerveza, y detergentes. No se menciona la hidrólisis de lignocelulosa. El documento WO 98/06858 describe beta-1,4-endoglucanasa de *Aspergillus niger* y comenta las aplicaciones para forraje y alimento de la enzima. El documento WO 97/13853 describe métodos para el escrutinio de fragmentos de ADN que codifican enzimas en genotecas de ADNc. La genoteca de ADNc es de origen de levadura o fúngico, preferiblemente de *Aspergillus*. La enzima es preferiblemente una celulasa. Van Petegem et al. (2002) describen la estructura 3D de una endoglucanasa de la familia cel5 de *Thermoascus aurantiacus*. Parry et al. (2002) describen el modo de acción de una endoglucanasa de la familia cel5 de *Thermoascus aurantiacus*.

Se describen endoglucanasas de la familia cel7 (EG fam 7) p. ej., en el documento US 5. 912. 157, que pertenece a la endoglucanasa de *Myceliphthora* y sus homólogos y las aplicaciones de la misma en detergentes, productos textiles, y pasta de celulosa. El documento US 6. 071. 735 describe celulasas que muestran una alta actividad endoglucanasa en condiciones alcalinas. Se comentan los usos como detergente, en aplicaciones de pasta de celulosa y papel, y textiles. No se menciona el bioetanol. El documento US 5. 763. 254 describe enzimas que degradan celulosa/hemicelulosa y que tienen residuos de aminoácidos conservados en CBD.

Se describen endoglucanasas de la familia cel45 (EG fam 45) p. ej., en el documento US 6. 001. 639, que se refiere a las enzimas que tienen actividad endoglucanasa y que tienen dos secuencias de aminoácidos conservadas. Se comentan en general los usos en aplicaciones textiles, detergentes, y de pasta de celulosa y papel y se menciona el tratamiento de material lignocelulósico pero no se proporcionan ejemplos. El documento WO 2004/053039 se refiere a las aplicaciones detergentes de las endoglucanasas. El documento US 5. 958. 082 describe el uso de endoglucanasa, especialmente de *Thielavia terrestris* en aplicaciones textiles. El documento EP 0495258 se refiere a composiciones detergentes que contienen celulasa de *Humicola*. El documento US 5. 948. 672 describe una preparación de celulasa que contiene endoglucanasa, especialmente de *Humicola* y su uso en aplicaciones textiles y de pasta de celulosa. No se menciona la hidrólisis de lignocelulosa.

Una pequeña cantidad de beta-glucosidasa (BG) mejora la hidrólisis de la biomasa a glucosa hidrolizando la celobiosa producida por celobiohidrolasas. La conversión de celobiosa en glucosa es normalmente la principal etapa limitante de la velocidad. Se describen beta-glucosidasas, p. ej. en el documento US 2005/0214920, que se refiere a BG de *Aspergillus fumigatus*. La enzima ha sido producida en *Aspergillus oryzae* y *Trichoderma reesei*. Se comenta en general el uso de la enzima en la degradación de biomasa o en aplicaciones detergentes, pero no se ilustra. El documento WO 02/095014 describe una enzima de *Aspergillus oryzae* que tiene actividad celobiasa. Se comenta en general el uso en la producción de etanol a partir de biomasa, pero no se ilustra. El documento WO 2005/074656 describe polipéptidos que tienen actividad potenciadora celulolítica derivada, p. ej., de *T. aurantiacus*; *A. fumigatus*; *T. terrestris* y *T. aurantiacus*. El documento WO 02/26979 describe el procesamiento enzimático de material vegetal.

El documento US 6022725 describe la clonación y la amplificación del gen de la beta-glucosidasa de *Trichoderma reesei*, y el documento US 6103464 describe un método para detectar el ADN que codifica una beta-glucosidasa de un hongo filamentoso. No se proporcionan ejemplos de aplicación.

Se describen xilanasas p. ej., en el documento FR 2786784, que se refiere a una xilanasa termoestable útil, p. ej., en el tratamiento de forraje animal y en la fabricación de pan. La enzima deriva de un hongo termófilo, concretamente del género *Thermoascus*.

El documento US 6197564 describe enzimas que tienen actividad de xilanasa, y obtenidas a partir de *Aspergillus aculeatus*. Se ilustra su aplicación en panadería. El documento WO 02/24926 se refiere a xilanasas de *Talaromyces*. Se proporcionan ejemplos para forraje y panadería. El documento WO 01/42433 describe xilanasa termoestable de *Talaromyces emersonii* para uso en aplicaciones de alimentación y forraje.

Las enzimas celulolíticas mejor investigadas y más ampliamente aplicadas de origen fúngico derivan de *Trichoderma reesei* (el anamorfo de *Hypocrea jecorina*). Por consiguiente casi la mayor parte de las celulasas fúngicas disponibles en el mercado derivan de *Trichoderma reesei*. Sin embargo, la mayor parte de las celulasas de hongos menos conocidos no han sido aplicadas en los procedimientos de importancia práctica tales como la degradación de material celulósico, incluyendo lignocelulosa.

Existe una necesidad continua de nuevos métodos de degradación de sustratos celulósicos, en particular sustratos lignocelulósicos, y de nuevas enzimas y mezclas de enzimas, que mejoren la eficiencia de la degradación. También hay una necesidad de procesos y enzimas, que funcionen a altas temperaturas, permitiendo de ese modo el uso de una elevada consistencia de biomasa y conduciendo a elevadas concentraciones de azúcar y etanol. Este enfoque puede conducir a ahorros significativos en los costes de energía e inversiones. La elevada temperatura también disminuye el riesgo de contaminación durante la hidrólisis. La presente invención tiene como objetivo satisfacer al menos parte de estas necesidades.

#### Breve descripción de la invención

Sorprendentemente, se ha descubierto ahora que las enzimas celulolíticas, y especialmente las celobiohidrolasas obtenibles a partir de *Thermoascus aurantiacus*, *Acremonium thermophilum*, o *Chaetomium thermophilum* son particularmente útiles en la hidrólisis de material celulósico. Además de las celobiohidrolasas estos hongos también tienen endoglucanasas, beta-glucosidasas y xilanasas que son muy adecuadas para degradar material celulósico. Las enzimas son cinéticamente muy eficaces en un amplio intervalo de temperaturas, y aunque tienen una alta actividad a altas temperaturas, también son muy eficaces a las temperaturas de hidrólisis convencionales. Esto las convierte en extremadamente bien adaptadas para variar procesos de hidrólisis de sustratos celulósicos llevados a cabo tanto a temperaturas convencionales y a temperaturas elevadas.

La presente invención proporciona un método para el tratamiento de material celulósico con celobiohidrolasa, endoglucanasa y beta-glucosidasa, en donde dicha celobiohidrolasa es una proteína de fusión como se define en la reivindicación 1.

La invención proporciona adicionalmente una preparación enzimática que comprende celobiohidrolasa, endoglucanasa y beta-glucosidasa, en donde dicha celobiohidrolasa es una proteína de fusión como se define en la reivindicación 13.

Asimismo se proporciona el uso de dicha preparación de enzima para degradar material celulósico, así como el uso de dicho método en un procedimiento para preparar etanol a partir de material celulósico.

- 40 Se describen polipéptidos que comprenden un fragmento que tiene actividad celulolítica y que se seleccionan del grupo que consiste en:
  - a) un polipéptido que comprende una secuencia de aminoácidos que tiene una identidad de al menos 66% con el SEQ ID NO: 4, una identidad de 79% con el SEQ ID NO: 6, una identidad de 78% con el SEQ ID NO: 12, una identidad de 68% con el SEQ ID NO: 14, una identidad de 72% con el SEQ ID NO: 16, una identidad de 68% con el SEQ ID NO: 20, una identidad de 74% con el SEQ ID NO: 22 o 24, o una identidad de 78% con el SEQ ID NO: 26;
  - b) una variante de a) que comprende un fragmento que tiene actividad celulolítica;

у

45

10

15

20

c) un fragmento de a) o b) que tiene actividad celulolítica.

También se describen polinucleótidos aislados seleccionados del grupo que consiste en:

- a) una secuencia de nucleótidos del SEQ ID NO: 3, 5, 11, 13, 15, 19, 21, 23 o 25, o una secuencia que codifica dichos polipéptidos;
  - b) una hebra complementaria de a)

- c) un fragmento de a) o b) que comprende al menos 20 nucleótidos; y
- d) una secuencia que es degenerada como resultado del código genético con respecto a una cualquiera de las secuencias definidas en a), b) o c).
- Se describen un vector, que comprende dicho polinucleótido como secuencia heteróloga, y una célula anfitriona que comprende dicho vector. Asimismo se describen cepas de *Escherichia coli* que tienen el número de acceso DSM 16728, DSM 16729, DSM 17324, DSM 17323, DSM 17729, DSM 16726, DSM 16725, DSM 17325 o DSM 17667 también se incluyen en la invención.
  - Se describen preparaciones de enzimas que comprenden al menos uno de los nuevos polipéptidos, y el uso de dicho polipéptido o preparación de enzima en la industria del combustible, textil, detergente, pasta de celulosa y papel, alimentos, forraje o bebidas.
  - Adicionalmente se describe un método para preparar un polipéptido que comprende un fragmento que tiene actividad celulolítica y que se selecciona del grupo que consiste en:
  - a) un polipéptido que comprende una secuencia de aminoácidos que tiene una identidad de al menos 66% con el SEQ ID NO: 4, una identidad de 79% con el SEQ ID NO: 6, una identidad de 78% con el SEQ ID NO: 12, una identidad de 68% con el SEQ ID NO: 14, una identidad de 72% con el SEQ ID NO: 16, una identidad de 68% con el SEQ ID NO: 20, una identidad de 74% con el SEQ ID NO: 22 o 24, o una identidad de 78% con el SEQ ID NO: 26;
  - b) una variante de a) que comprende un fragmento que tiene actividad celulolítica;

у

10

15

25

- c) un fragmento de a) o b) que tiene actividad celulolítica,
- comprendiendo dicho método transformar una célula anfitriona con un vector que codifica dicho polipéptido, y cultivar dicha célula anfitriona en condiciones que permiten la expresión de dicho polipéptido, y opcionalmente recuperar y purificar el polipéptido producido.
  - También se describe adicionalmente un método de tratamiento de material celulósico con un medio de cultivo gastado de al menos un microorganismo capaz de producir un polipéptido como se ha definido anteriormente, en donde el método comprende hacer reaccionar el material celulósico con el medio de cultivo gastado para obtener material celulósico hidrolizado.

Las realizaciones específicas de la invención se exponen en las reivindicaciones dependientes.

#### Breve descripción de los dibujos

- Figura 1. Dependencias de la temperatura de las actividades celulasa y beta-glucosidasa en los sobrenadantes de las seis cepas fúngicas sometidas a ensayo. El tiempo de incubación en el análisis fue de 60 min a la temperatura dada, el pH del análisis fue de 5,0 (actividad MUL) o 4,8 (CMCasa o BGU). La actividad obtenida a 60°C se establece como la actividad relativa del 100%. A) *Thermoascus aurantiacus* ALKO4239, B) *Thermoascus aurantiacus* ALKO4242, C) *Acremonium thermophilum* ALKO4245, D) *Talaromyces thermophilus* ALKO4246, E) *Chaetomium thermophilum* ALKO4261, F) *Chaetomium thermophilum* ALKO4265.
- Figura 2. Imagen esquemática de los casetes de expresión utilizados en la transformación de protoplastos de *Trichoderma reesei* para producir las proteínas fúngicas recombinantes. Los genes recombinantes estuvieron bajo el control del promotor de *cbh*1 (prom *cbh*1) de *T. reesei* (*cel*7A) y la terminación de la transcripción se garantizó utilizando la secuencia terminadora de *CBH*1 (term *CBH*1) de *T. reesei*. Se incluyó el gen *amd*S como marcador de la transformación.
- Figura 3. A) pH óptimos de las preparaciones de proteínas recombinantes CBH/Cel7 de Thermoascus aurantiacus ALKO4242, Chaetomium thermophilum ALKO4265 y Acremonium thermophilum ALKO4245 determinados sobre 4-metilumbeliferil-β-D-lactósido (MUL) a 50°C, 10 min. Los resultados se proporcionan como la media (± DT) de tres mediciones separadas. B) estabilidad térmica de las preparaciones de proteínas recombinantes CBH/Cel7 de Thermoascus aurantiacus ALKO4242, Chaetomium thermophilum ALKO4265 y Acremonium thermophilum ALKO4245 determinada sobre 4-metilumbeliferil-β-D-lactósido (MUL) al pH óptimo durante 60 min. Los resultados se proporcionan como la media (± DT) de tres mediciones separadas. Ambas reacciones contenían BSA (100 μg/ml) como estabilizador.
- Figura 4. Hidrólisis de celulosa cristalina (Avicel) por las celobiohidrolasas recombinantes purificadas a 45°C. Concentración de sustrato 1% (p/v), pH 5,0, concentración de enzima 1,4 μM. A) celobiohidrolasas que albergan un CBD, B) celobiohidrolasas (núcleo) sin un CBD.

- Figura 5. Hidrólisis de celulosa cristalina (Avicel) por las celobiohidrolasas recombinantes purificadas a 70°C. Concentración de sustrato 1% (p/v), pH 5,0, concentración de enzima 1,4 M. A) celobiohidrolasas que albergan un CBD, B) celobiohidrolasas (núcleo) sin un CBD.
- Figura 6. A) Se determinó la dependencia del pH de la actividad EG\_40/Cel45A, de tipo EG\_40/Cel45B de *Acremonium*, y EG\_28/Cel5A de *Thermoascus* producida de manera heteróloga con sustrato de CMC en un reacción de 10 min a 50°C. B) Se determinó el óptimo de temperatura de EG\_40/Cel45A, de tipo EG\_40/Cel45B de *Acremonium* y EG\_28/Cel5A de *Thermoascus* a pH 5,5, 4,8, y 6,0, respectivamente. La reacción que contenía CMC como sustrato se llevó a cabo durante 60 minutos, excepto para EG\_28/Cel5A durante 10 min. Se añadió BSA (100 μg/ml) como estabilizador.
- Figura 7. A) Se determinó la dependencia del pH de la actividad de BG\_101/Cel3A de *Acremonium*, BG\_76/Cel3A de *Chaetomium*, y BG\_81/Cel3A de *Thermoascus* producida de manera heteróloga con un sustrato de 4-nitrofenil-β-D-glucopiranósido en una reacción de 10 min a 50°C. B) Se determinó el óptimo de temperatura de β3G\_101/Cel3A de *Acremonium*, βG\_76/Cel3A de *Chaetomium*, y βG\_81/Cel3A de *Thermoascus* a pH 4,5, 5,5, y 4,5, respectivamente. La reacción que contenía 4-nitrofenil-β-D-glucopiranósido como sustrato se llevó a cabo durante 60 minutos, se añadió BSA (100 μg/ml) como estabilizador.
  - Figura 8. A) Se determinó la dependencia del pH de la actividad xilanasa XYN\_30/Xyn10A *Thermoascus* producida de manera heteróloga con sustrato de xilano de abedul en una reacción de 10 min a 50°C. B) Se determinó el óptimo de temperatura de XYN\_30/Xyn10A a pH 5,3 en una reacción de 60 min, se añadió BSA (100 μg/ml) como estabilizador.
- Figura 9. Hidrólisis de fibra de pícea sometida a explosión de vapor de agua lavada (10 mg/ml) con una mezcla de enzimas termófilas (MEZCLA 1) y enzimas de *T. reesei* a 55 y 60°C. La dosificación de enzima se administrar mediante FPU/g de materia seca de sustrato, FPU analizado a 50°C, pH 5. La hidrólisis se llevó a cabo durante 72 horas a pH 5, mezclando. Los resultados se proporcionan como la media (± DT) de tres mediciones separadas.
- Figura 10. Hidrólisis rastrojo de maíz sometido a explosión de vapor de agua (10 mg/ml) con una mezcla de enzimas termófilas (MEZCLA 2) y enzimas de *T. reesei* a 45, 55 y 57,5°C. La dosificación de enzima para la "MEZCLA 2" fue de 5 FPU/g de materia seca de sustrato y para las enzimas de *T. reesei* de 5 FPU/g de materia seca de Celluclast con un suplemento de 100 nkat/g de materia seca de Novozym 188 (la actividad en papel de filtro se analizó a 50°C, pH 5). La hidrólisis se llevó a cabo durante 72 horas a pH 5, mezclando. Los resultados se dan como la media (± DT) de tres mediciones separadas. El sustrato contenía azúcares reductores solubles (aprox. 0,7 mg/ml). Este contenido de azúcar de fondo se restó de los azúcares reductores formados durante la hidrólisis.
  - Figura 11. Hidrólisis rastrojo de maíz sometido a explosión de vapor de agua (10 mg/ml) con una mezcla de enzimas termófilas que contiene una nueva xilanasa termófila de *Thermoascus aurantiacus* (MEZCLA 3) y enzimas de *T. reesei* a 45, 55 y 60°C. La dosificación para la enzima fue para la "MEZCLA 3" de 5 FPU/g de materia seca de sustrato y para las enzimas de *T. reesei* de 5 FPU/g de materia seca de Celluclast con un suplemento de 100 nkat/g de materia seca de Novozym 188 (la actividad en papel de filtro se analizó a 50°C, pH 5). La hidrólisis se llevó a cabo durante 72 horas a pH 5, mezclando. Los resultados se proporcionan como la media (± DT) de tres mediciones separadas. El sustrato contenía azúcares reductores solubles (aprox. 0,7 mg/ml). Este contenido de azúcar de fondo se restó de los azúcares reductores formados durante la hidrólisis.
- Figura 12. Hidrólisis fibra de pícea sometida a explosión de vapor de agua (10 mg/ml) con una mezcla de enzimas termófilas que contiene una nueva xilanasa termófila XYN\_30/Xyn10A de *Thermoascus aurantiacus* (MEZCLA 3) y enzimas de *T. reesei* a 45, 55 y 60°C. La dosificación de enzima para la "MEZCLA 3" fue de 5 FPU/g de materia seca de sustrato y para las enzimas de *T. reesei* de 5 FPU/g de materia seca de Celluclast con un suplemento de 100 nkat/g de materia seca de Novozym 188 (la actividad en papel de filtro se analizó a 50°C, pH 5). La hidrólisis se llevó a cabo durante 72 horas a pH 5, mezclando. Los resultados se proporcionan como la media (± DT) de tres mediciones separadas.
  - Figura 13. Efecto de la glucosa sobre la actividad de diferentes preparaciones de  $\beta$ -glucosidasa. El análisis convencional utilizando p -nitrofenil- $\beta$ -D-glucopiranósido como sustrato se llevó a cabo en presencia de glucosa en la mezcla de análisis. La actividad se presenta como el porcentaje de la actividad obtenida sin glucosa.
- Figura 14. Actividades FPU de las mezclas de enzimas a temperaturas de 50°C a 70°C, presentadas como un porcentaje de la actividad en condiciones convencionales (50°C, 1 h).
  - Figura 15. Actividad celulasa relativa de dos cepas de *T. reesei* diferentes cultivadas en medios que contienen Nutriosa sin tratar (N0) o Nutriosa pretratada con BG\_81/Cel3A (NBG81) como fuente de carbono.

#### Descripción detallada de la invención

35

55

La celulosa es el principal componente estructural de las plantas superiores. Proporciona a las células vegetales una alta resistencia a la tracción ayudándolas a resistir la tensión mecánica y la presión osmótica. La celulosa es un β-1,4-glucano compuesto por cadenas lineales de residuos de glucosa unidos por enlaces glicosídicos β-1,4. La

celobiosa es la unidad repetitiva más pequeña de la celulosa. En las paredes celulares la celulosa está empaquetada en láminas orientadas de manera diversa, que están incluidas en una matriz de hemicelulosa y lignina. La hemicelulosa es un grupo heterogéneo de polímeros carbohidratados que contiene principalmente diferentes glucanos, xilanos y mananos. La hemicelulosa consiste en una cadena principal lineal con residuos unidos por β-1,4 sustituidos con cadenas laterales cortas que contienen normalmente acetilo, glucuronilo, arabinosilo y galactosilo. La hemicelulosa puede estar entrecruzada químicamente con lignina. La lignina es un polímero entrecruzado complejo de unidades de p-hidroxifenilpropano diversamente sustituido que proporciona resistencia a la pared celular para soportar la tensión mecánica, y también protege la celulosa de la hidrólisis enzimática.

La lignocelulosa es una combinación de celulosa y hemicelulosa y polímeros de unidades de fenol propanol y lignina.

Es físicamente dura, densa y e inaccesible y el material bioquímico más abundante en la biosfera. Los materiales que contienen lignocelulosa son, por ejemplo: virutas de madera dura y de madera blanda, pasta de madera, serrín y residuos industriales de forestales y de madera; biomasa agrícola tal como paja de cereales, pasta de remolacha azucarera, rastrojo y mazorcas de maíz, bagazo de caña de azúcar, tallos, hojas, cáscaras, cascarillas, y similares; productos de desecho tales como residuos sólidos urbanos, papel de periódico y de oficina de desecho, residuos de la molienda de, p. ej. cereales; cultivos destinados a la producción de energía (p. ej., sauce, chopo, pasto varilla o alpiste arundináceo, y similares). Los ejemplos preferidos son el rastrojo de maíz, el pasto varilla, la paja de cereales, el bagazo de caña de azúcar y los materiales derivados de la madera.

"Material celulósico" según se utiliza en la presente memoria, se refiere a cualquier material que comprende celulosa, hemicelulosa y/o lignocelulosa como componente significativo. "Material lignocelulósico" significa cualquier material que comprende lignocelulosa. Tales materiales son, p. ej. materiales vegetales tales como madera incluyendo madera blanda y dura, cultivos herbáceos, residuos agrícolas, residuos de pasta de celulosa y de papel, papel usado, residuos de la industria alimenticia y de forraje, etc. Las fibras textiles, como el algodón, las fibras derivadas de algodón, lino, cáñamo, yute y fibras celulósicas elaboradas por el hombre como modal, viscosa, liocel son ejemplos específicos de materiales celulósicos.

20

40

45

El material celulósico es degradado en la naturaleza por diversos organismos diferentes, incluyendo bacterias y hongos. La celulosa es degradada típicamente por diferentes celulasas que actúan sucesivamente o simultáneamente. La conversión biológica de celulosa en glucosa requiere generalmente tres tipos de enzimas hidrolíticas: (1) Endoglucanasas que cortan los enlaces glicosídicos beta-1,4 internos; (2) Exocelobiohidrolasas que cortan el disacárido celobiosa del extremo de la cadena polimérica de celulosa; (3) Beta-1,4-glucosidasas que hidrolizan la celobiosa y otros celo-oligosacáridos cortos a glucosa. En otras palabras, los tres principales grupos de celulasas son celobiohidrolasas (CBH), endoglucanasas (EG) y beta-glucosidasas (BG).

La degradación de los sustratos que contienen celulosa más complejos requiere una amplia gama de enzimas diferentes. Por ejemplo la lignocelulosa es degradada por las hemicelulasas, como xilanasas y mananasas. La hemicelulasa es un enzima que hidroliza la hemicelulosa.

Las "enzimas celulolíticas" son enzimas que tienen "actividad celulolítica", lo que significa que son capaces de hidrolizar sustratos celulósicos o derivados de los mismos a sacáridos más pequeños. Por lo tanto, las enzimas celulolíticas incluyen tanto celulasas como hemicelulasas. Celulasas según se utiliza en la presente memoria incluyen celobiohidrolasas, endoglucanasas y beta-glucosidasas.

T. reesei tiene un sistema de celulasa bien conocido y eficaz, que contiene dos CBH, dos EG y BG principales y varias minoritarias. La CBHI de T. reesei (Cel7A) corta el azúcar desde el extremo reductor de la cadena de celulosa, tiene un dominio de unión a celulosa C-terminal (CBD) y puede constituir hasta 60% de la proteína secretada total. La CBHII de T. reesei (Cel6A) corta el azúcar desde el extremo no reductor de la cadena de celulosa, tiene un dominio de unión a celulosa N-terminal y pueden constituir hasta 20% de la proteína secretada total. Las endoglucanasas EGI (Cel7B), y EGV (Cel45A) tienen un CBD en su extremo C-terminal, EGII (Cel5A) tiene un CBD N-terminal y EGIII (Cel12A) no tiene ningún dominio de unión a celulosa. La CBHI, CBHII, EGI y EGII también se denominan "celulasas principales de Trichoderma" que comprenden juntas 80-90% de las proteínas secretadas totales. Los expertos en la técnica saben que una enzima puede ser activa sobre diversos sustratos y las actividades enzimáticas se pueden medir utilizando diferentes sustratos, métodos y condiciones. La identificación de las diferentes actividades celulolíticas son comentadas, p. ej., por Van Tilbeurgh et al. 1988.

Además de un dominio/núcleo catalítico que expresa la actividad celulolítica, las enzimas celulolíticas pueden comprender uno o más dominios de unión a celulosa (CBD), también denominados dominios/módulos de unión a carbohidratos (CBD/CBM), que pueden estar localizados en el extremo N o C del dominio catalítico. Los CBD tienen actividad de unión a carbohidratos y median la unión de la celulasa a la celulosa cristalina, pero tienen poco o ningún efecto sobre la actividad hidrolítica de celulasa de la enzima sobre sustratos solubles. Estos dos dominios están conectados típicamente a través de una región conectora flexible y altamente glicosilada.

"Celobiohidrolasa" o "CBH" según se utiliza en la presente memoria, se refiere a enzimas que escinden la celulosa desde el extremo de la cadena de glucosa y producen principalmente celobiosa. También se denominan 1,4-beta-D-glucanocelobiohidrolasas o celulosa 1,4-beta-celobiosidasas. Hidrolizan los enlaces 1,4-beta-D-glicosídicos desde los extremos reductores o no reductores de un polímero que contiene dichos enlaces, tales como celulosa, por

medio de lo cual se libera celobiosa. Se han aislado dos CBH diferentes de *Trichoderma reesei*, CBHI y CBHII. Estas tienen una estructura modular que consiste en un dominio catalítico conectado a un dominio de unión a celulosa (CBD). También existen celobiohidrolasas en la naturaleza que carecen de CBD.

- "Endoglucanasa" o "EG" se refiere a enzimas que cortan los enlaces glicosídicos internos de la cadena de celulosa. Se clasifican como EC 3.2.1.4. Son 1,4-beta-D-glucano-4-glucanohidrolasas y catalizan la endohidrólisis de los enlaces 1,4-beta-D-glicosídicos en polímeros de glucosa tales como la celulosa y sus derivados. Algunas endoglucanasas de origen natural tienen un dominio de unión a celulosa, mientras otras no. Algunas endoglucanasas también tienen actividad xilanasa (Bailey *et al.*, 1993).
- "Beta-glucosidasa" o "BG" o "βG" se refiere a enzimas que degradan oligosacáridos solubles pequeños incluyendo celobiosa a glucosa. Se clasifican como EC 3.2.1.21. Son beta-D-glucósido glucohidrolasas, que típicamente catalizan la hidrólisis de residuos de beta-D-glucosa no reductores terminales. Estas enzimas reconocen oligosacáridos de glucosa. Los sustratos típicos son celobiosa y celotriosa. La celobiosa es un inhibidor de las celobiohidrolasas, por tanto la degradación de la celobiosa es importante para superar la inhibición por producto final de celobiohidrolasas.
- Las xilanasas son enzimas que son capaces de reconocer e hidrolizar la hemicelulosa. Incluyen enzimas tanto exohidrolíticas como endohidrolíticas. Típicamente tienen actividad endo-1,4-beta-xilanasa (EC 3.2.1.8) o beta-D-xilosidasa (EC 3.2.1.37) que rompe la hemicelulosa a xilosa. "Xilanasa" o "Xyn" en relación con la presente invención se refiere especialmente a una enzima clasificada como EC 3.2.1.8 que hidroliza polímeros de xilosa de sustratos lignocelulósicos o xilano purificado.
- Además de esto, las celulasas se pueden clasificar en varias familias de glicosil hidrolasas de acuerdo con su secuencia primaria, apoyada por el análisis de la estructura tridimensional de algunos miembros de la familia (Henrissat 1991, Henrissat y Bairoch 1993, 1996). Algunas glicosilhidrolasas son enzimas multifuncionales que contienen dominios catalíticos que pertenecen a diferentes familias de glicosilhidrolasas. La familia 3 consiste en beta-glucosidasas (EC 3.2.1.21) tales como BG\_81 de Ta, BG\_101 de At y BG\_76 de Ct descritas en la presente memoria. La familia 5 (antes conocida como celA) consiste principalmente en endoglucanasas (EC 3.2.1.4) como EG\_28 de Ta descrita en la presente memoria. La familia 7 (antes familia de celulasa CELC) contiene endoglucanasas (EC 3.2.1.4) y celobiohidrolasas (EC 3.2.1.91) tales como EG\_54 de Ct, CBH de Ta, CBH\_A de At, CBH\_C de At y CBH de Ct descritas en la presente memoria. La familia 10 (antes CELF) consiste principalmente en xilanasas (EC 3.2.1.8) tales como XYN\_30 de Ta y XYN\_60 de At descritas en la presente memoria. La familia 45 (antes CELK) contiene endoglucanasas (EC 3.2.1.4), tales como la EG\_40 de At y de tipo EG\_40 de At descritas en la presente memoria.
  - Las enzimas celulolíticas útiles para hidrolizar material celulósico son obtenibles de *Thermoascus aurantiacus*, *Acremonium thermophilum*, o *Chaetomium thermophilum*. "Obtenible de" significa que se pueden obtener de dichas especies, pero no excluye la posibilidad de obtenerlas de otras fuentes. En otras palabras, se pueden originar a partir de cualquier organismo, incluidas plantas. Preferiblemente se originan a partir de microorganismos, por ejemplo bacterias u hongos. Las bacterias pueden ser, p. ej., de un género seleccionado entre *Bacillus, Azospirillum* y *Streptomyces*. Más preferiblemente, la enzima se origina a partir de hongos (incluyendo hongos filamentosos y levaduras), por ejemplo de un género seleccionado del grupo que consiste en *Thermoascus, Acremonium*, *Chaetomium, Achaetomium, Thielavia, Aspergillus, Botrytis, Chrysosporium, Collybia, Fomes, Fusarium, Humicola, Hypocrea, Lentinus, Melanocarpus, Myceliophthora, Myriococcum, Neurospora, Penicillium, Phanerochaete, Phlebia, <i>Pleurotus, Podospora, Polyporus, Rhizoctonia, Scytalidium, Pycnoporus, Trametes* y *Trichoderma*.

35

40

Las enzimas son obtenibles de *Thermoascus aurantiacus* cepa ALKO4242 depositada como CBS 116239, cepa ALKO4245 depositada como CBS 116240 actualmente clasificada como *Acremonium thermophilium*, o *Chaetomium thermophilium* cepa ALKO4265 depositada como CBS 730.95.

La celobiohidrolasa puede comprender una secuencia de aminoácidos que tiene una identidad de al menos el 80% con el SEQ ID NO: 2, 4, 6 u 8, o un fragmento enzimáticamente activo del mismo.

Celobiohidrolasa	Gen	Obtenible de	CBD	ácido nucleico	amino ácido
				SEQ ID NO:	SEQ ID NO:
CBH de Ta	cel7A de Ta	T. aurantiacus	-	1	2
CBH_A de At	ce/7B de At	A. thermophilum	-	3	4
CBH_C de At	ce/7A de At	A. thermophilum	+	5	6

Celobiohidrolasa	Gen	Obtenible de	CBD	ácido nucleico	amino ácido
				SEQ ID NO:	SEQ ID NO:
CBH de Ct	ce/7A de Ct	C. thermophilum	+	7	8
02.140 01	00/// 40 01	C. thomaspiniani		,	

Estas CBH tienen una inhibición de celobiosa constante ventajosa en comparación con la de la CBH de *Trichoderma reesei*, y muestran mejores resultados de hidrólisis cuando se someten a ensayo diversos sustratos celulósicos. Los SEQ ID NO: 2 y 4 no lo comprenden un CBD. Se pueden obtener resultados de hidrólisis particularmente mejorados cuando un dominio de unión a celulosa (CBD) se ancla una CBH que no tiene un CBD propio. El CBD se puede obtener p. ej. a partir de una especie de *Trichoderma* o *Chaetomium*, y se ancla a la CBH preferiblemente a través de un conector. La proteína de fusión resultante que contiene una región núcleo de CBH anclada a un CBD a través de un conector puede comprender una secuencia de aminoácidos que tiene una identidad de al menos 80% con el SEQ ID NO: 28 o 30. Los polinucleótidos que comprenden una secuencia del SEQ ID NO: 27 o 29 codifican tales proteínas de fusión.

La endoglucanasa puede comprender una secuencia de aminoácidos que tiene una identidad de al menos 80% con el SEQ ID NO: 10, 12, 14 o 16, o un fragmento enzimáticamente activo del mismo. Estas endoglucanasas tienen buena termoestabilidad.

Endoglucanasa	Gen	Obtenible de	CBD	ácido nucleico SEQ ID NO:	aminoácido SEQ ID NO:
EG_28 de Ta	<i>cel</i> 5A de Ta	T. aurantiacus	-	9	10
EG_40 de At	cel45A de At	A. thermophilum	+	11	12
De tipo EG40 de At	cel45B de At	A. thermophilum	-	13	14
EG_54 de Ct	cel7B de Ct	C. thermophilum	+	15	16

La beta-glucosidasa puede comprender una secuencia de aminoácidos que tiene una identidad de al menos 80% con el SEQ ID NO: 22, 24 o 26, o un fragmento enzimáticamente activo del mismo. Estas beta-glucosidasas tienen buena resistencia a la inhibición por glucosa, que es ventajosa para evitar la inhibición por el producto final durante la hidrólisis enzimática del material celulósico. Las beta-glucosidasas también se pueden utilizar en la preparación de soforosa, un inductor de celulasa utilizado en el cultivo de *T. reesei.* 

Beta-glucosidasa	Gen	Obtenible de	ácido nucleico SEQ ID NO:	aminoácido SEQ ID NO:
BG_81 de Ta	cel3A de Ta	T. aurantiacus	21	22
BG_101 de At	ce/3A de At	A. thermophilum	23	24
BG_76 de Ct	ce/3A de Ct	C. thermophilum	25	26

La xilanasa puede comprender una secuencia de aminoácidos que tiene una identidad de al menos 80% con el SEQ ID NO: 18 o 20, o un fragmento enzimáticamente activo del mismo.

Xilanasa	Gen	Obtenible de	CBD	ácido nucleico SEQ ID NO:	aminoácido SEQ ID NO:
Xyn_30	xyn10A de Ta	T. aurantiacus	+	17	18
Xyn_60	xyn10A de At	A. thermophilum	-	19	20

5

20

Mediante el término "identidad" se quiere significar aquí la identidad global entre dos secuencias de aminoácidos comparadas entre sí desde el primer aminoácido codificado por el gen correspondiente hasta el último aminoácido. La identidad de las secuencias completas se mide utilizando el programa de alineamiento global de Needleman-Wunsch en el paquete de programas EMBOSS (European Molecular Biology Open Software Suite; Rice et al., 2000), versión 3.0.0, con los siguientes parámetros: EMBLOSUM62, Penalización por hueco 10,0, Penalización por extensión 0,5. El algoritmo es descrito por Needleman y Wunsch (1970). El experto en la técnica es consciente del hecho de que los resultados en los que se utiliza el algoritmo de Needleman-Wunsch son comparables solamente cuando se alinean los dominios correspondientes de la secuencia. Por consiguiente, la comparación p. ej. de secuencias de celulasa que incluyen CBD o secuencias señal con secuencias que carecen de esos elementos no se puede realizar.

Se puede utilizar un polipéptido celulolítico que tiene una identidad al menos 80, 85, 90, 95 o 99% con el SEQ ID NO: 2, 4, 6, 8, 10, 12, 14, 16, 18, 20, 22, 24 o 26 o al menos con su fragmento enzimáticamente activo.

10

15

20

25

30

35

40

45

50

55

Mediante el término "fragmento enzimáticamente activo" se quiere significar cualquier fragmento de una secuencia definida que tiene actividad celulolítica. En otras palabras un fragmento enzimáticamente activo puede ser la parte de la proteína madura de la secuencia definida, o puede ser solamente un fragmento de la parte de la proteína madura, siempre que tenga todavía actividad celobiohidrolasa, endoglucanasa, beta-glucosidasa o xilanasa.

Las enzimas celulolíticas son preferiblemente enzimas recombinantes, que pueden ser producidas de una manera generalmente conocida. Se aísla un fragmento de polinucleótido que comprende el gen de la enzima, el gen se inserta bajo un promotor fuerte en un vector de expresión, el vector se transfiere en células anfitrionas adecuadas y las células anfitrionas se cultivan en condiciones que provocan la producción de la enzima. Los métodos para la producción de proteínas mediante tecnología recombinante en diferentes sistemas anfitriones son bien conocidos en la técnica (Sambrook *et al.*, 1989; Coen, 2001; Gellissen, 2005). Preferiblemente, las enzimas se producen como enzimas extracelulares que son secretadas al medio de cultivo, a partir del cual se puede recuperar y aislarse fácilmente. Se puede utilizar el medio de cultivo gastado del anfitrión de producción tal cual, o se pueden retirar de allí las células anfitrionas, y/o se puede concentrar, filtrar o fraccionar. También se puede secar.

El polipéptido aislado en el presente contexto puede significar simplemente que las células y los residuos celulares se han retirado del medio de cultivo que contiene el polipéptido. Convenientemente, los polipéptidos se aíslan, p. ej., añadiendo polímeros aniónicos y/o catiónicos al medio de cultivo gastado para mejorar la precipitación de las células, los restos celulares y algunas enzimas que tienen actividades secundarias no deseadas. A continuación el medio se filtra, utilizando un agente de filtración inorgánico y un filtro para retirar los precipitantes formados. Después de esto el producto filtrado se procesa adicionalmente utilizando una membrana semi-permeable para retirar el exceso de sales, azúcares y productos metabólicos.

El polinucleótido heterólogo puede comprender un gen similar al incluido en un microorganismo que tiene el número de acceso DSM 16723, DSM 16728, DSM 16729, DSM 16727, DSM 17326, DSM 17324, DSM 17323, DSM 17729, DSM 16724, DSM 16726, DSM 16725, DSM 17325 o DSM 17667.

El anfitrión de producción puede ser cualquier organismo capaz de expresar la enzima celulolítica. Preferiblemente, el anfitrión es una célula microbiana, más preferiblemente un hongo. Lo más preferiblemente, el anfitrión es un hongo filamentoso. Preferiblemente, el anfitrión recombinante se modifica para expresar y secretar enzimas celulolíticas como su actividad principal o una de sus actividades principales. Esto se puede realizar mediante la supresión de los principales genes homólogos secretados, p. ej., las cuatro principales celulasas de *Trichoderma* y dirigiendo genes heterólogos a un locus que se ha modificado para asegurar altos niveles de expresión y producción. Los anfitriones preferidos para la producción de las enzimas celulolíticas son en particular cepas del género *Trichoderma* o *Asperaillus*.

Las enzimas necesarias para la hidrólisis del material celulósico se pueden añadir en una cantidad enzimáticamente eficaz o bien simultáneamente, p. ej., en forma de una mezcla de enzimas, o bien sucesivamente, o bien como una parte de la sacarificación y fermentación simultáneas (SSF). Se puede utilizar cualquier combinación de las celobiohidrolasas que comprenden una secuencia de aminoácidos que tiene una identidad de al menos 80% con el SEQ ID NO: 2, 4, 6 u 8 o con un fragmento enzimáticamente activo del mismo junto con cualquier combinación de endoglucanasas y beta-glucosidasas. Si el material celulósico comprende hemicelulosa, se utilizan adicionalmente para la degradación hemicelulasas, preferiblemente xilanasas. Las endoglucanasas, beta-glucosidasas y xilanasas se pueden seleccionar entre las descritas en la presente memoria, pero no se limitan a las mismas. Estas pueden ser también por ejemplo preparaciones de enzimas asequibles comercialmente. Además de celulasas y hemicelulasas opcionales se pueden utilizar una o más enzimas, por ejemplo, proteasas, amilasas, lacasas, lipasas, pectinasas, esterasas y/o peroxidasas. Se puede llevar a cabo otro tratamiento enzimático antes, durante o después del tratamiento con celulasa.

El término "preparación de enzima" se refiere a una composición que comprende al menos una de las enzimas deseadas. La preparación puede contener las enzimas en forma al menos parcialmente purificada y aislada. Ésta puede consistir incluso esencialmente en la enzima o enzimas deseadas. Alternativamente, la preparación puede ser un medio de cultivo gastado o producto filtrado que contiene una o más enzimas celulolíticas. Además de la

actividad celulolítica, la preparación puede contener aditivos, tales como mediadores, estabilizantes, tampones, conservantes, tensioactivos y/o componentes del medios de cultivo. Los aditivos preferidos son tales que se utilizan comúnmente en preparaciones de enzimas destinadas a una aplicación concreta. La preparación de enzima puede estar en forma de líquido, polvo o granulado. Preferiblemente, la preparación de enzima es medio de cultivo gastado. El "medio de cultivo gastado" se refiere al medio de cultivo del anfitrión que comprende las enzimas producidas. Preferiblemente, las células anfitrionas se separan de dicho medio después de la producción.

5

10

15

20

45

50

55

La preparación de enzima puede comprender una mezcla de CBH, EG y BG, opcionalmente junto con xilanasa y/u otras enzimas. La CBH comprende una secuencia de aminoácidos que tiene una identidad de al menos 80% con el SEQ ID NO: 2, 4, 6 u 8 o con un fragmento enzimáticamente activo del mismo, y se puede obtener a partir de *Thermoascus aurantiacus, Acremonium thermophilum*, o *Chaetomium thermophilum*, mientras que EG, BG y xilanasa pueden ser de cualquier origen, incluyendo a partir de dichos organismos. Otras enzimas que podrían estar presentes en la preparación son, p. ei. proteasas, amilasas, lacasas, lipasas, pectinasas, esterasas y/o peroxidasas.

Se pueden utilizar mezclas y combinaciones de enzimas para adaptarse a diferentes condiciones del proceso. Por ejemplo, si el proceso de degradación se lleva a cabo a una temperatura alta, se eligen enzimas termoestables. Una combinación de una CBH de la familia 7 con una endoglucanasa de la familia 45, opcionalmente combinadas con una BG de la familia 3 y/o una xilanasa de la familia 10 tuvo un excelente rendimiento de hidrólisis tanto a 45°C, como a temperaturas elevadas.

Las enzimas celulolíticas de *Trichoderma reesei* se utilizan convencionalmente a temperaturas en el intervalo de aproximadamente 40-50°C en la hidrólisis, y a 30-40°C en SSF. La CBH, EG, BG y Xyn obtenibles de *Thermoascus aurantiacus, Acremonium thermophilum*, o *Chaetomium thermophilum* también son eficientes a estas temperaturas, pero además la mayoría de ellas también funciona extremadamente bien a temperaturas entre 50°C y 75°C, o incluso hasta 80°C y 85°C, tal como entre 55°C y 70°C, p. ej., entre 60°C y 65°C. Para tiempos de incubación cortos las mezclas de enzimas son funcionales incluso hasta 85°C, para la hidrólisis completa se utilizan normalmente temperaturas más bajas.

El método para el tratamiento de material celulósico con CBH, EG y BG y Xyn es especialmente adecuado para la producción de azúcares fermentables a partir de material lignocelulósico. Los azúcares fermentables se pueden fermentar a continuación por medio de levadura en etanol, y utilizar como combustible. También se pueden utilizar como intermedios o materias primas para la producción de diversos productos químicos o elementos esenciales para los procesos de la industria química, p. ej. en la denominada biorrefinería. El material lignocelulósico se puede pretratar antes de la hidrólisis enzimática para desorganizar la estructura de fibra de los sustratos celulósicos y hacer la fracción de celulosa más accesible a las enzimas celulolíticas. Los pretratamientos actuales incluyen procesos mecánicos, químicos o térmicos y sus combinaciones. El material puede ser pretratado por ejemplo mediante explosión de vapor o hidrólisis ácida.

Se encontraron diversos nuevos polipéptidos celulolíticos en *Thermoascus aurantiacus*, *Acremonium thermophilum*, y *Chaetomium thermophilum*. Los nuevos polipéptidos pueden comprender un fragmento que tiene actividad celulolítica y se pueden seleccionar del grupo que consiste en un polipéptido que comprende una secuencia de aminoácidos que tiene una identidad de al menos 66%, preferiblemente 70% o 75%, con el SEQ ID NO: 4, una identidad de 79% con el SEQ ID NO: 6, una identidad de 78% con el SEQ ID NO: 12, una identidad de 68%, preferiblemente 70% o 75%, identidad con el SEQ ID NO: 14, una identidad de 72%, preferiblemente 75%, con el SEQ ID NO: 16, una identidad de 68%, preferiblemente 70% o 75%, con el SEQ ID NO: 20, una identidad de 74% con el SEQ ID NO: 22 o 24, o una identidad de 78% con el SEQ ID NO: 26.

Los nuevos polipéptidos también pueden ser variantes de dichos polipéptidos. Una "variante" puede ser un polipéptido que se produce naturalmente, p. ej., en forma de una variante alélica dentro de la misma cepa, especie o género, o puede haber sido generado mediante mutagénesis. Puede comprender sustituciones, deleciones o inserciones de aminoácidos, pero todavía funciona de una manera sustancialmente similar a las enzimas definidas anteriormente, es decir, comprende un fragmento que tiene actividad celulolítica.

Los polipéptidos celulolíticos se producen normalmente en las células en forma de polipéptidos inmaduros que comprenden una secuencia señal que es escindida durante la secreción de la proteína. También pueden ser procesados adicionalmente durante la secreción, en el extremo N-terminal y/o extremo C-terminal para dar una proteína enzimáticamente activa, madura. Un polipéptido "que comprende un fragmento que tiene actividad celulolítica" significa por lo tanto que el polipéptido puede estar en forma inmadura o madura, preferiblemente está en forma madura, es decir, ha tenido lugar el procesamiento.

Los nuevos polipéptidos pueden ser, adicionalmente, un "fragmento de los polipéptidos o variantes" mencionados anteriormente. El fragmento puede ser la forma madura de las proteínas mencionadas anteriormente, o puede ser solamente una parte enzimáticamente activa de la proteína madura. De acuerdo con una realización de la invención, el polipéptido tiene una secuencia de aminoácidos que tiene una identidad de al menos 80, 85, 90, 95, o 99% con el SEQ ID NO: 4, 6, 12, 14, 16, 20, 22, 24 o 26, o con un fragmento celulolíticamente activo del mismo. También puede ser una variante del mismo, o un fragmento del mismo que tiene actividad celobiohidrolasa, endoglucanasa,

xilanasa, o beta-glucosidasa. De acuerdo con otra realización de la invención, el polipéptido consiste esencialmente en un fragmento celulolíticamente activo de una secuencia del SEQ ID NO: 4, 6, 12, 14, 16, 20, 22, 24 o 26.

Los nuevos polinucleótidos pueden comprender una secuencia de nucleótidos del SEQ ID NO: 3, 5, 11, 13, 15, 19, 21, 23 o 25, o una secuencia que codifica un nuevo polipéptido como se ha definido anteriormente, incluyendo hebras complementarias del mismos. Polinucleótido según se utiliza en la presente memoria se refiere tanto a ARN y ADN, y puede ser de hebra sencilla o de doble hebra. El polinucleótido también puede ser un fragmento de dichos polinucleótidos que comprende al menos 20 nucleótidos, p. ej. al menos 25, 30 o 40 nucleótidos. De acuerdo con una realización de la invención tiene al menos 100, 200 o 300 nucleótidos de longitud. Adicionalmente, el polinucleótido puede ser degenerado como resultado del código genético con respecto a una cualquiera de las secuencias definidas anteriormente. Esto significa que diferentes codones pueden codificar para el mismo aminoácido.

El polinucleótido puede estar "comprendido en" el SEQ ID NO: 3, 5, 11, 13, 15, 19, 21, 23 o 25, lo que significa que la secuencia tiene al menos parte de la secuencia mencionada. Alternativamente, el polinucleótido comprende un gen similar al incluido en un microorganismo que tiene el número de acceso DSM 16728, DSM 16729, DSM 17324, DSM 17323, DSM 17729, DSM 16726, DSM 16725, DSM 17325 o DSM 17667.

Las nuevas proteínas/polipéptidos se pueden preparar como se ha descrito anteriormente. Los nuevos polinucleótidos se pueden insertar en un vector, que es capaz de expresar el polipéptido codificado por la secuencia heteróloga, y el vector se puede insertar en una célula anfitriona capaz de expresar dicho polipéptido. La célula anfitriona es preferiblemente del género *Trichoderma* o *Aspergillus*.

Se ha introducido un gen heterólogo que codifica los nuevos polipéptidos en un plásmido en una cepa de *Escherichia coli* que tiene el número de acceso DSM 16728, DSM 16729, DSM 17324, DSM 17323, DSM 17729, DSM 16726, DSM 16725, DSM 17325 o DSM 17667.

Las nuevas enzimas pueden ser componentes de una preparación de enzima. La preparación de enzima puede comprender uno o más de los nuevos polipéptidos, y puede estar, p. ej. en forma de medio de cultivo gastado, polvo, gránulos o líquido. Puede comprender actividad celobiohidrolasa, endoglucanasa, beta-glucosidasa, y opcionalmente xilanasa y/o otras actividades enzimáticas. Puede comprender adicionalmente cualquier aditivo convencional.

Las nuevas enzimas se pueden aplicar en cualquier proceso que implique enzimas celulolíticas, tal como en la industria de combustibles, textil, detergentes, pasta de celulosa y papel, alimentos, forrajes o bebidas, y especialmente en la hidrólisis de material celulósico para la producción de biocombustible que comprende etanol. En la industria de la pasta de celulosa y el papel se pueden utilizar para modificar la fibra celulósica, por ejemplo, en el tratamiento de pasta kraft, pasta mecánica, o papel reciclado.

#### **Ejemplos**

5

10

15

25

30

35

55

Ejemplo 1. Escrutinio para determinar las cepas que expresan la actividad celulolítica y su cultivo para la purificación

Se sometieron a ensayo aproximadamente 25 cepas de hongos de la colección de cultivos Roal Oy para determinar la actividad celulolítica incluyendo beta-glucosidasas. Después del escrutinio preliminar se eligieron seis cepas para estudios posteriores. Estas fueron ALKO4239 y ALKO4242 de *Thermoascus aurantiacus*, ALKO4245 de *Acremonium thermophilum*, ALKO4246 de *Talaromyces thermophilus* y ALKO4261 y ALKO4265 de *Chaetomium thermophilum*.

Las cepas ALKO4239, ALKO4242 y ALKO4246 se cultivaron en matraces oscilantes a 42°C durante 7 días en el medio 3 x B, que contiene g/litro: celulosa Solka Floc 18, bagazo de destilería 18, xilano de espelta de avena 9, CaCO<sub>3</sub> 2, harina de soja 4,5, (NH<sub>4</sub>)HPO<sub>4</sub> 4,5, salvado de trigo 3,0, KH<sub>2</sub>PO<sub>4</sub> 1,5, MgSO<sub>4</sub>·H<sub>2</sub>O 1,5, NaCl 0,5, KNO<sub>3</sub> 0,9, goma garrofín 9,0, disolución de elementos traza Núm. 1 0,5, disolución de elementos traza Núm. 2 0,5 y Struktol (Stow, OH, USA) antiespumante 0,5 ml; el pH se ajustó a 6,5. La disolución de elementos traza Núm. 1 tiene g/litro: MnSO<sub>4</sub> 1,6, ZnSO<sub>4</sub>·7H<sub>2</sub>O 3,45 y CoCl<sub>2</sub>·6H<sub>2</sub>O 2,0; la disolución de elementos traza Núm. 2 tiene g/litro: FeSO<sub>4</sub>·7H<sub>2</sub>O 5,0 con dos gotas de H<sub>2</sub>SO<sub>4</sub> concentrado.

La cepa ALKO4261 se cultivó en matraces oscilantes en el medio 1XB, que tiene un tercio de cada uno de los componentes del medio 3 x B (anterior), excepto que tiene mismas concentraciones de  $CaCO_3$ , NaCl y elementos traza. La cepa se cultivó a  $45^{\circ}C$  durante 7 d.

La cepa ALKO 4265 se cultivó en matraces oscilantes en el siguiente medio, g/l: celulosa Solka Floc 40, 50 Pharmamedia™ (Traders Protein, Memphis, TN, USA) 10, polvo de aguas de infusión de maíz 5, (NH₄)₂SO₄ 5 y KH₂PO₄ 15; el pH se ajustó a 6,5. La cepa se cultivó a 45°C durante 7 d.

Después del cultivo las células y otros sólidos se recogieron por centrifugación y se recuperó el sobrenadante. Para los cultivos en matraz oscilante, se añadieron los inhibidores de proteasa PMSF (fluoruro de fenilmetil-sulfonilo) y pepstatina A a 1 mM y 10  $\mu$ g/ml, respectivamente. Si no se utilizan inmediatamente, las preparaciones se almacenan en alícuotas a -20°C.

Para la estimación de la termoactividad de las enzimas, se realizaron análisis de las preparaciones de cultivo en matraz oscilante a 50°C, 60°C, 60°C, 70°C y 75°C durante 1 h, en presencia de 100 µg de albúmina de suero bovino (BSA)/ml como estabilizador. Se realizaron análisis preliminares a 50°C y 65°C a dos valores de pH diferentes (4,8/5,0 o 6,0) con el fin de aclarar qué pH era el más apropiado para el análisis de termoactividad.

5 Se analizaron todos los sobrenadantes de los matraces oscilantes para determinar las siguientes actividades:

Actividad de tipo celobiohidrolasa I ('CBHI') y actividad de tipo endoglucanasa I ('EGI'):

Éstas se midieron en tampón de acetato de Na 50 mM con MUL (4-metilumbeliferil-beta-D-lactósido) 0,5 mM como sustrato. Se añadió glucosa (100 mM) para inhibir cualquier actividad de beta-glucosidasa interferente. El 4-metilumbeliferilo liberado se midió a 370 nm. Las actividades de 'CBHI' y 'EGI' se distinguieron midiendo actividad en presencia y ausencia de celobiosa (5 mM). La actividad que no es inhibida por celobiosa representa la actividad 'EGI' y la actividad MUL restante representa la actividad 'CBHI' (van Tilbeurgh *et al*, 1988). El análisis se realizó a pH 5,0 o 6,0 (véase más abajo).

Actividad endoglucanasa (CMCasa):

10

25

Ésta se analizó carboximetilcelulosa (CMC) al 2% (p/v) como sustrato en tampón de citrato 50 mM esencialmente como describen Bailey y Nevalainen 1981; Haakana *et al.* 2004. Los azúcares reductores se midieron con el reactivo DNS. El análisis se realizó a pH 4,8 o 6,0 (véase más abajo).

Actividad beta-glucosidasa (BGU):

Ésta se analizó con 4-nitrofenil-β-D-glucopiranósido (1 mM) en tampón de citrato 50 mM como describen Bailey y Nevalainen 1981. El 4-nitrofenol liberado se midió a 400 nm. El análisis se realizó a pH 4,8 o 6,0 (véase más abajo).

Las actividades relativas de las enzimas se presentan en la Figura 1. Las actividades relativas se presentaron ajustando la actividad a 60°C como 100% (Figura 1). Todas las cepas produjeron enzimas, que tenían una actividad elevada a altas temperaturas (65°C-75°C).

Para las purificaciones de las proteínas, también se cultivó ALKO4242 en un biorreactor de 2 litros (Braun Biostat<sup>®</sup> B, Braun, Melsungen, Alemania) en el siguiente medio, g/litro: celulosa Solka Floc 40, harina de soja 10, NH<sub>4</sub>NO<sub>3</sub> 5, KH<sub>2</sub>PO<sub>4</sub> 5, MgSO<sub>4</sub>·7H<sub>2</sub>O 0,5, CaCl<sub>2</sub>·2H<sub>2</sub>O 0,05, disolución de elementos traza Núm. 1 0,5, disolución de elementos traza Núm. 2 0,5. La aireación a fue de 1 vvm, control antiespumante con Struktol, agitación a 200-800 rpm y temperatura a 47°C. Se hicieron circular dos lotes, uno a pH 4,7 ± 0,2 (NH<sub>3</sub>/H<sub>2</sub>SO<sub>4</sub>) y el otro con un pH inicial de pH 4,5. El tiempo de cultivo fue de 7 d. Después del cultivo las células y otros sólidos se eliminaron mediante centrifugación.

- La cepa ALKO4245 se cultivó en un bioreactor de 2 litros (Braun Biostat<sup>®</sup> B, Braun, Melsungen, Alemania) en el siguiente medio, g/litro: celulosa Solka Floc 40, polvo de aguas de infusión de maíz 15, bagazo de destilería 5, xilano de espelta de avena 3, goma garrofín 3, (NH<sub>4</sub>)<sub>2</sub>SO<sub>4</sub> 5 y KH<sub>2</sub>PO<sub>4</sub> 5. El intervalo de pH fue de 5,2 ± 0,2 (NH<sub>3</sub>/H<sub>2</sub>SO<sub>4</sub>), aireación a 1 vvm, agitación a 300-600 rpm, control antiespumante con Struktol y temperatura de 42°C. El tiempo de cultivo fue de 4 d. Después del cultivo las células y otros sólidos se eliminaron mediante centrifugación.
- Para la purificación de la enzima, se cultivó ALKO4261 en un biorreactor de 10 litros (Braun Biostat<sup>®</sup> ED, Braun, Melsungen, Alemania) en el siguiente medio, g/litro: celulosa Solka Floc 30, bagazo de destilería 10, xilano de espelta de avena 5, CaCO<sub>3</sub> 2, harina de soja 10, salvado de trigo 3,0, (NH<sub>4</sub>)<sub>2</sub>SO<sub>4</sub> 5, KH<sub>2</sub>PO<sub>4</sub> 5, MgSO<sub>4</sub>·7H<sub>2</sub>O 0,5, NaCl 0,5, KNO<sub>3</sub> 0,3, solución de elementos traza Núm. 1 0,5 y disolución de elementos traza Núm. 2 0,5. El intervalo de pH fue de 5,2 ± 0,2 (NH<sub>3</sub>/H<sub>2</sub>SO<sub>4</sub>), aireación a 1 vvm, agitación a 200-600 rpm, control antiespumante con Struktol
- 40 y temperatura de 42°C. El tiempo de cultivo fue de 5 d. Se cultivó un segundo lote en condiciones similares excepto que se añadió Solka Floc a 40 g/l y bagazo a 15 g/l. Los sobrenadantes se recuperaron mediante centrifugación y se filtraron a través de filtros Seitz K-150 y EK (Pall SeitzSchenk Filtersystems GmbH, Bad Kreuznach, Alemania). El último sobrenadante se concentró aproximadamente diez veces utilizando el sistema ultrafiltración Pellicon Mini (filtro NMWL de 10 kDa; Millipore, Billerica, MA, USA).
- Para la purificación de la enzima, ALKO4265 también se cultivó en un biorreactor de 10 litros (Braun Biostat<sup>®</sup> ED, Braun, Melsungen, Alemania) en el mismo medio que antes, excepto que se añadió KH<sub>2</sub>PO<sub>4</sub> a 2,5 g/l. El intervalo de pH fue de 5,3 ± 0,3 (NH<sub>3</sub>/H<sub>3</sub>PO<sub>4</sub>), aireación a 0,6 vvm, agitación a 500 rpm, control antiespumante con Struktol y temperatura de 43°C. El tiempo de cultivo fue de 7 d. Los sobrenadantes se recuperaron mediante centrifugación y se filtraron a través de filtros Seitz K-150 y EK (Pall SeitzSchenk Filtersystems GmbH, Bad Kreuznach, Alemania). El último sobrenadante se concentró aproximadamente 20 veces utilizando el sistema de ultrafiltración Pellicon Mini (filtro NMWL de 10 kDa; Millipore, Billerica, MA, USA).

Ejemplo 2. Purificación y caracterización de celobiohidrolasas de *Acremonium thermophilum* ALKO4245 y *Chaetomium thermophilum* ALKO4265

Se cultivaron *Acremonium thermophilum* ALKO4245 y *Chaetomium thermophilum* ALKO4265 como se ha descrito en el Ejemplo 1. Las principales celobiohidrolasas se purificaron utilizando una columna de afinidad basada en *p*-aminobencil-1-tio-β-celobiósido, preparada como describen Tomme *et al.*, 1988.

- Los sobrenadantes del cultivo se tamponaron en primer lugar en tampón de acetato de sodio 50 mM de pH 5,0, que contenía δ-gluconolactona 1 mM y glucosa 0,1 M con el fin de retardar la hidrólisis del ligando en presencia de β-glucosidasas. Las celobiohidrolasas se hicieron eluir con lactosa 0,1 M y finalmente se purificaron mediante cromatografía de filtración en gel utilizando columnas Superdex 200 HR 10/30 en el sistema ÄKTA (Amersham Pharmacia Biotech). El tampón utilizado en la filtración de gel fue fosfato de sodio 50 mM de pH 7,0, que contenía cloruro de sodio 0,15 M.
- Las celobiohidrolasas purificadas se analizaron mediante electroforesis en gel de poliacrilamida-SDS y se determinó que la masa molecular de ambas proteínas era de aproximadamente 70 kDa evaluada sobre la base de los patrones de masa molecular (Kit de calibración de bajo peso molecular, Amersham Biosciences). Las celobiohidrolasas de *Acremonium* y *Chaetomium* purificadas se denominaron Cel7A de At y Cel7A de Ct, respectivamente, siguiendo el esquema en Henrissat *et al.* (Henrissat, 1991; Henrissat y Bairoch, 1993).
- La actividad específica de las preparaciones se determinó utilizando 4-metilumbeliferil-β-D-lactósido (MUL), 4-metilumbeliferil-β-D-celobiósido (MUG2) o 4-metilumbeliferil-β-D-celotriósido (MUG3) como sustrato (van Tilbeurgh et al., 1988) en tampón de citrato sódico 0,05 M de pH 5 a 50°C durante 10 min. Las actividades endoglucanasa y xilanasa se determinaron mediante procedimientos normalizados (de acuerdo con la IUPAC, 1987) utilizando carboximetilcelulosa (CMC) y glucuronoxilano de abedul (Bailey et al., 1992) como sustratos. La actividad específica frente a Avicel se calculó sobre la base de los azúcares reductores formados en una reacción de 24 horas a 50°C, pH 5,0, con sustrato al 1% y dosificación de enzima 0,25 μM. El contenido de proteína de las preparaciones de enzima purificada se midió de acuerdo con Lowry et al., 1951. Para caracterizar los productos finales de la hidrólisis, los azúcares solubles liberados en 24 h en el experimento de hidrólisis, como se ha descrito anteriormente, se analizaron mediante HPLC (Dionex). La celobiohidrolasa purificada I (CBHI/Cel7A) de *Trichoderma reesei* se utilizó como referencia.

Las actividades específicas de las enzimas purificadas y la de CBHI/Cel7A de *T. reesei* se presentan en la Tabla 1. Las celobiohidrolasas Cel7A de At y Cel7A de Ct purificadas poseen actividades específicas superiores frente a sustratos sintéticos pequeños en comparación con CBHI/Cel7A de *T. reesei*. La actividad específica frente a Avicel fue claramente superior con las enzimas descritas en la presente memoria. Las actividades bajas de las preparaciones de enzima purificada frente a xilano y CMC pueden ser o debidas a las propiedades de las proteínas por sí mismas, o al menos parcialmente a las pequeñas cantidades restantes de enzimas contaminantes. El principal producto final de hidrólisis de la celulosa por todas las enzimas purificadas fue la celobiosa lo que es típico de las celobiohidrolasas.

30

35

40

Tabla 1. Actividades específicas (nkat/mg) de las celobiohidrolasas purificadas y la enzima de referencia de *T. reesei* (50°C, pH 5,0, 24 h).

Sustrato	ALKO4245 Cel7A de A. thermophilum	ALKO4265 Cel7A de C. thermophilum	Cel7A de T. reesei
Xilano	11,3	6,7	1,3
CMC	26,2	5,5	1,0
Mug2	9,2	18,9	4,3
Mug3	1,3	1,5	0,9
MUL	21,5	54,0	21,9
Avicel	1,8	1,4	0,6

La estabilidad térmica de las celobiohidrolasas purificadas se determinó a diferentes temperaturas. La reacción se realizó en presencia de BSA al 0,1% a pH 5,0 durante 60 min utilizando 4-metilumbeliferil-β-D-lactósido como sustrato. ALKO4265 CBH/Cel7A de *C. thermophilum* y ALKO4245 CBH/Cel7A de *A. thermophilum* fueron estables hasta 65° y 60°C, respectivamente. La enzima de referencia de *T. reesei* (CBHI/Cel7A) conservó 100% de la actividad hasta 55°C.

Ejemplo 3. Purificación y caracterización de una endoglucanasa de Acremonium thermophilum ALKO4245

Se cultivó *Acremonium thermophilum* ALKO4245 como se ha descrito en el Ejemplo 1. El sobrenadante de cultivo se incubó a 70°C durante 24 horas después de lo cual se concentró mediante ultrafiltración. La endoglucanasa pura se obtuvo mediante purificación secuencial con cromatografía de interacción hidrófoba y de intercambio catiónico seguida de filtración en gel. La actividad endoglucanasa de las fracciones recogidas durante la purificación se determinó utilizando carboximetilcelulosa (CMC) como sustrato (Procedimiento de la IUPAC 1987). El contenido de proteína se midió mediante BioRad Assay Kit (Bio-Rad Laboratories) utilizando albúmina de suero bovino como patrón.

El sobrenadante de cultivo concentrado se aplicó a una columna de interacción hidrófoba HiPrep 16/10 Butyl FF equilibrada con tampón de fosfato de potasio 20 mM de pH 6,0, que contenía (NH<sub>4</sub>)<sub>2</sub>SO<sub>4</sub> 1 M. Las proteínas unidas se hicieron eluir con el gradiente lineal desde el tampón anterior a fosfato de potasio 5 mM, pH 6,0. Las fracciones se recogieron y la actividad de endoglucanasa se determinó como se ha descrito anteriormente. La actividad endoglucanasa eluyó en una amplia zona de conductividad de 120 a 15 mS/cm.

Las fracciones combinadas se aplicaron a una columna de intercambio catiónico HiTrap SP XL equilibrada con acetato de sodio 8 mM, pH 4,5. Las proteínas unidas se hicieron eluir con un gradiente lineal de NaCl de 0 a 0,25 M en el tampón de equilibrado. La actividad endoglucanasa que contenía proteína se hizo eluir en la zona de conductividad de 3-7 mS/cm. Se repitió la cromatografía de intercambio catiónico y el eluato de la proteína se concentró mediante liofilización.

La muestra disuelta se cargó en una columna de filtración en gel Superdex 75 HR10/30 equilibrada con tampón de fosfato de sodio 20 mM de pH 7,0, que contenía NaCl 0,15 M. La fracción principal de la proteína se hizo eluir de la columna con el volumen de retención de 13,3 ml. Se estimó que el eluato de proteína era puro mediante electroforesis en gel de poliacrilamida-SDS y se evaluó que el peso molecular era de 40 kDa. Se determinó que la actividad específica de la proteína purificada, designada como EG\_40 de At, a 50°C era 450 de nkat/mg (Procedimiento de la IUPAC 1987, utilizando como sustrato CMC).

La estabilidad térmica de la endoglucanasa purificada se determinó a diferentes temperaturas. La reacción se realizó en presencia de 0,1 mg/ml de BSA a pH 5,0 durante 60 min utilizando carboximetilcelulosa como sustrato. A. *thermophilum* EG\_40/Cel45A fue estable hasta 80°C. Las enzimas de referencia de *T. reesei* EGI (Cel7B) y EGII (Cel5A) conservaron 100% de la actividad hasta 60°C y 65°C, respectivamente.

Ejemplo 4. Purificación de una endoglucanasa de Chaetomium thermophilum ALKO4261

10

15

20

35

Se cultivó *Chaetomium thermophilum* ALKO4261 como se ha descrito en el Ejemplo 1. La endoglucanasa pura se obtuvo mediante purificación secuencial con cromatografía de interacción hidrófoba y de intercambio catiónico seguida de filtración en gel. La actividad endoglucanasa de las fracciones recogidas durante la purificación se determinó utilizando carboximetilcelulosa (CMC) como sustrato (procedimiento de la IUPAC 1987).

Se añadió sulfato amónico al sobrenadante de cultivo para alcanzar la misma conductividad que fosfato de potasio 20 mM de pH 6,0, que contenía (NH<sub>4</sub>)<sub>2</sub>SO<sub>4</sub> 1 M. La muestra se aplicó a una columna de interacción hidrófoba HiPrep 16/10 Phenyl FF equilibrada con fosfato de potasio 20 mM de pH 6,0, que contenía (NH<sub>4</sub>)<sub>2</sub>SO<sub>4</sub> 1 M. La elución se llevó a cabo con un gradiente lineal de fosfato de potasio de 20 a 0 mM, pH 6,0, seguido de fosfato de potasio 5 mM, pH 6,0 y agua. Las proteínas unidas se hicieron eluir con un gradiente lineal de urea de 0 a 6 M. Las fracciones se recogieron y la actividad endoglucanasa se analizó como se ha descrito anteriormente. La proteína que contiene actividad endoglucanasa se hizo eluir al principio del gradiente de urea.

- Las fracciones se combinaron, se equilibraron a Tris-HCl 16 mM, pH 7,5 (I = 1,4 mS/cm) mediante una columna 10DG (Bio-Rad) y se aplicó a una columna de intercambio aniónico HiTrap DEAE FF equilibrada con Tris-HCl 20 mM, pH 7,5. Las proteínas unidas se hicieron eluir con un gradiente lineal de NaCl de 0 a 1 M en el tampón de equilibrado. Las fracciones se recogieron y analizaron para determinar la actividad endoglucanasa como se ha descrito anteriormente. La proteína se hizo eluir en el intervalo de 10-20 mS/cm.
- La muestra se equilibró a acetato de sodio 15 mM, pH 4,5 mediante una columna 10DG (Bio-Rad) y se aplicó a una columna de intercambio catiónico HiTrap SP XL equilibrada con acetato de sodio 20 mM de pH 4,5. Las proteínas se hicieron eluir con un gradiente lineal de acetato de sodio de 0 a 0,4 M, pH 4,5. La actividad endoglucanasa eluyó en el intervalo de 1-10 mS/cm. La muestra recogida se liofilizó.
- La muestra se disolvió en agua y se aplicó a una columna de filtración en gel Superdex 75 HR 10/30 equilibrada con fosfato de sodio 20 mM de pH 6,0, que contenía NaCl 0,15 M. Las fracciones se recogieron y las que contenían actividad endoglucanasa se combinaron. Se estimó que el eluato de proteína era puro mediante electroforesis en gel de poliacrilamida-SDS y se evaluó que la masa molecular sobre la base de patrones de masa molecular (patrones de SDS-PAGE preteñidos, Broad Range, Bio-Rad) era de 54 kDa. Se determinó que el pl de la proteína purificada, denominada EG\_54 de Ct con PhastSystem (Pharmacia) era aprox. 5,5.
- 55 Ejemplo 5. Purificación de una endoglucanasa de Thermoascus aurantiacus ALKO4242

Se cultivó *Thermoascus aurantiacus* ALKO4242 como se ha descrito en el Ejemplo 1. La endoglucanasa pura se obtuvo mediante purificación secuencial con cromatografía de interacción hidrófoba y de intercambio aniónico seguida de filtración en gel. La actividad endoglucanasa de las fracciones recogidas durante la purificación se determinó utilizando carboximetilcelulosa (CMC) como sustrato (Procedimiento de la IUPAC 1987). El contenido de proteína se midió mediante BioRad Assay Kit (Bio-Rad Laboratories) utilizando albúmina de suero bovino como patrón.

5

10

30

35

40

45

El sobrenadante de cultivo se aplicó a una columna de interacción hidrófoba HiPrep 16/10 Butyl equilibrada con tampón fosfato de potasio 20 mM de pH 6,0, que contenía  $(NH_4)_2SO_4$  0,7 M. Las proteínas unidas se hicieron eluir con  $(NH_4)_2SO_4$  0,2 M (I = 39 mS/cm). Las fracciones que contenían actividad endoglucanasa se combinaron y se concentraron mediante ultrafiltración.

La muestra se desaló en columnas 10DG (Bio-Rad) y se aplicó a una columna de intercambio aniónico HiTrap DEAE FF equilibrada con Tris-HCl 15 mM, pH 7,0. Las proteínas unidas se hicieron eluir con un gradiente lineal de NaCl 0 a 0,4 M en el tampón de equilibrado. La proteína que contiene actividad endoglucanasa se hizo eluir en la zona de conductividad de 15-21 mS/cm. Las fracciones recogidas se combinaron y se concentraron como antes.

La muestra se aplicó a una columna de filtración en gel Sephacryl S-100 HR 26/60 equilibrada con tampón acetato de sodio 50 mM de pH 5,0, que contenía NaCl 0,05 M. La fracción de proteína que contenía actividad endoglucanasa se hizo eluir de la columna con un volumen de retención correspondiente a un peso molecular de 16 kDa. Las fracciones recogidas se combinaron, se concentraron y se repitió la filtración en gel. Se estimó que el eluato de proteína era puro mediante electroforesis en gel de poliacrilamida-SDS y se consideró que el peso molecular era de 28 kDa. Se determinó que el pl de la proteína purificada, denominada EG\_28 de Ta, en un gel IEF (PhastSystem, Pharmacia) era de aproximadamente 3,5. Se determinó que la actividad específica de EG\_28 de Ta a 50°C era de 4290 nkat/mg (Procedimiento de la IUPAC 1987, utilizando como sustrato CMC).

Ejemplo 6. Purificación y caracterización de una β-glucosidasa de Acremonium thermophilum ALKO4245

Se cultivó *Acremonium thermophilum* ALKO4245 como se ha descrito en el Ejemplo 1. La β-glucosidasa pura se obtuvo mediante purificación secuencial con cromatografía de interacción hidrófoba y de intercambio aniónico seguida de filtración en gel. La actividad β-glucosidasa de las fracciones recogidas durante la purificación se determinó utilizando 4-nitrofenil-β-D-glucopiranósido como sustrato (Bailey y Linko, 1990). El contenido de proteína se midió mediante BioRad Assay Kit (Bio-Rad Laboratories) utilizando albúmina de suero bovino como patrón.

El sobrenadante de cultivo se aplicó a una columna de Phenyl Sepharose FF de interacción hidrófoba HiPrep 16/10 equilibrada con fosfato de potasio 20 mM de pH 6,0, que contenía (NH<sub>4</sub>)<sub>2</sub>SO<sub>4</sub> 1 M. Las proteínas unidas se hicieron eluir con un gradiente lineal desde el tampón de equilibrado a fosfato de potasio 5 mM en la zona de conductividad de 137-16 mS/cm. Las fracciones recogidas se combinaron y se concentraron mediante ultrafiltración.

La muestra se desaló en columnas 10DG (Bio-Rad) y se aplicó a una columna de intercambio aniónico HiTrap DEAE FF equilibrada con fosfato de potasio 10 mM de pH 7,0. Las proteínas unidas se hicieron eluir con un gradiente lineal desde el tampón de equilibrado al mismo tampón que contenía NaCl 0,25 M en la zona de conductividad de 1,5-12 mS/cm. La cromatografía de intercambio aniónico se repitió como antes, excepto que se utilizó tampón de fosfato de potasio 4 mM de pH 7,2 mM. Las proteínas se hicieron eluir a la zona conductividad de 6-9 mS/cm. Las fracciones que contenían actividad de β-glucosidasa se recogieron, se combinaron y se concentraron.

El material activo de la cromatografía de intercambio aniónico se aplicó a una columna HR 26/60 Sephacryl S-300 equilibrada con fosfato de sodio 20 mM de pH 6,5, que contenía NaCl 0,15 M. La proteína con actividad β-glucosidasa se hizo eluir con un volumen de retención correspondiente a un peso molecular de 243 kDa. Se estimó que la proteína era pura mediante electroforesis en gel de poliacrilamida-SDS y se evaluó que el peso molecular era de 101 kDa. Se determinó que el pl de la proteína purificada, denominada A βG\_101, en un gel IEF (PhastSystem, Pharmacia) estaba en la zona de 5,6-4,9. Se determinó que la actividad específica de βG\_101 de At a 50°C era de 1100 nkat/mg (utilizando 4-nitrofenil-β-D-glucopiranósido como sustrato, Bailey y Linko, 1990).

La estabilidad térmica de la  $\beta$ -glucosidasa purificada se determinó a diferentes temperaturas. La reacción se realizó en presencia de 0,1 mg/ml de BSA a pH 5,0 durante 60 min utilizando 4-nitrofenil- $\beta$ -D-glucopiranósido como sustrato. La  $\beta G_101$  de *A. thermophilum* fue estable hasta 70°C. La enzima de referencia de *Aspergillus* (Novozym 188) conservó 100% de la actividad hasta 60°C.

50 Ejemplo 7. Purificación de una β-glucosidasa de Chaetomium thermophilum ALKO4261

Se cultivó *Chaetomium thermophilum* ALKO4261 como se ha descrito en el Ejemplo 1. La β-glucosidasa pura se obtuvo mediante purificación secuencial con cromatografía de interacción hidrófoba, de intercambio aniónico y catiónico seguida de filtración en gel. La actividad β-glucosidasa de las fracciones recogidas durante la purificación se determinó utilizando 4-nitrofenil-β-D-glucopiranósido como sustrato (Bailey y Linko, 1990).

El sobrenadante de cultivo se aplicó a una columna de interacción hidrófoba HiPrep 16/10 Phenyl Sepharose FF equilibrada con fosfato de potasio 20 mM de pH 6,0, que contenía (NH<sub>4</sub>)<sub>2</sub>SO<sub>4</sub> 0,8 M. La elución se llevó a cabo con

- un gradiente lineal desde tampón de equilibrado a fosfato de potasio 3 mM, pH 6,0, seguido de elución con agua y urea 6 M. Las primeras fracciones con actividad  $\beta$ -glucosidasa se hicieron eluir en la zona de conductividad de 80-30 mS/cm. La segunda actividad  $\beta$ -glucosidasa se hizo eluir con urea 6 M. Las fracciones activas eluidas mediante urea se reunieron y se desalaron en columnas 10DG (Bio-Rad) equilibradas con Tris-HCl 10 pH 7,0.
- Después de la eliminación de las sales, la muestra se aplicó a una columna de intercambio aniónico HiTrap DEAE FF equilibrada con Tris-HCl 15 mM de pH 7,0. La proteína no se unió a la columna, sino que eluyó durante la introducción de la muestra. Esta fracción de flujo directo se desaló en columnas 10DG (Bio-Rad) equilibradas con acetato de Na 7 mM, pH 4,5.
- La muestra de la cromatografía de intercambio aniónico se aplicó a una columna de intercambio catiónico HiTrap SP FF equilibrada con acetato de sodio 10 mM de pH 4,5. Las proteínas unidas se hicieron eluir con un gradiente lineal de acetato de sodio de 10 mM a 400 mM, pH 4,5. Se recogieron las fracciones con actividad β-glucosidasa que eluyeron en la zona de conductividad de 6,5 a 12 mS/cm, se desalaron en columnas 10DG (Bio-Rad) equilibradas con acetato de sodio 7 mM, pH 4,5 y se liofilizaron.
- La muestra liofilizada se diluyó hasta 100 μl de agua y se aplicó a una columna de filtración en gel Superdex 75 HF10/30 equilibrada con fosfato de sodio 20 mM de pH 4,5, que contenía NaCl 0,15 M. La actividad β-glucosidasa se hizo eluir a un volumen de retención de 13,64 ml. Las fracciones recogidas se combinaron, se liofilizaron y se disolvieron en agua. Se estimó que la proteína era pura mediante electroforesis en gel de poliacrilamida-SDS y se consideró que el peso molecular era de 76 kDa. La proteína se denominó βG 76 de Ct.
  - Ejemplo 8. Purificación y caracterización de una β-glucosidasa de *Thermoascus aurantiacus* ALKO4242
- Se cultivó *Thermoascus aurantiacus* ALKO4242 como se ha descrito en el Ejemplo 1. La β-glucosidasa pura se obtuvo mediante purificación secuencial con cromatografía de interacción hidrófoba, de intercambio aniónico y catiónico seguida de filtración en gel. La actividad β-glucosidasa de las fracciones recogidas durante la purificación se determinó utilizando 4-nitrofenil-β-D-glucopiranósido como sustrato (Bailey y Linko, 1990). El contenido de proteína se midió por BioRad Assay Kit (Bio-Rad Laboratories) utilizando albúmina de suero bovino como patrón.
- El sobrenadante de cultivo se aplicó a una columna de interacción hidrófoba HiPrep 16/10 Phenyl Sepharose FF equilibrada con fosfato de potasio 20 mM de pH 6,0, que contenía (NH<sub>4</sub>)<sub>2</sub>SO<sub>4</sub> 0,7 M. Las proteínas unidas se hicieron eluir con un gradiente lineal de (NH<sub>4</sub>)<sub>2</sub>SO<sub>4</sub> 0,2 M a fosfato de potasio 5 mM, pH 6,0. La actividad β-glucosidasa se hizo eluir durante el gradiente en la zona conductividad de 28,0 a 1,1 mS/cm. Las fracciones se combinaron y se concentraron mediante ultrafiltración.
- La muestra se desaló en columnas 10DG (Bio-Rad) y se aplicó a una columna de intercambio aniónico HiTrap DEAE FF equilibrada con Tris-HCl 20 mM de pH 7,0. La enzima se hizo eluir con un gradiente lineal de NaCl de 0 a 0,2 M en el tampón de equilibrado y con elución retardada mediante Tris-HCl 20 mM, que contenía NaCl 0,4 M. La muestra que eluyó en la zona de conductividad de aprox. 10-30 mS/cm se concentró mediante ultrafiltración y se desaló mediante una columna 10DG (Bio-Rad).
- 35 La muestra se aplicó a una columna de intercambio catiónico HiTrap SP XL equilibrada con acetato de sodio 9 mM de pH 4,5. La enzima se hizo eluir con un gradiente lineal de NaAc 10 mM a 400 mM y mediante elución retardada utilizando NaAc 400 mM de pH 4,5. Las proteínas con actividad β-glucosidasa se hicieron eluir ampliamente durante el gradiente lineal en la zona de conductividad de 5,0 a 11,3 mS/cm.
- El material activo de la cromatografía de intercambio catiónico se aplicó a una columna Sephacryl S-300 HR 26/60 equilibrada con fosfato de sodio 20 mM de pH 7,0, que contenía NaCl 0,15 M. La proteína con actividad β-glucosidasa se hizo eluir con un volumen de retención correspondiente a un peso molecular de 294 kDa. Las fracciones recogidas se combinaron, se liofilizaron y se disolvieron en agua. Se estimó que la proteína era pura mediante electroforesis en gel de poliacrilamida-SDS y se consideró que el peso molecular era de 81 kDa, que representaba muy probablemente la forma monomérica de la proteína. El enfoque isoeléctrico (IEF) se llevó a cabo utilizando un gel de pl 3-9. Después de la tinción con plata, se tiñó una amplia zona por encima de pl 5,85, además de una banda estrecha que correspondía a pl de 4,55. Se determinó que la actividad específica de la proteína purificada, denominada βG\_81 de Ta, a 50°C era de 600 nkat/mg utilizando 4-nitrofenil-β-D-glucopiranósido como sustrato (Bailey y Linko, 1990).
- La estabilidad térmica de la β-glucosidasa purificada se determinó a diferentes temperaturas. La reacción se realizó en presencia de 0,1 mg/ml de BSA a pH 5,0 durante 60 min. utilizando 4-nitrofenil-β-D-glucopiranósido como sustrato. La βG\_81 de *T. aurantiacus* fue estable hasta 75°C. El enzima de referencia de *Aspergillus* (Novozym 188) conservó 100% de la actividad hasta 60°C.
  - Ejemplo 9. Purificación de una xilanasa de Acremonium thermophilum ALKO4245
- Se cultivó *Acremonium thermophilum* ALKO4245 como se ha descrito en el Ejemplo 1. El sobrenadante del cultivo se incubó a 70°C durante 24 horas después de lo cual, se concentró mediante ultrafiltración. La xilanasa pura se obtuvo mediante purificación secuencial con cromatografía de interacción hidrófoba y de intercambio catiónico

seguida de filtración en gel. La actividad xilanasa se determinó utilizando como sustrato xilano de abedul (Procedimiento de la IUPAC 1987). La proteína se analizó mediante BioRad Protein Assay Kit (Bio-Rad Laboratories) utilizando albúmina de suero bovino como patrón.

El sobrenadante de cultivo concentrado se aplicó a una columna de interacción hidrófoba HiPrep 16/10 Butyl FF equilibrada con tampón de fosfato de potasio 20 mM de pH 6,0, que contenía (NH<sub>4</sub>)<sub>2</sub>SO<sub>4</sub> 1 M. Las proteínas unidas se hicieron eluir con el gradiente lineal desde el tampón anterior a fosfato de potasio 5 mM, pH 6,0. La fracción de proteína se hizo eluir en una amplia zona de conductividad de 120 a 15 mS/cm.

La muestra de la columna de interacción hidrófoba se aplicó a una columna de intercambio catiónico HiTrap SP XL equilibrada con acetato de sodio 8 mM, pH 4,5. La proteína no se unió a esta columna, sino que eluyó en el flujo directo durante la introducción de la muestra. Este eluato se concentró mediante ultrafiltración. La cromatografía hidrófoba se repitió como se ha descrito anteriormente. Las proteínas no unidas se recogieron y se liofilizaron.

La muestra disuelta se cargó en la columna de filtración en gel Superdex 75 HR10/30 equilibrada con tampón de fosfato de sodio 20 mM de pH 7,0, que contenía NaCl 0,15 M. Se estimó que la proteína eluida de la columna con el volumen de retención de 11,2 ml era pura mediante electroforesis en gel de poliacrilamida-SDS. Se consideró que la masa molecular de la proteína purificada sobre la base de los patrones de masa molecular (patrones SDS-PAGE teñidos previamente, Intervalo Amplio, Bio-Rad) era de 60 kDa. Se determino que la actividad específica de la proteína, denominada XYN\_60 de At, a 50°C era de 1800 nkat/mg (Procedimiento de la IUPAC 1987, utilizando como sustrato xilano de abedul). La actividad relativa aumentó aproximadamente 1,2 veces a 60°C y 1,65 veces a 70°C (10 min, pH 5,0) en comparación con 50°C. Las actividades específicas contra MUG2 (4-metilumbeliferil-β-D-celobiósido), MUL (4-metilumbeliferil-beta-D-lactósido) y MUG3 (4-metilumbeliferil-β-D-celotriósido) fueron de 54, 33 y 78 nkat/mg (50°C, pH 5,0, 10 min), respectivamente. Esto está de acuerdo con el hecho de que las xilanasas de la familia 10 también muestran actividad contra los arilglucopiranósidos (Biely *et al.* 1997).

Ejemplo 10. Purificación de una xilanasa de Thermoascus aurantiacus ALKO4242

10

15

20

30

45

50

55

Se cultivó *Thermoascus aurantiacus* ALKO4242 como se ha descrito en el Ejemplo 1. La xilanasa pura se obtuvo mediante purificación secuencial con cromatografía de interacción hidrófoba, de intercambio aniónico y catiónico seguida de filtración en gel. La actividad xilanasa se determinó utilizando como sustrato xilano de abedul (Procedimiento de la IUPAC 1987). La proteína se analizó mediante BioRad Protein Assay Kit (Bio-Rad Laboratories) utilizando albúmina de suero bovino como patrón.

El sobrenadante de cultivo se aplicó a una columna de interacción hidrófoba HiPrep 16/10 Phenyl Sepharose FF equilibrada con tampón fosfato de potasio 20 mM de pH 6,0, que contenía  $(NH_4)_2SO_4$  0,7 M. Las proteínas unidas se hicieron eluir con un protocolo de elución de dos etapas. La elución se llevó a cabo dejando caer primero la concentración de sal a  $(NH_4)_2SO_4$  0,2 M y después de eso se aplicó un gradiente lineal de fosfato de potasio 20 mM de pH 6,0, que contenía  $(NH_4)_2SO_4$  0,2 M a fosfato de potasio 5 mM de pH 6,0. La proteína se hizo eluir con  $(NH_4)_2SO_4$  0,2 M (I = 39 mS/cm).

La muestra se desaló en columnas 10DG (Bio-Rad) y se aplicó a una columna de intercambio aniónico HiTrap DEAE FF equilibrada con Tris-HCl 15 mM, pH 7,0. La proteína no se unió a la columna de intercambio aniónico sino que eluyó en el flujo directo. La conductividad de la muestra se ajustó para que correspondiera a la de acetato de sodio 20 mM, pH 4,5 mediante adición de agua y el pH se ajustó a 4,5 durante la concentración mediante ultrafiltración.

La muestra se aplicó a una columna de intercambio catiónico HiTrap SP XL equilibrada con acetato de sodio 20 mM, pH 4,5. Las proteínas unidas se hicieron eluir con un gradiente lineal desde el tampón de equilibrado al mismo tampón que contenía NaCl 1 M. La enzima se hizo eluir en la zona de conductividad de 1-7 mS/cm. La muestra se liofilizó y después de eso se disolvió en agua.

La muestra liofilizada se disolvió en agua y se aplicó a una columna de filtración en gel Superdex 75 HR 10/30 equilibrada con fosfato de sodio 20 mM de pH 7,0, que contenía NaCl 0,15 M. La proteína se hizo eluir de la columna con un volumen de retención correspondiente a un peso molecular de 26 kDa. Se estimó que la proteína era pura mediante electroforesis en gel de poliacrilamida-SDS. La masa molecular de la proteína pura fue de 30 kDa según se evaluó sobre la base de patrones de masa molecular (patrones de SDS-PAGE teñidos previamente, Intervalo Amplio, Bio-Rad). Se determinó que el pl de la proteína purificada, denominada XYN\_30 de Ta con PhastSystem (Pharmacia) era de aprox. 6,8. Se determinó que la actividad específica de XYN\_30 de Ta a 50°C era de 4800 nkat/mg (Procedimiento de la IUPAC 1987, utilizando como sustrato xilano de abedul).

Ejemplo 11. Secuenciación de aminoácidos internos

Los péptidos internos se secuenciaron mediante ionización por electropulverización combinada con espectrometría de masas en tándem (ESI-MS/MS) utilizando un aparato Q-TOF1 (Micromass). La proteína se alquiló primero y se digirió en péptidos trípticos. Los péptidos generados se desalaron y se separaron parcialmente mediante nanocromatografía líquida (de fase inversa) antes de aplicarlos al aparato Q-TOF1. Las secuencias de los péptidos internos para las celobiohidrolasas de *Chaetomium thermophilum* y *Acremonium thermophilum* se muestran en la

Tabla 2. Los péptidos de CBH de *Chaetomium* se obtuvieron después de haber clonado el correspondiente gen *CBH*. Los péptidos determinados de CBH de *Acremonium* no se utilizaron en la clonación del gen correspondiente.

Tabla 2. Secuencias de péptidos internos determinadas a partir de CBH (1\_C - 4\_C) de *Chaetomium thermophilum* ALKO4265 y de CBH (1\_A - 4\_A) de *Acremonium thermophilum* ALKO4245.

Péptido	Secuencia
Péptido 1_C	TPSTNDANAGFGR
Péptido 2_C	VAFSNTDDFNR
Péptido 3_C	FSNTDDFNRK
Péptido 4_C	P G N S L/I T Q E Y C D A Q/K K
Péptido 1_A	V T Q F I/L T G
Péptido 2_A	MGDTSFYGPG
Péptido 3_A	CDPDGCDFN
Péptido 4_A	SGNSL/ITTDF

I/L = la leucina y la isoleucina tienen la misma masa molecular y no se pueden distinguir en el análisis ESI-MS/MS, Q/K = la masa molecular de la glutamina y la lisina difiere solo en 0,036 Da y no se pueden distinguir en el análisis ESI-MS/MS.

10

15

Las secuencias de péptidos internos de las endoglucanasas,  $\beta$ -glucosidasas y xilanasas purificadas de *Acremonium thermophilum* ALKO4245, *Chaetomium thermophilum* ALKO4261 y *Thermoascus aurantiacus* ALKO4242 se enumeran en la Tabla 3, la Tabla 4 y la Tabla 5.

Tabla 3. Secuencias de péptidos internos determinadas a partir de las endoglucanasas EG\_40 de *Acremonium thermophilum* ALK04245, EG\_54 de *Chaetomium thermophilum* ALK04261 y EG\_28 de *Thermoascus aurantiacus* ALK04242.

Proteína	Péptido	Secuencia <sup>(a</sup>
EG_40 de At	Péptido 1	QSCSSFPAPLKPGCQWR
	Péptido 2	YALTFNSGPVAGK
	Péptido 3	VQCPSELTSR
	Péptido 4	NQPVFSCSADWQR
	Péptido 5	YWDCCKPSCGWPGK
	Péptido 6	PTFT
EG_54 de Ct	Péptido 1	EPEPEVTYYV
	Péptido 2	YYLLDQTEQY
	Péptido 3	RYCACMDLWEANSR
	Péptido 4	PGNTPEVHPQ/K
	Péptido 5	S I/L A P H P C N Q/K
	Péptido 6	QQYEMFR
	Péptido 7	ALNDDFCR
	Péptido 8	WGNPPPR
EG_28 de Ta	Péptido 1	I/L T S A T Q W L R
	Péptido 2	G C A I/L S A T C V S S T I/L G Q E R
	Péptido 3	PFMMER
	Péptido 4	QYAVVDPHNYGR

<sup>(</sup>a I/L = la leucina y la isoleucina tienen la misma masa molecular y no se pueden distinguir en el análisis ESI-MS/MS, Q/K = la masa molecular de la glutamina y la lisina difiere solo en 0,036 Da y no se pueden distinguir en el análisis ESI-MS/MS.

Tabla 4. Secuencias de péptidos internos determinados a partir de las beta-glucosidasas  $\beta G_101$  de *Acremonium thermophilum* ALK04245,  $\beta G_76$  de *Chaetomium thermophilum* ALK04261 y  $\beta G_81$  de *Thermoascus aurantiacus* ALK04242.

Proteína	Péptido	Secuencia <sup>(a</sup>
βG_101 de At	Péptido 1	SPFTWGPTR
	Péptido 2	V V V G D D A G N P C
	Péptido 3	AFVSQLTLLEK
	Péptido 4	GTDVL/IYTPNNK
	Péptido 5	Q P N P A G P N A C V L/I R
βG_76 de Ct	Péptido 1	EGLFIDYR
	Péptido 2	PGQSGTATFR
	Péptido 3	ETMSSNVDDR
	Péptido 4	IALVGSAAVV
	Péptido 5	MWLCENDR
	Péptido 6	YPQLCLQDGPLGIR
	Péptido 7	ELNGQNSGYPSI
βG_81 de Ta	Péptido 1	TPFTWGK
	Péptido 2	LCLQDSLPGVR
	Péptido 3	GVDVQLGPVAGVAPR
	Péptido 4	VNLTLE
	Péptido 5	FTGVFGEDVVG
	Péptido 6	NDLPLTGYEK

(a I/L = la leucina y la isoleucina tienen la misma masa molecular y no se pueden distinguir en el análisis ESI-MS/MS

5 Tabla 5. Secuencias de péptidos internos determinados a partir de las xilanasas XYN\_60 de *Acremonium thermophilum* ALK04245 y XYN\_30 de *Thermoascus aurantiacus* ALKO4242.

Proteína	Péptido	Secuencia
XYN_60 de At	Péptido 1	YNDYNLEYNQK
	Péptido 2	FGQVTPEN
	Péptido 3	VDGDATYMSYVNNK
	Péptido 4	KPAWTSVSSVLAAK
	Péptido 5	SQGDIVPRAK
XYN_30 de Ta	Péptido 1	VYFGVATDQNR
	Péptido 2	NAAIIQADFGQVTPENSMK
	Péptido 3	GHTLVWHSQLPSWVSSITDK
	Péptido 4	NHITTLMTR
	Péptido 5	AWDVVNEAFNEDGSLR
	Péptido 6	LYINDYNLDSASYPK
	Péptido 7	ASTTPLLFDGNFNPKPAYNAIVQDLQQ
	Péptido 8	QTVFLNVIGEDYIPIAFQTAR

Ejemplo 12. Construcción de bibliotecas genómicas para *Thermoascus aurantiacus, Chaetomium thermophilum* y *Acremonium thermophilum* 

Se prepararon las bibliotecas genómicas de *Chaetomium thermophilum* ALKO4265 y *Acremonium thermophilum* ALKO4245 para el vector Lambda DASH<sup>®</sup>II (Stratagene, USA) de acuerdo con las instrucciones del proveedor. Los ADN cromosómicos, aislados por el método de Raeder y Broda (1985), se digirieron parcialmente con *Sau* 3A. Los ADN digeridos también se fraccionaron por tamaños y los fragmentos del tamaño seleccionado (≈ 5-23 kb) se desfosforilaron y se ligaron a los brazos del vector lambda digerido con *Bam*HI. Las mezclas de ligación se empaquetaron utilizando extractos de empaquetamiento Gigapack III Gold de acuerdo con las instrucciones del fabricante (Stratagene, USA). Los títulos de las bibliotecas genómicas de *Chaetomium thermophilum* y *Acremonium thermophilum* fueron de 3,6 x 10<sup>6</sup> pfu/ml y 3,7 x 10<sup>5</sup> pfu/ml y los de las bibliotecas amplificadas fueron de 6,5 x 10<sup>10</sup> pfu/ml y de 4,2 x 10<sup>8</sup> pfu/ml, respectivamente.

Se utilizó Lambda FIX<sup>®</sup> II/Xho I Partial Fill-In Vector Kit (Stratagene, USA) en la construcción de las bibliotecas genómicas para *Thermoascus aurantiacus* ALKO4242 y *Chaetomium thermophilum* ALKO4261 de acuerdo con las instrucciones del proveedor. Los ADN cromosómicos, aislados mediante el método de Raeder y Broda (1985), se digirieron parcialmente con Sau3A. Los ADN digeridos se fraccionaron por tamaños y los fragmentos del tamaño seleccionado (≈ 6-23 kb) se rellenaron y se ligaron a los brazos del vector Lambda FIX II digerido con *Xhol*. Las mezclas de ligación se empaquetaron utilizando extractos de empaquetamiento Gigapack III Gold de acuerdo con las instrucciones del fabricante (Stratagene, USA). Los títulos de las bibliotecas genómicas de *Thermoascus aurantiacus* ALKO4242 y *Chaetomium thermophilum* ALKO4261 fueron de 0,2 x 10<sup>6</sup> y 0,3 x 10<sup>6</sup> pfu/ml y los de las bibliotecas amplificadas fueron de 1,8 x 10<sup>9</sup> y 3,8 x 10<sup>9</sup> pfu/ml, respectivamente.

Ejemplo 13. Clonación de los genes de celobiohidrolasa (*CBH/cel*7) de *Thermoascus aurantiacus, Chaetomium* 20 *thermophilum* y *Acremonium thermophilum* 

Se utilizaron los métodos de biología molecular convencionales en el aislamiento y los tratamientos con enzima del ADN (plásmidos, fragmentos de ADN), en las transformaciones de *E. coli*, etc. Los métodos básicos utilizados se describen en los manuales de biología molecular convencionales, p. ej., Sambrook et al. (1989) y Sambrook y Russell (2001).

Las sondas para el escrutinio de las bibliotecas genómicas que se habían construido como se ha descrito en el Ejemplo 12 se amplificaron mediante PCR utilizando los ADN genómicos de *Thermoascus aurantiacus* ALKO4242, *Chaetomium thermophilum* ALKO4265 y *Acremonium thermophilum* ALKO4245 como moldes en las reacciones. Varios cebadores sometidos a ensayo en reacciones de PCR se diseñaron de acuerdo con la secuencia de nucleótidos publicada (documento WO 03/000941, Hong et al., 2003b). Las mezclas de reacción de PCR contenían Tris-HCl 50 mM, pH 9,0, (NH<sub>4</sub>)<sub>2</sub>SO<sub>4</sub> 15 mM, Triton X-100 al 0,1%, MgCl<sub>2</sub> 1,5 mM, dNTP 0,2 mM, cada cebador 5 mM y 1 unidad de ADN polimerasa Dynazyme EXT (Finnzymes, Finlandia) y ≈0,5-1 μg del ADN genómico. Las condiciones para las reacciones de PCR fueron las siguientes: 5 min de desnaturalización inicial a 95°C, seguido de 30 ciclos de 1 min a 95°C, o bien 1 min de recocido a 62°C (gradiente de ± 8°C) para los moldes de *Thermoascus* ALKO4242 y *Chaetomium* ALKO4265 o 1 min de recocido a 58°C (gradiente de ± 6°C) para el molde de *Acremonium* ALKO4245, 2 min de extensión a 72°C y una extensión final a 72°C durante 10 min.

Los productos de ADN de los tamaños esperados (calculados a partir de las secuencias de *CBH* publicadas) se obtuvieron de todos los moldes genómicos utilizados. Los fragmentos de ADN de los tamaños esperados se aislaron de las reacciones de PCR más específicas y se clonaron en el vector pCR<sup>®</sup> Blunt-TOPO<sup>®</sup> (Invitrogen, USA). Los insertos se caracterizaron mediante secuenciación y llevando a cabo hibridaciones de transferencia Southern para los ADN genómicos digeridos con varias enzimas de restricción. Los fragmentos de PCR, que se eligieron para ser utilizados como sondas para el escrutinio de las bibliotecas genómicas de *Thermoascus aurantiacus, Chaetomium thermophilum* y *Acremonium thermophilum* se presentan en la Tabla 6.

40

45

Tabla 6. Cebadores utilizados en las reacciones de PCR y sondas seleccionadas para el escrutinio de los genes *CBH/cel7* de las bibliotecas genómicas de *Thermoascus aurantiacus*, *Chaetomium thermophilum* y *Acremonium thermophilum*. Se muestran el ADN molde genómico y el nombre del plásmido que contiene el fragmento sonda.

Gen	Cebador directo	Cebador inverso	DNA molde	Fragmento (kb)	Plásmido
cbh de Ta	TCEL11 atgcgaactggcgttgggtcc	TCEL12 gaatttggagctagtgtcgacg	Thermoascus ALKO4242	0,8 kb	pALK1633
cbh de Ct	TCEL7 cgatgccaactggcgctggac	TCEL8 ttcttggtggtgtcgacggtc	Chaetomium ALKO4265	0,8 kb	pALK1632
cbh de At	TCEL13 agctcgaccaactgctacacg	TCEL4 accgtgaacttcttgctggtg	Acremonium ALKO4245	0,7 kb	pALK1634

Las secuencias de aminoácidos deducidas de todas estas sondas tenían homología con varias secuencias publicadas de CBH (programa BLAST, versión 2.2.9 del NCBI, National Center for Biotechnology Information; Altschul. *et al*, 1990), de la familia 7 de glicósido hidrolasas (Henrissat, 1991; Henrissat y Bairoch, 1993).

5

10

15

20

35

Los insertos de los plásmidos enumerados en la Tabla 6 se marcaron con digoxigenina de acuerdo con las instrucciones del proveedor (Roche, Alemania), y las bibliotecas genómicas amplificadas (2 x 10<sup>5</sup> - 3 x 10<sup>5</sup> placas) se escrutaron con los fragmentos sonda marcados. La temperatura de hibridación para los filtros fue de 68°C y los filtros se lavaron 2 x 5 min a RT utilizando 2 x SSC - SDS al 0,1% seguido de 2 x 15 min a 68°C utilizando 0,1 x SSC - SDS al 0,1% con las sondas homólogas utilizadas. Se obtuvieron varias placas positivas a partir de cada una de las hibridaciones. En el escrutinio de las bibliotecas genómicas de *Acremonium* ALKO4245, algunas de las placas positivas hibridaron fuertemente con la sonda en cuestión, pero, además, hubo una cantidad de placas que hibridaron más débilmente con las sondas. Esto sugirió que otro u otros genes de celobiohidrolasa podrían estar presentes en el genoma, causando una reacción cruzada. Se purificaron de cuatro a cinco placas que hibridaron fuertemente a partir de los escrutinios de las bibliotecas genómicas de *Thermoascus* ALKO4242 y *Chaetomium* ALKO4265. En el caso de *Acremonium thermophilum* ALKO4245, cuatro de las seis placas purificadas hibridaron débilmente con la sonda utilizada. Los ADN de fagos se aislaron y se caracterizaron mediante hibridaciones de transferencia Southern. Los fragmentos de restricción seleccionados que hibridaron con la sonda se subclonaron con el vector pBluescript II KS+ y se secuenciaron las regiones relevantes de los clones.

En total, se clonaron cuatro genes *cbh/cel7*; uno de *Thermoascus aurantiacus* ALKO4242, uno de *Chaetomium thermophilum* ALKO4265 y dos de *Acremonium thermophilum* ALKO4245 (en la fase temprana del trabajo, estos tenían los códigos At\_cbh\_C At\_cbh\_A y, a continuación, se denominaron At *cel7* A y cel7B de At, respectivamente). La Tabla 7 resume la información sobre las sondas utilizadas para los escrutinios de los genes, los clones de fagos a partir de los cuales se aislaron los genes, los fragmentos de restricción seleccionados que contenían los genes completos con sus regiones promotoras y terminadoras, los nombres de los plásmidos, y los números de depósito DSM para las cepas de *E. coli* que portaban estos plásmidos.

Tabla 7. Sondas utilizadas para la clonación de los genes *cbhlcel*7, el clon de fago y los subclones seleccionados, el número de plásmido y el número de depósito de la correspondiente cepa de *E. coli*.

Gen	Sonda utilizada en el escrutinio	Clon de fago	Fragmento subclonado en pBluescript II	Número de plásmido	Núm. de depósito de E. coli
Cel7A de Ta	pALK1633	F12	Xbal de 3,2 kb	pALK1635	DSM 16723
Cel7A de Ct	pALK1632	F36	Pvul - HindIII de 2,3 kb	pALK1642	DSM 16727
cel7B de At	pALK1634	F6	EcoRI de 3,1 kb	pALK1646	DSM 16728
Cel7A de At	pALK1634	F2	Xhol de 3,4 kb	pALK1861	DSM 16729

La información relevante sobre los genes y las secuencias de proteínas deducidas (SEQ ID NO: 1-8) se resumen en la Tabla 8 y la Tabla 9, respectivamente.

Las secuencias de péptidos de las proteínas CBH purificadas de *Chaetomium thermophilum* ALKO4265 y *Acremonium thermophilum* ALKO4245 (Tabla 2) se encontraron partir de las secuencias de aminoácidos deducidas de los clones que contenían los genes Cel7A de Ct y Cel7A de At. Por lo tanto, se pudo concluir que los genes que codificaban las proteínas CBH/Cel7 purificadas de *Chaetomium thermophilum* y *Acremonium thermophilum* se habían clonado.

Tabla 8. Resumen de los genes cbh/cel7 aislados de Thermoascus aurantiacus ALKO4242, Chaetomium thermophilum ALKO4265 y Acremonium thermophilum ALKO4245.

Gen Cbh	Longitud con intrones (pb) <sup>(a</sup>	Región codificante (pb) <sup>(b</sup>	Núm. de intrones	Longitudes de los intrones (pb)	SEQ ID NO:
Cel7A de Ta	1439	1371	1	65	1
Cel7A de Ct	1663	1596	1	64	7
cel7B de At	1722	1377	3	134, 122, 87	3

Gen Cbh	Longitud con intrones (pb) <sup>(a</sup>	Región codificante (pb) <sup>(b</sup>	Núm. de intrones	Longitudes de los intrones (pb)	SEQ ID NO:	
Cel7A de At	1853	1569	4	88, 53, 54, 86	5	
(a Está incluido el codón de PARADA. (b No está incluido el codón de PARADA.						

Tabla 9. Resumen de las secuencias de aminoácidos deducidas de las secuencias de los genes *cbhlcel7* de *Thermoascus aurantiacus* ALKO4242, *Chaetomium thermophilum* ALK4265 y *Acremonium thermophilum* ALK04245. ss, secuencia señal.

Proteína CBH	Núm. de aa	Longitud de ss NN/HMM <sup>(a</sup>	CBD C- terminal (b	PM pronosticado (Da, no incluida ss) <sup>(c</sup>	pl pronosticado (no incluida ss)	Supuestos sitios de N-glicosilación	SEQ ID NO:
Cel7A de Ta	457	17/17	NO	46873	4,44	2	2
Cel7A de Ct	532	18/18	SI, T497 a L532	54564	5,05	3	8
Cel7B de At	459	21/21	NO	47073	4,83	2	4
Cel7A de At	523	17/17	SI, Q488 a L523	53696	4,67	4	6

(a La predicción de la secuencia señal se realizó utilizando el programa SignalP V3.0 (Nielsen *et al.,* 1997; Bendtsen. *et al.,* 2004); el valor NN se obtuvo utilizando redes neuronales y el valor HMM utilizando modelos ocultos de Markov.

(b Se indican el dominio de unión a celulosa (CBD), los aminoácidos de la región CBD C-terminal (M1 (se incluye en la numeración la Met Núm. 1))

(c No se incluyó la secuencia señal pronosticada. La predicción fue hecha utilizando la herramienta Compute pl/MW del servidor ExPASy (Gasteiger et al., 2003).

(d Número de secuencias NXS/T.

5

10

15

20

25

35

Las secuencias de aminoácidos deducidas de Cel7A de *Thermoascus aurantiacus* y Cel7A de *Acremonium thermophilum* (núcleo, sin el CBD) eran muy homólogas entre sí (analizadas mediante el alineamiento global de Needleman-Wunsch, EMBOSS 3.0.0 Needle, con Matrix EBLOSUM62, Penalización por Hueco 10,0 y Penalización por extensión 0,5; Needleman y Wunsch, 1970). Además, la Cel7A de *Acremonium thermophilum* deducida tenía una identidad menor con la Cel7A de *Chaetomium thermophilum* deducida. La Cel7B de *Acremonium thermophilum* fue muy distinta de las secuencias de CBH/Cel7 descritas aquí.

La secuencia de Cel7A de *Chaetomium* deducida poseía las identidades más altas (analizadas mediante alineamiento global de Needleman-Wunsch, EMBOSS Needle, véase más arriba) con los polipéptidos de CBHI de *Chaetomium thermophilum*, *Scytalidium thermophilum* y *Thielavia australiensis* describos en el documento WO 03/000941. Del mismo modo, la secuencia de Cel7A de *Thermoascus aurantiacus* deducida era altamente idéntica a la de CBHI publicada de *Thermoascus aurantiacus* (documento WO 03/000941, Hong et al., 2003b). Cel7B *de Acremonium thermophilum* tenía identidades significativamente inferiores a las secuencias previamente publicadas, estando más estrechamente relacionada con el polipéptido de CBHI de *Oryza sativa*. Los mayores homologías de la secuencia de Cel7A de *Acremonium thermophilum* deducida fueron con los polinucleótidos de CBHI de *Exidia gladulosa* y *Acremonium thermophilum* (documento WO 03/000941). El alineamiento indica que las secuencias clonadas de *Thermoascus aurantiacus* ALKO4242, *Chaetomium thermophilum* ALKO4265 y *Acremonium thermophilum* ALKO4245 codifican las proteínas CBH que tienen alta homología con los polipéptidos de la familia 7 de glicósido hidrolasas, por lo tanto, éstas se denominaron Cel7A o Cel7B (Henrissat *et al.* 1998).

La comparación de las secuencias de aminoácidos deducidas de los genes *CBH/cel* 7 de *Thermoascus aurantiacus* ALKO4242, *Chaetomium thermophilum* ALKO4265 y *Acremonium thermophilum* ALKO4245 y *Thielavia* entre sí, y adicionalmente con las secuencias encontradas en las bases de datos, se muestran en la Tabla 10.

Tabla 10. Secuencias con una homología más alta con las secuencias de aminoácidos deducidas de los genes *CBH/cel* 7 de *Thermoascus aurantiacus* ALKO4242, *Chaetomium thermophilum* ALK04265 y *Acremonium thermophilum* ALK04245. El alineamiento se realizó utilizando el alineamiento global Needleman-Wunsch (EMBLOSUM62, Penalización por huevo 10,0, Penalización por extensión 0,5). \* indica una secuencia de

aminoácidos derivada de uno de los genes celobiohidrolasa clonados en este trabajo. 'Central' indica el alineamiento sin el CBD.

Organismo, enzima y número de acceso	Identidad, (%)
*Thermoascus aurantiacus Cel7A	100,0
Thermoascus aurantiacus, AY840982	99,6
Thermoascus aurantiacus, AX657575	99,1
Thermoascus aurantiacus, AF421954	97,8
Talaromyces emersonii, AY081766	79,5
Chaetomidium pingtungium, AX657623	76,4
Trichophaea saccata, AX657607	73,4
*Acremonium thermophilum Cel7A (núcleo)	70,6
Emericella nidulans, AF420020 (núcleo)	70,4
*Chaetomium thermophilum Cel7A (núcleo)	66,4
*Chaetomium thermophilum Cel7A	100,0
Chaetomium thermophilum, AY861347	91,9
Chaetomium thermophilum, AX657571	91,7
Scytalidium thermophilum, AX657627	74,7
Thielavia australiensis, AX657577	74,6
Acremonium thermophilum, AX657569	72,3
Exidia glandulosa, AX657613	68,0
*Acremonium thermophilum Cel7A	66,9
*Thermoascus aurantiacus Cel7A (núcleo)	66,4
Exidia glandulosa, AX657615	60,8
Chaetomium pingtungium, AX657623	60,7
*Acremonium thermophilum Cel7B (núcleo)	60,2
*Acremonium thermophilum Cel7B	100,0
Oryza sativa, AK108948	66,1
Exidia glandulosa, AX657615	65,0
Acremonium thermophilum, AX657569 (núcleo)	64,8
Thermoascus aurantiacus, AX657575	64,8
*Acremonium thermophilum Cel7A	64,6
*Thermoascus aurantiacus Cel7A	64,4
Trichophaea saccata, AX657607	63,6
*Chaetomium thermophilum Cel7A (núcleo)	60,2
*Acremonium thermophilum Cel7A	100,0
Exidia glandulosa, AX657613	77,9
Exidia glandulosa, AX657615	77,9
Acremonium thermophilum, AX657569	77,5
Thielavia australiensis, AX657577	71,0
*Thermoascus aurantiacus Cel7A (núcleo)	70,6
Scytalidium thermophilum, AX657627	67,5
Chaetomium thermophilum, AX657571	67,5

Organismo, enzima y número de acceso	Identidad, (%)
Chaetomium pingtungium, AX657623	67,3
*Chaetomium thermophilum Cel7A	66,9
*Acremonium thermophilum Cel7B (núcleo)	64,6

Ejemplo 14. Producción de proteínas CBH/Cel7 recombinantes en Trichoderma reesei

10

15

20

25

30

35

40

45

Se construyeron plásmidos de expresión para la producción de las proteínas CBH/Cel7 recombinantes de *Thermoascus aurantiacus* (Cel7A de Ta), *Chaetomium thermophilum* (Cel7A de Ct) y *Acremonium thermophilum* (Cel7A de At, Cel7B de At; en la fase inicial del trabajo estas proteínas tenían los códigos temporales CBH\_C de At y CBH\_A de At, respectivamente). Los plásmidos de expresión construidos se enumeran en la Tabla 11. Los genes *cbhlcel*7 recombinantes, incluyendo sus propias secuencias señal, se fusionaron exactamente con el promotor de *cbh1 (cel7A)* de *T. reesei* mediante PCR. La terminación de la transcripción se garantizó por medio del terminador de *cel7A* de *T. reesei* y el gen marcador *amdS* de *A. nidulans* se utilizó para la selección de los transformantes como describen Paloheimo *et al.* (2003). Los casetes de expresión lineal (Fig. 2), se aislaron de las cadenas principales del vector después de la digestión con *Eco*RI y se transformaron en protoplastos A96 y A98 de *T. reesei* (ambas cepas tienen suprimidos los genes que codifican las cuatro celulasas principales CBHI/Cel7A, CBHII/Cel6A, EGI/Cel7B y EGII/Cel5A). Las transformaciones se realizaron como en Penttilä *et al.* (1987) con las modificaciones descritas en Karhunen *et al.* (1993), seleccionando con acetamida como única fuente de nitrógeno. Los transformantes se purificaron sobre placas de selección a través de conidios individuales antes de su esporulación sobre PD.

Tabla 11. Casetes de expresión construidos para producir las proteínas CBH/Cel7 de *Thermoascus aurantiacus* ALK04242 (Cel7A de Ta), *Chaetomium thermophilum* ALKO4265 (Cel7A de Ct), y *Acremonium thermophilum* ALKO4245 (Cel7A de At, Cel7B de At) en *Trichoderma reesei*. La estructura general de los casetes de expresión fue la descrita en la Fig. 2. Los genes *cbhlcel7* clonados se fusionaron exactamente con el promotor *cbh1/cel7A* de T. *reesei*.

CBH/Cel7	Plásmido de expresión	Tamaño del casete de expresión <sup>(a</sup>	terminador de cel7A <sup>(b</sup>
Cel7A de Ta	pALK1851	9,0 kb	245 pb ( <i>Xba</i> l)
Cel7A de Ct	pALK1857	9,2 kb	240 pb ( <i>Hind</i> III)
Cel7B de At	pALK1860	9,4 kb	361 pb ( <i>Eco</i> RI)
Cel7A de At	pALK1865	9,5 kb	427 pb (EcoRV)

(a El casete de expresión para la transformación de T. *reesei* se aisló de la cadena principal del vector utilizando la digestión con EcoRI.

(b Número de nucleótidos de la región terminadora de *cbh1/cel7A* genómico después del codón de parada. El sitio de restricción en el extremo 3', utilizado en la escisión del fragmento de gen genómico, se incluye en el paréntesis.

La producción de CBH/Cel7 de los transformantes se analizó a partir de los sobrenadantes de cultivo de los cultivos en matraz oscilante (50 ml). Los transformantes se cultivaron durante 7 días a 28°C en un medio inductor de celulasa a base de complejo de lactosa (Joutsjoki et al. 1993) tamponado con KH<sub>2</sub>PO<sub>4</sub> al 5%. La actividad celobiohidrolasa se analizó utilizando sustrato de 4-metilumbeliferil-β-D-lactósido (MUL) de acuerdo con van Tilbeurghet al., 1988. Los genotipos de los transformantes seleccionados se confirmaron utilizando transferencias Southern en las que se incluyeron varios productos digeridos genómicos y el casete de expresión respectivo se utilizó como sonda. Se analizó la expresión heteróloga de las proteínas Cel7A de Ta, Cel7A de Ct, Cel7A de At y Cel7B de At mediante SDS-PAGE con la posterior tinción de Coomassive. Las conclusiones de que no se pudiera detectar ninguna actividad celobiohidrolasa o la producción de proteína heteróloga en SDS-PAGE para los transformantes de Cel7B de At que contenía el casete de expresión integrado, sugieren que Cel7B de At es producida por debajo de los niveles de detección en *Trichoderma* utilizando el diseño experimental descrito.

Las preparaciones de enzima CBH/Cel7 recombinante se caracterizaron en términos de pH óptimo y de estabilidad térmica. El pH óptimo de las proteínas CBH/Cel7 recombinantes de *Thermoascus aurantiacus*, *Chaetomium thermophilum*, y *Acremonium thermophilum* se determinó en el tampón universal de McIlvaine dentro de un intervalo de pH de 3,0-8,0 utilizando 4-metilumbeliferil-β-D-lactósido (MUL) como sustrato (Fig. 3A). El pH óptimo para las enzimas Cel7A de Ct y Cel7A de At se encuentra en 5,5, por encima del cual la actividad comienza a disminuir gradualmente. El pH óptimo de Cel7A de Ta bruta recombinante se encuentra en 5,0 (Fig. 3A). La estabilidad térmica de las enzimas Cel7 recombinantes se determinó midiendo la actividad MUL en tampón universal de McIlvaine, al pH óptimo con un tiempo de reacción de 1 h. Como se muestra a partir de los resultados Cel7A de Ta y Cel7A de Ct conservaron más de 60% de sus actividades a 70°C, mientras que Cel7A de At demostró claramente ser menos estable a las temperaturas más altas (≥65°C) (Fig. 3B).

Los transformantes de CBH/Cel7 seleccionados se cultivaron biorreactores de laboratorio a 28°C en el medio indicado anteriormente durante 3-4 días con un pH de control de 4,4 ± 0,2 (NH<sub>3</sub>/H<sub>3</sub>PO<sub>4</sub>) para obtener material para las pruebas de aplicación. Los sobrenadantes se recuperaron mediante centrifugación y se filtraron a través de filtros Seitz K-150 y EK (Pall SeitzSchenk Filtersystems GmbH, Bad Kreuznach, Alemania).

5 Ejemplo 15. Producción de las proteínas de fusión Cel7A + CBD de *Thermoascus aurantiacus* recombinante en *T. reesei* 

Se fusionó Cel7A de *Thermoascus aurantiacus* (AF478686, Hong *et al.*, 2003b; SEQ ID NO: 1) con el conector y CBD de CBHI/Cel7A de *Trichoderma reesei* (AR088330, Srisodsuk *et al.* 1993) (= CBD de Tr), seguido de la producción de la proteína de fusión (SEQ ID NO: 28 que corresponde al ácido nucleico del SEQ ID NO: 27) en *T. reesei* como se describe en Fl20055205/US 11/119526; presentado el 29 de Abril 2005. Además, Cel7A de *Thermoascus aurantiacus* se fusionó con el conector y el CBD de Cel7A de *Chaetomium thermophilum* (SEQ ID NO: 7) (CBD de Ct). Para ello, se sintetizaron la secuencia codificante del conector y el CBD de Cel7A de *Chaetomium thermophilum* mediante PCR utilizando los siguientes cebadores:

5'-TTAAACATATGTTATCTACTCCAACATCAAGGTCGGACCCATCGGCTC-GACCGTCCCTGGCCTTGAC-3' (secuencia directa)

У

10

15

20

25

30

35

40

50

55

5'-TATATGCGGCCGCAAGCTTTACCATCAAGTTACTCCAGCAAATCAGGG-AACTG-3' (secuencia inversa).

La mezcla de reacción de PCR contenía 1 x tampón de reacción de DyNAzyme™ EXT (Finnzymes, Finlandia), Mg²+ 15 mM, dNTP 0,2 mM, 2 μM de cada cebador, 0,6 unidades de ADN polimerasa DyNAzyme™ EXT (Finnzymes, Finlandia), y aproximadamente 75 ng/30 μl de ADN molde, que contenía el gen *cel7A* completo de *Chaetomium thermophilum*. Las condiciones para la reacción de PCR fueron las siguientes: 2 min. de desnaturalización inicial a 98°C, seguido de 30 ciclos de 30 seg. a 98°C, 30 seg. de recocido a 68°C (gradiente de ± 4°C), 30 segundos de extensión a 72°C y una extensión final a 72°C durante 10 min. El fragmento de ADN específico en la reacción de PCR se obtuvo a un intervalo de temperatura de recocido entre 64°C a 68,5°C. El fragmento CBD sintetizado de *Chaetomium thermophilum* se ligó después del gen *cel7A* de *Thermoascus aurantiacus* dando como resultado un punto de unión de GPIGST entre los dominios. El fragmento amplificado por PCR del plásmido se confirmó mediante secuenciación (SEQ ID NO: 29). El gen fusión *cel7A* construido se fusionó exactamente al promotor de *cbh1 (cel7A)* de *T. reesei*. La terminación de la transcripción se aseguró por medio del terminador de *cel7A* de *T. reesei* y se utilizó el gen marcador *amdS* de *A. nidulans* para la selección de los transformantes como se describe en Paloheimo et *al.* (2003).

El casete de expresión lineal se aisló de la cadena principal del vector después de la digestión con *Not*l y se transformó en protoplastos A96 de *T. reesei*. Las transformaciones se realizaron como en Penttilä *et al.* (1987) con las modificaciones descritas en Karhunen *et al.* (1993), con la selección de acetamida como única fuente de nitrógeno. Los transformantes se purificaron en placas de selección a través de conidios individuales antes de la su esporulación sobre PD.

Se analizó la producción Cel7A + CBD (SEQ ID NO. : 28 y 30) de *Thermoascus aurantiacus* de los transformantes a partir de los sobrenadantes de cultivo de los cultivos en matraz oscilante (50 ml). Los transformantes se cultivaron durante 7 días en un medio inductor de celulasa complejo (Joutsjoki *et al.* 1993) tamponado con 5% de KH<sub>2</sub>PO<sub>4</sub> a pH 5,5. La actividad de celobiohidrolasa se analizó utilizando sustrato de 4-metilumbeliferil-β-D-lactósido (MUL) de acuerdo con van Tilbeurgh *et al.*, 1988. Los genotipos de los transformantes seleccionados se confirmaron utilizando transferencias Southern en las que se habían incluido diversos productos digeridos genómicos y el casete de expresión se utilizó como sonda. Los análisis de SDS-PAGE mostraron que las enzimas Cel7A + CBD de *Thermoascus aurantiacus* recombinante se habían producido en forma de proteínas de fusión estables en T. *reesei*.

El transformante seleccionado que producía la proteína de fusión Cel7A de Ta + CBD de Tr (SEQ ID NO: 28) también se cultivó en un biorreactor 2 litros a 28°C en el medio indicado anteriormente durante 3-4 días con control de pH a 4,4 ± 0,2 (NH<sub>3</sub>/H<sub>3</sub>PO<sub>4</sub>) para obtener material para las pruebas de aplicación. Los sobrenadantes se recuperaron mediante centrifugación y se filtraron a través de filtros Seitz K-150 y EK (Pall SeitzSchenk Filtersystems GmbH, Bad Kreuznach, Alemania).

Ejemplo 16. Comparación de las constantes de Michaelis-Menten y de inhibición de celobiosa de celobiohidrolasas recombinantes purificadas

Las constantes de Michaelis-Menten y de inhibición de la celobiosa se determinaron a partir de las celobiohidrolasas producidas de manera heteróloga en *T. reesei* (Ejemplos 14 y 15). Las enzimas se purificaron como se describe en el Ejemplo 2. Las concentraciones de proteína de las enzimas purificadas se midieron mediante su absorción a 280 nm utilizando un coeficiente de extinción molar teórico, que se evaluó a partir de las secuencias de aminoácidos (Gill y von Hippel, 1989).

Las constantes cinéticas (valores Km y kcat) y la constante de inhibición de celobiosa (Ki) para CBHI/Cel7A de Tr, CBH/Cel7A de Ta, CBH/Cel7A de At y CBH/Cel7A de Ct, se midieron utilizando CNPLac (2-Cloro-4-nitrofenil-β-D-lactósido) como sustrato a la temperatura ambiente (22°C) en tampón de fosfato de sodio 50 mM, pH 5,7. Para la determinación de la constante de inhibición (Ki), se utilizaron ocho concentraciones de sustrato diferentes (31 a 4000 μM) en presencia de un intervalo de cinco concentraciones de inhibidor (0-100 μM o 0-400 μM), que agrupen el valor de Ki. Todos los experimentos se realizaron en placas de microtitulación y el volumen de reacción total fue de 200 μl. Las tasas iniciales se midieron en cada caso mediante control continuo de la liberación del anión de cloronitrofenolato (CNP, 2-cloro-4-nitrofenolato) a través de mediciones a 405 nm utilizando un lector de placas de microtitulación Varioscan (ThermoLabsystems). Los resultados se calcularon a partir de la curva patrón de CNP (de 0 a 100 μM). Las concentraciones de enzima utilizadas fueron: CBHI/Cel7A de Tr 2,46 μM, CBH/Cel7A de Ta 1,58 μM, CBH/Cel7A de Ct 0,79 μM y CBH/Cel7A de At 3 μM. Las constantes Km y kcat se calcularon a partir del ajuste de la ecuación de Michaelis-Menten utilizando el programa de Origen. Se utilizaron diagramas de Lineweaver-Burk, regráficos "replots" (pendiente de LWB frente a [glc2; celobiosa]) y diagramas de Hanes para distinguir entre la inhibición de tipo competitivo y mixta y para determinar las constantes de inhibición (Ki).

5

10

25

30

35

40

45

Los resultados de las mediciones cinéticas se muestran en la Tabla 12 y la Tabla 13. Como se puede observar, CBH/Cel7A de Ct tiene claramente el número de recambio más alto (kcat) sobre CNPLac y también la constante de especificidad (kcat/Km) es mayor en comparación con CBHI/Cel7A de *T. reesei*. La celobiosa (glc2) es un inhibidor competitivo para todas las celulasas medidas, y la CBHI/Cel7A de Tr (utilizada como control) tiene la inhibición más fuerte (es decir, el valor de Ki más bajo) por celobiosa. La CBH/Cel7A de At tuvo una constante de inhibición 7 veces mayor en comparación con el de CBHI/Cel7A de Tr. Estos resultados indican que las tres nuevas celobiohidrolasas podrían funcionar mejor en la hidrólisis de celulosa debido a la disminución de la inhibición por celobiosa en comparación con la celobiohidrolasa I de Cel7A de *Trichoderma reesei*.

Tabla 12. Comparación de las constantes de inhibición de celobiosa de cuatro celobiohidrolasas de la familia 7 de GH, medidas sobre CNPLac en tampón de fosfato de sodio 50 mM de pH 5,7, a 22°C.

Enzima	Ki (μM)	Tipo de inhibición
Cel7A de Ct	39	competitiva
Cel7A de Ta	107	competitiva
Cel7A de At	141	competitiva
Cel7A de Tr	19	competitiva

Tabla 13. Comparación de las constantes cinéticas de Michaelis-Menten de celobiohidrolasa Cel7A de *Chaetomium thermophilum* con CBHI/Cel7A de *T. reesei,* medidas sobre CNPLac en tampón de fosfato de sodio 50 mM de pH 5,7, a 22°C.

Enzima	kcat (min <sup>-1</sup> )		kcat /Km (min <sup>-1</sup> M <sup>-1</sup> )
Cel7A de Ct	18,8	1960	9,5 103
Cel7A de Tr	2,6	520	5,0 103

#### Ejemplo 17. Hidrólisis de celulosa cristalina (Avicel) por las celobiohidrolasas recombinantes

Las celobiohidrolasas recombinantes purificadas Cel7A de Ct, Cel7A de Ta, Cel7A de Ta+CBD de Tr, Cel7A de Ta+CBD de Ct, Cel7A de At así como la versión núcleo de Cel7A de Ct (véase más adelante) se sometieron a ensayo en cantidades equimolares en la hidrólisis de celulosa cristalina a dos temperaturas, 45°C y 70°C; la Cel7A de Tr de T. *reesei* purificada y su versión núcleo (véase más adelante) se utilizaron como comparación. Los análisis de hidrólisis de la celulosa cristalina (Ph 101, Avicel; Fluka, Bucsh, Suiza) se llevaron a cabo en acetato de sodio 50 mM en un tubo con escala de 1,5 ml, pH 5,0. Se aplicó movimiento oscilante a Avicel a 45°C o a 70°C, con la disolución de enzima (1,4 µM), y el volumen final de la mezcla de reacción fue de 325 µl. La hidrólisis siguió hasta 24 horas tomando muestras en seis momentos diferentes y deteniendo la reacción mediante la adición de 163 µl de reactivo de parada que contenía 9 vol de etanol del 94% y 1 vol de glicina 1 M (pH 11). La disolución se filtró a través de una unidad de filtración Millex GV13 de 0,22 µm (Millipore, Billerica, MA, USA). La formación de azúcares reductores solubles en el sobrenadante se determinó mediante el método de la hidrazida de ácido parahidroxibenzoico (PAHBAH) (Lever, 1972) utilizando una curva patrón de celobiosa (celobiosa de 50 a 1600 µM). Se añadió una disolución de PAHBAH 0,1 M (Sigma-Aldrich, St. Louis, MO, USA) de nueva aportación en NaOH 0,5 M (100 µl) a 150 µl de la muestra filtrada y se hirvió durante 10 minutos después de lo cual la disolución se enfrió sobre hielo. Se midió la absorbancia de las muestras a 405 nm.

27

Las versiones núcleo de las celobiohidrolasas que albergan un CBD en su forma nativa se obtuvieron como sigue: Cel7A de Ct y Cel7A de Tr fueron expuestas a digestión proteolítica para eliminar el dominio de unión a celulosa. La digestión con papaína (Papaya Latex, 14 U/mg, Sigma) de las celobiohidrolasas nativas se realizó a 37°C durante 24 h en una mezcla de reacción compuesta de L-cisteína 10 mM y EDTA 2 mM en tampón de acetato de sodio 50 mM (pH 5,0) con la adición de papaína (se sometieron a ensayo dos concentraciones de papaína: una cantidad de una quinta parte o una décima parte de papaína con respecto a la cantidad total de la Cel7A en la mezcla de reacción). La proteína núcleo resultante se purificó con una columna de intercambio aniónico DEAE Sepharose FF (Pharmacia, Uppsala, Suecia) como se ha descrito anteriormente. El producto se analizó en SDS-PAGE.

Los resultados de hidrólisis a 45°C y 70°C se muestran en la Figura 4 y la Figura 5, respectivamente. Los resultados muestran claramente que todas las celobiohidrolasas muestran una hidrólisis más rápida y más completa a ambas temperaturas en comparación con la celobiohidrolasa Cel7A de *T. reesei* del estado de la técnica. A 70°C, las celobiohidrolasas termoestable de *Thermoascus aurantiacus* ALKO4242 y *Chaetomium thermophilum* ALKO4265 son superiores en comparación con Cel7A de T. *reesei*, también en el caso en el que el núcleo de Cel7A de *Thermoascus* está conectado al CBD de Cel7A de T. *reesei* (Cel7A de Ta + CBD de Tr). Resultó sorprendente que las celobiohidrolasas aisladas y clonadas en este trabajo sean superiores, cuando albergan un CBD, en la velocidad y la formación del producto en la hidrólisis de celulosa cristalina también a la temperatura de hidrólisis convencional de 45°C cuando se comparó con la celobiohidrolasa del estado de la técnica de Cel7A (CBHI) de *T. reesei* a la misma concentración de la enzima. Los resultados también están de acuerdo con las preparaciones de enzima (Cel7A de At y Cel7A de Ct), que se purificaron a partir de los anfitriones originales y se sometieron a ensayo en la hidrólisis de Avicel (50°C, 24 h) (Ejemplo 2, Tabla 1).

Ejemplo 18. Clonación de genes de endoglucanasa de Acremonium thermophilum ALKO4245, Chaetomium thermophilum ALKO4261, y Thermoascus aurantiacus ALKO4242

Se utilizaron métodos convencionales de biología molecular como se ha descrito en el Ejemplo 13. La construcción de las bibliotecas genómicas de *Acremonium*, *Chaetomium*, y *Thermoascus* se ha descrito en el Ejemplo 12.

Los péptidos derivados de endoglucanasas purificadas de *Acremonium* y *Chaetomium* comparten homología con varias endoglucanasas de la familia 45 de glicosilhidrolasas tales como la endoglucanasa Cel45A de *Melanocarpus albomyces* (AJ515703) y la endoglucanasa de *Humicola insolens* (A35275), respectivamente. Los péptidos derivados de la endoglucanasa de *Thermoascus* comparten casi 100% de identidad con la secuencia de la endoglucanasa EG1 de *Thermoascus aurantiacus* (AF487830) publicada. Para amplificar una sonda para el escrutinio de las bibliotecas genómicas de *Acremonium* y *Chaetomium*, se diseñaron cebadores degenerados basándose en las secuencias de los péptidos. El orden de los péptidos en la secuencia de la proteína y la naturaleza efectora o antisentido correspondiente de los cebadores se dedujeron a partir de la comparación con las endoglucanasas publicadas homólogas. Las secuencias de los cebadores y los péptidos correspondientes se enumeran en la Tabla 14. Debido a una identidad de casi 100% de los péptidos de *Thermoascus* con la secuencia publicada, el gen de la endoglucanasa se amplificó mediante PCR directamente a partir del ADN genómico.

Tabla 14. Oligonucleótidos sintetizados y utilizados como cebadores de PCR para amplificar una sonda para el escrutinio de los genes *cel*45A (EG\_40) de *Acremonium thermophilum* y *cel*7B (EG\_54) de *Chaetomium thermophilum* a partir de las bibliotecas genómicas correspondientes.

Proteína	Péptido	Localización del cebador <sup>(a</sup>	Secuencia del cebador <sup>(b</sup>
EG_40 de At	Péptido 5	1—6	TAYTGGGAYTGYTGYAARCC
	WFQNADN <sup>(c</sup>		RTTRTCNGCRTTYTGRAACCA
EG_54 de Ct	Péptido 7	3—7	GCAAGCTTCGRCARAARTCRTCRTT (d
	Péptido 2	5—9	GGAATTCGAYCARACNGARCARTA (e

(a aminoácidos del péptido utilizado para el diseño de la secuencia del cebador

40 (b N = A, C, G, o T; R = A o G, Y = C o T

10

15

20

(c El péptido no deriva de la proteína EG\_40 purificada de *Acremonium*, pero se origina a partir de la secuencia Cel45A de *M. albomyces* (AJ515703) homóloga a EG\_40.

(d Se añadió un sitio de restricción HindIII al extremo 5' del oligonucleótido

(e Se añadió un sitio de restricción EcoRI al extremo 5' del oligonucleótido

45 Se amplificó la sonda específica del gen cel45A de Acremonium thermophilum para escrutar la biblioteca genómica con los cebadores directo (TAYTGGGAYTGYTGYAARCC) e inverso (RTTRTCNGCRTTYTGRAACCA) utilizando

ADN genómico como molde. Las mezclas de reacción de PCR contenían Tris-HCl 50 mM, pH 9,0, (NH<sub>4</sub>)<sub>2</sub>SO<sub>4</sub> 15 mM, Triton X-100 al 0,1%, MgCl<sub>2</sub> 1,5 mM, dNTP 0,1 mM, 0,5 μg de cada cebador, 1 unidad de ADN polimerasa Dynazyme EXT (Finnzymes, Finlandia) y aproximadamente 0,5 μg de ADN genómico de *Acremonium*. Las condiciones para las reacciones de PCR fueron las siguientes: 5 min de desnaturalización inicial a 95°C, seguido de 30 ciclos de 1 min a 95°C, 1 min de recocido a 50-60°C, 2 min de extensión a 72°C y una final extensión a 72°C durante 10 min. Para la amplificación de la sonda específica de gen *cel*7B de *Chaetomium thermophilum* (que codifica EG\_54 de Ct), se utilizaron un cebador directo (GGAATTCGAYCARACNGARCARTA) y un cebador inverso (GCAAGCTTCGRCARAARTCRTCRTT). Las mezclas de reacción de PCR contenían Tris-HCl 10 mM, pH 8,8, KCl 50 mM, Triton X-100 al 0,1%, MgCl<sub>2</sub> 1,5 mM, dNTP 0,2 mM, 250 pmol de cada cebador, 2 unidades de ADN polimerasa Dynazyme II (Finnzymes, Finlandia) y aproximadamente 2 μg de ADN genómico de *Chaetomium*. Las condiciones para la reacción de PCR fueron las descritas anteriormente, excepto que el recocido se realizó a 45-50°C.

10

15

20

25

30

35

40

Se obtuvieron dos productos de PCR a partir de la reacción de PCR de *Acremonium*. Se aislaron fragmentos de ADN de aproximadamente 0,6 kb y 0,8 kb de gel de agarosa y se clonaron en el vector pCR4-TOPO® TA (Invitrogen, USA), dando como resultado los plásmidos pALK1710 y pALK1711, respectivamente. Los productos de ADN se caracterizaron por secuenciación y realizando hibridaciones mediante transferencia Southern con el ADN genómico de *Acremonium* digerido con varias enzimas de restricción. Los patrones de hibridación obtenidos con los dos fragmentos en condiciones de lavado rigurosas sugieren que los dos supuestos genes de endoglucanasa podrían ser escrutados a partir de la biblioteca genómica de *Acremonium*. Las secuencias de aminoácidos deducidas de los dos productos de PCR tienen homología con varias secuencias publicadas de endoglucanasa de la familia 45 de glicosilhidrolasa (programa BLAST del Nacional Center for Biotechnology Information; Altschul *et al.*, 1990).

Se obtuvo un producto de PCR del tamaño esperado (estimado a partir de la secuencia de endoglucanasa homóloga de *Humicola insolens*, A35275) a partir de la reacción de PCR de *Chaetomium*. Este fragmento de ADN de aproximadamente 0,7 kb se clonó en el vector pCR4-TOPO® TA (Invitrogen, USA) dando como resultado el plásmido pALK2005 y se analizó como se ha descrito anteriormente. La secuencia de aminoácidos deducida del producto de la PCR tiene homología con varias secuencias de celulasa publicadas de la familia de 7 glicosilhidrolasa (programa BLAST, versión 2,2,9 en el NCBI, Nacional Center for Biotechnology Information: Altschul *et al.*, 1990).

El inserto de los plásmidos pALK1710, pALK1711, pALK2005 y se aisló mediante digestión con enzimas de restricción y se marcó con digoxigenina de acuerdo con las instrucciones del proveedor (Roche, Alemania). Se escrutaron aproximadamente 1-2 x 10<sup>5</sup> placas de la biblioteca genómica amplificada de *Acremonium* o *Chaetomium*. La temperatura de hibridación fue de 68°C y los filtros se lavaron 2 x 5 min a RT utilizando 2 x SSC - SDS al 0,1% seguido de 2 x 15 min a 68°C utilizando 0,1 x SSC - SDS al 0,1%. Se obtuvieron varias placas positivas, de las cuales de cinco a seis placas que hibridación fuertemente se purificaron a partir de cada escrutinio. Los ADN de los fagos se aislaron y se analizaron mediante hibridación por transferencia Southern. Los fragmentos de restricción que hibridaban con la sonda se subclonaron en el vector pBluescript II KS + (Stratagene, USA) y se secuenciaron las porciones relevantes. En todos los casos el fragmento de fago subclonado contiene el gen completo de interés. La Tabla 15 resume la información de las sondas utilizadas para el escrutinio de los genes de endoglucanasa, los clones de fagos a partir de los cuales se aislaron los genes, los fragmentos de restricción seleccionados que contenían los genes completos con sus regiones promotora y terminadora, los nombres de los plásmidos que contenían el fragmento del fago subclonado, y los números de depósito de la colección de cultivos Deutsche Sammlung von und Mikroorganismen Zellkulturen GmbH (DSM) de cepas de *E. coli* que portaban estos plásmidos.

Tabla 15. Sondas utilizadas para la clonación del gen de la endoglucanasa, clon del fago y subclón seleccionados, nombre del plásmido y el número de depósito correspondiente de la cepa de *E. coli*.

Gen	Biblioteca genómica	Sonda utilizada en el escrutinio	Clon de fago	Fragmento subclonado	Plásmido	Núm. de depósito de <i>E. coli</i>
cel45A de	A. thermophilum	pALK1710	P24	Smal de 5,5 kb	pALK1908	DSM 17324
At	ALKO4245					
cel45B de	A. thermophilum	pALK1711	P41	Xhol de 6,0 kb	pALK1904	DSM 17323
At	ALKO4245					
ce/7B de	C. thermophilum	pALK2005	P55	BamHI de 5,1 kb	pALK2010	DSM 17729
Ct	ALKO4261					

El gen ce/5A de Thermoascus aurantiacus (que codificaba EG\_28) (SEQ ID NO: 9) se amplificó directamente a partir 45 **ADN** genómico mediante PCR. cebadores directo aislado reacción de los (ATTAACCGCGGACTGCGCATCATGAAGCTCGGCTCTCTCGTGCTC) inverso (AACTGAGGCATAGAAACTGACGTCATATT) que se utilizaron para la amplificación se diseñaron basándose en el gen eg1 de T. aurantiacus publicado (AF487830). Las mezclas de reacción PCR contenían 1 x tampón Phusion HF, dNTP 0,3 mM, 0,5 M de cada cebador, 2 unidades de ADN polimerasa Phusion TM (Finnzymes, Finlandia) y aproximadamente 0,25 µg de ADN genómico de *Thermoascus*. Las condiciones para las reacciones de PCR fueron las siguientes: 5 min de desnaturalización inicial a 95°C, seguido de 25 ciclos de 30 s a 95°C, 30 s de recocido a 57-67°C, 2,5 minutos de extensión a 72°C y una extensión final a 72°C durante 5 min. El producto de 1,3 kb amplificado que contenía el gen exacto (del codón de INICIO al de PARADA) se clonó como un fragmento *SacII-PstI* en el vector pBluescript II KS +. Se secuenciaron dos clones independientes y un clon se seleccionó y se denominó pALK1926. El número de depósito de la cepa de *E. coli* que contenía pALK1926 en la colección de cultivos Deutsche Sammlung von und Mikroorganismen Zellkulturen GmbH es DSM 17326.

La información relevante de los genes y las secuencias de proteínas deducidas (SEQ ID NO: 9-16) se resumen en la Tabla 16 y la Tabla 17, respectivamente. Las secuencias peptídicas de las endoglucanasas EG\_40 de *Acremonium* (gen *cel*45A de At), EG\_54 de *Chaetomium* (gen *cel*7B de Ct), y EG\_28 de *Thermoascus* (gen *cel*5A de Ta) se encontraron en las correspondientes secuencias de aminoácidos deducidas de los genes clonados confirmando que se clonaron los genes apropiados.

Tabla 16 Resumen de los genes de endoglucanasa aislados de *Acremonium thermophilum*, *Chaetomium thermophilum*, y *Thermoascus aurantiacus*.

Gen de Endoglucanasa	Longitud con intrones (pb) (a	Región codificante (pb) <sup>(b</sup>	Núm. de intrones	Longitudes de intrones (pb)	SEQ ID NO:
cel45A de At	1076	891	2	59, 123	11
cel45B de At	1013	753	2	155, 102	13
ce/7B de Ct	1278	1275	-	-	15
cel5A de Ta	1317	1005	5	55, 60, 59, 74, 61	9

(a El codón de PARADA está incluido.

15

25

30

35

(b El codón de PARADA no está incluido.

Tabla 17. Resumen de las secuencias deducidas de las endoglucanasas de *Acremonium thermophilum*, *Chaetomium thermophilum*, y *Thermoascus aurantiacus*. ss, secuencia señal.

Proteína endoglucanasa	Núm. de aa	Longitud de la ss de NN/HMM <sup>(a</sup>	CBD <sup>(b</sup>	PM pronosticado (Da, ss no incluida) <sup>(c</sup>	pl pronosticado (ss no incluida)	Supuestos sitios de N-glicosilación <sup>(d</sup>	SEQ ID NO:
EG_40 de At	297	21/21	Si, K265 a L297	28625	4,79	2	12
De tipo EG_40 de At	251	20/20	No	23972	6,11	2	14
EG_54 de Ct	425	17/17	No	45358	5,44	1	16
EG_28 de Ta	335	30(e	No	33712	4,30	1	10

20 (a La predicción de la secuencia señal se realizó utilizando el programa SignalP V3.0 (Nielsen *et al.*, 1997; Bendtsen. *et al.*, 2004); el valor NN se obtuvo utilizando redes neuronales y el valor HMM utilizando modelos ocultos de Markov.

(b Se indican la presencia de un dominio de unión a celulosa en la proteína, los aminoácidos del CBD C-terminal (numeración de acuerdo con el polipéptido completo)

(c La secuencia señal pronosticada no está incluida. La predicción se realizó utilizando la herramienta Compute pl/MW en el servidor ExPASy (Gasteiger *et al.*, 2003).

(d Los supuestos sitios de N-glicosilación N-X-S/T se pronosticaron utilizando el programa NetNGlyc 1.0 (Gupta et al., 2004).

(e De acuerdo con Hong et al. 2003a.

Las secuencias de proteínas deducidas de las endoglucanasas EG\_40 (Cel45A de At) y de tipo EG\_40 (Cel45B de At) de *Acremonium*, EG\_54 (Cel7B de Ct) de *Chaetomium*, y EG\_28 (Cel5A de Ta) de *Thermoascus* comparten homología con celulasas de la familia 45 (*Acremonium*), la familia 7 (*Chaetomium*), y la familia 5 (*Thermoascus*) de glicosilhidrolasa, identificando de este modo los genes aislados como miembros de estas familias de genes. Las homologías más cercanas de las endoglucanasas EG\_40/Cel45A y de tipo EG\_40/Cel45B de *Acremonium* son endoglucanasas de *Thielavia terrestris* (CQ827970, identidad del 77,3%) y *Myceliophthora thermophila* (AR094305, identidad de 66,9%), respectivamente (Tabla 18). Las dos endoglucanasas aisladas de la familia 45 de *Acremonium* 

comparten una identidad de solo 53,7% entre sí. De estas enzimas sólo EG\_40/Cel45A contiene un dominio de unión a celulosa (CBD).

La homología más próxima para la secuencia de proteína pronosticada de la endoglucanasa EG\_54/Cel7B de *Chaetomium* se encuentra en la secuencia de celulasa Cel7A *Melanocarpus albomyces* (AJ515704). La identidad entre estas dos secuencias de proteínas es 70,6%.

5

La secuencia de la proteína de la endoglucanasa aislada *Thermoascus aurantiacus* es completamente idéntica a la de la EGI publicada de *T. aurantiacus* (AF487830, Tabla 18). La homología más próxima se encontró en una secuencia de β-glucanasa de *Talaromyces emersonii* (AX254752, identidad de 71,1%).

Tabla 18. Comparación de las endoglucanasas EG\_40, de tipo EG\_40/Cel45B de *Acremonium thermophilum*, 10 EG\_54/Cel7B de *Chaetomium thermophilum* y EG\_28/Cel5A de *Thermoascus aurantiacus* con sus contrapartes homólogas. Este alineamiento se realizó utilizando el programa de Needle del paquete de programas EMBOSS. \*Indica una endoglucanasa codificada por un gen clonado en este trabajo.

Organismo, enzima, y número de acceso	Identidad (%)
Acremonium thermophilum EG_40	100,0
Thielavia terrestris EG45, CQ827970	77,3
Melanocarpus albomyces Cel45A, AJ515703	75,3
Neurospora crassa, hipotético XM_324477	68,9
Humicola grisea var thermoidea, EGL3, AB003107	67,5
Humicola insolens EG5, A23635	67,3
Myceliophthora thermophila fam 45, AR094305	57,9
*Acremonium thermophilum de tipo EG_40	53,7
Acremonium thermophilum de tipo EG_40	100,0
Myceliophthora thermophila fam 45, AR094305	66,9
Magnaporthe grisea 70-15 hipotético, XM_363402	61,9
Thielavia terrestris EG45, CQ827970	
*Acremonium thermophilum EG_40	56,8
Melanocarpus albomyces Cel45A, AJ515703	53,7
	52,8
Chaetomium thermophilum EG_54	100,0
Melanocarpus albomyces Cel7A, AJ515704	70,6
Humicola grisea var thermoidea EGI, D63516	68,8
Humicola insolens EGI, AR012244	67,7
Myceliophthora thermophila EGI, AR071934	61,7
Fusarium oxysporum var lycopercisi EGI, AF29210	53,5
Fusarium oxysporum EGI, AR012243	52,6
Thermoascus aurantiacus EG_28	100,0
Thermoascus aurantiacus EG, AX812161	100,0
Thermoascus aurantiacus EGI, AY055121	99,4
Talaromyces emersonii β-glucanasa, AX254752	71,1
Talaromyces emersonii EG, AF440003	70,4
Aspergillus niger EG, A69663	70,1
Aspergillus niger EG, A62441	69,9
Aspergillus niger EG, AF331518	69,6
Aspergillus aculeatus EGV, AF054512	68,5

Ejemplo 19. Producción de endoglucanasas recombinantes en Trichoderma reesei

10

15

20

25

30

35

45

Se construyeron plásmidos de expresión para la producción de las proteínas recombinantes EG\_40/Cel45A, de tipo EG\_40/Cel45B *de Acremonium*, y EG\_28/Cel5A de *Thermoascus* como se ha descrito en el Ejemplo 14. Los casetes de expresión lineales (Tabla 19) se aislaron de la cadena principal del vector mediante digestión con enzimas de restricción, se transformaron en T. *reesei* A96 y los transformantes se purificaron como se ha descrito en el Ejemplo 14.

Tabla 19 Casetes de expresión construidos para la producción de las endoglucanasas EG\_40/Cel45A, de tipo EG\_40/Cel45B de *Acremonium thermophilum* y EG\_28/Cel5A de *Thermoascus aurantiacus* en *Trichoderma reesei*. La estructura esquemática de los casetes de expresión se describe en la Figura 2.

Endoglucanasa	Plásmido de expresión	Tamaño del casete de expresión <sup>(a</sup>	Terminador heterólogo <sup>(b</sup>
EG_40 de At	pALK1920	Notl 10,9 kb	156 pb ( <i>Hind</i> III)
De tipo EG_40 de At	pALK1921	EcoRI 8,6 kb	282 pb (Sspl)
EG_28 de Ta	pALK1930	Notl 8,6 kb	ninguno

(a El casete de expresión para la transformación en *T. reesei* se aisló a partir de la cadena principal del vector mediante digestión con *Eco*RI o *Not*I.

(b Se indica el número de nucleótidos después del codón de PARADA del gen clonado que se incluyen en el casete de expresión. El sitio de restricción en la región 3' del gen que se utilizó en la construcción del casete de expresión se indica entre paréntesis.

La producción de endoglucanasa de los transformantes se analizó a partir de los sobrenadantes de cultivo de cultivos en matraz oscilante (50 ml). Los transformantes se cultivaron como en el Ejemplo 14 y la actividad enzimática de la proteína recombinante se midió a partir del sobrenadante de cultivo como la liberación de azúcares reductores a partir de carboximetilcelulosa (2% (p/v) de CMC) a 50°C en tampón de citrato 50 mM de pH 4,8 esencialmente como describen Bailey y Nevalainen 1981; Haakana et al. 2004. La producción de las proteínas recombinantes también se detectó a partir de sobrenadantes de cultivo mediante electroforesis en gel de poliacrilamida-SDS. Los anticuerpos policlonales específicos de EG\_40 de Acremonium se produjeron en conejos (Universidad de Helsinki, Finlandia). La expresión de EG\_40 se verificó mediante análisis de transferencia Western con anticuerpos anti-EG\_40 utilizando el sistema AP para transferencia Western ProtoBlot (Promega). Los genotipos de los transformantes seleccionados se analizaron mediante transferencia Southern utilizando el casete de expresión como sonda.

El pH óptimo de las endoglucanasas producidas de manera heteróloga se determinó en tampón universal de McIlvaine dentro de un intervalo de pH de 4,0-8,0 utilizando carboximetilcelulosa como sustrato. Como se muestra en la Figura 6A el intervalo de pH más amplio (4,5-6,0) es el de la proteína EG\_40/Cel45A de *Acremonium*, siendo el óptimo a pH 5,5. El pH óptimo para las otras endoglucanasas producidas de manera heteróloga son pH 5,0-5,5 y 6,0 para el tipo EG\_40/Cel45B de *Acremonium* y EG\_28/Cel5A de *Thermoascus*, respectivamente. La temperatura óptima para la actividad enzimática de estas endoglucanasas se determinó en el intervalo de temperatura de 50-85°C como se ha descrito anteriormente. Se determinó que la mayor actividad de la enzima era a 75°C, 60°C y 75°C para EG\_40/Cel45A, de tipo EG\_40/Cel45B de *Acremonium* y EG\_28/Cel5A de *Thermoascus*, respectivamente (Figura 6B).

Los transformantes seleccionados se cultivaron, como se ha descrito en el Ejemplo 14, en un biorreactor de 2 litros durante cuatro días (28°C, pH 4,2) para obtener material para las pruebas de aplicación.

Ejemplo 20. Clonación de los genes de beta-glucosidasa de *Acremonium thermophilum* ALKO4245, *Chaetomium thermophilum* ALKO4261, y *Thermoascus aurantiacus* ALKO4242.

40 Se utilizaron métodos convencionales de biología molecular como se ha descrito en el Ejemplo 13. La construcción de las bibliotecas genómicas de *Acremonium*, *Chaetomium*, y *Thermoascus* se ha descrito en el Ejemplo 12.

Los péptidos derivados de las β-glucosidasas purificadas de *Acremonium, Chaetomium, y Thermoascus* comparten homología con varias β-glucosidasas de la familia 3 de glicosil hidrolasa tales como las β-glucosidasas de *Acremonium cellulolyticus* (BD168028), *Trichoderma viride* (AY368687), y *Talaromyces emersonii* (AY072918), respectivamente. Para amplificar una sonda para el escrutinio de las bibliotecas genómicas de *Acremonium, Chaetomium,* o *Thermoascus*, se diseñaron cebadores degenerados basándose en las secuencias de los péptidos. El orden de los péptidos en la secuencia de la proteína y la naturaleza efectora o anti-sentido correspondiente de los cebadores se dedujo de la comparación con las β-glucosidasas homólogas publicadas. Las secuencias de los cebadores y los péptidos correspondientes se enumeran en la Tabla 20.

Tabla 20. Oligonucleótidos sintetizados y utilizados como cebadores de PCR para amplificar una sonda para el escrutinio de los genes *cel*3A (βG\_101) de *Acremonium thermophilum*, *cel*3A (βG\_76) de *Chaetomium thermophilum*, y *cel*3A (βG\_81) de *Thermoascus aurantiacus* de las bibliotecas genómicas correspondientes.

Proteína	Péptido	Localización del cebador <sup>(a</sup>	Secuencia del cebador <sup>(b</sup>
At	EKVNLT <sup>(c</sup>		GARAARGTNAAYCTNAC
βG_101			
	Péptido 4	6—11	YTTRCCRTTRTTSGGRGTRTA
Ct	Péptido 6	4—9	TNTGYCTNCARGAYGG
βG_76			
	Péptido 1	3—8	TCRAARTGSCGRTARTCRATRAASAG
Та	Péptido 3	1—5	AARGGYGTSGAYGTSCAR
βG_81			
	Péptido 1	2—7	YTTRCCCCASGTRAASGG

(a Aminoácidos del péptido utilizado para el diseño de la secuencia del cebador

20

25

30

35

5 (b Para reducir la degeneración, algunos codones se seleccionaron de acuerdo con la preferencia fúngica N = A, C, G, o T;. R = A o G, S = C o G; Y = C o T

(c El péptido no deriva de la proteína  $\beta G_101$  de *Acremonium* purificada, sino que se origina a partir de la secuencia de  $\beta$ -glucosidasa (BD168028) de *A. cellulolyticus* homóloga a  $\beta G_101$ .

Las sondas para el escrutinio de las bibliotecas genómicas construidas se amplificaron con las combinaciones de cebadores enumeradas (Tabla 20) utilizando ADN genómico de *Acremonium, Chaetomium,* o *Thermoascus* como molde. Las mezclas de reacción de PCR contenían Tris-HCl 50 mM, pH 9,0, (NH<sub>4</sub>)<sub>2</sub>SO<sub>4</sub> 15 mM, Triton X-100 al 0,1%, MgCl<sub>2</sub> 1,5 mM, dNTP 0,1-0,2 mM, 0,25 µg de cada cebador, 1 unidad de ADN polimerasa Dynazyme EXT (Finnzymes, Finlandia) y aproximadamente 0,5 µg de ADN genómico. Las condiciones para las reacciones de PCR fueron las siguientes: 5 min de desnaturalización inicial a 95°C, seguido de 30 ciclos de 1 min a 95°C, 1 min de hibridación a 40°C (ADN de *Acremonium* como molde), a 50°C (ADN de *Chaetomium* como molde), o a 63°C (ADN de *Thermoascus* como molde). 2-3 min de extensión a 72°C y una extensión final a 72°C durante 5-10 min.

Se aislaron productos de PCR específicos del tamaño esperado (estimado a partir de las secuencias de β-glucosidasa homólogas BD168028, AY072918, y AY368687) del gel de agarosa. Los fragmentos de ADN de aproximadamente 1,8 kb (*Acremonium*), 1,5 kb (*Chaetomium*), y 1,52 kb (*Thermoascus*) se clonaron en el vector pCR4-TOPO® TA (Invitrogen, USA) dando como resultado los plásmidos pALK1924, pALK1935, y pALK1713, respectivamente. Los productos de ADN se caracterizaron mediante secuenciación y realizando hibridaciones de transferencia Southern del ADN genómico digerido con varias enzimas de restricción. Los patrones de hibridación en condiciones de lavado rigurosas sugieren que se podría aislar un supuesto gen de β-glucosidasa de la biblioteca genómica de *Acremonium*, *Chaetomium*, y *Thermoascus*. Las secuencias de aminoácidos deducidas de los tres productos de PCR tienen homología con varias secuencias de β-glucosidasa publicadas de la familia 3 de glicosil hidrolasa (programa BLAST, National Center for Biotechnology Information; Altschul *et al.*, 1990).

El inserto de los plásmidos pALK1713, pALK1924, y pALK1935 se aisló mediante digestión con enzimas de restricción y se marcó con digoxigenina de acuerdo con las instrucciones del proveedor (Roche, Alemania). Se escrutaron aproximadamente 1-2 x 10<sup>5</sup> placas de la biblioteca genómica de *Acremonium, Chaetomium,* o *Thermoascus* amplificadas como se ha descrito en el Ejemplo 18. Se obtuvieron varias placas positivas, de las cuales de cinco a seis placas que hibridaron fuertemente se purificaron a partir de cada escrutinio. Los ADN de los fagos aislaron y se analizaron mediante hibridación de transferencia Southern. Los fragmentos de restricción que hibridaban con la sonda se subclonaron en el vector pBluescript II KS+ (Stratagene, USA) y las porciones relevantes se secuenciaron. En todos los casos el fragmento de fago subclonado contiene el gen completo de interés. La Tabla 21 resume la información de las sondas utilizadas para el escrutinio de los genes de β-glucosidasa, los clones de fagos de los que se aislaron los genes, los fragmentos de restricción seleccionados que contienen los genes completos con sus regiones promotora y terminadora, los nombres de los plásmidos que contienen el fragmento de fago subclonado, y los números de depósito en la colección de cultivos Deutsche Sammlung von und Mikroorganismen Zellkulturen GmbH (DSM) de cepas de *E. coli* que portan estos plásmidos.

Tabla 21. Sondas utilizadas para la clonación del gen de la β-glucosidasa, clon del fago y subclón seleccionados, nombre de plásmido y número de depósito correspondiente de la cepa de *E. coli*.

Gen	Biblioteca genómica	Sonda utilizada en el escrutinio	Clon del fago	Fragmento subclonado	Plásmido	Núm. de depósito de <i>E.</i> coli
cel3A de	A. thermophilum	pALK1924	P44	6,0 kb	pALK1925	DSM
At	ALKO4245			HindIII		17325
ce/3A de	C. thermophilum	pALK1935	P51	7,0 kb	pALK2001	DSM
Ct	ALKO4261			Xbal		17667
ce/3A de	T. aurantiacus	pALK1713	P21	5,3 kb	pALK1723	DSM
Та	ALKO4242			BamHI		16725

La información relevante de los genes y las secuencias de proteína deducidas (SEQ ID NO: 21-26) se resumen en la Tabla 22 y la Tabla 23, respectivamente. Las secuencias de péptidos de las proteínas  $\beta$ C\_101 (At Cel3A) *Acremonium*,  $\beta$ C\_76 (Ct Cel3A) de *Chaetomium*, y  $\beta$ C\_81 (Ta Cel3A) de *Thermoascus* purificadas se encontraron en las correspondientes secuencias de aminoácidos deducidas de los genes clonados confirmando que se habían clonado los genes apropiados.

Tabla 22. Resumen de los genes de β-glucosidasa aislados de *Acremonium thermophilum*, *Chaetomium thermophilum*, y *Thermoascus aurantiacus*.

Gen de β- glucosidasa	Longitud con intrones (pb) <sup>(a</sup>	Región codificante pb) <sup>(b</sup>	Núm. de intrones	Longitud de los intrones (pb)	SEQ ID NO:
cel3A de At	2821	2583	3	92, 74, 69	23
ce/3A de Ct	2257	2202	1	52	25
cel3A de Ta	3084	2529	7	134, 67, 56, 64, 59, 110, 62	21

(a Está incluido el codón de PARADA.

#### 10 (b No está incluido el codón de PARADA.

5

Tabla 23. Resumen de las secuencias de β-glucosidasa deducidas de *Acremonium thermophilum, Chaetomium thermophilum, y Thermoascus aurantiacus.* ss, secuencia señal.

Proteína β- glucosidasa	Núm. de aa	Longitud de la ss NN/HMM <sup>(a</sup>	CBD <sup>(b</sup>	PM pronosticado (Da, no incluida ss) <sup>(c</sup>	pl pronosticado no incluida ss)	Supuestos sitios de N-glicosilación <sup>(d</sup>	SEQ ID NO:
βG_101 de At	861	19/18	No	91434	5,46	8	24
βG_76 de Ct	734	20/20	No	76457	6,3	2	26
βG_81 de Ta	843	19/19	No	89924	4,95	8	22

(a La predicción de la secuencia señal se realizó utilizando el programa SignalP V3.0 (Nielsen *et al.*, 1997; Bendtsen *et al.*, 2004); el valor NN se obtuvo utilizando redes neuronales y valor HMM utilizando modelos ocultos de Markov.

## 15 (b Presencia de un dominio de unión a celulosa en la proteína.

(c La secuencia señal pronosticada no está incluida. La predicción se realizó utilizando la herramienta el Compute pl/MW en el servidor ExPASy (Gasteiger et al., 2003).

(d Los supuestos sitios de N-glicosilación NXS/T se pronosticaron utilizando el programa NetNGlyc 1,0 (Gupta et al., 2004).

Las secuencias de proteínas deducidas de las β-glucosidasas βG\_101/Cel3A de Acremonium, βG\_76/Cel3A de Chaetomium, y βG\_81/Cel3A de Thermoascus comparten homología con las enzimas de la familia 3 de glicosil hidrolasa, identificando de este modo que los genes aislados pertenecen a esta familia de genes. Las contrapartes más cercanas de las β-glucosidasas de Acremonium, Chaetomium, y Thermoascus son las de Magnaporthe grisea (β-glucosidasa, AY849670), Neurospora crassa (hipotética, XM\_324308), y Talaromyces emersonii (β-glucosidasa, AY072918), respectivamente (Tabla 24). Se encontró que la identidad de secuencia más alta (73,2%) era la de βG\_76/Cel3A de C. thermophilum para la proteína hipotética de N. crassa indicando que se habían clonado genes de nuevas enzimas.

Tabla 24 Comparación de las β-glucosidasas  $\beta G_101/Cel3A$  de *Acremonium thermophilum*,  $\beta G_76/Cel3A$  de *Chaetomium thermophilum* y  $\beta G_81/Cel3A$  de *Thermoascus aurantiacus* deducidas con sus contrapartes homólogas. La alineación se ha realizado mediante el programa Needle del paquete de programas EMBOSS. \* Indica una  $\beta$ -glucosidasa codificada por un gen clonado en este trabajo.

Organismo, enzima, y número de acceso	Identidad (%)
*Acremonium thermophilum βG_101	100,0
Magnaporthe grisea β-glucosidasa, AY849670	73,1
Neurospora crassa hipotética, XM_330871	71,1
Trichoderma reesei Cel3B, AY281374	65,2
*Thermoascus aurantiacus βG_81	62,2
Aspergillus aculeatus β-glucosidasa, D64088	59,5
Talaromyces emersonii β-glucosidasa, AY072918	58,9
Aspergillus oryzae, AX616738	58,2
Acremonium cellulolyticus β-glucosidasa, BD168028	57,2
*Chaetomium thermophilum βG_76	40,9
Chaetomium thermophilum βG_76	100,0
Neurospora crassa, hipotética XM_324308	76,9
Magnaporthe grisea, hipotética XM_364573	70,2
Trichoderma viridae BGI, AY368687	65,8
Acremonium cellulolyticus β-glucosidasa, BD168028	41,2
*Acremonium thermophilum βG_101	40,9
Trichoderma reesei Cel3B, AY281374	40,0
*Thermoascus aurantiacus βG_81	39,9
*Thermoascus aurantiacus βG_81	100,0
Talaromyces emersonii β-glucosidasa, AY072918	73,2
Aspergillus oryzae, AX616738	69,5
Aspergillus aculeatus β-glucosidasa, D64088	68,0
Acremonium cellulolyticus β-glucosidasa, BD168028	65,7
*Acremonium thermophilum βG_101	62,2
Trichoderma reesei Cel3B, AY281374	57,9
*Chaetomium thermophilum βG_76	39,9

Ejemplo 21. Producción de beta-glucosidasas recombinantes en Trichoderma reesei

Se construyeron plásmidos de expresión para la producción de las proteínas recombinantes  $\beta G_101/Cel3A$  de *Acremonium*, de  $\beta G_76/Cel3A$  de *Chaetomium*, y  $\beta G_81/Cel3A$  de *Thermoascus* como se describe en el Ejemplo 14. Se aislaron casetes de expresión lineales (Tabla 25) de la cadena principal del vector mediante digestión con enzimas de restricción, se transformaron en *T. reesei* A96 o A33 (ambas cepas tienen suprimidos los genes que codifican las cuatro celulasas principales CBHI/Cel7A, CBHII/Cel6A, EGI/Cel7B y EGII/Cel5A) y los transformantes se purificaron como se ha descrito en el Ejemplo 14.

Tabla 25. Casetes de expresión construidos para la producción de β-glucosidasas  $βG_101/Cel3A$  de *Acremonium thermophilum*,  $βG_76/Cel3A$  de *Chaetomium thermophilum*, γ  $βG_81/Cel3A$  de *Thermoascus aurantiacus* en *Trichoderma reesei*. La estructura esquemática de los casetes de expresión se describe en la Figura 2.

β-glucosidasa	Plásmido de expresión	Tamaño del casete de expresión <sup>(a</sup>	Terminador heterólogo <sup>(b)</sup>
βG_101 de At	pALK1933	Notl de 10,5 kb	300 pb ( <i>Hind</i> III)

5

10

15

β-glucosidasa	Plásmido de expresión	Tamaño del casete de expresión <sup>(a</sup>	Terminador heterólogo <sup>(b</sup>
βG_76 de Ct	pALK2004	EcoRI de 10,1 kb	528 pb ( <i>Xba</i> I)
βG_81 de Ta	pALK1914	EcoRI de 10,9 kB	452 pb ( <i>Apo</i> l)

(a El casete de expresión para la transformación en *T. reesei* se aisló de la cadena principal del vector mediante digestión con *Eco* RI o *Not*I.

(b Se indica el número de nucleótidos después del codón de PARADA del gen clonado que está incluido el casete de expresión. El sitio de restricción en la región 3' del gen que se utilizó en la construcción del casete de expresión se indica entre paréntesis.

5

10

30

35

40

45

50

Se analizó La producción de beta-glucosidasa de los transformantes a partir de los sobrenadantes de cultivo de cultivos en matraz oscilante (50 ml). Los transformantes se cultivaron como en el Ejemplo 14 y se midió la actividad enzimática de la proteína recombinante a partir del sobrenadante de cultivo utilizando sustrato de 4-nitrofenil- $\beta$ -D-glucopiranósido como describen Bailey y Nevalainen 1981. También se detectó la producción de proteínas recombinantes a partir de los sobrenadantes de cultivo mediante electroforesis en gel de poliacrilamida-SDS. Además, se verificó la expresión de  $\beta$ G\_81 de *Thermoascus* mediante análisis de transferencia de Western con anticuerpos anti- $\beta$ G\_81 como se ha descrito en el Ejemplo 19. Los genotipos de los transformantes seleccionados se analizaron mediante transferencia Southern utilizando el casete de expresión como sonda.

El pH óptimo de las β-glucosidasas producidas de manera heteróloga se determinó en tampón universal la McIlvaine en un intervalo de pH de 3,0-8,0 utilizando 4-nitrofenil-β-D-glucopiranósido como sustrato. Los pH óptimos para βG\_101 de *Acremonium*, βG\_76 de *Chaetomium*, y βG\_81 de *Thermoascus* son pH 4,5, 5,5, y 4,5, respectivamente (Figura 7A). La temperatura óptima para la actividad enzimática de estas β-glucosidasas se determinó en el intervalo de temperatura de 50-85°C como se ha descrito anteriormente. Se determinó que la mayor actividad de las enzimas era a 70°C, 65°C y 75°C para βG\_101/Cel3A *Acremonium*, βG\_76/Cel3A de *Chaetomium* y βG\_81/Cel3A de *Thermoascus*, respectivamente (Figura 7B).

Los transformantes seleccionados se cultivaron, como se ha descrito en el Ejemplo 14, en un biorreactor de 2 litros durante cuatro días (28°C, pH 4.2) para obtener material para las pruebas de aplicación.

Ejemplo 22. Clonación de los genes de xilanasa de Acremonium thermophilum ALKO4245 y Thermoascus aurantiacus ALKO4242

Se utilizaron métodos convencionales de la biología molecular como se ha descrito en el Ejemplo 13. La construcción de la biblioteca genómica de *Acremonium* se ha descrito en el Ejemplo 12.

Los péptidos derivados de la xilanasa *Acremonium* purificada comparten homología con las xilanasas de la familia 10 de glicosil hidrolasa tales como *Humicola grisea* XYNI (AB001030). Todos los péptidos derivados de xilanasa de *Thermoascus* fueron completamente idénticos a la secuencia XynA publicada de *Thermoascus aurantiacus* (AJ132635) identificando de este modo la proteína purificada como la misma enzima. Debido a esto el gen de xilanasa de *Thermoascus* se amplificó mediante PCR a partir del ADN genómico.

Para amplificar una sonda para el escrutinio del gen de xilanasa de *Acremonium* a partir de la biblioteca genómica, se diseñaron cebadores degenerados basándose en las secuencias de péptidos (Ejemplo 11, Tabla 5). El orden de los péptidos en la secuencia de la proteína y la naturaleza efectora o antisentido correspondiente de los cebadores se dedujeron a partir de la comparación con secuencia XYNI de *Humicola insolens* homóloga (AB001030). La secuencia del cebador efector (GAYGGYGAYGCSACYTAYATG) se basa en el Péptido 3 (aminoácidos 2-8) y el cebador anti-sentido (YTTYTGRTCRTAYTCSAGRTTRTA) en el Péptido 1 (aminoácidos 4-11).

Se obtuvo un producto de PCR del tamaño esperado (estimado a partir del secuencia XYNI de *Humicola insolens* homóloga AB001030) de la reacción. Este fragmento de ADN de aproximadamente 0,7 kb se clonó en el vector pCR4-TOPO® TA (Invitrogen, USA) dando como resultado el plásmido pALK1714, y se caracterizó mediante secuenciación. La secuencia de aminoácidos deducida del producto de la PCR tiene homología con varias secuencias de xilanasa publicadas de la familia 10 de glicosil hidrolasa (programa BLAST del National Center for Biotechnology Information; Altschul *et al.*, 1990).

El inserto del plásmido pALK1714 se aisló mediante digestión con enzimas de restricción y se marcó con digoxigenina de acuerdo con las instrucciones del proveedor (Roche, Alemania). Se escrutaron aproximadamente 1-2 x 10<sup>5</sup> placas de la biblioteca genómica de *Acremonium* amplificada como se ha descrito en el Ejemplo 18. Se obtuvieron varias placas positivas, de las cuales se purificaron cinco placas que hibridaban fuertemente. Los ADN de fagos se aislaron y se analizaron mediante hibridación de transferencia Southern. Un fragmento de restricción *Xbal* de 3,0 kb que hibridaba con la sonda se subclonó en el vector pBluescript II KS+ (Stratagene, USA) dando como resultado el plásmido pALK1725. Las porciones relevantes de pALK1725 se secuenciaron y se encontró que contenían el gen *xyn*10A de *Acremonium thermophilum* completo (SEQ ID NO: 19). El número de depósito de la cepa de *E. coli* que contiene pALK1725 en la colección de cultivos Deutsche Sammlung von und Mikroorganismen Zellkulturen GmbH es DSM 16726.

El gen xyn10A de Thermoascus aurantiacus (SEQ ID NO: 17) se amplificó directamente a partir del ADN genómico aislado mediante reacción PCR. Los cebadores directo (TTATACCGCGGGAAGCCATGGTTCGACCAACGATCCTAC) inverso (TTATAGGATCCACCGGTCTATACTCACTGCTGCAGGTCCTG) que se utilizaron en la amplificación del gen se diseñaron basándose en el gen XynA de T. aurantiacus publicado (AJ132635). Las mezclas de reacción de PCR contenían Tris-HCl 50 mM, pH 9,0, (NH<sub>4</sub>)<sub>2</sub>SO<sub>4</sub> 15 mM, Triton X-100 al 0,1%, MgCl2 1,5 mM, dNTP 0,3 mM, cada cebador 1 µM, 1 unidad de ADN polimerasa Dynazyme EXT (Finnzymes, Finlandia) y aproximadamente 0,5 µg de ADN genómico de Thermoascus. Las condiciones para las reacciones de PCR fueron las siguientes: 5 min de desnaturalización inicial a 95°C, seguido de 30 ciclos de 1 min a 95°C, 1 min de recocido a 60-66°C, 3 min de extensión a 72°C y una extensión final a 72°C durante 10 min. El producto de 1,9 kb amplificado que contenía el gen exacto (desde el codón inicio al de parada) se clonó como un fragmento SacII-BamHI en el vector pBluescript II KS+. Se secuenciaron tres clones independientes y se seleccionó un clon y se denominó pALK1715. El número de depósito de la cepa de E. coli que contenía pALK1715 en la colección de cultivos Deutsche Sammlung von und Mikroorganismen Zellkulturen GmbH es DSM 16724.

La información relevante de los genes y las secuencias de proteínas deducidas (SEQ ID NO: 17-20) se resumen en la Tabla 26 y la Tabla 27, respectivamente. Las secuencias peptídicas de las proteínas purificados XYN\_60 de *Acremonium* y XYN\_30 de *Thermoascus* se encontraron en las correspondientes secuencias de aminoácidos deducidas de los genes clonados (At *xyn*10A y Ta *xyn*10A, respectivamente) confirmando que los se habían clonado los genes apropiados.

Tabla 26. Resumen de los genes de xilanasa aislados de Acremonium thermophilum y Thermoascus aurantiacus.

Gen de xilanasa	Longitud con intrones (pb) <sup>(a</sup>	Región codificante (pb) <sup>(b</sup>	Núm. de intrones	Longitud de los intrones (pb)	SEQ ID NO:
At xyn10A	1471	1248	2	135, 85	19
Ta xyn10A	1913	987	10	73, 74, 68, 103, 69, 65, 93, 66, 100, 212	17
\ \ \ \ \ \ \ \ \ \ \ \ \ \ \ \ \ \ \	o el codón de PARADA. uido el codón de PARAD.	Α.	**		

Tabla 27. Resumen de las secuencias de xilanasa deducidas DE *Acremonium thermophilum* y *Thermoascus aurantiacus*. ss, secuencia señal.

Proteína xilanasa	Núm. de aa	Longitud de la ss NN/HMM <sup>(a</sup>	CBD <sup>(b</sup>	PM pronosticado (Da, ss no incluida) <sup>(c</sup>	pl pronosticado (ss no incluida)	Supuestos sitios de N-glicosilación <sup>(d</sup>	SEQ ID NO:
XYN_60 de At	416	19/19	Si, W385 a L416	42533	6,32	1-2	20
XYN_30 de Ta	329	26 <sup>(e</sup>	No	32901	5,81	0	18

(a La predicción de la secuencia señal se realizó utilizando el programa SignalP V3.0 (Nielsen *et al.*. 1997; Bendtsen *et al.*, 2004); el valor NN se obtuvo utilizando redes neuronales y el valor HMM utilizando modelos ocultos de Markov.

(b Se indican la presencia de un dominio de unión a carbohidratos CBD, los aminoácidos del CBD C-terminal (numeración de acuerdo con el polipéptido completo)

(c No está incluida la secuencia pronosticada. La predicción se realizó utilizando la herramienta Compute pl/MW en el servidor ExPASy (Gasteiger et al., 2003).

30 (d Los supuestos sitios de N-glicosilación NXS/T se pronosticaron utilizando el programa NetNGlyc 1.0 (Gupta et al., 2004).

(e De acuerdo con Lo Leggio et al., 1999

5

10

25

35

Las secuencias de proteínas deducidas de las xilanasas *Acremonium* y *Thermoascus* comparten homología con varias enzimas de la familia 10 de glicosil hidrolasa, identificando los correspondientes genes como miembros de la familia 10 de xilanasas. La contraparte más próxima para XYN\_60/Xyn10A de *Acremonium* encontrada es la XYLI de *Humicola grisea* (AB001030) que muestra una identidad de 67,1% con XYN\_60 (Tabla 28). La secuencia de proteína pronosticada de la xilanasa XYN\_30/Xyn10A de *Thermoascus aurantiacus* aislada es completamente idéntica a la de XYNA de T. *aurantiacus* publicada (P23360, Tabla 28). La homología más próxima se encuentra en una secuencia de xilanasa de *Aspergillus niger* (A62445, identidad de 69,7%).

Tabla 28. Comparación de las xilanasas XYN\_60/Xyn10A de *Acremonium thermophilum* y XYN\_30/Xyn10A de *Thermoascus aurantiacus* deducidas con sus contrapartes homólogas. El alineamiento se realizó utilizando el programa de Needle del paquete de programas EMBOSS. \* Indica una xilanasa codificada por un gen clonado en este trabajo.

Organismo, enzima, y número de acceso	Identidad (%)
* Thermoascus aurantiacus XYN_30	100,0
Thermoascus aurantiacus XynA, P23360	100,0
Thermoascus aurantiacus XynA, AF127529	99,4
Aspergillus niger xilanasa, A62445	69,7
Aspergillus aculeatus xilanasa, AR137844	69,9
Aspergillus terreus fam 10 xyn, DQ087436	65,0
Aspergillus sojae, XynXl AB040414	63,8
Penicillium chrysogenum xilanasa, AY583585	62,5
*Acremonium thermophilum XYN_60	100,0
Humicola grisea XYL I, AB001030	67,1
Magnaporthe grisea 70-15, hipotética XM_364947	63,8
Aspergillus aculeatus xilanasa, AR149839	53,7
Talaromyces emersonii xilanasa, AX403831	51,8
Gibberella zeae xilanasa, AY575962	51,4
Magnaporthe grisea XYL5, AY144348	48,5
Talaromyces emersonii, AX172287	46,9

Ejemplo 23. Producción de xilanasas recombinantes en Trichoderma reesei

Se construyeron plásmidos de expresión para la producción de las proteínas recombinantes XYN\_60/Xyn10A de *Acremonium* y XYN\_30 /Xyn10A de *Thermoascus* como se ha descrito en el Ejemplo 14. Los casetes de expresión lineales (Tabla 29) se aislaron de la cadena principal del vector mediante digestión con enzimas de restricción, se transformaron en *T. reesei* A96, y los transformantes se purificaron como se ha descrito en el Ejemplo 14.

Tabla 29. Casetes de expresión construidos para la producción de las xilanasas XYN\_60/Xyn10A de *Acremonium thermophilum* y XYN\_30/ Xyn10A de *Thermoascus aurantiacus* en *Trichoderma reesei*. Las estructuras esquemáticas de los casetes de expresión se describen en la Figura 2.

Xilanasa	Plásmido de expresión	Tamaño del casete de expresión <sup>(a</sup>	Terminador heterólogo <sup>(b</sup>
XYN_60 de At	pALK1912	9,0 kb	150 pb ( <i>Bam</i> HI)
XYN_30 de Ta	pALK1913	9,3 kb	ninguno

(a El casete de expresión para la transformación en *T. reesei* se aisló de cadena principal del vector mediante digestión con *Eco*RI.

(b Se indica el número de nucleótidos después del codón de PARADA del gen clonado que está incluido en el casete de expresión. El sitio de restricción en la región 3' del gen que se utilizó en la construcción del casete de expresión se indica entre paréntesis.

Se analizó la producción de xilanasa de los transformantes a partir de los sobrenadantes de cultivo de cultivos en matraz oscilante (50 ml). Los transformantes se cultivaron como en el Ejemplo 14 y la actividad enzimática de la proteína recombinante se midió a partir del sobrenadante de cultivo como la liberación de azúcares reductores de xilano de abedul (1% p/v) a 50°C en tampón citrato 50 mM de pH 5,3 como describen Bailey y Poutanen 1989. También se analizó la producción de la proteína recombinante del sobrenadante de cultivo mediante electroforesis en gel de poliacrilamida-SDS. Además, la expresión de ambas xilanasas se determinó mediante análisis de transferencia Western con anticuerpos anti-XYN\_30 o anti-XYN\_60 como se ha descrito en el Ejemplo 19. Los genotipos de los transformantes seleccionados se analizaron mediante transferencia Southern utilizando el casete de expresión como sonda.

5

10

15

20

25

Se produjo XYN\_30/Xyn10A de *Thermoascus* en *T. reesei* y se determinó el pH óptimo de la proteína producida de manera heteróloga en tampón de universal McIlvaine en un intervalo de pH de 3,0-8,0 utilizando como sustrato xilano de abedul (Figura 8A). Se determinó que el pH óptimo era de 4,5. Se determinó que la temperatura óptima para la actividad enzimática de XYN\_30 era de 75°C (Figura 8B).

5 Los transformantes seleccionados se cultivaron, como se ha descrito en el Ejemplo 14, en un biorreactor de 2 litros durante cuatro días (28°C, pH 4,2) para obtener material para las pruebas de aplicación.

Ejemplo 24. Rendimiento de las celobiohidrolasas recombinantes en la hidrólisis

El rendimiento de las celobiohidrolasas recombinantes purificadas se evaluó en los estudios de hidrólisis con las enzimas de *T. reesei* purificadas. La hidrólisis se llevó a cabo con mezclas controladas de enzimas purificadas sobre varios sustratos pretratados. Se obtuvieron productos filtrados de cultivo de T. *reesei*, que contenían diferentes enzimas CBH/Cel7 clonadas como se ha descrito en los Ejemplos 14 y 15, y las enzimas CBH se purificaron mediante cromatografía de afinidad como se ha descrito en el Ejemplo 2. Además, se utilizaron celulasas de *T. reesei* puras (purificadas como describen Suurnäkki *et al.*, 2000) en las mezclas de enzimas. Las celobiohidrolasas utilizadas en el experimento fueron:

15 CBH de *Thermoascus aurantiacus* ALKO4242 (Cel7A de Ta)

CBH de *Thermoascus aurantiacus* ALKO4242 (Cel7A de Ta) con CBD anclado genéticamente de *Trichoderma reesei* (Cel7A de Ta + CBD de Tr)

CBH de *Thermoascus aurantiacus* ALKO4242 (Cel7A de Ta) con el CBD anclado genéticamente de *Chaetomium thermophilum* (Cel7A de Ta + CBD de Ct)

20 CBH de Acremonium thermophilum ALKO4245 (Cel7A de At)

CBH de Chaetomium thermophilum ALKO4265 (Cel7A de Ct).

Cada CBH/Cel7 que se iba a someter a ensayo (dosificación 14,5 mg/g de materia seca de sustrato) se utilizó o bien con EGII/Cel5A de *T. reesei* (3,6 mg/g) o bien con una mezcla que contenía EGI/Cel7B (1,8 mg/g), EGII/Cel5A (1,8 mg/g) de T. *reesei*, xilanasa pl 9 (Tenkanen *et al.* 1992) (5000 nkat/g) y acetil xilano esterasa (AXE) (Sundberg y Poutanen, 1991) (250 nkat/g). A todas las mezclas se les añadió un suplemento de β-glucosidasa adicional de una preparación enzimática comercial Novozym 188 (176 nkat/g de peso seco). Se incubaron tubos por triplicado que contenían la mezcla de enzima y 10 mg (materia seca)/ml del sustrato suspendido en acetato de sodio 0,05 M en la mezcla mediante agitación magnética a 45°C durante 48 h. También se prepararon las muestras de referencia con las enzimas inactivadas y loa sustratos correspondientes. Se midió la liberación de los productos de hidrólisis como azúcares reductores con el método DNS utilizando glucosa como patrón (Tabla 30).

Se utilizaron los siguientes sustratos en el experimento:

Celulosa cristalina (Avicel)

10

25

30

40

Fibra de pícea pretratada con vapor de agua lavada (impregnación con  $SO_2$  al 3% p/p durante 20 minutos, seguido de pretratamiento con vapor de agua a 215 $^{\circ}$ C durante 5 min), materia seca de 25,9% (PICEA).

35 Fibra de rastrojo de maíz oxidada en mojado lavada ("WOCS en sus siglas en inglés") .

Fibra de sauce pretratada con vapor de agua lavada (pretratamiento durante 14 min a 210°C), materia seca 23,0% (SAUCE).

Tabla 30. Productos de hidrólisis con enzimas CBH (45°C, pH 5,0). Productos de reacción después de 48 h de hidrólisis como azúcares reductores (mg/ml), glucosa medida como patrón. Abreviaturas: CBH = celobiohidrolasa; EGI = endoglucanasa I (Cel7B) de *T. reesei*, EGII = endoglucanasa II (Cel5A) de T. *reesei*; bG = β-glucosidasa (de Novozym 188); XYL = xilanasa pl 9 (XYN II) de *T. reesei* , AXE = acetil xilano esterasa de *T. reesei*; nd = no realizado.

Enzimas		Sustratos				
СВН	Enzimas adicionales	Avicel PICEA		wocs	SAUCE	
Cel7A de Ta	EGII, bG	2,0	2,0	2,8	2,0	
Cel7A de Ta +CBD de Tr	EGII, bG	5,8	4,0	4,4	4,0	
Cel7A de Ta +CBD de Ct	EGII, bG	4,9	3,7	4,6	3,7	
Cel7A de At	EGII, bG	5,3	3,3	4,5	3,3	
Cel7A de Ct	EGII, bG	6,0	2,6	3,4	2,6	

Enzimas		Sustratos					
СВН	Enzimas adicionales	Avicel	PICEA	wocs	SAUCE		
Cel7A de <i>T. reesei</i>	EGII, bG	4,7	2,9	2,9	2,9		
Cel7A de Ta	EGII, EGI, XYL, AXE, bG	nd	nd	4,3	2,8		
Cel7A de Ta +CBD de Tr	EGII, EGI, XYL, AXE, bG	nd	nd	7,2	5,9		
Cel7A de Ta +CBD de Ct	EGII, EGI, XYL, AXE, bG	nd	nd	7,2	5,6		
Cel7A de At	EGII, EGI, XYL, AXE, bG	nd	nd	6,4	5,4		
Cel7A de Ct	EGII, EGI, XYL, AXE, bG	nd	nd	5,6	4,0		
Cel7A de <i>T. reesei</i>	EGII, EGI, XYL, AXE, bG	nd	nd	6,0	4,1		

En la Tabla 30 se han comparado las diferentes celobiohidrolasas basándose en la misma dosificación de proteína en la hidrólisis. Los resultados demuestran que sobre los sustratos celulósicos (Avicel y fibra de pícea) Cel7A de *Thermoascus aurantiacus* con el CBD unido genéticamente mostraba una hidrólisis claramente superior hidrólisis que CBHI/Cel7A de *T. reesei*. Sin CBD, Cel7A de *T. aurantiacus* fue menos eficaz sobre estos sustratos. El rendimiento de las celobiohidrolasas de *Acremonium thermophilum* y *Chaetomium thermophilum* también fue mejor que el de CBHI/Cel7A de *T. reesei* sobre varios sustratos; en particular, Cel7A de *C. thermophilum* mostró una alta eficacia sobre la celulosa pura (Avicel).

En el caso de los sustratos que contenían cantidades notables de hemicelulosa (sauce y el rastrojo de maíz), las enzimas CBH/Cel7 necesitaron claramente, tanto hemicelulasas como endoglucanasas adicionales para funcionar eficazmente. Si no se encontraban presentes hemicelulasas adicionales, Cel7A de *T. aurantiacus* con CBD anclado genéticamente mostró de nuevo una hidrólisis claramente máxima. Con las enzimas degradantes de hemicelulosa más importantes (xilanasa, acetil xilano esterasa y EGI), Cel7A de T. aurantiacus con CBD anclado genéticamente funcionaba de nuevo con la más alta eficacia. Cel7A de *A. thermophilum* fue más eficaz que la enzima de *T. reesei* y Cel7A de *C. thermophilum* produjo productos de hidrólisis al mismo nivel que CBHI/Cel7A de *T. reesei*. El dominio de unión a celulosa de *T. reesei* parecía proporcionar una eficacia ligeramente mejor que el CBD de C. thermophilum en el rendimiento hidrolítico de Cel7A de *T. aurantiacus*, incluso aunque la diferencia fuera bastante pequeña.

Se puede concluir que cuando se remplaza CBHI/Cel7A en la mezcla de enzimas de *Trichoderma* por las celobiohidrolasas producidas en la presente memoria, la eficacia de la hidrólisis a juzgar por estas trasposiciones experimentales resultó claramente mejorada en el caso de Cel7A de *T. aurantiacus* con el CBD anclado genéticamente, y también mejoró en el caso de Cel7A de *A. thermophilum* y Cel7A de *C. thermophilum*. Considerando también la mejor estabilidad de temperatura de las celobiohidrolasas producidas en la presente memoria, los resultados indican que el rendimiento de las mezclas de enzimas celulasas a temperaturas más altas de 45°C se puede mejorar claramente utilizando las celobiohidrolasas producida en la presente memoria.

25 Ejemplo 25. Rendimiento de las endoglucanasas recombinantes en la hidrólisis

20

30

Se compararon las preparaciones que contenían las endoglucanasas en estudios de hidrólisis mezcladas con las enzimas purificadas CBH/Cel7 y CBH/Cel6 sobre varios sustratos pretratados. Los productos filtrados de cultivo de *T. reesei*, que contenían diferentes enzimas endoglucanasa clonadas se obtuvieron como se ha descrito en el Ejemplo 19. Las enzimas se enriquecieron retirando las proteínas termolábiles de las mezclas mediante un tratamiento térmico (60°C, 2 h, pH 5) y el sobrenadante se utilizó para los estudios de hidrólisis. Además, se utilizaron celulasas de *T. reesei* puras (purificadas como describen Suurnäkki *et al.*, 2000) en las mezclas de enzimas. Las endoglucanasas utilizadas en el experimento fueron:

Endoglucanasa EG 40 de At/Cel45A de Acremonium thermophilum ALKO4245 (EG 40 de ALKO4245)

Endoglucanasa de tipo EG\_40 de At/Cel45B de *Acremonium thermophilum* ALKO4245 (de tipo EG\_40 de 35 ALKO4245)

Endoglucanasa EG 28 de Ta/Cel5A de Thermoascus aurantiacus ALKO4242 (EG 28 de ALKO4242).

Se utilizaron los siguientes sustratos en el experimento:

Fibra de pícea pretratada con vapor de agua lavada (impregnación con  $SO_2$  al 3% durante 20 minutos, seguido de pretratamiento con vapor de agua a 215 $^{\circ}$ C durante 5 min), materia seca de 25,9% (PICEA).

Fibra de rastrojo de maíz sometida a explosión de vapor de agua (pretratamiento con vapor de agua a 210°C durante 5 min), materia seca 31,0% ("SECS en sus siglas en inglés").

Las endoglucanasas que se iban a estudiar (dosificación de 840 nkat/g de materia seca, basándose en la actividad endoglucanasa contra HEC de acuerdo con la IUPAC, 1987) se utilizaron o bien con celobiohidrolasas de *T. reesei* (CBHI/Cel7A, 8,1 mg/g de materia seca y CBHII/Cel6A, 2,0 mg/g de materia seca) o bien con Cel7A de *Thermoascus aurantiacus* con el CBD de *T. reesei* anclado genéticamente (10,1 mg/g de materia seca). también se incluyeron EGI (Cel7B) y EGII (Cel5A) de *T. reesei* purificadas (Suurnäkki *et al.*, 2000) en los experimentos para la comparación. A todas las mezclas se les añadió un suplemento de β-glucosidasa adicional de Novozym 188 (para hacer la dosificación total de β-glucosidasa de 560 nkat/g de peso seco, se utilizó la dosificación relativamente alta para compensar las diferencias en las actividades de fondo de las diferentes preparaciones de EG). Se incubaron tubos por triplicado en la mezcla a 45°C durante 48 h y se prepararon muestra de referencia con enzimas inactivadas y los sustratos correspondientes. Se midió la liberación de los productos de la hidrólisis como azúcares reductores con el método DNS utilizando glucosa como patrón (Tabla 31).

10

15

20

25

30

35

40

Tabla 31. Productos de hidrólisis con diferentes preparaciones de endoglucanasa cuando se utilizan junto con celobiohidrolasas de *T. reesei* o con Cel7A de *T. aurantiacus* que alberga CBD de *T. reesei*. Productos de reacción después de 48 h de hidrólisis (45°C, pH 5,0) como azúcares reductores (mg/ml), glucosa medida como patrón. Abreviaturas: CBHI = celobiohidrolasa I (Cel7A) de *T. reesei*; CBHII = celobiohidrolasa II (Cel6A) de *T. reesei*; EGI = endoglucanasa I (Cel7B) de *T. reesei*, EGII = endoglucanasa II (Cel5A) de *T. reesei*; bG = β-glucosidasa (de Novozym 188); nd. = No realizado.

Enzimas		Sustrato	
Endoglucanasa	CBH/Cel7	PICEA	SECS
EG no añadida	CBHI y CBHII de T. reesei	2,4	3,2
EGI	CBHI y CBHII de T. reesei	3,5	4,6
EGII	CBHI y CBHII de T. reesei	3,8	3,5
EG_40 de At	CBHI y CBHII de T. reesei	4,9	4,3
At de tipo EG_40	CBHI y CBHII de T. reesei	4,5	4,8
EG_28 de Ta	CBHI y CBHII de T. reesei	3,0	3,9
sin EG añadida	Cel7A de T. aurantiacus + CBD de Tr	1,8	2,1
EG I	Cel7A de T. aurantiacus + CBD de Tr	nd.	4,2
EG II	Cel7A de T. aurantiacus + CBD de Tr	3,2	nd.
EG_40 de At	Cel7A de T. aurantiacus + CBD de Tr	4,8	4.0
EG_28 de Ta	Cel7A de T. aurantiacus + CBD de Tr	1,5	nd.

En la Tabla 31 se han comparado las diferentes endoglucanasas basándose en la misma dosificación de actividad en la hidrólisis. Esto puede favorecer las enzimas con baja actividad específica contra el sustrato (hidroxietilcelulosa) utilizadas en el análisis y subestimar la eficacia de las enzimas con alta actividad específica contra hidroxietilcelulosa. En cualquier caso, los resultados demuestran que las endoglucanasas de *Acremonium thermophilum* funcionan muy bien en la hidrólisis cuando influyen juntas en ambas celobiohidrolasas utilizadas en la mezcla. Las endoglucanasas de *A. thermophilum* tienen un rendimiento similar a EGI/CeI7B de *T. reesei* que es una enzima muy eficaz sobre el sustrato rastrojo de maíz que contiene hemicelulosa debido a su fuerte actividad xilanasa secundaria. La endoglucanasa CeI5A de *T. aurantiacus* (EG\_28 de ALKO4242) mostró una hidrólisis inferior que las enzimas de *T. reesei*.

Se puede concluir que las endoglucanasas de *A. thermophilum* funcionan con una eficacia comparable o mayor en comparación con las correspondientes enzimas de *Trichoderma* en la hidrólisis a juzgar por esta disposición experimental. Considerando también la estabilidad de temperatura de las endoglucanasas descritas en la presente memoria, los resultados indican que el rendimiento de las mezclas de enzimas celulasas a temperaturas más altas que 45°C se puede mejorar mediante el uso de las endoglucanasas descritas en la presente memoria.

Ejemplo 26. La hidrólisis de pícea pre-tratada con vapor de agua a altas temperaturas

Se suspendió fibra de pícea sometida a explosión de vapor de agua lavada (impregnación con SO<sub>2</sub> al 3% p/p durante 20 min, seguido de pretratamiento con vapor de agua a 215°C durante 5 min), con 25,9% de materia seca en 5 ml de tampón de acetato de sodio 0,05 M con una consistencia de 10 mg/ml. Este sustrato se hidrolizó utilizando diferentes mezclas de enzimas en tubos de ensayo con agitación magnética en el baño de agua ajustado a diferentes temperaturas durante 72 h. Para cada punto de muestreo, se retiraron de la hidrólisis tubos de ensayo por triplicado, se hirvieron durante 10 min con el fin de terminar la hidrólisis enzimática, se centrifugaron, y el sobrenadante se analizó para determinar los productos de la reacción de hidrólisis. Los blancos que contenían

sustrato solo (solamente tampón añadido en lugar de enzimas) también se incubaron en las condiciones correspondientes.

Se preparó una mezcla de celulasas termófilas utilizando los siguientes componentes:

10

15

25

30

35

50

Preparación de CBH/Cel7 termófila que contiene Cel7A de *Thermoascus aurantiacus* ALKO4242 con CBD de CBH/Cel7A de *T. reesei* anclado genéticamente. La preparación de proteína se produjo como se ha descrito en el Ejemplo 15 y se purificó de acuerdo con el Ejemplo 2, dando como resultado la preparación Cel7A de Ta + CBD de Tr purificada con contenido de proteína de 5,6 mg/ml.

Preparación de endoglucanasa termófila que contiene endoglucanasa At EG\_40/Cel45A de *Acremonium thermophilum* ALKO4245. La proteína se produjo en *T. reesei* como se ha descrito en el Ejemplo 19. Con el fin de enriquecer los componentes termófilos, el medio de cultivo gastado se trató con calor (60°C durante 2 horas). La preparación obtenida contenía 4,9 mg/ml de proteína y 422 nkat/ml de actividad endoglucanasa (de acuerdo con la IUPAC, 1987).

Preparación de  $\beta$ -glucosidasa termófila preparada como se ha descrito en el Ejemplo 21 que contenía  $\beta$ -glucosidasa  $\beta$ G\_81 de Ta/Cel3A de *Thermoascus aurantiacus* ALKO4242. Con el fin de enriquecer los componentes termófilos, el caldo del fermentador se trató con calor (65°C durante 2 horas). La preparación obtenida contenía 4,3 mg/ml de proteína y actividad  $\beta$ -glucosidasa de 6270 nkat/ml (de acuerdo con Bailey y Linko, 1990).

Estas preparaciones de enzimas se combinaron como sigue (por 10 ml de mezcla): preparación de CBH/Cel7 4,51 ml, preparación endoglucanasa 5,19 ml y preparación de β-glucosidasa 0,29 ml. Esta mezcla se utilizó como "MEZCLA 1" de las enzimas termófilas.

Como comparación y referencia, se construyó una mezcla del estado de la técnica de enzimas de *Trichoderma reesei* comerciales combinando (por 10 ml): 8,05 ml de Celluclast 1,5 L FG (de Novozymes A/S) y 1,95 ml Novozym 188 (de Novozymes A/S). Ésta se denominó "ENZIMAS de *T. REESEI*".

Las enzimas se dosificaron sobre la base de la actividad UFP de las mezclas: "MEZCLA 1" utilizando la dosis de 5,5 FPU por 1 gramo de materia seca en el sustrato de pícea, y "ENZIMAS de *T. REESEI*" utilizando 5,8 FPU por 1 gramo de materia seca en el sustrato de pícea.

Se tomaron muestras de la hidrólisis después de 24, 48 y 72 h y se trataron como se ha descrito anteriormente. Los productos de la hidrólisis se cuantificaron utilizando el análisis para azúcares reductores (Bernfeld, 1955), utilizando glucosa como patrón. La cantidad de productos de hidrólisis como azúcares reductores se presenta en la Figura 9.

Los resultados muestran claramente un mejor rendimiento de las enzimas descritas en la presente memoria en comparación con las enzimas de *Trichoderma* del estado de la técnica a 55°C y 60°C sobre el sustrato de abeto. Basándose en el análisis de HPLC el máximo rendimiento de los azúcares del sustrato sería 5,67 mg por 10 mg de sustrato seco de pícea. Debido a la dosificación relativamente baja de enzima, los rendimientos finales de azúcar eran claramente inferiores. Para las enzimas termoestables el rendimiento de azúcar basado en el análisis de azúcares reductores fue de 66% y 57% del teórico a 55°C y 60°C, respectivamente. Para las enzimas de *Trichoderma* del estado de la técnica éste fue solo de 31% y 11% a 55°C y 60°C, respectivamente.

Ejemplo 27. Hidrólisis de rastrojo de maíz pre-tratado con vapor de agua a altas temperaturas

Se suspendió fibra de rastrojo de maíz sometida a explosión de vapor de agua (tratamiento a 195°C durante 5 min), con 45,3% de materia seca en 5 ml de tampón de acetato de sodio 0,05 M a una consistencia de 10 mg/ml. Los tratamientos y las mediciones se realizaron como se ha descrito en el Ejemplo 26.

40 Se construyó una mezcla de las celulasas termófilas descritas en la presente memoria utilizando los siguientes componentes:

Preparación de CBH termófila que contenía Cel7A de *Thermoascus aurantiacus* ALKO4242 con CBD de CBHI/Cel7A de *T. reesei* anclado genéticamente (Cel7A de Ta + CBD de Tr, Ejemplo 15). El contenido de proteína de la preparación fue 31 mg/ml.

La preparación de endoglucanasa termófila que contenía endoglucanasa At EG\_40/Cel45A de *Acremonium thermophilum* ALKO4245 se obtuvo como se ha descrito en el Ejemplo 19. La preparación de enzima concentrada contenía actividad endoglucanasa (de acuerdo con la IUPAC, 1987) de 2057 nkat/ml.

La preparación de  $\beta$ -glucosidasa termófila que contenía  $\beta$ -glucosidasa  $\beta G_81$  de Ta/Cel3A de *Thermoascus aurantiacus* ALKO 4242 se obtuvo como se ha descrito en el Ejemplo 21 que contenía una actividad  $\beta$ -glucosidasa (de acuerdo con Bailey y Linko, 1990), de 11500 nkat/ml.

Producto xilanasa termófila que contenía una xilanasa AM24 procedente de *Nonomuraea flexuosa* DSM43186. El producto se preparó mediante el uso de una cepa recombinante de *Trichoderma reesei* que había sido transformada con el casete de expresión de pALK1502, como se describe en el documento WO2005/100557. El producto sólido se

disolvió en agua para preparar una disolución al 10% y se obtuvo una preparación de enzima con actividad xilanasa (analizada de acuerdo con Bailey *et al.*, 1992) de 208000 nkat/ml.

Estas preparaciones de enzimas se combinaron como sigue (por 10 ml de mezcla): preparación de CBH/Cel7 7,79 ml, preparación de endoglucanasa 0,96 ml, preparación de β-glucosidasa 1,14 ml y preparación de xilanasa 0,31 ml. Esta mezcla se utilizó como "MEZCLA 2" de las enzimas termófilas.

5

15

20

30

35

40

45

50

55

Como comparación y referencia, se construyó una mezcla del estado de la técnica de enzimas de *Trichoderma reesei* comerciales combinando (por 10 ml) 8,05 ml de Celluclast 1,5 L FG (de Novozymes A/S) y 1,95 ml de Novozym 188 (de Novozymes A/S). Ésta se denominó "ENZIMAS de T. REESEI".

Se tomaron muestras de la hidrólisis después de 24, 48 y 72 h y se trataron como se ha descrito anteriormente. Los productos de la hidrólisis se cuantificaron utilizando el análisis para azúcares reductores (Bernfeld, 1955), utilizando glucosa como patrón. Los resultados de los blancos de sustrato se restaron de las muestras con enzimas, y la concentración de los productos de hidrólisis como azúcares reductores se presentan en la Figura 10.

Los resultados muestran claramente un mejor rendimiento de las enzimas descritas aquí la presente memoria en comparación con las enzimas de *Trichoderma* del estado de la técnica. A 45°C, la mezcla de enzimas termófilas mostró una hidrólisis más eficaz en comparación con las enzimas de *T. reesei*: La hidrólisis fue más rápida y también se obtuvieron rendimientos más altos de azúcar. Basándose en el análisis de HPLC el máximo rendimiento de azúcares (incluyendo azúcares solubles libres en el sustrato no lavado que se había utilizado) del sustrato sería de 5,73 mg por 10 mg de sustrato seco. De este modo, la hidrólisis por las enzimas de la mezcla 2 fue casi completa en el plazo de 48 horas. A 55°C y 57,5°C las enzimas termófilas descritas la presente memoria también mostraron un rendimiento claramente mejor en la hidrólisis, en comparación con las enzimas de *Trichoderma* del estado de la técnica

Ejemplo 28. Hidrólisis de rastrojo de maíz pretratado a altas temperaturas utilizando una mezcla con una xilanasa termoestable

Se repitió el procedimiento explicado en el Ejemplo 27 excepto que el producto de xilanasa XT 02026A3 se remplazó por preparación de xilanasa termófila que contenía xilanasa XYN\_30 de Ta/Xyn10A de *Thermoascus aurantiacus* ALKO4242 producida en *T. reesei.* El caldo del fermentador, producido como se describe en el Ejemplo 23 contenía una actividad xilanasa de 132000 nkat/ml (analizada de acuerdo con Bailey *et al.*, 1992).

Estas preparaciones de enzimas se combinaron como sigue (por 10 ml de mezcla): preparación de CBH/Cel7 7,64 ml, preparación de endoglucanasa 0,96 ml, preparación de β-glucosidasa 1,15 ml y preparación de xilanasa 0,25 ml. Esta mezcla se utilizó como "MEZCLA 3" de las enzimas termófilas.

Como comparación y referencia, se construyó una mezcla del estado de la técnica de enzimas de *Trichoderma reesei* comerciales combinando (por 10 ml) 8,05 ml de Celluclast 1,5 L FG (de Novozymes A/S) y 1,95 ml de Novozym 188 (de Novozymes A/S). Ésta se denominó "ENZIMAS de T. REESEI".

Se tomaron muestras de la hidrólisis después de 24, 48 y 72 h y se trataron como se ha descrito anteriormente. Los productos de la hidrólisis se cuantificaron utilizando el análisis para azúcares reductores (Bernfeld, 1955), utilizando glucosa como patrón. Los resultados de los blancos de sustrato se restaron de las muestras con enzimas, y la concentración de los productos de hidrólisis como azúcares reductores se presenta en la Figura 11.

Los resultados muestran claramente un mejor rendimiento de la mezcla de las enzimas descritas en la presente memoria en comparación con las enzimas de *Trichoderma* del estado de la técnica. A 45°C, la mezcla de enzimas termófilas mostró una hidrólisis más eficaz en comparación con las enzimas de *T. reesei*. A 55°C y 60°C las enzimas termófilas descritas en la presente memoria mostraron un rendimiento claramente mejor en la hidrólisis, en comparación con las enzimas de *Trichoderma* del estado de la técnica. El rendimiento de la nueva mezcla de enzimas a 60°C estuvo al mismo nivel que el rendimiento de las enzimas del estado de la técnica a 45°C.

Ejemplo 29. Hidrólisis de pícea pre-tratada a altas temperaturas utilizando una mezcla con una xilanasa termoestable

Se repitió el procedimiento descrito en el Ejemplo 28 con fibra de pícea sometida a explosión de vapor de agua lavada (impregnación con SO<sub>2</sub> al 3% p/p durante 20 min, seguido de pretratamiento con vapor de agua a 215°C durante 5 min, con 25,9% de materia seca) como sustrato utilizando temperaturas de hidrólisis 45°C, 55°C y 60°C. Se tomaron muestras de la hidrólisis después de 24, 48 y 72 h y se trataron como se ha descrito anteriormente. Los productos de la hidrólisis se cuantificaron utilizando el análisis para azúcares reductores (Bernfeld, 1955), utilizando glucosa como patrón. Los resultados de los blancos de sustrato se restaron de las muestras con enzimas, y la concentración de los productos de hidrólisis como azúcares reductores se presenta en la Figura 12.

Los resultados muestran claramente un mejor rendimiento de la mezcla de las enzimas descritas en la presente memoria, en comparación con las enzimas de *Trichoderma* del estado de la técnica a todas las temperaturas estudiadas. A 45°C la mezcla de enzimas termófilas mostró una hidrólisis más eficaz en comparación con las

enzimas de *T. reesei*, evidentemente debido a la mejor estabilidad en la hidrólisis a largo plazo. A 55°C la eficacia de la mezcla de las enzimas descritas en la presente memoria todavía estuvo al mismo nivel que a 45°C, mientras que la mezcla de estado de la técnica fue ineficaz con el sustrato utilizado a esta temperatura. A 60°C las enzimas termófilas descritas en la presente memoria mostraron una disminución de la hidrólisis aunque la hidrólisis estuvo casi al mismo nivel que el rendimiento de las enzimas del estado de la técnica a 45°C.

Ejemplo 30 Evaluación de la inhibición por glucosa de las β-glucosidasas de *Acremonium thermophilium* ALKO4245, *Chaetomium thermophilum* ALKO4261 y *Thermoascus aurantiacus* ALKO4242

Los productos filtrados de cultivo producidos por las cepas *Acremonium thermophilium* ALKO4245, *Chaetomium thermophilium* ALKO4261 y *Thermoascus aurantiacus* ALKO4242 se describen en el Ejemplo 1. Las actividades β-glucosidasa (medidas de acuerdo con Bailey y Linko, 1990) de estas preparaciones fueron 21,4 nkat/ml, 5,6 nkat/ml y 18,6 nkat/ml, respectivamente. Como comparación, también se incluyeron en el experimento las enzimas comerciales Celluclast 1,5 L (β-glucosidasa de 534 nkat/ml) y Novozym 188 (β-glucosidasa de 5840 nkat/ml).

Con el fin de evaluar la sensibilidad de las diferentes β-glucosidasas a la inhibición por glucosa, se realizó un procedimiento de análisis de la actividad patrón en presencia de diferentes concentraciones de glucosa. A las disoluciones de sustrato (p-nitrofenil-β-D-glucopiranósido) para el análisis de la actividad β-glucosidasa se les añadió un suplemento de la glucosa de manera que la concentración de glucosa en la mezcla de análisis se ajustó a valores entre 0 y 0,5 M. Excepto esta adición de glucosa el análisis se realizó utilizando el procedimiento convencional (Bailey y Linko, 1990). Las actividades en presencia de concentraciones variables de glucosa como porcentaje de la actividad sin glucosa se presentan en la Figura 13.

Los resultados demuestran que las β-glucosidasas de *C. thermophilum* y *T. aurantiacus* se vieron menos afectadas por la inhibición por glucosa que las β-glucosidasas presentes en las enzimas comerciales: β-glucosidasa derivada de *Aspergillus* en Novozym 188 o β-glucosidasa derivada de *Trichoderma* en Celluclast 1,5 L. La enzima de *A. thermophilum* mostró un comportamiento comparable a la enzima de T. *reesei* de Celluclast. Especialmente la enzima de *C. thermophilum* fue claramente menos afectada por la alta concentración de glucosa. Por lo tanto, estos resultados indican que teniendo en cuenta la inhibición por glucosa el uso de las nuevas β-glucosidasas, especialmente a partir de cepas *Acremonium thermophilium* ALKO4242 y *Chaetomium thermophilium* ALKO4261, proporcionaría claras ventajas en la hidrólisis en condiciones industriales con alta concentración de glucosa.

Ejemplo 31. Actividad en papel de filtro de mezclas de enzimas a altas temperaturas

5

10

45

La actividad en papel de filtro de las preparaciones de enzimas se midió de acuerdo con el método de la IUPAC (1987) como se ha descrito en el procedimiento, excepto la reacción enzimática se realizó a temperaturas de 50°C a 70°C. La actividad FPU calculada se basa en la cantidad de enzima requerida para hidrolizar 4% de sustrato de papel de filtro en 1 h en condiciones experimentales. Se considera que la actividad FPU representa la actividad celulasa global total de una preparación de enzima.

Las mezclas de enzimas fueron MEZCLA 2 preparada como se ha descrito en el Ejemplo 27, MEZCLA 3 preparada como se ha descrito en el Ejemplo 28, y MEZCLA 4. La MEZCLA 4 se preparó combinando las preparaciones de enzimas descritas en el Ejemplo 27 como sigue (por 10 ml de mezcla): preparación de CBH/Cel7 7,84 ml, preparación de endoglucanasa 0,99 ml y preparación de β-glucosidasa 1,17 ml.

Las mezclas de enzimas utilizadas como referencia, que representaban las mezclas del estado de la técnica, fueron:

"ENZIMAS A de T. REESEI" preparada como se describe la preparación de "ENZIMAS de T. REESEI" descrita en el 40 Ejemplo 26.

"ENZIMAS B de T. REESEI" se construyó combinando (por 10 ml) 8,05 ml de Econase CE (una preparación de celulasa de *T. reesei* comercial de AB Enzymes Oy, Rajamäki, Finlandia) y 1,95 ml de Novozym 188 (de Novozymes A/S).

Las actividades FPU medidas para las preparaciones de enzimas a diferentes temperaturas se presentan en la Figura 14 como porcentajes de la actividad en condiciones convencionales (IUPAC, 1987) (a 50°C).

Los resultados demuestran claramente que las mezclas descritas aquí muestran una actividad celulasa global superior a temperaturas elevadas (60-70°) en comparación con las mezclas del estado de la técnica basadas en enzimas de *Trichoderma* y *Aspergillus*.

Ejemplo 32. Uso de las nuevas beta-glucosidasas en la preparación de soforosa

50 Una mezcla de producto hidrolizado de almidón de alta concentración (Nutriosa 74/968, Roquette) se trató con preparación enzimática enriquecida pG\_81/Cel3A de *Thermoascus aurantiacus* producida como se ha descrito en el Ejemplo 21 para producir una mezcla de azúcar que contenía cantidades apreciables de inductor de celulasa (soforosa) para superar la represión por glucosa.

La preparación enzimática enriquecida en βG\_81/Cel3A de Ta se añadió a la disolución de Nutriosa al 70% (p/p) a una concentración final de 1 g de proteína total/litro. El recipiente de la mezcla se incubó en un baño de agua a 65°C durante 3 días con agitación constante y se utilizó como una fuente de carbono en un medio en matraces oscilantes para dos cepas de *Trichoderma* diferentes (A47 y Rut-C30). El efecto del tratamiento de la enzima se midió como la actividad endoglucanasa formada durante un cultivo en matraz oscilante durante 7 días. Como referencia se realizaron cultivos en las mismas condiciones con Nutriosa no tratada como fuente de carbono. Se obtuvo un incremento de más del doble en las actividades en los cultivos en matraz oscilante realizados en medio de Nutriosa pretratado con βG\_81/Cel3A de Ta con las cepas sometidas a ensayo. Los resultados se muestran en la Figura 15.

#### Lista de depósito de organismos

5

Сера	Plásmido contenido	Autoridad de depósito	Fecha de Depósito	Número de Depósito
Acremonium thermophilumALKO4245	-	CBS <sup>(1)</sup>	20 Sep 2004	CBS 116240
Thermoascus aurantiacusALKO4242	-	CBS <sup>(1)</sup>	20 Sep 2004	CBS 116239
Chaetomium thermophilumALKO4265	-	CBS <sup>(2)</sup>	8 Nov 1995	CBS 730.95 <sup>(4)</sup>
Escherichia coli	pALK1635	DSMZ <sup>(3)</sup>	16 Sep 2004	DSM 16723
Escherichia coli	pALK1642	DSMZ	16 Sep 2004	DSM 16727
Escherichia coli	pALK1646	DSMZ	16 Sep 2004	DSM 16728
Escherichia coli	pALK1861	DSMZ	16 Sep 2004	DSM 16729
Escherichia coli	pALK1715	DSMZ	16 Sep 2004	DSM 16724
Escherichia coli	pALK1723	DSMZ	16 Sep 2004	DSM 16725
Escherichia coli	pALK1725	DSMZ	16 Sep 2004	DSM 16726
Escherichia coli	pALK1904	DSMZ	13 May 2005	DSM 17323
Escherichia coli	pALK1908	DSMZ	13 May 2005	DSM 17324
Escherichia coli	pALK1925	DSMZ	13 May 2005	DSM 17325
Escherichia coli	pALK1926	DSMZ	13 May 2005	DSM 17326
Escherichia coli	pALK2001	DSMZ	18 Oct 2005	DSM 17667
Escherichia coli	pALK2010	DSMZ	18 Nov 2005	DSM 17729

<sup>&</sup>lt;sup>(1)</sup> Centralbureau Voor Schimmelcultures en Uppsalalaan 8, 3584 CT, Utrecht, Países Bajos

#### Referencias

10

25

Altschul S., Gish W., Miller W., Myers E. W. y Lipman D. J. (1990) Basic local alignment search tool. J. Mol. Biol. 215: 403-410.

Badger, P.C. (2002) Ethanol from cellulose: a general review. In Trends in new crops and new uses. J. Janick y A. Whipkey (eds.). ASHS Press, Alexandria, VA, USA, pp. 17-21.

Bailey M. J. y K. M. H. Nevalainen (1981) Induction, isolation and testing of stable Trichoderma reesei mutants with improved production of solubilizing cellulase. Enz Microbiol Technol. 3: 153-157.

Bailey, M.J., Biely, P. y Poutanen, K. (1992) Interlaboratory testing for assay of xylanase activity. J Biotechnol. 23:257-270.

Bailey, M. J. y Linko, M. (1990) Production of β-galactosidase by Aspergillus oryzae in submerged bioreactor cultivation. J. Biotechnol. 16:57-66.

<sup>(2)</sup> Centralbureau Voor Schimmelcultures en Oosterstraat 1, 3742 SK BAARN, Países Bajos

<sup>&</sup>lt;sup>(3)</sup>Deutsche Sammlung von und Mikroorganismen Zellkulturen GmbH (DSMZ), Mascheroder Weg 1 b, D-38124 Braunschweig, Alemania

<sup>(4) [</sup>Después de la terminación del período de depósito actual, las muestras se almacenarán bajo los acuerdos para dejar la cepa disponible más allá del tiempo aplicable de la patente].

- Bailey M. J. y Poutanen K. (1989) Production of xylanases by strains of Aspergillus. Appl. Microbiol. Biotechnol. 30:5-10.
- Bailey M., Siika-aho M., Valkeajärvi A. y Penttilä M. (1993) Hydrolytic properties of two cellulases of Trichoderma reesei expressed in yeast. Biotehnol. Appl. Biochem 17: 65-76.
  - Bendtsen J.D., Nielsen H., von Heijne G. y Brunak S. (2004) Improved prediction of signal peptides: SignalP 3.0. J. Mol. Biol. 340: 783-795.
- Bernfeld, B. (1955) Amylases, α and β. In: Methods in Enzymology, vol. 1, Eds. Colowick, S.P. y Kaplan, N.O. Academic Press, New York, págs. 149-158.
  - Biely P., Vrsanska M., Tenkanen M., Kluepfel D. (1997) Endo-beta-1,4-xylanase families: differences in catalytic properties. Journal of Biotechnology 57: 151-166.
- Coen, D.M. (2001) The polymerase chain reaction. In: Ausubel, F.M., Brent, R., Kingston, R.E., More, D.D., Seidman, J.G., Smith, K. y Struhl, K. (eds.) Current protocols in molecular biology. John Wiley & Sons. Inc., Hoboken, USA.
- Gasteiger, E., Gattiker A., Hoogland C., Ivanyi I., Appel R. D. y Bairoch A. (2003) ExPASy: the proteiomics server for in-depth protein knowledge and analysis. Nucleic Acids Res. 31: 3784-3788.
  - Gellissen, G. (ed.) (2005) Production of recombinant proteins. Novel microbial and eukaryotic expression systems. Wiley-VCH Verlag Gmbh&Co. Weinheim, Germany.
- Gill, S.C, y von Hippel, P.H. (1989) Calculation of protein extinction coefficients from amino acid sequence data. Anal. Biochem. 182: 319-326.
  - Gupta, R., E. Jung y S. Brunak. (2004) Prediction of N-glycosylation sites in human proteins, In preparation. www.cbs.dtu.dk/services/NetNGlyc/
- Haakana H., Miettinen-Oinonen A., Joutsjoki V., Mäntylä A., Suominen P, y Vehmaanperä J. (2004) Cloning of cellulase genes from Melanocarpus albomyces and their efficient expression in Trichoderma reesei. Enz. Microbiol. Technol. 34: 159-167.
- Henrissat B. (1991) A classification of glycosyl hydrolases based on amino acid sequence similarities. Biochem. J. 280: 309-316.
  - Henrissat B. y Bairoch A. (1993) New families in the classification of glycosyl hydrolases based on amino acid sequence similarities. Biochem. J. 293: 781-788.
- Henrissat B. y Bairoch A. (1996). Updating the sequence-based classification of glycosyl hydrolases. Biochem. J. 316: 695-696
- Henrissat B., Teeri T. T. y Warren R. A. J. (1998) A scheme for designating enzymes that hydrolyse the polysaccharides in the cell wall of plants. FEBS Letters 425: 352-354.
  - Hong J., H. Tamaki, K. Yamamoto, y Kumagai H. (2003a) Cloning of a gene encoding a thermo-stabile endo-β-1,4-glucanase from Thermoascus aurantiacus and its expression in yeast. Biotech. Letters 25: 657-661.
- Hong J., Tamaki H., Yamamoto K. y Kumagai H. (2003b) Cloning of a gene encoding thermostable cellobiohydrolase from Thermoascus aurantiacus and its expression in yeast. Appl. Microbiol. Biotechnol. 63: 42-50.
  - IUPAC (International Union of Pure and Applied Chemistry) (1987). Measurement of cellulase activities. Pure and Appl. Chem. 59: 257-268.
- Joutsjoki, V. V., Torkkeli T.K. y Nevalainen K. M. H. (1993) Transformation of Trichoderma reesei with the Hormoconis resinae glucoamylase P (gamP) gene: production of a heterologous glucoamylase by Trichoderma reesei. Curr. Genet. 24: 223-228.
- Karhunen T., Mäntylä A., Nevalainen K. M. H. y Suominen P. L. (1993) High frequency one-step gene replacement in Trichoderma reesei. I. Endoglucanase I overproduction. Mol. Gen. Genet. 241: 515-522.
- Kurabi A., Berlin A, Gilkes N., Kilburn D., Markov A., Skomarovsky A., Gusakov A., Okunev O., Sinitsyn A., Gregg D. Xie D. y Saddler J. (2005) Enzymatic hydrolysis of steam-exploded and ethanol organosolv-pretreated Douglas-Fir by novel and commercial fungal cellulases. Appl. Biochem and Biotechn. Vol 121-124: 219-229.

- Lever, M. (1972) A new reaction for colorimetric determination of carbohydrates. Anal. Biochem., 47: 276-279.
- Lo Leggio, L., Kalogiannis S., Bhat M.K., y Pickersgill R.W. (1999) High resolution structure and sequence of the T. aurantiacus xylanase I: implications for evolution of thermostability in family 10 xylanases and enzymes with (beta) alpha-barrel architecture. Proteins 36(3): 295-306.
- Lowry, O., Rosenbrough, N., Farr, A. y Randall, R. (1951) Protein measuremen with the Folin phenol reagent. J. Biol. Chem. 193: 265-275.
- Needleman S. y Wunsch C. (1970) A general method applicable to the search for similarities in the amino acid sequence of two proteins. Journal of Molecular Biology 48, 443-453.
  - Nielsen H., Engelbrecht J., Brunak S. y von Heijne G. (1997) Identification of prokaryotic and eykaryotic signal peptides and prediction of their cleavage sites. Protein Engineering 10: 1-6.
- Paloheimo M., Mäntylä A., Kallio J., y Suominen P. (2003) High-yield production of a bacterial xylanase in the filamentous fungus Trichoderma reesei requires a carrier polypeptide with an intact domain structure. Appl. Env. Microbiol. 69: 7073-7082.
- Parry N., Beever D., Owen E., Nerinckx W. Claeyssens M, Van Beeumen J. y Bhat M. (2002) Biochemical characterization and mode of action of a thermostable endoglucanase purified from Thermoascus aurantiacus, Arch. of Biochem. and Biophys. 404: 243-253.
- Penttilä M., Nevalainen H., Rättö M., Salminen E. y Knowles J. (1987) A versatile transformation system for the cellulolytic filamentous fungus Trichoderma reesei. Gene 61:155-164.
  - Raeder U. y Broda P. (1985) Rapid preparation of DNA from filamentous fungi. Lett. Appl. Microbiol. 1: 17-20.
- Rice P, Longden I y Bleasby A. (2000). EMBOSS: The European Molecular Biology Open Software Suite. Trends in Genetics 16:276-277.
  - Sambrook J., Fritsch E. F. y Maniatis T. (1989) Molecular cloning, a laboratory manual. Cold Spring Harbor Laboratory, New York, US.
- 35 Sambrook J. y Russell D. W. (2001) Molecular cloning, a laboratory manual. Cold Spring Harbor Laboratory, New York, US.
  - Srisodsuk M, Reinikainen T, Penttilä M y Teeri T. (1993) Role of the interdomain linker peptide of Trichoderma reesei cellobiohydrolase I in its interaction with crystalline cellulose. J. Biol. Chem. Oct 5;268(28): 20756-61.
- 40 Sundberg, M., y Poutanen, K. (1991) Purification and properties of two acetylxylan esterases of Trichoderma reesei. Biotechnol. Appl. Biochem. 13: 1-11.
- Suurnäkki, A., Tenkanen M., Siika-aho, M., Niku-Paavola, M.-L, Viikari, L. y Buchert, J. (2000) Trichoderma reesei cellulases and their core domains in the hydrolysis and modification of chemical pulp. Cellulose 7: 189-209.
  - Tenkanen, M., Puls, J. y Poutanen, K (1992) Two major xylanases of Trichoderma reesei. Enzyme Microbiol. Technol. 14: 566-574.
- Tomme, P. McRae, S., Wood, T. y Claeyssens, M. (1988) Chromatographic separation of cellulolytic enzymes. Methods in Enzymol. 160: 187-192.
- Tuohy M., Walsh J., Murray P., Claeyssens M., Cuffe M., Savage A. y Coughan M. (2002) Kinetic parameters and mode of action of cellobiohydrolases produced by Talaromyces emersonii. Biochem. Biophys. Acta 1596: 366-380 (abstract).
  - Van Petegem et al (2002) Atomic resolution structure of major endoglucanase from Thermoascus aurantiacus, Biochem. and Biophys. Res. Comm. 296, págs. 161-166.
- Van Tilbeurgh, H., Loonties, F., de Bruyne, C. y Claeyssens, M. (1988) Fluorogenic and chromogenic glycosides as substrates and ligands of carbohydrases. Methods Enzymol. 160:45-59.
  - Wyman, C.E. (2001) Twenty years of trials, tribulations, and research progress in bioethanol technology. Applied Biochemistry and Biotechnology 91-93: 5-21.

65

5

### **LISTA DE SECUENCIAS**

_	<110> Roal						
5	<120> Tratamie	ento de material	celulósico y en	zimas útiles en e	el mismo		
	<130> 2051999	Э					
10	<160> 30						
	<170> Patentin	versión 3.1					
15	<210> 1 <211> 3192 <212> ADN <213> Thermos	ascus aurantiaci	us				
20 25	<220> <221> CDS <222> (1514)( <223>	(2122)					
30	<220> <221> Intrón <222> (2123)( <223>	(2187)					
35	<220> <221> CDS <222> (2188)( <223>	(2949)					
	<400>1 ctagaccttt	atcctttcat	ccgaccagac	ttcccctttg	accttggcgc	cctgttgact	60
	acctacctac	ctaggtaggt	aacgtcgtcg	accctcttga	atgatecteg	tcacactgca	120
	aacatccgaa	acatacggca	aaagatgatt	gggcatggat	gcaggagaca	tcgaatgagg	180
	gcttagaagg	aaatgaaaac	ctgggaccag	gacgctaggt	acgatgaaat	ccgccaatgg	240
	tgaaacttta	agtcgtgcct	acagcacagg	ctctgtgaag	attgcgctgt	tcagacttaa	300
	tcttctcatc	acagtccaag	tctttatgaa	aaggaaaaga	gagagaagag	cgctatttcg	360
	agctgtcggc	ctcataggga	gacagtcgag	cataccagcg	gtatcgacgt	tagactcaac	420
	caagaataat	gacgagaata	aacacagaag	tcaaccttga	actgtatatc	agggttccag	480
	cagcagatag	ttacttgcat	aaagacaact	ccccgagggc	tctctgcata	caccaggatg	540
	ttccggaatt	attcactgct	cgtttccgac	gtggcgtcag	tgatccgtct	ccacagaacc	600
	tctacctggg	gaataaccca	ggggaggaat	ctgcaagtaa	gaacttaata	ccaatccccg	660
	gggctgccgg	ggtgaatcaa	atctcccgcg	ggaaattaaa	cccatacgat	gtttttgcac	720
40	cacatgcatg	cttggcacga	tttctccgca	agggagtcac	agagaaagac	atatttcgca	780

tactactgtg actctgcaga gttacatatc actcaggata cattgcagat cattgtccga	840
gcatcaaaca tggacctgca ggatcaacgg cccgacaaaa cacaagtggc taaagctggg	900
ggatgcccga acccgctgcg caatatcatt gatggatgtt cccccacatt tttaaaacat	960
cgacggatcg gcccgcatac taatcctttt atcaaccaaa agttccactc gactagagaa	1020
aaaaaggcca aggccactaa ttgcagtcgg atactggtct tttcgccgtc caacaccttc	1080
atccatgatc cccttagcca ccaatgcccc acataataca tgttgacata ggtacgtagc	1140
totgttatcc aatcgcatcc gaacctcttt aacggacccc toctacacac cttatcctaa	1200
cttcaggaga ctgttgccca ttggggattg aggaggtccg ggttgcagga tgcgttctag	1260
gctaaattct cggccggtag ccatctcgaa tctctcgtga agccttcatc tgaacggttg	1320
gcggcccgtc aagccgatga ccatgggttc ctgatagagc ttgtgcctga ccggccttgg	1380
cggcatagac gagctgaaca catcaggtat gaacagatca gatataaagt cggattgagt	1440
cctagtacga agcaatccgc caccaccaaa tcaagcaacg agcgacagca ataacaatat	1500
caatcgaatc gca atg tat cag cgc gct ctt ctc ttc tct ttc ttc ctc  Met Tyr Gln Arg Ala Leu Leu Phe Ser Phe Phe Leu  1 5 10	1549
gcc gcc gcc cgc gcg cag cag gcc ggt acc gta acc gca gag aat cac Ala Ala Arg Ala Gln Gln Ala Gly Thr Val Thr Ala Glu Asn His 15 20 25	1597
cct tcc ctg acc tgg cag caa tgc tcc agc ggc ggt agt tgt acc acg Pro Ser Leu Thr Trp Gln Gln Cys Ser Ser Gly Gly Ser Cys Thr Thr 30 35 40	1645
cag aat gga aaa gtc gtt atc gat gcg aac tgg cgt tgg gtc cat acc Gln Asn Gly Lys Val Val Ile Asp Ala Asn Trp Arg Trp Val His Thr 45 50 55 60	1693
acc tct gga tac acc aac tgc tac acg ggc aat acg tgg gac acc agt Thr Ser Gly Tyr Thr Asn Cys Tyr Thr Gly Asn Thr Trp Asp Thr Ser 65 70 75	1741
atc tgt ccc gac gac gtg acc tgc gct cag aat tgt gcc ttg gat gga Ile Cys Pro Asp Asp Val Thr Cys Ala Gln Asn Cys Ala Leu Asp Gly 80 85 90	1789
gcg gat tac agt ggc acc tat ggt gtt acg acc agt ggc aac gcc ctg Ala Asp Tyr Ser Gly Thr Tyr Gly Val Thr Thr Ser Gly Asn Ala Leu 95 100 105	1837
aga ctg aac ttt gtc acc caa agc tca ggg aag aac att ggc tcg cgc Arg Leu Asn Phe Val Thr Gln Ser Ser Gly Lys Asn Ile Gly Ser Arg 110 115 120	1885
ctg tac ctg ctg cag gac gac acc act tat cag atc ttc aag ctg ctg Leu Tyr Leu Leu Gln Asp Asp Thr Thr Tyr Gln Ile Phe Lys Leu Leu 125 130 135 140	1933

ggt cag gag ttt acc ttc gat gtc gac gtc tcc aat ctc cct tgc ggg Gly Gln Glu Phe Thr Phe Asp Val Asp Val Ser Asn Leu Pro Cys Gly 145 150 155	1981
ctg aac ggc gcc ctc tac ttt'gtg gcc atg gac gcc gac ggc gga ttg Leu Asn Gly Ala Leu Tyr Phe Val Ala Met Asp Ala Asp Gly Gly Leu 160 165 170	2029
tcc aaa tac cct ggc aac aag gca ggc gct aag tat ggc act ggt tac Ser Lys Tyr Pro Gly Asn Lys Ala Gly Ala Lys Tyr Gly Thr Gly Tyr 175 180 185	2077
tgc gac tct cag tgc cct cgg gat ctc aag ttc atc aac ggt cag Cys Asp Ser Gln Cys Pro Arg Asp Leu Lys Phe Ile Asn Gly Gln 190 195 200	2122
gtacgtcaga agtgataact agccagcaga gcccatgaat cattaactaa cgctgtcaaa	2182
tacag gcc aat gtt gaa ggc tgg cag ccg tct gcc aac gac cca aat gcc Ala Asn Val Glu Gly Trp Gln Pro Ser Ala Asn Asp Pro Asn Ala 205 210 215	2232
ggc gtt ggt aac cac ggt tcc tgc tgc gct gag atg gat gtc tgg gaa Gly Val Gly Asn His Gly Ser Cys Cys Ala Glu Met Asp Val Trp Glu 220 225 230	2280
gcc aac agc atc tct act gcg gtg acg cct cac cca tgc gac acc ccc Ala Asn Ser Ile Ser Thr Ala Val Thr Pro His Pro Cys Asp Thr Pro 235 240 245 250	2328
ggc cag acc atg tgc cag gga gac gac tgt ggt gga acc tac tcc tcc Gly Gln Thr Met Cys Gln Gly Asp Asp Cys Gly Gly Thr Tyr Ser Ser 255 260 265	2376
act cga tat gct ggt acc tgc gac cct gat ggc tgc gac ttc aat cct Thr Arg Tyr Ala Gly Thr Cys Asp Pro Asp Gly Cys Asp Phe Asn Pro 270 275 280	2424
tac cgc cag ggc aac cac tcg ttc tac ggc ccc ggg cag atc gtc gac Tyr Arg Gln Gly Asn His Ser Phe Tyr Gly Pro Gly Gln Ile Val Asp 285 290 295	2472
acc agc tcc aaa ttc acc gtc gtc acc cag ttc atc acc gac gag ggg Thr Ser Ser Lys Phe Thr Val Val Thr Gln Phe Ile Thr Asp Asp Gly 300 305 310	2520
acc ccc tcc ggc acc ctg acg gag atc aaa cgc ttc tac gtc cag aac Thr Pro Ser Gly Thr Leu Thr Glu Ile Lys Arg Phe Tyr Val Gln Asn 315 320 325 330	2568
ggc aag gta atc ccc cag tcg gag tcg acg atc agc ggc gtc acc ggc Gly Lys Val Ile Pro Gln Ser Glu Ser Thr Ile Ser Gly Val Thr Gly 335 340 345	2616
aac tca atc acc acc gag tat tgc acg gcc cag aag gcc gcc ttc ggc Asn Ser Ile Thr Thr Glu Tyr Cys Thr Ala Gln Lys Ala Ala Phe Gly 350 355 360	2664
gac aac acc ggc ttc ttc acg cac ggc ggg ctt cag aag atc agt cag Asp Asn Thr Gly Phe Phe Thr His Gly Gly Leu Gln Lys Ile Ser Gln 365 370 375	2712

gct ctg Ala Leu 380															2760
gcc gcc Ala Ala 395															2808
ccg gac Pro Asp				-		_			_		_				2856
gtc ccg Val Pro															2904
tcc aac Ser Asn															2949
taagtaa	gta a	actgo	gcact	c ta	ccac	cgaç	g ago	etteg	gtga	agat	acaç	ggg g	gtggt	tggga	3009
gattgtc	gtg t	acaq	gggg	ac at	gcga	tgct	. caa	aaat	cta	cato	agtt	tg d	caat	tgaac	3069
catgaaa	aaa a	agggg	ggaga	at ca	aaga	agto	tgt:	caaa	aga	gggg	ıggct	gt q	gcag	octtaa	3129
gccttgt	tgt a	agato	gagt	c ga	cgcc	ctat	agt	gagt	cgt	atta	gago	tc g	gegge	cgcga	3189
gct															3192
<210> 2 <211> 457 <212> PRT <213> The		cus au	rantia	cus											

10

Met Tyr Gln Arg Ala Leu Leu Phe Ser Phe Phe Leu Ala Ala Arg 10 . 15

Ala Gln Gln Ala Gly Thr Val Thr Ala Glu Asn His Pro Ser Leu Thr

Trp Gln Gln Cys Ser Ser Gly Gly Ser Cys Thr Thr Gln Asn Gly Lys 35 40

Val Val Ile Asp Ala Asn Trp Arg Trp Val His Thr Thr Ser Gly Tyr 50

Thr Asn Cys Tyr Thr Gly Asn Thr Trp Asp Thr Ser Ile Cys Pro Asp 75

Asp Val Thr Cys Ala Gln Asn Cys Ala Leu Asp Gly Ala Asp Tyr Ser 85 90 95

Gly	Thr	Tyr	Gly 100	Val	Thr	Thr	Ser	Gly 105	Asn	Ala	Leu	Arg	Leu 110	Asn	Phe
Val	Thr	Gln 115	Ser	Ser	Gly	Lys	Asn 120	Ile	Gly	Ser	Arg	Leu 125	Tyr	Leu	Leu
Gln	Asp 130	Asp	Thr	Thr	Tyr	Gln 135	Ile	Phe	Lys	Leu	Leu 140	Gly	Gln	Glu	Phe
Thr 145	Phe	Asp	Val	Asp	Val 150	Ser	Asn	Leu	Pro	Cys 155	Gly	Leu	Asn	Gly	Ala 160
Leu	Tyr	Phe	Val	Ala 165	Met	Asp	Ala	Asp	Gly 17.0	Gly	Leu	Ser	Lys	Tyr 175	Pro
Gly	Asn	Lys	Ala 180	Gly	Ala	Lys	Tyr	Gly 185	Thr	Gly	Tyr	Суѕ	Asp 190	Ser	Gln
Cys	Pro	Arg 195	Asp	Leu	Lys	Phe	Ile 200	Asn	Gly	Gln	Ala	Asn 205	Val	Glu	Gly
Trp	Gln 210	Pro	Ser	Ala	Asn	Asp 215	Pro	Asn	Ala	Gly	Val 220	Gly	Asn	His	Gly
Ser 225	Cys	Суз	Ala	Glu	Met 230	Asp	Val	Trp	Glu	Ala 235	Asn	Ser	Ile	Ser	Thr 240
Ala	Val	Thr	Pro	His 245	Pro	Суз	Asp	Thr	Pro 250	Gly	Gln	Thr	Met	Cys 255	Gln
Gly	Asp	Asp	Cys 260	Gly	Gly	Thr	Tyr	Ser 265		Thr	Arg	Tyr	Ala 270	Gly	Thr
Суз	Asp	Pro 275	Asp	Gly	Cys	Asp	Phe 280	Asn	Pro	Tyr	Arg	Gln 285	Gly	Asn	His
Ser	Phe 290	Tyr	Gly	Pro	Gly	Gln 295	Ile	Val	Asp	Thr	Ser 300	Ser	Lys	Phe	Thr
Val 305	Val	Thr	Gln	Phe	Ile 310	Thr	Asp	Asp	Gly	Thr 315	Pro	Ser	Gly	Thr	Leu 320
Thr	Glu	Ile	Lys	Arg 325	Phe	Tyr	<u>V</u> al	Gln	Asn 330	Gly	Lys	Val	Ile	Pro 335	Gln

Ser Glu Ser Thr Ile Ser Gly Val Thr Gly Asn Ser Ile Thr Thr Glu 340 345 350

Tyr Cys Thr Ala Gln Lys Ala Ala Phe Gly Asp Asn Thr Gly Phe Phe 355 360 365

Thr His Gly Gly Leu Gln Lys Ile Ser Gln Ala Leu Ala Gln Gly Met 370 375 380

Val Leu Val Met Ser Leu Trp Asp Asp His Ala Ala Asn Met Leu Trp 385 390 395 400

Leu Asp Ser Thr Tyr Pro Thr Asp Ala Asp Pro Asp Thr Pro Gly Val 405 410 415

Ala Arg Gly Thr Cys Pro Thr Thr Ser Gly Val Pro Ala Asp Val Glu
420 425 430

Ser Gln Tyr Pro Asn Ser Tyr Val Ile Tyr Ser Asn Ile Lys Val Gly
435 440 445

Pro Ile Asn Ser Thr Phe Thr Ala Asn 450 455

<210> 3
5 <211> 3055
 <212> ADN
 <213> Acremonium thermophilum.

10 <220> <221> CDS <222> (972)..(1595) <223>

15 <220> <221> Intrón <222> (1596)..(1729) <223>

20 <220> <221> CDS <222> (1730)..(2290) <223>

25 <220> <221> Intrón <222> (2291)..(2412) <223>

30 <220> <221> CDS

	<222> (2413)(2540) <223>	
5	<220> <221> Intrón <222> (2541)(2627) <223>	
10	<220> <221> CDS <222> (2628)(2691) <223>	
	<400>3 gaatteggat cacacegaga gettegegat ggccagetgt etcagettgt accegtetae	60
	caacgttccg catcttcgtt accttgatag ctcgcgtttg ctggactgct ttgtgagggg	120
	actgtgccac gcctgggaga cgggtgccgt accatcggtt actgcgcaga ctgagaaccg	180
	tcgttgccga aacagccagg caggaagcct gtccaccttc atgtatcttc atatggaccc	240
	cagegegece etetettet ecteattet tgeecaceae gatggacace atgeeaatet	300
	atttcttgat cccttgactc ctcagccccc cagcagtccg acaatgtaca gtgatgggca	360
	tetetttetg tacatacgte ecetetegeg gtgteeaege geggeegggg atgeetggga	420
	cggagtgcca cccgcaggga acgagacttg gctgatgggg tgcggtgcat ggtggcacaa	480
	gagatecagg ecceegate tegttetege aegtatectt ecceegeegg egatgeceaa	540
	gtgggaagte tteggagegg cacceaggee catettgeeg atgeeeggea eggetetgge	600
	ggttgccttc atctatcgtg gctgcacatc cgccgtgccc ccattgggaa agcaggcttt	660
	gttcttcccg tctgtcgatc gtctcccacc taccctccct cctcgcaagg gcttaccctg	720
	gececteact getgetteac eteactgetg etteccegea atgececete gecececee	780
	cccccctctc ctttgcagta cagatctaca taatatcgag acgcccccca agctgtttct	840
	ctggcacage cetetegege gtggtgcaag agcaagteag agtateaatt eccecatete	900
	tcatctcage cettetgeeg tggtecacee gaeattetgg geeegtagee aagaeegate	960
	cgcctctcac c atg cac aag cgg gcg gcc acc ctc tcc gcc ctc gtc gtc Met His Lys Arg Ala Ala Thr Leu Ser Ala Leu Val Val 1 5 10	1010
	gcc gcc gcc ggc ttc gcc cgc ggc cag ggc gtg ggc acg cag cag acg Ala Ala Ala Gly Phe Ala Arg Gly Gln Gly Val Gly Thr Gln Gln Thr 15 20 25	1058

gag acg cac ccc aag ctc acc ttc cag aag tgc tcc gcc gcc ggc agc 1106

15

Glu 30	Thr	His	Pro	Lys	Leu 35	Thr	Phe	Gln	Lys	Cys 40	Ser	Ala	Ala	Gly	Ser 45	
_	_							-			gcc Ala					1154
											acg Thr					1202
				-	_		_	-	_	_	gcc Ala	_			_	1250
											gcc Ala 105					1298
											agc Ser					1346
											acc Thr					1394
											gtc Val					1442
											gtc Val					1490
											gcc Ala 185					1538
	_			_	_	_	_	_	_	_	gac Asp		_			1586
	ggc Gly		gtga	igaac	cc g	gcact	agco	gt co	cgcc	ttcc	gtg	gteed	tcc			1635
tttt	gcct	tc t	tcga	accgo	c ct	ctto	ccto	g cgc	gcca	ıggg	tcgc	tggg	ggt g	gctgt	cctcc	1695
tttc	etggt	.gg g	gcago	eggtg	jc t <u>c</u>	atco	cgcg	g cca			n Se				g cag p Gln 215	1750
											ggc Gly					1798
_	_		_	_				_			gtc Val		_	-		1846

												tgc Cys 260				1894
_	_					_	_		_		-	ggc Gly	-	_	_	1942
_	_		_	_			_		_	_		gtg Val				1990
												ttc Phe				2038
				Gly								atc Ile	-			2086
												gcc Ala 340				2134
									_	-		tgc Cys	_	-	-	2182
												atg Met				2230
		-	_	_	-	-	-			_	-	ctg Leu		-		2278
-		gac Asp	_	gtga	igcca	itt t	tege	atto	t ct	.cctg	jacto	tcc	tccg	gctg		2330
ccat	caco	cac c	etctt	ccac	c ac	cgcc	acga	ggg	rtgta	gct	tgat	ctcc	gc t	gact	gacgt	2390
gtg	ccad	eac c	cccg	ittto	et ag						Let				tct Ser 405	2442
												aag Lys				2490
				Ser								gag Glu				2538
gg Gly	gtga	igtcg	ıga t	cttc	tgca	t go	ggcc	cgtt	ttc	cgag	cat	tgct	tggg	ıgt		2590
cct	ecto	ag g	etga	.caca	ic go	gcgc	cttc	gat	acag		sp A	cg a la T 40				2643

tac tcc aac atc aag ttt ggg ccg ctg gac tcc acc tac acg gct tcc Tyr Ser Asn Ile Lys Phe Gly Pro Leu Asp Ser Thr Tyr Thr Ala Ser 445 450 455	2691
tgagcagccg ctttgggttc ggtggggccg aagcacaaca agtgtgtgcg tagctgagat	2751
gatggccgat ctctgtcctt tgtctcctag tgtctctctt atcgaacaac cccccgacct	2811
gcagcgtcgg cgggcatcgt atagtctggt gtaactgtat atagctctgt gcgtgtgaat	2871
cgaacgagca ccgacgaaat gtggtgtttc atgctatcgt acatgctctt gcgagatctg	2931
aagtcgtcaa ttagacattg ccaccatcca acttggcgac tgtccacccg gtccatttgt	2991
atcactggct cttccgagac ccggtctctc tcacaccgta atcactgcaa gcagagttga	3051
attc	3055
<210> 4 <211> 459 <212> PRT <213> Acremonium thermophilum	
<pre>&lt;400&gt; 4 Met His Lys Arg Ala Ala Thr Leu Ser Ala Leu Val Val Ala Ala Ala 1</pre>	
Gly Phe Ala Arg Gly Gln Gly Val Gly Thr Gln Gln Thr Glu Thr His	
Pro Lys Leu Thr Phe Gln Lys Cys Ser Ala Ala Gly Ser Cys Thr Thr 35 40 45	
Gln Asn Gly Glu Val Val Ile Asp Ala Asn Trp Arg Trp Val His Asp 50 55 60	
Lys Asn Gly Tyr Thr Asn Cys Tyr Thr Gly Asn Glu Trp Asn Thr Thr 65 70 75 80	
Ile Cys Ala Asp Ala Ala Ser Cys Ala Ser Asn Cys Val Val Asp Gly 85 90 95	
Ala Asp Tyr Gln Gly Thr Tyr Gly Ala Ser Thr Ser Gly Asn Ala Leu 100 105 110	
Thr Leu Lys Phe Val Thr Lys Gly Ser Tyr Ala Thr Asn Ile Gly Ser 115 120 125	
Arg Met Tyr Leu Met Ala Ser Pro Thr Lys Tyr Ala Met Phe Thr Leu 130 135 140	

Leu 145	Gly	His	Glu	Phe	Ala 150	Phe	Asp	Val	Asp	Leu 155	Ser	Lys	Leu	Pro	Cys 160
Gly	Leu	Asn	Gly	Ala 165	Val	Tyr	Phe	Val	Ser 170	Met	Asp	Glu	Asp	Gly 175	Gly
Thr	Ser	Lys	Tyr 180	Pro	Ser	Asn	Lys	Ala 185	Gly	Ala	Lys	Tyr	Gly 190	Thr	Gly
Tyr	Cys	Asp 195	Ser	Gln	Cys	Pro	Arg 200	Asp	Leu	Lys	Phe	Ile 205	Asp	Gly	Lys
Ala	Asn 210	Ser	Ala	Ser	Trp	Gln 215	Pro	Ser	Ser	Asn	Asp 220	Gln	Asn	Ala	Gly
Val 225	Gly	Gly	Met	Gly	Ser 230	Cys	Cys	Ala	Glu	Met 235	Asp	Ile	Trp	Glu	Ala 240
Asn	Ser	Val	Ser	Ala 245	Ala	Tyr	Thr	Pro	His 250	Pro	Суѕ	Gln	Asn	Tyr 255	Gln
Gln	His	Ser	Cys 260	Ser	Gly	Asp	Asp	Cys 265	Gly	Gly	Thr	Tyr	Ser 270	Ala	Thr
Arg	Phe	Ala 275	Gly	Asp	Суз	Asp	Pro 280	Asp	Gly	Cys	Asp	Trp 285	Asn	Ala	Tyr
Arg	Met 290	Gly	Val	His	Asp	Phe 295	Tyr	Gly	Asn	Gly	Lys 300	Thr	۷al	Asp	Thr
Gly 305	Lys	Lys	Phe	Ser	Ile 310	Val	Thr	Gln	Phe	Lys 315	Gly	Ser	Gly	Ser	Thr 320
Leu	Thr	Glu	Ile	Lys 325	Gln	Phe	Tyr	Val	Gln 330	Asp	Gly	Arg	Lys	Ile 335	Glu
Asn	Pro	Asn	Ala 340	Thr	Trp	Pro	Gly	Leu 345	Glu	Pro	Phe	Asn	Ser 350	Ile	Thr
Pro	Asp	Phe 355	Cys	Lys	Ala	Gln	Lys 360	Gln	Val	Phe	Gly	Asp 365	Pro	Asp	Arg
Phe	Asn 370	Asp	Met	Gly	Gly	Phe 375	Thr	Asn	Met	Ala	Lys 380	Ala	Leu	Ala	Asn

Pro Met Val Leu Val Leu Ser Leu Trp Asp Asp His Tyr Ser Asn Met

```
385
                               390
                                                                                 400
     Leu Trp Leu Asp Ser Thr Tyr Pro Thr Asp Ala Asp Pro Ser Ala Pro
     Gly Lys Gly Arg Gly Thr Cys Asp Thr Ser Ser Gly Val Pro Ser Asp
                                              425
                     420
     Val Glu Ser Lys Asn Gly Asp Ala Thr Val Ile Tyr Ser Asn Ile Lys
               435
                                         440
                                                                  445
     Phe Gly Pro Leu Asp Ser Thr Tyr Thr Ala Ser
          450
                                    455
     <210> 5
     <211> 3401
     <212> ADN
     <213> Acremonium thermophilum
     <220>
     <221> CDS
10
     <222> (891)..(1299)
     <223>
     <220>
     <221> Intrón
15
     <222> (1300)..(1387)
     <223>
     <220>
     <221> CDS
20
     <222> (1388)..(1442)
     <220>
     <221> Intrón
25
     <222> (1443)..(1495)
     <223>
     <220>
     <221> CDS
     <222> (1496)..(1643)
30
     <223>.
     <220>
     <221> Intrón
35
     <222> (1644)..(1697)
     <223>
     <220>
     <221> CDS
40
     <222> (1698)..(1928)
     <223>
     <220>
     <221> Intrón
45
     <222> (1929).. (2014)
```

<223>

<220> <221> CDS

<222> (2015)..(2740)

<223>

<400>5 ctegagttte cetggtegge cactetetge teateteget etgegeeeet ggatgtgeeg 60 tgtgtccagt cgtgtatctc ttgactgcac gacgtgttcc tcgcgactcg tctcgcgccg 120 gtggatgccc gtccactcat ttgtccgtct actgggtcag cctctcgtct cgaacgagct 180 tecaeggeee acteeeegga caacetegge tetggatgge ceteeteee eteegtgtet 240 cccctcctgc ggggtccgtc gtgccctggc tgcatgctcc acatcgcttg atcacgctgc 300 gagccaccgc agagccccat ctccaaagcg accgtggcag cactacctct gtttctggga 360 tggggccac gtcgatggcc tggcatccct tgccaccctc ctccatcccc ctgacctcac 420 teccaacega taggagaagt ggteatggge acgaeecegt geaegtettg gaetegaega 480 gcttgatcgg gccggaagcc gtcaacgacg ggggagccgt gtcttgccac gcgtggccgt 540 600 cgaggcccga cgctcctagt ccgagaacca cctacgtgtt tctcgcgaag acggggccag 660 cttagcggcc aaatttgccc cccgggccta gggtctagcg atggggatga tgaactggtg 720 780 tegacgatgt ctatataacg acggegatet cetgtetetg agateceate ettteatete caacccactt catecettee tetetetee cocctecett etetgacata cegagteete 840 896 agaageeteg teegtegtea cetattetea etteecegeg aacteeggee atg tat Met Tyr ace aag tte gee gee ete gee gee ete gtg gee ace gte ege gge eag 944 Thr Lys Phe Ala Ala Leu Ala Ala Leu Val Ala Thr Val Arg Gly Gln 992 gcc gcc tgc tcg ctc acc gcc gag acc cac ccg tcg ctg cag tgg cag Ala Ala Cys Ser Leu Thr Ala Glu Thr His Pro Ser Leu Gln Trp Gln aag tgc acc gcg ccc ggc agc tgc acc acc gtc agc ggc cag gtc acc 1040

10

Lys 35	Cys	Thr	Ala	Pro	Gly 40	Ser	Cys	Thr	Thr	Val 45	Ser	Gly	Gln	Val	Thr 50	
								cac His								1088
								acc Thr 75								1136
								gac Asp								1184
								tcg Ser								1232
								ggc Gly								1280
		tcc Ser				g gt	gago	catat	aga	atcad	catc	ttto	egtea	act		1329
tgc	gtac	gtt t	cgca	acggo	ca ag	geggt	ccag	g acc	gctaa	acgg	gaco	ggtto	etc t	tctc	etag	1387
_						_		ttt Phe 145			_			_		1434
	ctc Leu		gtag	<b>yg</b> tga	atg a	actto	ctcc	eg ca	ıtgaç	gaaga	a gct	ctgo	ctaa			1482
ccgt	igtt	gtc (	cag o						Ala					Ser	atg Met	1532
								tac Tyr								1580
								tcc Ser								1628
		aac Asn		_	gtgg	ıgtcg	gag a	ıgacc	ctct	t cc	ccto	tcag	, tga	acga	tgt	1683
ctga	accct	ct c	tag				_	ggc Gly			_	_			-	1733
								ggc Gly 225								1781

			gcc Ala													1829
			ggc Gly													1877
	-	_	gac Asp	_		-			_	-		-		_	-	1925
ttt Phe	gta	ggtt	ctt t	ctct	cgc	eg et	ccct	gac	g aco	ctata	atgt	gtga	aagg	gac		1978
gcad	cagaa	aaa (	gacaa	aggto	ca aa	agcto	gacca	a gaç	gcag		tcg Ser		_	_		2032
			ttc Phe													2080
		_	gtg Val					_			_				-	2128
		_	cgc Arg				_			-	_					2176
		_	atc Ile	_										-		2224
_		-	cag Gln 355			-						_		_	_	2272
			ctc Leu													2320
			tcc Ser													2368
			tac Tyr													2416
			atc Ile													2464
			aac Asn 435													2512
tcc	acc	tac	acc	ggc	acc	ccc	agc	ggc	ggc	aac	ccc	ccc	ggc	ggc	ggg	2560

Ser Thr Tyr Thr Gly Thr Pro Ser Gly Gly Asn Pro Pro Gly Gly Gly 450 455 460	
acc acc acc acc acc acc acc acc acc tcc aag ccc tcc ggc ccc acc Thr Thr Thr Thr Thr Thr Thr Thr Ser Lys Pro Ser Gly Pro Thr 465 470 475	2608
acc acc acc ccc tcg ggt ccg cag cag acg cac tgg ggt cag tgc Thr Thr Thr Asn Pro Ser Gly Pro Gln Gln Thr His Trp Gly Gln Cys 480 485 490 495	2656
ggc ggc cag gga tgg acc ggc ccc acg gtc tgc cag agc ccc tac acc Gly Gly Gln Gly Trp Thr Gly Pro Thr Val Cys Gln Ser Pro Tyr Thr 500 505 510	2704
tgc aag tac tcc aac gac tgg tac tcg cag tgc ctg taagccataa Cys Lys Tyr Ser Asn Asp Trp Tyr Ser Gln Cys Leu 515 520	2750
gccccctgta cgttcggaag acggtggcaa cagacaaacc cctcccccga gcacaccccc	2810
cagggatcta agggggttgt ggttaagaca taagaatgcg ccgtggcttg gcctacgcca	2870
cggtcatgaa agtgcagtga aaatgggggc aagagtcgga aaaagtgagt ttgcttgcaa	2930
gggagagagg atgtcgagag gtgatgactt cgtttgtaca tagttggctc ttcgtgattg	2990
ggaacgggag gagtgtcggg gggagccctc cagactcctt ggcctctccg ctcgttccat	3050
ctttctcagt acatatacat ctgcattttc atccacgtct ctggcgtctc tggatgtgaa	3110
cgaatccgac aactggtggg ctgagatgaa tcgcaaggag agtatcttgc gaggatatca	3170
cagticagaaa gtagcatttg agccactact aaaaggtcaa ccagtatgcg aagcttagca	3230
attatataca gcagctcaac ttcagaacga agtattgcat gtggcagaga atcttgggaa	3290
atgagecatg aagaeetegt egagagagta eeteteaceg eeaaataace agetageggg	3350
ttgggagagg agcaatagga cgagcgcgat ggacagatat acgaactcga g	3401
<210> 6 <211> 523 <212> PRT <213> Acremonium thermophilum	
<400>6 Mot Tun The Luc Pho Ala Ala Lou Ala Ala Lou Val Ala The Val	7 ~~
Met Tyr Thr Lys Phe Ala Ala Leu Ala Ala Leu Val Ala Thr Val 1 5 10 15	ar d
•	
Gly Gln Ala Cys Ser Leu Thr Ala Glu Thr His Pro Ser Leu 20 25 30	Gln
Trp Gln Lys Cys Thr Ala Pro Gly Ser Cys Thr Thr Val Ser Gly 35 40 45	Gln

Val	Thr 50	Ile	Asp	Ala	Asn	Trp 55	Arg	Trp	Leu	His	Gln 60	Thr	Asn	Ser	Ser
Thr 65	Asn	Cys	Tyr	Thr	Gly 70	Asn	Glu	Trp	Asp	Thr 75	Ser	Ile	Cys	Ser	Ser 80
Asp	Thr	Asp	Сув	Ala 85	Thr	Lys	Cys	Cys	Leu 90	Asp	Gly	Ala	Asp	Tyr 95	Thr
Gly	Thr	Tyr	Gly 100	Val	Thr	Ala	Ser	Gly 105	Asn	Ser	Leu	Asn	Leu 110	Lys	Phe
Val	Thr	Gln 115	Gly	Pro	Tyr	Ser	Lys 120	Asn	Ile	Gly	Ser	Arg 125	Met	Tyr	Leu
Met	Glu 130	Ser	Glu	Ser	Lys	Tyr 135	Gln	Gly	Phe	Thr	Leu 140	Leu	Gly	Gln	Glu
Phe 145	Thr	Phe	Asp	Val	Asp 150	Val	Ser	Asn	Leu	Gly 155	Cys	Gly	Leu	Asn	Gly 160
Ala	Leu	Tyr	Phe	Val 165	Ser	Met	Asp	Leu	Asp 170	Gly	Gly	Val	Ser	Lys 175	Tyr
Thr	Thr	Asn	Lys 180	Ala	Gly	Ala	Lys	Tyr 185	Gly	Thr	Gly	Tyr	Cys 190	Asp	Ser
Gln	Суз	Pro 195	Arg	Asp	Leu	Lys	Phe 200	Ile	Asn	Gly	Gln	Ala 205	Asn	Ile	Asp
Gly	Trp 210	Gln	Pro	Ser	Ser	Asn 215	Asp	Ala	Asn	Ala	Gly 220	Leu	Gly	Asn	His
Gly 225	Ser	Cys	Cys	Ser	Glu 230	Met	Asp	Ile	Trp	Glu 235	Ala	Asn	Lys	Val	Ser 240
Ala	Ala	Tyr	Thr	Pro 245	His	Pro	Cys	Thr	Thr 250	Ile	Gly	Gln	Thr	Met 255	Суз
Thr	Gly	Asp	Asp 260	Cys	Gly	Gly	Thr	Tyr 265	Ser	Ser	Asp	Arg	Tyr 270	Ala	Gly
Ile	Суз	Asp 275	Pro	Asp	Gly	Cys	Asp 280	Phe	Asn	Ser	Tyr	Arg 285	Met	Gly	Asp
Thr	Ser	Phe	Tyr	Gly	Pro	Gly	Lys	Thr	Val	Asp	Thr	Gly	Ser	Lys	Phe

	290					295					300				
Thr 305	Val	Val	Thr	Gln	Phe 310	Leu	Thr	Gly	Ser	Asp 315	Gly	Asn	Leu	Ser	Glu 320
Ile	Lys	Arg	Phe	Tyr 325	Val	Gln	Asn	Gly	Lys 330	Val	Ile	Pro	Asn	Ser 335	G1v
Ser	Lys	Ile	Ala 340	Gly	Val	Ser	Gly	Asn 345	Ser	Ile	Thr	Thr	Asp 350	Phe	Суз
Thr	Ala	Gln 355	Lys	Thr	Ala	Phe	Gly 360	Asp	Thr	Asn	Val	Phe 365	Glu	Glu	Arg
Gly	Gly 370	Leu	Ala	Gln	Met	Gly 375	Lys	Ala	Leu	Ala	Glu 380	Pro	Met	Val.	Leu
Val 385	Leu	Ser	Val	Trp	Asp 390	Asp	His	Ala	Val	Asn 395	Met	Leu	Trp	Leu	Asp 400
Ser	Thr	Tyr	Pro	Thr 405	Asp	Ser	Thr	Lys	Pro 410	Gly	Ala	Ala	Arg	Gly 415	Asp
Cys	Pro	Ile	Thr 420	Ser	Gly	Val	Pro	Ala 425	Asp	Val	Glu	Ser	Gln 430	Ala	Pro
Asn	Ser	Asn 435	Val	Ile	Tyr	Ser	Asn 440	Ile	Arg	Phe	Gly	Pro 445	Ile	Asn	Ser
Thr	Tyr 450	Thr	Gly	Thr	Pro	Ser 455	Gly	Gly	Asn	Pro	Pro 460	Gly	Gly	Gly	Thr
Thr 465	Thr	Thr	Thr	Thr	Thr 470	Thr	Thr	Ser	Lys	Pro 475	Ser	Gly	Pro	Thr	Thr 480
Thr	Thr	Asn	Pro	Ser 485	Gly	Pro	Gln	Gln	Thr 490	His	Trp	Gly	Gln	Cys 495	Gly
Gly	Gln	Gly	Trp 500	Thr	Gly	Pro	Thr	Val 505	Cys	Gln	Ser	Pro	Tyr 510	Thr	Cys
Lys	Tyr	Ser 515	Asn	Asp	Trp	Tyr	Ser 520	Gln	Суз	Leu					

```
<210> 7
     <211> 3649
     <212> ADN
    <213> Chaetomium thermophilum
 5
     <220>
     <221> CDS
     <222> (1290)..(2879)
     <223>
10
     <220>
     <221> Intrón
     <222> (2880)..(2943)
     <223>
15
     <220>
     <221> CDS
     <222> (2944)..(2949)
     <223>
20
     <400> 7
     tctagagctg tcgacgcggc cgcgtaatac gactcactat agggcgaaga attcggatcg
                                                                              60
     gactagaget egteaeggge tegegeegae gaggegatga ggacgaaggg cegacataat
                                                                             120
     ccgtacttta cgctacatga cgactctcga aaattgtaaa gggccggcat ttcggagcga
                                                                             180
     gtgctgcgag ggcgcattcg cggcgtacct ggaattcctg gaatggtaag caatggccag
                                                                             240
     caatgggcca ggtatggacc agcttgaatc ctggttgcgg cgtcaccagg cccagcatgg
                                                                             300
     tgcccagaat ggcccaccgt ggcccatcgt cctaagaaac aagctgcgtc ccgcgatcca
                                                                             360
     aaaacqtcqt cttcqqcqca cqtcctccqt qqtccccccq qctqqacacc ctqqctqqcc
                                                                             420
     ctccaatgag cggcatttgc ccctgtcgag cgtgtcggca accttaatcg actccatctc
                                                                             480
     teggetecae geogtecate etgteetega ectegteate tgtgetecee ttgeeeteee
                                                                             540
     ttgcccttcc ttgcctccgc cacgacgtgc cacaatgtga ccctgctgcc cggagcgcc
                                                                             600
     agegecatge accepting citiqueecq integecagt ciccategag egaticgaee.
                                                                             660
                                                                             720
     gtgtgcctct ctccaccage gttccccgcg ctctccatag tccatgctac ttcgagccgt
                                                                             780
     tgcctcacaa gctgccagcg gcatggctct gtcggtctcg cctctccttt tcccgtgaag
                                                                             840
     egetgecata caatteteeg tetgeeceag teettgagge geegetatte ceaateggee
                                                                             900
     atggcactgg ccagcccgat ccatqttcga tcgagcttcg acgggccgtg agccgtctgc
     acqgaqqaqc ttqcqaqcct qcqaacctqq cqqacctqqa qaaqcctqqc ccatctccct
                                                                             960
     ggatggagat actgggtgcg ctagcaccac ggcgtgccac ggccaagctc cggccgaccc
                                                                            1020
     ggaggcggga agagggttgc gttgctgtct tcggcggctg tcagggcaaa gggtaatcgt
                                                                            1080
     caatgtggga aaaggggctc atctccatga gattcatgac tcggacatcg tctatataaq
                                                                            1140
     tegagtecce catectecaa cageegatte tgetecteat eccateacea ecctegteca
                                                                            1200
```

caaccac	gca gtt	gtgtaca	tcaaaaca	ag tto	cgct	cctt	tta	catc	ttc	acca	caacaa	1260
cagcaca	tcc tct	cctttcg	gctttcaa	_	atg Met		_			-	_	1313
			t ggc gc a Gly Al 15									1361
_			t agc ct			_		-				1409
			g aac gg l Asn Gl									1457
			c tcc gg l Ser Gl									1505
			c tgc ac i Cys Th 80									1553
	_		gac tag a Asp Ty: 95		_							1601
	_	-	c ctc aag n Leu Lys )		_		_		_			1649
		_	gtc taig Val Ty:	_	_			_		_		1697
		Leu Lei	ggc aad Gly Asi					_	_	_	-	1745
			ctc aad Leu Asi 160	Gly								1793
			g agc aaa Ser Lys 175									1841
			tgc gat Cys Asp )									1889
			aac gtt Asn Val	Gly								1937
			ggc cgc									1985

			220					225					230			
					aac Asn											2033
-			_		cag Gln	-	-	_		-	_		-			2081
		_		-	cgc Arg 270		-		_	_	-		-		_	2129
_			_		cgc Arg									_		2177
_		_	-		aac Asn	_	_	_		**	-		_			2225
_		-	-		gtc Val		_			_	_			-	_	2273
					gcc Ala											2321
					cag Gln 350			_	-	_	_	_	_	_		2369
_			_	_	ttc Phe		_	_			_	_	_	_	_	2417
_	-		-		ccc Pro	_	-	-	_	_		_		-	_	2465
					ctc Leu											2513
					gcc Ala											2561
					gag Glu 430											2609
					ggc Gly											2657
	-				aac Asn					_						2705

acc tcc acc tcc cgt ccg acc agc agc act agc tct ccc gtt tcg acc Thr Ser Thr Ser Arg Pro Thr Ser Ser Thr Ser Ser Pro Val Ser Thr 475 480 485	2753
ccg act ggc cag ccc ggc ggc tgc acc acc cag aag tgg ggc cag tgc Pro Thr Gly Gln Pro Gly Gly Cys Thr Thr Gln Lys Trp Gly Gln Cys 490 495 500	2801
ggc ggt atc ggc tac acc ggc tgc act aac tgc gtt gct ggc acc acc Gly Gly Ile Gly Tyr Thr Gly Cys Thr Asn Cys Val Ala Gly Thr Thr 505 510 515 520	2849
tgc act cag ctc aac ccc tgg tac agc cag gtatgtttct cttccccctt Cys Thr Gln Leu Asn Pro Trp Tyr Ser Gln 525 530	2899
ctagactcgc ttggatttga cagttgctaa catctgctca acag tgc ctg Cys Leu	2949
taaacaactc gcttcgtccg cacgacggag gagggccatg agaaagaatg ggcaacatag	3009
attetttgeg eggttgtgga etaettgggt attttetgga tgtacatagt tttateaegt	3069
catgaggctg tcatgtgggg atgtgtatct ttttcgcttc ttcgtacata aatttacgca	3129
ttgagetttt cacceccaa aaacagttee etgatttget ggagtaaett gatggtaaag	3189
cttggtcata agctcttcaa tggaaaaaac gatacagtca tgccttgaca catcctccca	3249
aagtettegt eeatgacate aeggtegate ettaageaca agtteaataa eeceatgtgg	3309
cgttgccttg tcctgaaaca cagatgagat cttcagccca gccgcatcgg ccacttcctt	3369
gaactgagec aacgagegtt cettecegee gattgagage ategeatagt cettgaagge	3429
tgcatagaga ggaatagggg gcttgtttcc ggtagttggg ctgccggaac tcggatctgt	3489
tggcgcaagg gggtcagggt tgatctgctc ggcgatgagg acgcgtccat cggggtttgt	3549
tagtgcacga gcgacattgc gcaggatggt gactgccaca gggtcggagt aatcgcggag	3609
gatgtggcgg aggtagtaga ccagtgcacc tggaatcgat	3649
<210> 8 <211> 532	

<212> PRT

<213> Chaetomium thermophilum

Met Met Tyr Lys Lys Phe Ala Ala Leu Ala Ala Leu Val Ala Gly Ala 

Ser Ala Gln Gln Ala Cys Ser Leu Thr Ala Glu Asn His Pro Ser Leu 

Thr	Trp	Lys 35	Arg	Cys	Thr	Ser	Gly 40	Gly	Ser	Cys	Ser	Thr 45	Val	Asn	Gly
Ala	Val 50	Thr	Ile	Asp	Ala	Asn 55	Trp	Arg	Trp	Thr	His 60	Thr	Val	Ser	Gly
Ser 65	Thr	Asn	Суз	Tyr	Thr 70	Gly	Asn	Gln	Trp	Asp 75	Thr	Ser	Leu	Cys	Thr 80
Asp	Gly	Lys	Ser	Cys 85	Ala	Gln	Thr	Cys	Cys 90	Val	Asp	Gly	Ala	Asp 95	Tyr
Ser	Ser	Thr	Tyr 100	Gly	Ile	Thr	Thr	Ser 105	Gly	Asp	Ser	Leu	Asn 110	Leu	Lys
Phe	Val	Thr 115	Lys	His	Gln	Tyr	Gly 120	Thr	Asn	Val	Gly	Ser 125	Arg	Val	Tyr
Leu	Met 130	Glu	Asn	Asp	Thr	Lys 135	Tyr	Gln	Met	Phe	Glu 140	Leu	Leu	Gly	Asn
Glu 145	Phe	Thr	Phe	Asp	Val 150	Asp	Val	Ser	Asn	Leu 155	Gly	Суз	Gly	Leu	Asn 160
Gly	Ala	Leu	Tyr	Phe 165	Val	Ser	Met	Asp	Ala 170	Asp	Gly	Gly	Met	Ser 175	Lys
Tyr	Ser	Gly	Asn 180	Lys	Ala	Gly	Ala	Lys 185	Tyr	Gly	Thr	Gly	Tyr 190	Cys	Asp
Ala	Gln	Cys 195	Pro	Arg	Asp	Leu	Lys 200	Phe	Ile	Asn	Gly	Glu 205	Ala	Asn	Val
Gly	Asn 210	Trp	Thr	Pro	Ser	Thr 215	Asn	Asp	Ala	Asn	Ala 220	Gly	Phe	Gly <sub>,</sub>	Arg
Tyr 225	Gly	Ser	Cys	Cys	Ser 230	Glu	Met	Asp	Val	Trp 235	Glu	Ala	Asn	Asn	Met 240
Ala	Thr	Ala	Phe	Thr 245	Pro	His	Pro	Cys	Thr 250	Thr	Val	Gly	Gln	Ser 255	Arg
Cys	Glu	Ala	Asp 260	Thr	Cys	Gly	Gly	Thr 265	Tyr	Ser	Ser	Asp	Arg 270	Tyr	Ala
Glv	Val	Cve	Asp	Pro	Asp	Glv	Cvs	Asp	Phe	Asn	Ala	Tur	Ara	Gln	Glv

		275					280					285			
Asp	Lys 290	Thr	Phe	Tyr	Gly	Lys 295	Gly	Met	Thr	Val	Asp 300	Thr	Asn	Lys	Lys
Met 305	Thr	Val	Val	Thr	Gln 310	Phe	His	Lys	Asn	Ser 315	Ala	Gly	Val	Leu	Ser 320
Glu	Ile	Lys	Arg	Phe 325	Tyr	Val	Gln	Asp	Gly 330	Lys	Ile	Île	Ala	Asn 335	Ala
Glu	Ser	Lys	Ile 340	Pro	Gly	Asn	Pro	Gly 345	Asn	Ser	Ile	Thr	Gln 350	Glu	Tyr
Cys	Asp	Ala 355	Gln	Lys	Val	Ala	Phe 360	Ser	Asn	Thr	Asp	Asp 365	Phe	Asn	Arg
Lys	Gly 370	Gly	Met	Ala	Gln	Met 375	Ser	Lys	Ala	Leu	Ala 380	Gly	Pro	Met	Val
Leu 385	Val	Met	Ser	Val	Trp 390	Asp	Asp	His	Tyr	Ala 395	Asn	Met	Leu	Trp	Leu 400
Asp	Ser	Thr	Tyr	Pro 405	Ile	Asp	Gln	Ala	Gly 410	Ala	Pro	Gly	Ala	Glu 415	Arg
Gly	Ala	Суз	Pro 420	Thr	Thr	Ser	Gly	Val 425	Pro	Ala	Glu	Ile	Glu 430	Ala	Gln
Val	Pro	Asn 435	Ser	Asn	Val	Ile	Phe 440	Ser	Asn	Ile	Arg	Phe 445	Gly	Pro	Ile
Gly	Ser 450	Thr	Val	Pro	Gly	Leu 455	Asp	Gly	Ser	Asn	Pro 460	Gly	Asn	Pro	Thr
Thr 465	Thr	Val	Val	Pro	Pro 470	Ala	Ser	Thr	Ser	Thr 475	Ser	Arg	Pro	Thr	Ser 480
Ser	Thr	Ser	Ser	Pro 485	Val	Ser	Thr	Pro	Thr 490	Gly	Gln	Pro	Gly	Gly 495	Cys
Thr	Thr	Gln	Lys 500	Trp	Gly	Gln	-	Gly 505	Gly	Ile	Gly	Tyr	Thr 510	Gly	Cys
Thr	Asn	Cys 515	Val	Ala	Gly	Thr	Thr 520	Cys	Thr	Gln	Leu	Asn 525	Pro	Trp	Tyr

```
Ser Gln Cys Leu
            530
      <210>9
      <211> 1339
      <212> ADN
 5
      <213> Thermoascus aurantiacus
      <220>
      <221> CDS
10
      <222> (17)..(122)
      <223>
      <220>
      <221> Intrón
15
      <222> (123)..(177)
      <220>
      <221> CDS
20
      <222> (178)..(236)
      <223>
      <220>
      <221> Intrón
25
      <222> (237)..(296)
      <223>
      <220>
      <221> CDS
      <222> (297)..(449)
30
      <223>
      <220>
      <221> Intrón
35
      <222> (450)..(508)
      <223>
      <220>
      <221> CDS
40
      <222> (509)... (73)
      <223>
      <220>
      <221> Intrón
45
      <222> (574)..(647)
      <223>
      <220>
      <221> CDS
50
      <222> (648)..(745)
      <223>
      <220>
      <221> Intrón
55
      <222> (746)..(806)
      <223>
      <220>
      <221> CDS
60
      <222> (807)..(1330)
      <223>
```

<400> 9

ccgcggactg cgcatc atg aag ctc ggc tct ctc gtg ctc gct ctc agc gca Met Lys Leu Gly Ser Leu Val Leu Ala Leu Ser Ala 1 5 10	52
gct agg ctt aca ctg tcg gcc cct ctc gca gac agg aag cag gag acc Ala Arg Leu Thr Leu Ser Ala Pro Leu Ala Asp Arg Lys Gln Glu Thr 15 20 25	100
aag cgt gcg aaa gta ttc caa t gttcgtaaca tccacgtctg gcttgctggc Lys Arg Ala Lys Val Phe Gln 30 35	152
ttactggcaa ctgacaatgg cgaag gg ttc ggt tca aac gag tcc ggt gct Trp Phe Gly Ser Asn Glu Ser Gly Ala 40	203
gaa ttc gga agc cag aac ctt cca gga gtc gag gtcagcatgc ctgtactctc Glu Phe Gly Ser Gln Asn Leu Pro Gly Val Glu 45 50 55	256
tgcattatat taatatctca agaggcttac tctttcgcag gga aag gat tat ata Gly Lys Asp Tyr Ile 60	311
tgg cct gat ccc aac acc att gac aca ttg atc agc aag ggg atg aac Trp Pro Asp Pro Asn Thr Ile Asp Thr Leu Ile Ser Lys Gly Met Asn 65 70 75	359
atc ttt cgt gtc ccc ttt atg atg gag aga ttg gtt ccc aac tca atg  Ile Phe Arg Val Pro Phe Met Met Glu Arg Leu Val Pro Asn Ser Met  80 85 90	407
acc ggc tct ccg gat ccg aac tac ctg gca gat ctc ata gcg Thr Gly Ser Pro Asp Pro Asn Tyr Leu Ala Asp Leu Ile Ala 95 100 105	449
gtacatttca attccaccat gtttggagct gtcttcgttg tgctgacatt taatggtag	508
act gta aat gca atc acc cag aaa ggt gcc tac gcc gtc gtc gat cct Thr Val Asn Ala Ile Thr Gln Lys Gly Ala Tyr Ala Val Val Asp Pro 110 115 120	556
cat aac tac ggc aga ta gtgaggtccc cggttctggt attgctgctg His Asn Tyr Gly Arg Tyr	603

tatatctaag tagatatgtg tttctaacat ttccacgatt tcag c tac aat tct Tyr Asn Ser 130	657
ata atc tcg agc cct tcc gat ttc cag acc ttc tgg aaa acg gtc gcc Ile Ile Ser Ser Pro Ser Asp Phe Gln Thr Phe Trp Lys Thr Val Ala 135 140 145	705
tca cag ttt gct tcg aat cca ctg gtc atc ttc gac act a gtaagctgaa Ser Gln Phe Ala Ser Asn Pro Leu Val Ile Phe Asp Thr 150 155 160	755
cacccgaaat taactgagtc tgagcatgtc tgacaagacg atccatgaaa g at aac Asn Asn	811
gaa tac cac gat atg gac cag acc tta gtc ctc aat ctc aac cag gcc Glu Tyr His Asp Met Asp Gln Thr Leu Val Leu Asn Leu Asn Gln Ala 165 170 175	859
gct atc gac ggc atc cgt tcc gcc gga gcc act tcc cag tac atc ttt Ala Ile Asp Gly Ile Arg Ser Ala Gly Ala Thr Ser Gln Tyr Ile Phe 180 185 190	.907
gtc gag ggc aat tcg tgg acc ggg gca tgg acc tgg acg aac gtg aac Val Glu Gly Asn Ser Trp Thr Gly Ala Trp Thr Trp Thr Asn Val Asn 195 200 205 210	955
gat aac atg aaa agc ctg acc gac cca tct gac aag atc ata tac gag Asp Asn Met Lys Ser Leu Thr Asp Pro Ser Asp Lys Ile Ile Tyr Glu 215 220 225	1003
atg cac cag tac ctg gac tct gac gga tcc ggg aca tca gcg acc tgc Met His Gln Tyr Leu Asp Ser Asp Gly Ser Gly Thr Ser Ala Thr Cys 230 235 240	1051
gta tot tog acc atc ggt caa gag cga atc acc agc gca acg caa tgg Val Ser Ser Thr Ile Gly Gln Glu Arg Ile Thr Ser Ala Thr Gln Trp 245 250 255	1099
ctc agg gcc aac ggg aag aag ggc atc atc ggc gag ttt gcg ggc gga Leu Arg Ala Asn Gly Lys Lys Gly Ile Ile Gly Glu Phe Ala Gly Gly 260 265 270	1147
gcc aac gac gtc tgc gag acg gcc atc acg ggc atg ctg gac tac atg Ala Asn Asp Val Cys Glu Thr Ala Ile Thr Gly Met Leu Asp Tyr Met 275 280 285 290	1195
gcc cag aac acg gac gtc tgg act ggc gcc atc tgg tgg gcg gcc ggg Ala Gln Asn Thr Asp Val Trp Thr Gly Ala Ile Trp Trp Ala Ala Gly 295 300 305	1243
ccg tgg tgg gga gac tac ata ttc tcc atg gag ccg gac aat ggc atc Pro Trp Trp Gly Asp Tyr Ile Phe Ser Met Glu Pro Asp Asn Gly Ile 310 315 320	1291
gcg tat cag cag ata ctt cct att ttg act ccg tat ctt tgactgcag Ala Tyr Gln Gln Ile Leu Pro Ile Leu Thr Pro Tyr Leu 325 330 335	1339
<210> 10	

<sup>&</sup>lt;210> 10 <211> 335 <212> PRT

<sup>&</sup>lt;213> Thermoascus aurantiacus

400> Met 1		Leu	Gly	Ser 5	Leu	Val	Leu	Ala	Leu 10	Ser	Ala	Ala	Arg	Leu 15	Thr
Leu	Ser	Ala	Pro 20	Leu	Ala	Asp	Arg	Lys 25	Gln	Glu	Thr	Lys	Arg 30	Ala	Lys
Val	Phe	Gln 35	Trp	Phe	Gly	Ser	Asn 40	Glu	Ser	Gly	Ala	Glu 45	Phe	Gly	Ser
Gln	Asn 50	Leu	Pro	Gly	Val	Glu 55	Gly	Lys	Asp	Tyr	Ile 60	Trp	Pro	Asp	Pro
Asn 65	Thr	Ile	Asp	Thr	Leu 70	Ile	Ser	Lys	Gly	Met 75	Asn	Ile	Phe	Arg	Val 80
Pro	Phe	Met	Met	Glu 85	Arg	Leu	Val	Pro	Asn 90	Ser	Met	Thr	Gly	Ser 95	Pro
Asp	Pro	Asn	Tyr 100	Leu	Ala	Asp	Leu	Ile 105	Ala	Thr	Val	Asn	Ala 110	Ile	Thr
Gln	Lys	Gly 115	Ala	Tyr	Ala	Val	Val 120	Asp	Pro	His	Asn	Tyr 125	Gly ·	Arg	Tyr
Tyr	Asn 130	Ser	Ile	Ile	Ser	Ser 135	Pro	Ser	Asp	Phe	Gln 140	Thr	Phe	Trp	Lys
Thr 145	Val	Ala	Ser	Gln	Phe 150	Ala	Ser	Asn	Pro	Leu 155	Val	Ile	Phe	Asp	Thr 160
Asn	Asn	Glu	Tyr	His 165	Asp	Met	Asp	Gln	Thr 170	Leu	Val	Leu	Asn	Leu 175	Asn
Gln	Ala	Ala	Ile 180	Asp	Ġly	Ile	Arg	Ser 185	Ala	Gly	Ala	Thr	Ser 190	Gln	Tyr
Ile	Phe	Val 195	Glu	Gly	Asn	Ser	Trp 200	Thr	Gly	Ala	Trp	Thr 205	Trp	Thr	Asn

Val Asn Asp Asn Met Lys Ser Leu Thr Asp Pro Ser Asp Lys Ile Ile

```
210
                                 215
     Tyr Glu Met His Gln Tyr Leu Asp Ser Asp Gly Ser Gly Thr Ser Ala
     225
                                                  235
                            230
                                                                         240
     Thr Cys Val Ser Ser Thr Ile Gly Gln Glu Arg Ile Thr Ser Ala Thr
                       245
                                              250
                                                                     255
     Gln Trp Leu Arg Ala Asn Gly Lys Lys Gly Ile Ile Gly Glu Phe Ala
                   260
                                         265
     Gly Gly Ala Asn Asp Val Cys Glu Thr Ala Ile Thr Gly Met Leu Asp
                                     280
              275
     Tyr Met Ala Gln Asn Thr Asp Val Trp Thr Gly Ala Ile Trp Trp Ala
          290
                                295
     Ala Gly Pro Trp Trp Gly Asp Tyr Ile Phe Ser Met Glu Pro Asp Asn
                           310
                                                  315
     Gly Ile Ala Tyr Gln Gln Ile Leu Pro Ile Leu Thr Pro Tyr Leu
                       325
                                              330
     <210> 11
     <211> 2334
     <212> ADN
     <213> Acremonium thermophilum
     <221> característica miscelánea
     <222> (13)..(13)
10
     <223> N = no identificada
     <220>
     <221> CDS
15
     <222> (715)..(797)
     <223>
     <220>
     <221> Intrón
20
     <222> (798)..(856)
     <223>
     <220>
     <221> CDS
25
     <222> (857)..(1105)
     <223>
     <220>
     <221> Intrón
30
     <222> (1106)..(1228)
     <223>
     <220>
     <221> CDS
```

<222> (1229)..(1787) <223>

	100- 11															
	100> 11 ctgtctc	ett	gtnt	caga	ac a	gato	tcct	g gc	ggcc	tgct	ttg	ccgg	tcc	gaat	tgcga	t 60
c	gatgcaa	acg	tcga	ttgc	at a	cgag	ctaaq	g cc	cgtc	tcgt	gat	aacc	gca	aggg	gtctt	c 120
c	gagtttc	etg	tctg	cgac	cc a	iggca	ttttc	c cg	attt	gtgt	gcg	ggga	ccc	aact	gtctt	c 180
t	ggggagt	ac	ctgg	tgac	aa a	agca	cagat	: aa	acag	atgg	atg	acgg	tat	tgct	gtgata	a 240
t	cgccgtg	gc	gctg	aatc	ct t	tctc	ttcgc	ta	ccaa	gata	ttt	attc	ccc	gttg	tgaaai	t 300
c	ttctatt	.ca	gccc	atcc	ca t	.ccgg	caaca	a cg	catc	tgct	ttt	cgtt	ccg	gcat	tccgat	t 360
а	cctggtt	cc	tgga	gtgc	ct a	ccga	gccto	gc	ttcc	tggg	atc	gggc	gtt	gcac	cccgc	c 420
а	aacccta	itg	cccc	aaac	gg t	acgg	acaaç	g ga	tgcc	ggac	ccc	ggtt	ttg	tcca	gaaag	g 480
t	tgcattc	ct	accc	acct	cg c	tgga	gccac	aa	catg	caga	tca	ccgc	ccg	aggg	aggaca	a 540
t	gtgtggt	.gc	aggg	acgti	tg g	caac	tctgo	tg:	tgtc	tgaa	gta	tatg	agg	ccga <sup>.</sup>	tggtt	e 600
t	ccttgca	ıca	aagc	agaga	aa t	ggag	tagco	ag	ctcc	tcct	cac	caga	gtc	gcct	ttgca	g 660
C	gtctcgg	ıca ·	ttgca	aggct	tc c	ccat	cgtca	ı gc	attt	cact	tct	cagc	aac	gaac	atg Met 1	717
	gc tcc rg Ser															765
	gc gcc er Ala										gta	tgcc	aat	cctc	gtacct	817
С	tgccctc	tg '	tagaa	aacaa	ag t	gacc	gacto	r ca	aagad	cag a					c tgc s Cys	872
	ag ccg ys Pro 35															920
P	tc tcg he Ser 0															968
	cg ggc er Gly															1016

70		75	80
tgg gcg gtc aac gac a Trp Ala Val Asn Asp A 85			
gcc ggc ggc tcc gag t Ala Gly Gly Ser Glu S 100			1105
gtgagttctc tgcaagccgc	ttcccacccc cgc	tttctgt gcaggccgct t	ccccctac 1165
ccacccactt ccccccccc	gcctctgtga tcg	ggcatcc gagctaagtt g	cgtgtcgtc 1225
cag a ctc acc ttc aac Leu Thr Phe Asn 115		c gcg ggc aag acc at 1 Ala Gly Lys Thr Me 120	
cag tcg acc agc acc go Gln Ser Thr Ser Thr G 130			
gcc atc ccc ggc ggc gc Ala Ile Pro Gly Gly G 145			
ttc ggc ggc ctc ccc gg Phe Gly Gly Leu Pro G 160			
cag tgc tcg tcc ttc cc Gln Cys Ser Ser Phe P: 175			
ttc gac tgg ttc cag as Phe Asp Trp Phe Gln As 195		Pro Thr Phe Thr Phe	
gtg cag tgc ccg tcc ga Val Gln Cys Pro Ser G 210			
gac gac gcc agc tat co Asp Asp Ala Ser Tyr Pr 225			
agc acc acc agc acc ac Ser Thr Thr Ser Thr Th 240			
cct cct gga ggc ggt gg Pro Pro Gly Gly Gly G2 255	y Cys Thr Ala		
ggc act ggc ttc acg gg Gly Thr Gly Phe Thr Gl 275	y Cys Thr Thr	Cys Val Ser Gly Thr	
cag gtg cag aac cag tg Gln Val Gln Asn Gln Ti 290			gttgttggg 1807

gtccgtttcc	ctagggctga	ggctgacgtg	aactgggtcc	tcttgtccgc	cccatcacgg	1867
gttcgtattc	gcgcgcttag	ggagaggagg	atgcagtttg	agggggccac	attttgaggg	1927
ggacgcagtc	tggggtcgaa	gcttgtcggt	tagggctgcc	gtgacgtggt	agagcagatg	1987
ggaccaagtg	cggagctagg	caggtgggtg	gttgtggtgg	tggcttacct	tctgtaacgc	2047
aatggcatct	catctcactc	gcctgctccc	tgattggtgg	ctctgttcgg	cctggcgctt	2107
tttgggaccg	ctggctggaa	tggattgctc	cggaacgcca	ggttgagctg	ggctggcgcg	2167
agtagattgg	ccgctccgag	ctgcaaccat	aataaaattt	tcggaccctg	taagccgcac	2227
ccgaccaggt	ctccattggc	ggacatgcac	gacgtccttc	gcaggcacgg	cctgcccgcc	2287
tctgatcacc	cgcagttttc	gtaccgtcag	accagataca	agccccg		2334

<210> 12

<211> 297

<212> PRT

<213> Acremonium thermophilum

<220>

10

<221> característica miscelánea

<222> (13)..(13)

<223> N = no identificada

<400> 12

Met Arg Ser Ser Pro Phe Leu Arg Ala Ala Leu Ala Ala Ala Leu Pro 1 5 10 15

Leu Ser Ala His Ala Leu Asp Gly Lys Ser Thr Arg Tyr Trp Asp Cys 20 25 30

Cys Lys Pro Ser Cys Gly Trp Pro Gly Lys Ala Ser Val Asn Gln Pro 35 40 45

Val Phe Ser Cys Ser Ala Asp Trp Gln Arg Ile Ser Asp Phe Asn Ala 50 55 60

Lys Ser Gly Cys Asp Gly Gly Ser Ala Tyr Ser Cys Ala Asp Gln Thr 65 70 75 80

Pro Trp Ala Val Asn Asp Asn Phe Ser Tyr Gly Phe Ala Ala Thr Ala 85 90 95

Ile Ala Gly Gly Ser Glu Ser Ser Trp Cys Cys Ala Cys Tyr Ala Leu 100 105 110

Thr Phe Asn Ser Gly Pro Val Ala Gly Lys Thr Met Val Val Gln Ser

115 120 125 Thr Ser Thr Gly Gly Asp Leu Gly Ser Asn Gln Phe Asp Leu Ala Ile 135 Pro Gly Gly Val Gly Ile Phe Asn Gly Cys Ala Ser Gln Phe Gly 145 150 155 160 Gly Leu Pro Gly Ala Gln Tyr Gly Gly Ile Ser Asp Arg Ser Gln Cys 165 170 Ser Ser Phe Pro Ala Pro Leu Gln Pro Gly Cys Gln Trp Arg Phe Asp Trp Phe Gln Asn Ala Asp Asn Pro Thr Phe Thr Phe Gln Arg Val Gln 200 Cys Pro Ser Glu Leu Thr Ser Arg Thr Gly Cys Lys Arg Asp Asp Asp 210 215 220 Ala Ser Tyr Pro Val Phe Asn Pro Pro Ser Gly Gly Ser Pro Ser Thr 225 230 235 Thr Ser Thr Thr Thr Ser Ser Pro Ser Gly Pro Thr Gly Asn Pro Pro 250 245 255 Gly Gly Gly Cys Thr Ala Gln Lys Trp Ala Gln Cys Gly Gly Thr 260 265 270 . Gly Phe Thr Gly Cys Thr Thr Cys Val Ser Gly Thr Thr Cys Gln Val 280 275 285 Gln Asn Gln Trp Tyr Ser Gln Cys Leu 290 <210> 13 <211> 2033 <212> ADN <213> Acremonium thermophilum <220> <221> CDS <222> (259)..(702) <223> <220> <221> Intrón

10

15

<222> (703)..(857)

	<223>														
5	<220> <221> CDS <222> (858)(888) <223>														
10	<220> <221> Intrón <222> (889)(990) <223>														
15	<223>														
	<400> 13 ctcgaggaga ggaaccgagt ttgaaagatg ctatatatcg atagactacc ggcgt	.cgcct	60												
	cgccctgtcc gctctcttgc attccccctg ttgatgagac gagacaaaat tcctg	gttag	120												
	aaaagatccg tcgccgagat ttcaccagtg gtaagtcccg agaattggtc attcg	acgtt	180												
	caatatgagt gtcaaagcta tgggtcctaa caaagaagga agcaagagct ttaaa	gagac	240												
	agaataacag cagcaaag atg cgt ctc cca cta ccg act ctg ctc gcc Met Arg Leu Pro Leu Pro Thr Leu Leu Ala 1 5 10		291												
	ttg ccc tac tac ctc gaa gtg tcc gct cag ggg gca tcc gga acc Leu Pro Tyr Tyr Leu Glu Val Ser Ala Gln Gly Ala Ser Gly Thr 15 20 25		339												
	acg aca aca cgt tac tgg gat tgc tgc aag ccg agc tgc gcg tgg Thr Thr Thr Arg Tyr Trp Asp Cys Cys Lys Pro Ser Cys Ala Trp 30 35 40		387												
	ctg aag ggc aat tcg ccc agc ccg gtg cag act tgc gac aag aat Leu Lys Gly Asn Ser Pro Ser Pro Val Gln Thr Cys Asp Lys Asn 45 50 55	-	435												
	agg ccg ctg aac gat ggg gga aac acc aag tcc ggc tgc gac aac Arg Pro Leu Asn Asp Gly Gly Asn Thr Lys Ser Gly Cys Asp Asn 60 65 70		483												
	ggc ggg gcc ttc atg tgc tca tcc cag agt ccc tgg gcc gtc aat Gly Gly Ala Phe Met Cys Ser Ser Gln Ser Pro Trp Ala Val Asn 80 85 90		531												
	acc acc agc tac ggc tgg gca gcc gtt cgt atc gcc ggc agt acc Thr Thr Ser Tyr Gly Trp Ala Ala Val Arg Ile Ala Gly Ser Thr 95 100 105		579												
	tcg gcc tgg tgc tgt gcc tgc tac gag ctc acc ttc acc agt ggg G Ser Ala Trp Cys Cys Ala Cys Tyr Glu Leu Thr Phe Thr Ser Gly 1 110 115 120		627												

gtc agt gga aag aag ctc ata gtc cag gcc acg aac act ggt gga gac Val Ser Gly Lys Lys Leu Ile Val Gln Ala Thr Asn Thr Gly Gly Asp 125 130 135	675
ctt ggg agc aac cac ttt gac ctt gcg gtatgtgggg tttttctttc Leu Gly Ser Asn His Phe Asp Leu Ala 140 145	722
ttcatcatcg ctctcaccat ggattcctcg gcgcaaggac caagattgag aagcgtcaat	782
gccgggttgg acacgggagc cgggatagga acacagaggc cgtttaagac cgtcagctga	842
cagcagagca attag att ccc gga ggt ggt gtt ggt cag tcc aat g  Ile Pro Gly Gly Val Gly Gln Ser Asn  150  155	888
gtaggttcct tccctgaagt accggcaaca gcctgtgcgt tgctgtatac cccttttaat	948
catagcatct tcctgctgga tacaagccaa cccattttct ag ct tgc acg aac Ala Cys Thr Asn 160	1001
cag tat ggt gcg ccc ccg aac ggc tgg ggc gac agg tat ggt ggc gtg Gln Tyr Gly Ala Pro Pro Asn Gly Trp Gly Asp Arg Tyr Gly Gly Val 165 170 175	1049
cac tcg cgg agc gac tgc gac agc ttc ccc gcg gcg ctc aag gcc ggc His Ser Arg Ser Asp Cys Asp Ser Phe Pro Ala Ala Leu Lys Ala Gly 180 185 190	1097
tgc tac tgg cga ttc gac tgg ttc cag ggc gcc gac aac ccg tcc gtg Cys Tyr Trp Arg Phe Asp Trp Phe Gln Gly Ala Asp Asn Pro Ser Val 195 200 205 210	1145
age tte aaa cag gta gee tge eeg gea gee ate aca get aag age gge Ser Phe Lys Gln Val Ala Cys Pro Ala Ala Ile Thr Ala Lys Ser Gly 215 220 225	1193
tgt act cgc cag aac gat gcc atc aac gag act ccg act ggg ccc agc Cys Thr Arg Gln Asn Asp Ala Ile Asn Glu Thr Pro Thr Gly Pro Ser 230 235 240	1241
act gtg cct acc tac acc gcg tca ggc tgaaagtcgg ctggggcacc Thr Val Pro Thr Tyr Thr Ala Ser Gly 245 250	1288
attgcccagg tgatggttgg gcatgtgtta gtctcactca ccagggacat ttgtcgcgac	1348
ctgatcatag gcgccagggg agttgaaagg ggttgccgta cgagaagaca ttttgtcgcc	1408
gtcttactcc cagccacttc tgtacatatt caatgacatt acatagcccg caaatatgtt	1468
catatatcgt ggccgcccaa accgccccgg tttgcttagg ctggagctga agtggctcgc	1528
cgatggctgt caaaggcagt cggaatattc ctcgttgctt cggcaacacg gtagctgctt	1588
gaaccgtacc cagcattaga acaccccccg ccgagggctt gctacgtcaa tggcggggtc	1648
tccaacccct gcgcggcaca aaaccaacca cgccctcgtc ttttatgatg tcctcgctca	1708

aac	gtccc	gt	gacga	acact	c c	gctca	atggt	cto	ggtco	ctct	gato	gtaga	ag	gggta	aggtca	176	8
gcc	gatgo	gtc (	gtcad	ccgt	cg to	caato	gette	cct	caaç	gctt	ctt	gegge	ect t	tato	ctcca	- 182	8 !
acto	ette	cca d	catga	agaad	et co	catct	ttcc	gcc	etttt	cac	aaag	gccad	etg d	cct	cttgt	188	8
caaç	gggco	caa a	aaaco	caacq	gc cá	gctga	atgaa	a tgo	cttco	gat	cgt	gtttç	gac ç	geged	cgggg	194	8
tato	gcatt	tg q	gttc	ggcgd	ca ct	tttt	tcgt	cct	ccaç	gctc	cctt	aact	cc o	gtto	catct	200	8
gaga	agggt	ga d	ctcgt	ctac	ct cg	gact					•					203	13
	> 251 > PRT		ım the	rmoph	nilum												
<400 Met 1		Leu	Pro	Leu 5	Pro	Thr	Leu	Leu	Ala 10	Leu	Leu	Pro	Tyr	Tyr 15	Leu		
Glu	Val	Ser	Ala 20	Gln	Gly	Ala	Ser	Gly 25	Thr	Gly	Thr	Thr	Thr 30	Arg	Tyr	·	
Trp	Asp	Cys 35	Cys	Lys	Pro	Ser	Cys 40	Ala	Trp	Pro	Leu	Lys 45	Gly	Asn	Ser		
Pro	Ser 50	Pro	Val	Gln	Thr	Cys 55	Asp	Lys	Asn	Asp	Arg 60	Pro	Leu	Asn	Asp		
Gly 65	Gly	Asn	Thr	Lys	Ser 70	Gly	Cys	Asp	Asn	Gly 75	Gly	Gly	Ala	Phe	Met 80		
Суз	Ser	Ser	Gln	Ser 85	Pro	Trp	Ala	Val	Asn 90	Glu	Thr	Thr	Ser	Tyr 95	Gly		
Trp	Ala	Ala	Val 100	Arg	Ile	Ala	Gly	Ser 105	Thr	Glu	Ser	Ala	Trp 110	Cys	Суз		
Ala	Cys	Tyr 115	Glu	Leu	Thr	Phe	Thr 120	Ser	Gly	Pro	Val	Ser 125	Gly	Lys	Lys		
Leu	Ile 130	Val	Gln	Ala	Thr	Asn 135	Thr	Gly	Gly	Asp	Leu 140	Gly	Ser	Asn	His		
Phe 145	Asp	Leu	Ala	Ile	Pro 150	Gly	Gly	Gly	Val	Gly 155	Gln	Ser	Asn	Ala	Cys 160		

10

5

Thr Asn Gln Tyr Gly Ala Pro Pro Asn Gly Trp Gly Asp Arg Tyr Gly

				165					170	)				175	
Gly	Val	His	Ser 180	Arg	Ser	Asp	Cys	Asp 185	Ser	Phe	Pro	Ala	Ala 190	Leu	Lys
Ala	Gly	Cys 195	Tyr	Trp	Arg	Phe	Asp 200	Trp	Phe	e Gln	Gly	Ala 205	Asp	Asn	Pro
Ser	Val 210	Ser	Phe	Lys	Gln	Val 215	Ala	Cys	Pro	Ala	Ala 220	Ile	Thr	Ala	Lys
Ser 225	Gly	Cys	Thr	Arg	Gln 230	Asn	Asp	Ala	Ile	Asn 235	Glu	Thr	Pro	Thr	Gly 240
Pro	Ser	Thr	Val	Pro 245	Thr	Tyr	Thr	Ala	Ser 250	Gly					
<220>	2800 ADN Chaete caract (2786) N = no CDS (768)	erística )(2786 ) identi	ficada		n										
		ga cc	gatco	ccga	ggatt	.ct.cg	g att	atgtt	tg	catcto	accc	tccg	gaaac	cg	60
catg	aaaaa	at tg	aaato	ggc	aactg	teget	gtg	tttaa	atg (	etttgo	cacat	cato	ggat	ca	120
tgtt	cacco	g ct	ctaat	ctc	tcato	ctcca	a gat	cctat	ct a	atccto	ccgca	tcta	igccg	gc	180
ttct	tgctt	g tg	atcca	aag	ccctg	atcco	c acg	cggct	tc 1	tagaco	gcttt	agaa	atta	ca	240
		•								aggaac				•	300
atco	gcgag	gc tt	gacga	acga	ccctt	cttgg	g ccg	gctto	gge a	atgcga	etct	gtto	ggga	et	360
										actgac					420
								•		gttgto					480
										acgatt					540
gctg	ctcct	a at	tgago	jctc	cgagg	tcgto	g tgc	cgtgt	.gg a	agaggo	cgcg	actg	ggtct	:g	600

gggtgcggag ga	ttgcggag atq	gaagataa tct	gggtgca a	ccgtggata c	ataaaaggg 660
agtagttctc cc	ctctgtga aad	cettette ecc	caggatto to	cctcgcctc t	aagagtcca 720
aagtcattca ag	acatccta caç	gcggggtc agt	gagatte e	_	act cgc 776 Thr Arg
aag ttc gca c Lys Phe Ala L 5	eu Val Pro I			la Ser Ala	
ccc ggc aac a Pro Gly Asn T 20			-		
agc cac cgc c Ser His Arg G				yr Ile Val	
tcc ctc acc c Ser Leu Thr H 5					
gac tgg ggt a Asp Trp Gly A 70					
tgc gcg cag a Cys Ala Gln A 85	sn Cys Ile M		_	sp Tyr Ser	
ggc gtg acc a Gly Val Thr T 100					_
ggc cgc gtc a Gly Arg Val T		rg Val Tyr		sp Lys Thr	
cag tat gag a Gln Tyr Glu M					
gac acc acc a Asp Thr Thr L 150					
gag atg gac g Glu Met Asp A 165	la Thr Gly A		Arg Leu As		
tac tac ggc ac Tyr Tyr Gly T 180					
atc aat ggc at Ile Asn Gly I		le Glu Gly		er Cys Cys	
atg gac att to	gg gag gcc a	ac tcg cgt	agt cag to	cc att gct o	ccg cac 1448

Met A	Asp	Ile	Trp 215	Glu	Ala	Asn	Ser	Arg 220	Ser	Gln	Ser	Ile	Ala 225	Pro	His.	
ccc t Pro C																1496
ttc g Phe A																1544
gtc a Val A 260																1592
acg a Thr I																1640
ggc a	_	_	_	_			_	_		-		_		-	-	1688
atc g Ile G																1736
ctg a Leu A 3		_	_		_	-	_			_		_	_			1784
gaa c Glu I 340																1832
gtg c Val I																1880
ctt g Leu A																1928
cag a Gln A																1976
ctg c Leu A 4																2024
ggg t Gly T 420						taag	ıtgtt	gg g	gat t	agaç	jc ct	gtga	ittgg	ſ		2072
atacc	tgt	gg g	ıttaa	acgo	ig go	tcgg	ıtttg	g aga	ıgggt	tgt	tgaa	attt	at t	tctc	gtaca	2132
tagtt	ggc	gt c	ttgg	cgaa	it at	atgo	cccc	agg	actt	tga	tcca	gtct	tc g	rtcca	tttct	2192
ctgtg	jact	ta g	ttgg	tgca	a gt	atca	ittgt	tat	gtco	tgg	gtga	gaca	aa g	caat	ctctt	2252

cagtggtcat	gggtaaataa	tctacaggct	gtgaatggcg	ttgcgtcagc	ctcattaact	2312
taaacgattg	gactcccctt	ttcctaatca	tcgccgttgc	cgtgtaactc	tcctagatct	2372
cttgttgtat	atggcttcaa	ctcgaagtga	agaaaaatgg	atacggcgac	ctctttgtgc	2432
caattttctt	gctgttcttc	cggtattgac	cctcggcaag	acaactatgg	ccaatattct	2492
gttatagtcg	gcagttagtg	ttgtgtcgta	caagtcgtgc	gggagcaata	ctcaacagcc	2552
gcccttaata	tggttattta	cgccacgacg	cacttcatta	cacggctttg	gggggtatat	2612
attccgttca	actctatccc	tcattcggtg	tgattgaacg	tctccaacag	tgaaagtata	2672
agtctgacaa	aaatgcccaa	ccgccatgcc	actgatgatc	ctgttgagat	gctcgtggtc	2732
tataacatcc	tgtctaagtg	ttacctccct	aatgttagcc	ccagttctgc	tctncttgtc	2792
tcgacagc				•		2800

<210> 16

<211> 425

5 <212> PRT

<213> Chaetomium thermophilum

<220>

10

<221> característica miscelánea

<222> (2786)..(2786)

<223> N = no identificada

<400> 16

Met Thr Arg Lys Phe Ala Leu Val Pro Leu Leu Gly Leu Ala Ser 1 5 10 15

Ala Gln Lys Pro Gly Asn Thr Pro Glu Val His Pro Lys Ile Thr Thr 20 25 30

Tyr Arg Cys Ser His Arg Gln Gly Cys Arg Pro Glu Thr Asn Tyr Ile 35 40 45

Val Leu Asp Ser Leu Thr His Pro Val His Gln Leu Asn Ser Asn Ala 50 55 60

Asn Cys Gly Asp Trp Gly Asn Pro Pro Pro Arg Ser Val Cys Pro Asp 65 70 75 80

Val Glu Thr Cys Ala Gln Asn Cys Ile Met Glu Gly Ile Gln Asp Tyr 85 90 95

Ser Thr Tyr Gly Val Thr Thr Ser Gly Ser Ser Leu Arg Leu Lys Gln
100 105 110

Ile	His	Gln 115	Gly	Arg	Val	Thr	Ser 120	Pro	Arg	Val	Tyr	Leu 125	Leu	Asp	Lys
Thr	Glu 130	Gln	Gln	Tyr	Glu	Met 135	Met	Arg	Leu	Thr	Gly 140	Phe	Glu	Phe	Thr
Phe 145	Asp	Val	Asp	Thr	Thr 150	Lys	Leu	Pro	Cys	Gly 155	Met	Asn	Ala	Ala	Leu 160
Tyr	Leu	Ser	Glu	Met 165	Asp	Ala	Thr	Gly.	Ala 170	Arg	Ser	Arg	Leu	Asn 175	Pro
Gly	Gly	Ala	Tyr 180	Tyr	Gly	Thr	Gly	Tyr 185	Cys	Asp	Ala	Gln	Cys 190	Phe	Val
Thr	Pro	Phe 195	Ile	Asn	Gly	Ile	Gly 200	Asn	Ile	Glu	Gly	Lys 205	Gly	Ser	Cys
Cys	Asn 210	Glu	Met	Asp	Ile	Trp 215	Glu	Ala	Asn	Ser	Arg 220	Ser	Gln	Ser	Ile
Ala 225		His	Pro	Cys	Asn 230	Lys	Gln	Gly	Leu	Tyr 235	Met	Cys	Ser	Gly	Gln 240
Glu	Cys	Glu	Phe	Asp 245	Gly	Val	Cys	Asp	G1u 250	Trp	Gly	Cys	Thr	Trp 255	Asn
Pro	Tyr	Lys	Val 260	Asn	Val	Thr	Asp	Tyr 265	Tyr	Gly	Arg	Gly	Pro 270	Gln	Phe
Lys	Val	Asp 275	Thr	Thr	Arg	Pro	Phe 280	Thr	Val	Ile	Thr	G1n 285	Phe	Pro	Ala
Asp	Gln 290	Asn	Gly	Lys	Leu	Thr 295	Ser	Ile	His	Arg	Met 300	Tyr	Val	Gln	Asp
Gly 305	Lys	Leu	Ilė	Glu	Ala 310	His	Thr	Val	Asn	Leu 315	Pro	Gly	Tyr	Pro	Gln 320
Val	Asn	Ala	Leu	Asn 325	Asp	Asp	Phe	Cys	Arg 330		Thr	Gly	Ala	Ala 335	Thr
Lys	Tyr	Leu	Glu 340	Leu	Gly	Ala	Thr	Ala 345	Gly	М́еt	Gly	Glu	Ala 350	Leu	Arg
Arg	Gly	Met	Val	Leu	Ala	Met	Ser	Ile	Trp	Trp	Asp	Glu	Ser	Gly	Phe

365

360

355

Met Asn Trp Leu Asp Ser Gly Glu Ser Gly Pro Cys Asn Pro Asn Glu 370 375 380 Gly Asn Pro Gln Asn Ile Arg Gln Ile Glu Pro Glu Pro Glu Val Thr 385 390 395 Tyr Ser Asn Leu Arg Trp Gly Glu Ile Gly Ser Thr Tyr Lys His Asn 405 410 415 Leu Lys Gly Gly Trp Thr Gly Arg Asn 420 425 <210> 17 <211> 1943 <212> ADN <213> Thermoascus aurantiacus <220> <221> CDS 10 <222> (13)..(256) <223> <220> <221> Intrón 15 <222> (257)..(329) <223> <220> <221> CDS 20 <222> (330)..(370) <223> <220> <221> Intrón 25 <222> (371)..(444) <223> <220> <221> CDS 30 <222> (445)..(493) <223> <220> <221> Intrón <222> (494)..(561) 35 <223> <220> <221> CDS 40 <222> (562)..(683) <223> <220> <221> Intrón 45 <222> (684)..(786)

```
<223>
      <220>
      <221> CDS
 5
      <222> (787)..(932)
      <223>
      <220>
      <221> Intrón
10
      <222> (933)...(1001)
      <220>
      <221> CDS
15
      <222> (1002)..(1090)
      <223>
      <220>
      <221> Intrón
20
      <222> (1091)..(1155)
      <223>
      <220>
      <221> CDS
25
      <222> (1156)..(1174)
      <223>
      <220>
      <221> Intrón
30
      <222> (1175)..(1267)
      <223>
      <220>
      <221> CDS
35
      <222> (1268)..(1295)
      <223>
      <220>
      <221> Intrón
40
      <222> (1296)..(1361)
      <223>
      <220>
      <221> CDS
45
      <222> (1362)..(1451)
      <223>
      <220>
      <221> Intrón
50
      <222> (1452)..(1551)
      <223>
      <220>
      <221> CDS
55
      <222> (1552)..(1617)
      <223>
      <220>
      <221> Intrón
60
      <222> (1618)..(1829)
      <223>
      <220>
      <221> CDS
65
      <222> (1830)..(1922)
```

<223>

<400>																	
ccg	cggga	aag o											er L		tg cta eu Leu		51
_	ccc Pro 15		_	-		_					-	_		_	_		99
	agt Ser																147
_	gcc Ala	_	-				_	_			_			-			195
	cag Gln																243
_	gct Ala		-	c gt	gcgt	gaga	a aag	gataa	attt	gatt	tttt	tc t	tcta	atgad	cc		296
gcto	eggad	cg t	tete	gacta	ag gt	ttat	aata	a tag							aac Asn		349
	gcc Ala 90		_	_			gtac	gtac	at a	cgac	ccact	t ga	ecgtt	tctt	:	,	400

gcacgcaact gcgattgagg agaagatact aatcttcttg aaag gtc aat tgg gcc Val Asn Trp Ala	456
cag caa aat gga aag ctg atc cgt ggc cat act ctt g gttagtagaa Gln Gln Asn Gly Lys Leu Ile Arg Gly His Thr Leu 100 105 110	503
cgccaacctg cttccctaac ttactgaaga aggaaaaccg aattgaccgt cccccaag	561
ta tgg cac tcg cag ctg ccc tcg tgg gtg agc tcc atc acc gac aag Val Trp His Ser Gln Leu Pro Ser Trp Val Ser Ser Ile Thr Asp Lys 115 120 125	608
aat acg ctg acc aac gtg atg aaa aat cac atc acc acc ttg atg acc Asn Thr Leu Thr Asn Val Met Lys Asn His Ile Thr Thr Leu Met Thr 130 135 140	656
cgg tac aag ggc aag atc cgt gca tgg gtcagtcatc ctaccctaag Arg Tyr Lys Gly Lys Ile Arg Ala Trp 145 150	703
ctgcgtttca atgaagagac aaataagaac acacgtattt gcccgggcgt ttcagaatca	763
gaactgacag aatcactgaa tag gac gtg gtg aac gag gca ttc aac gag gat Asp Val Val Asn Glu Ala Phe Asn Glu Asp 155 160	816
ggc tcc ctc cgc cag act gtc ttc ctc aac gtc atc ggg gag gat tac Gly Ser Leu Arg Gln Thr Val Phe Leu Asn Val Ile Gly Glu Asp Tyr 165 170 175	864
atc ccg att gct ttc cag acc gcc cgc gcc gct gac ccg aat gcc aag Ile Pro Ile Ala Phe Gln Thr Ala Arg Ala Ala Asp Pro Asn Ala Lys 180 185 190	912
ctg tac atc aac gat tac aa gtaagattta aggctcagtg atattccatt Leu Tyr Ile Asn Asp Tyr Asn 195 200	962
tagtgtgaga agcattgctt atgagcatct gtattacag c ctc gac agt gcc tcg Leu Asp Ser Ala Ser 205	1017
tac ccc aag acg cag gcc att gtc aac cgc gtc aag caa tgg cgt gca Tyr Pro Lys Thr Gln Ala Ile Val Asn Arg Val Lys Gln Trp Arg Ala 210 215 220	1065
gct gga gtc ccg att gac ggc ata g gtatgtctct ctttctgttt Ala Gly Val Pro Ile Asp Gly Ile 225 230	1110
gtgatgtgac cgatttgaaa ccagtctaac gttagctggg tctag ga tcg caa acg Gly Ser Gln Thr	1166
cac ctc ag gtaaataatc gggaatgcct cggagaataa aagagaaaaa His Leu Ser 235	1214
aaatgattgt cttatcagat cgtatcgact gactcatggc ttgtccaaaa tag c gct	1271

Ala	
ggt cag gga gcc ggt gtt cta caa taagtgcccc cctcccctat tttttactat Gly Gln Gly Ala Gly Val Leu Gln 240 245	132
tattgcgaga gcggaatagg ctgacaaccc caaacg gct ctt ccg ctc ctt gct Ala Leu Pro Leu Leu Ala 250	137
agt gcc gga act ccc gag gtc gct atc acg gaa ctg gac gtg gct ggt Ser Ala Gly Thr Pro Glu Val Ala Ile Thr Glu Leu Asp Val Ala Gly 255 260 265	142
gct agc ccg acg gat tac gtc aat gtatgtacct cgttgtccct atccccttg Ala Ser Pro Thr Asp Tyr Val Asn 270 275	148
gatactttgt ataattatta tottooogga gootgttgat cagatotgac gatoatttot	154
cgttttttag gtc gtg aac gct tgc ctc aac gtg cag tcc tgc gtg ggc Val Val Asn Ala Cys Leu Asn Val Gln Ser Cys Val Gly 280 285	159
atc acc gtc tgg ggc gtg gca gat ccg gtaagegegg ttcttccgta Ile Thr Val Trp Gly Val Ala Asp Pro 290 295	163
ctccgtaccc aactagagtt cgggctgtca cgtcatgtct tagtcgtctt cagtcaggcc	169
aaggccaaga cacaggacct gaaacgggca ggcagcagct gctagcagcc caagaagcag	175
ccacatgatg catgattatt attattatat ctccgagttc tgggctaacg attggtgata	181
ataaataaat ag gac tca tgg cgt gct agc acg acg cct ctc ctc ttc gac Asp Ser Trp Arg Ala Ser Thr Thr Pro Leu Leu Phe Asp 300 305 310	1868
ggc aac ttc aac ccg aag ccg gcg tac aac gcc att gtg cag gac ctg Gly Asn Phe Asn Pro Lys Pro Ala Tyr Asn Ala Ile Val Gln Asp Leu 315 320 325	1916
cag cag tgagtataga ccggtggatc c Gln Gln	1943
<210> 18 <211> 329 <212> PRT <213> Thermoascus aurantiacus	
<pre>&lt;400&gt; 18 Met Val Arg Pro Thr Ile Leu Leu Thr Ser Leu Leu Leu Ala Pro 1</pre>	Phe
Ala Ala Ala Ser Pro Ile Leu Glu Glu Arg Gln Ala Ala Gln Ser 20 25 30	Val

Asp	Gln	Leu 35	Ile	Lys	Ala	Arg	Gly 40	Lys	Val	Tyr	Phe	Gly 45	Val	Ala	Thr
Asp	Gln 50	Asn	Arg	Leu	Thr	Thr 55	Gly	Lys	Asn	Ala	Ala 60	Ile	Ile	Gln	Ala
Asp 65	Phe	Gly	Gln	Val	Thr 70	Pro	Glu	Asn	Ser	Met 75	Lys	Trp	Asp	Ala	Thr 80
Glu	Pro	Ser	Gln	Gly 85	Asn	Phe	Asn	Phe	Ala 90	Gly	Ala	Asp	Tyr	Leu 95	Val
Asn	Trp	Ala	Gln 100	Gln	Asn	Gly	Lys	Leu 105	Ile	Arg	Gly	His	Thr 110	Leu	Val
Trp	His	Ser 115	Gln	Leu	Pro	Ser	Trp 120	Val	Ser	Ser	Ile	Thr 125	Asp	Lys	Asn
Thr	Leu 130	Thr	Asn	Val	Met	Lys 135	Asn	His	Ile	Thr	Thr 140	Leu	Met	Thr	Arg
Tyr 145	Lys	Gly	Lys	Ile	Arg 150	Ala	Trp	Asp		Val 155	Asn	Glu	Ala	Phe	Asn 160
Glu	Asp	Gly	Ser	Leu 165	Arg	Gln	Thr	Val	Phe 170	Leu	Asn	Val	Ile	Gly 175	Glu
Asp	Tyr	Ile	Pro 180	Ile	Ala	Phe	Gln	Thr 185	Ala	Arg	Ala	Ala	Asp 190	Pro	Asn
Ala	Lys	Leu 195	Tyr	Ile	Asn	Asp	Tyr 200	Asn	Leu	Asp	Ser	Ala 205	Ser	Tyr	Pro
Lys	Thr 210	Gln	Ala	Ile	Val	Asn 215	Arg	Val	Lys	Gln	Trp 220	Arg	Ala	Ala	Gly
Val 225	Pro	Ile	Asp	Gly	Ile 230	Gly	Ser	Gln	Thr	His 235	Leu	Ser	Ala	Gly	G1n 240
Gly	Ala	Gly	Val	Leu 245	Gln	Ala	Leu	Pro	Leu 250	Leu	Ala	Ser	Ala	Gly 255	Thr
Pro	Glu	Val	Ala 260	Ile	Thr	Glu	Leu	Asp 265	Val	Ala	Gly	Ala	Ser 270	Pro	Thr

Asp	Tyr	Val 275	Asn	Val	Val	Asn	Ala 280	Cys	Leu	Asn	Val	GIn 285	Ser	Cys	Val	
Gly	Ile 290	Thr	Val	Trp	Gly	Val 295	Ala	Asp	Pro	Asp	Ser 300	Trp	Arg	Ala	Ser	
Thr 305	Thr	Pro	Leu	Leu	Phe 310	Asp	Gly	Asn	Phe	Asn 315	Pro	Lys	Pro	Ala	Tyr 320	
Asn	Ala	Ile	Val	Gln 325	Asp	Leu	Gln	Gln								
<210> <211> <212> <213>	2955 ADN .		ı therm	ophilun	n											
<220> <221> <222> <223>	CDS (1335	)(167	1)													
<220> <221> <222> <223>	Intrón (1672		6)													
<220> <221> <222> <223>	CDS (1807	)(203	2)													
<220> <221> <222> <223>	Intrón (2033		7)													
<220> <221> <222> <223>	(2118	)(280	2)													
<400> tcta		tg t	cgaco	gegge	cgc	gtaat	ac ç	actc	actat	agg	ıgcga	aga .	attcg	gatc	a	60
cgtt	tgct	tc a	gcaag	gtcgt	tcg	ctaco	jac a	ccac	gtcca	ı tga	tgga	ggc (	cctga	ttca	a	120
tcat	acca	ag g	acgg	ggcat	gate	ggcto	gat g	gctg	gacto	gaa	igtga	gtg	gcccg	gtggc	t	180
naat	ttta	c+ +,	cccat	tete	tac	ant co	·++	oct c	20002		atoc	ന്നു -	~+++		~	240

cggaaatcgt caggatgctd	c cgccttctct cgcaacctga	gtgcccaggc gtctcggcca	300
ccgtctctta tatatggccg	g ctgggtccgc ctttcgatcg	gttttcgatt tggtctctcc	360
tagttccctc agctgacccg	g ggatateget tgtggeteeg	aaacctcacc atcccagacg	420
agcaagttct ccgcagtcca	cctcagctca tccggccctt	ggtagcatcg cagcgacccc	480
agacgaaggc accaaagaag	g catactatat attaggctaa	atcgagcccc acgtggaata	540
tttgccatcg aggaggggtg	gttgggcttc ttgtcctcgc	aggtgctgcg cctgtaccta	600
cctggtgctc cagctggtgc	tecegetggt getgttecag	tcgccgtctg gccccaatgc	660
tctgtatctc ggttcgtccc	gcactccttt cgccaagcgc	taccaatgct ttgacgaacc	720
cggtaaattt gcagtggaco	tgcagctggg caaacccgca	gtgggaacca cagacctggt	780
togttogaca cactocaato	gcaaccccgc ccgcgcaaac	cttgcaccac atgtcgcccc	840
tttcccagtt gggtccctga	agacacggag ccacttccgt	gategtegge tecceaagee	900
gacagtcgga cgctgcaata	ggatgccagc acccgtggat	ccaagggcca gtgaccccaa	960
ctctttcgcg gtattctggc	cctcccaaag gtatgccagg	acttccctgt ctttgctacc	1020
accagetete etecaeggeg	gaacggatac gccgtctcgc	cggctcttgc tcgacaacat	1080
gcgagggggc gcgaaggcta	ggttgtgacg atgcgacggt	gcgatgtcac catttggcag	1140
tgatgttttc cgttgtcccc	ttctccaccc tgcgccgttt	cctcaaagac gccccaacca	1200
taaatacgat gcgacgccaa	ccttcatgtg ttcgtggcat	cttgcctgac cagtctcagc	1260
aagaaacctg tggcggcgcg	attgtcttga ccttctgatt	gaaaacggat ctgcgtcctc	1320
	gc gcc aag caa ctc ctg rg Ala Lys Gln Leu Leu 5		1370
	cg gcc cag ctc aac agc er Ala Gln Leu Asn Ser 20		1418
	gc acg gcc gtg cgg gag ly Thr Ala Val Arg Glu . 35		1466
Asp Ala Thr Tyr Met S	cg tac gtc aac aac aag er Tyr Val Asn Asn Lys 0 55		1514
	gc cag aag tgg gat tcc ly Gln Lys Trp Asp Ser 70		1562
	gc cag ggc gac atc gtc e er Gln Gly Asp Ile Val 1 85		1610
aag aac ggc cag gtg c	tg cgc tgc cac acc ctg	gtg tgg tac agc cag	1658

Lys As	sn Gly 95	Gln	Val	Leu	Arg	Cys 100	His	Thr	Leu	Val	Trp 105		Ser	Gln	
ctc co Leu Pr	o Ser			tcag	tgac	t ct	ctct	ttct	ctc	tgtc	ttt	ctct	ttgt	ct	1711
ttctct	cttt	ctct	ctct	ct c	tctc	tctc	t ct	ctct	ctct	ctc	tctc	сса	tcca	gcatcg	1771
actgct	gatc	ttgc	tgac	ca ga	aagci	cgt	g tg			Ser :					1823
acc co Thr Ai	g Ala														1871
atg gg Met GJ 135															1919
gcc at Ala Il															1967
ttc aa Phe As															2015
gat go Asp Al					gtag	ggtgi	cg q	geett	tac	gt to	gccg	cago	a		2062
caccto	cgcg	acat	gagco	cc ca	agago	egegt	ggd	ctaat	agt	tcct	cac	gca (	cgca	g g	2118
tac ta				aat	ctc	gag	+	_							
Tyr Ty	r Asn														2166
	r Asn 0 g cag	Asp ctg	Tyr gtg	Asn cag	Leu 195 atc	Glu gtg	Tyr	Asn cag	Gly gcc	Ala 200 ggc	Lys	Thr	Asn atc	Thr	2166
gcc gt Ala Va	r Asn 00 g cag 1 Gln g ggc	Asp ctg Leu ttc	Tyr gtg Val cag	Asn cag Gln 210 ggc	Leu 195 atc Ile cac	Glu gtg Val ctg	Tyr cag Gln atc	Asn cag Gln gtg	gcc Ala 215	Ala 200 ggc Gly tca	Lys gcg Ala acg	Thr ccc Pro	Asn atc Ile tcg	gac Asp 220	
gcc gt Ala Va 205	g cag Gln g ggc Gly	ctg Leu ttc Phe	gtg Val cag Gln 225	cag Gln 210 ggc Gly	Leu 195 atc Ile cac His	Glu gtg Val ctg Leu	Tyr cag Gln atc Ile	Asn cag Gln gtg Val 230 ttc	gcc Ala 215 ggg Gly	Ala 200 ggc Gly tca Ser	gcg Ala acg Thr	Thr  ccc Pro  ccg Pro	atc Ile tcg Ser 235	gac Asp 220 cgc Arg	2214
gcc gt Ala Va 205 ggg gt Gly Va	g cag l Gln g ggc l Gly c ctg r Leu g tac	ctg Leu ttc Phe gcc Ala 240	gtg Val cag Gln 225 acg Thr	Asn cag Gln 210 ggc Gly gcg Ala ctg	Leu 195 atc Ile cac His ctg Leu	Glu gtg Val ctg Leu aag Lys	cag Gln atc Ile cgc Arg 245	Asn cag Gln gtg Val 230 ttc Phe cac	Gly gcc Ala 215 ggg Gly acg Thr	Ala 200 ggc Gly tca Ser gcg Ala	gcg Ala acg Thr ctt Leu	Thr  CCC Pro  CCG Pro  GG1y 250  CCG	Asn atc Ile tcg ser 235 ctg Leu ccg	gac Asp 220 cgc Arg gag Glu	2214
gcc gt Ala Va 205 ggg gt Gly Va agc to Ser Se	g cag g ggc g Gly c ctg r Leu g tac a Tyr 255 g gcg a Ala	ctg Leu ttc Phe gcc Ala 240 acg Thr	gtg Val cag Gln 225 acg Thr gag Glu	Asn cag Gln 210 ggc Gly gcg Ala ctg Leu acg	Leu 195 atc Ile cac His ctg Leu gac Asp	Glu gtg Val ctg Leu aag Lys atc Ile 260 ggc	cag Gln atc Ile cgc Arg 245 cgg Arg	Asn cag Gln gtg Val 230 ttc Phe cac His	Gly  gcc Ala 215  ggg Gly  acg Thr  tcg Ser	Ala 200 ggc Gly tca Ser gcg Ala agc Ser	gcg Ala acg Thr ctt Leu ctg Leu 265	Thr  CCC Pro  CCG Pro  GG1y 250  CCG Pro	Asn atc Ile tcg Ser 235 ctg Leu ccg Pro	gac Asp 220 cgc Arg gag Glu tcg Ser	2214 2262 2310

285	290	295	300
		gac acg ttc ccc Asp Thr Phe Pro 310	
	Asp Ala Asn Ty	e agc aag aag ccg Ser Lys Lys Pro 325	
		g gcg acg aac ccg Ala Thr Asn Pro	
	=	acc acg acc acg Thr Thr Thr Thr 360	
		acg acc acc agc Thr Thr Thr Ser 375	
		ggc ggg atc ggc Gly Gly Ile Gly 390	
	Ser Pro Trp Thr	tgc cag aag cag Cys Gln Lys Gln 405	
tct cag tgc ctg Ser Gln Cys Leu 415		gaccag ctgccattco	c gaccacgggg 2842
cccggactac aaaa	agaggg gacggtgta	a ataaagagee gaac	egggtet aegtacaetg 2902
ttttgacctt ttct	ccgcag acgtatatt	a tcaattatag ttgg	gatttct aga 2955
<210> 20 <211> 416 <212> PRT <213> Acremonium the	ermophilum		
<400>20 Met Arg Ala Ly 1	s Gln Leu Leu i 5	Ala Ala Gly Leu 10	Leu Ala Pro Ala Ser 15
Val Ser Ala Gl 20		Leu Ala Val Ala 25	Ala Gly Leu Lys Tyr 30
Phe Gly Thr Al	<del>-</del>	Ala Asn Val Asn 10	Gly Asp Ala Thr Tyr 45
Met Ser Tyr Va	l Asn Asn Lys S		Gln Val Thr Pro Glu 60

Asn 65	Gly	Gln	Lys	Trp	Asp 70	Ser	Thr	Glu	Pro	Ser 75	Gln	Gly	Gln	Phe	Ser 80
Tyr	Ser	Gln	Gly	Asp 85	Ile	Val	Pro	Gly	Val 90	Ala	Lys	Lys	Asn	Gly 95	Gln
Val	Leu	Arg	Cys 100	His	Thr	Leu	Val	Trp 105	Tyr	Ser	Gln	Leu	Pro 110	Ser	Trp
Val	Ser	Ser 115	Gly	Ser	Trp	Thr	Arg 120	Ala	Thr	Leu	Gln	Ser 125	Val	Ile	Glu
Thr	His 130	Ile	Ser	Asn	Val	Met 135	Gly	His	Tyr	Lys	Gly 140	Gln	Cys	Tyr	Ala
Trp 145	Asp	Val	Val	Asn	Glu 150	Ala	Ile	Asn	Asp	Asp 155	Gly	Thr	Trp	Arg	Thr 160
Ser	Val	Phe	Tyr	Asn 165	Thr	Phe	Asn	Thr	Asp 170	Tyr	Leu	Ala	Ile	Ala 175	Phe
Asn	Ala	Ala	Lys 180	Lys	Ala	Asp	Ala	Gly 185	Ala	Lys	Leu	Tyr	Tyr 190	Asn	Asp
Tyr	Asn	Leu 195	Glu	Tyr	Asn	Gly	Ala 200	Lys	Thr	Asn	Thr	Ala 205	Val	Gln	Leu
Val	Gln 210	Ile	Val	Gln	Gln	Ala 215	Gly	Ala	Pro	Ile	Asp 220	Gly	Val	Gly	Phe
Gln 225	Gly	His	Leu	Ile	Val 230	G1y	Ser	Thr	Pro	Ser 235	Arg	Ser	Ser	Leu	Ala 240
Thr	Ala	Leu	Lys	Arg 245		Thr	Ala	Leu	Gly 250	Leu	Glu	Val	Ala	Tyr 255	Thr
Glu	Leu	Asp	11e 260	Arg	His	Ser	Ser	Leu 265	Pro	Pro	Ser	Ser	Ala 270	Ala	Leu
Ala	Thr	Gln 275	Gly	Asn	Asp	Phe	Ala 280	Ser	Val	Val	Gly	Ser 285	Cys	Leu	Asp
Val	Ala 290	Gly	Cys	Val	Gly	11e 295	Thr	Ile	Trp	Gly	Phe 300	Thr	Asp	Lys	Tyr

```
Ser Trp Val Pro Asp Thr Phe Pro Gly Ser Gly Ala Ala Leu Leu Tyr
     305
                            310
                                                    315
                                                                           320
     Asp Ala Asn Tyr Ser Lys Lys Pro Ala Trp Thr Ser Val Ser Ser Val
                       325
                                               330
                                                                      335
     Leu Ala Ala Lys Ala Thr Asn Pro Pro Gly Gly Asn Pro Pro Pro
                   340
                                          345
                                                                 350
     Val Thr Thr Thr Thr Thr Thr Thr Thr Ser Lys Pro Ser Gln Pro
              355
                                     360
                                                             365
     Thr Thr Thr Thr Thr Thr Ser Pro Gln Gly Pro Gln Gln Thr His
         370
                                 375
                                                        380
     Trp Gly Gln Cys Gly Gly Ile Gly Trp Thr Gly Pro Gln Ser Cys Gln
     385
                            390
                                                   395
                                                                           400
     Ser Pro Trp Thr Cys Gln Lys Gln Asn Asp Trp Tyr Ser Gln Cys Leu
                       405
                                               410
    <210> 21
    <211> 5092
    <212> ADN
    <213> Thermoascus aurantiacus
    <220>
    <221> CDS
10
    <222> (669)..(728)
    <223>
    <220>
    <221> Intrón
15
    <222> (729)..(872)
    <223>
    <220>
    <221> CDS
20
    <222> (873)..(1015)
    <223>
    <220>
    <221> Intrón
25
    <222> (1016)..(1082)
    <223>
    <220>
    <221> CDS
30
    <222> (1083)..(1127)
    <223>
    <220>
```

<221> Intrón <222> (1128)..(1183) <223> <220> 5 <221> CDS <222> (1184)..(1236) <223> <220> 10 <221> Intrón <222> (1237)..(1300) <223> 15 <220> <221> CDS <222> (1301)..(1717) <223> 20 <220> <221> Intrón <222> (1718)..(1776) <223> 25 <220> <221> CDS <222> (1777)..(2489) <223> 30 <220> <221> Intrón <222> (2490)..(2599) <223> 35 <220> <221> CDS <222> (2600)..(3469) <223> <220> 40 <221> Intrón <222> (3470)..(3531) <223> 45 <220> <221> CDS <222> (3532)..(3759) <223>

50

<400> 21

ggatccgtcc gcggacacag gcagagagac ggcacgggga ctcgacctga tcctcccagg	60
gcggggtgtt gtttgtggcg agggagcgat gctgatgttc ttccagctcc gttgctacct	120
tcccacggcc atttagccgg cggacggcat gtaacatgtc aaacatgtgg gctcggcagt	180
gggggcgtga gacgcagcac ctgacccggc ggcgcggcgc	240
cggccgtggt cgtttgcggg gaaggcgaca cagacgactt ggcgcggccc gccggaaggc	300
gaggaatcat gagtgcgacg gagacatggc aagaccacgg cetteetggc gaagaagaag	360
atgaataatc gcaggggcag tgtggcatgg accgcacggc cgccagggac ctgcccgtg	420
aggttteteg ggtgttteca etggtteeat egetggggge gateeegage eegtgtgeee	480
gtgtaactat tattgacgat caacatgcca tggccagcca gcttctataa taatcatata	540
taacaccccc cgttctcccg ctgccttgct ccgtggtctt cctggtcctg cttgaggttc	600
acgagtetee ttgcatggte aactegteet etgetteate egetgettga eteegtacet	660
cagcaacc atg agg ctt ggg tgg ctg gag ctg gcc gtc gcg gcg gcc gca Met Arg Leu Gly Trp Leu Glu Leu Ala Val Ala Ala Ala Ala 1 5 10	710
acc gtc gcc agc gcc aag gtgcgtcaga ccctcccccg gatcgacctt Thr Val Ala Ser Ala Lys 15 20	758
taggtgette tteageaagt gegegeegge egegacatee geegeegetg eecteacega	818
cgcagcaccc atatgcagca ggagagaagg catctctgac gaaagctccc ccag gat Asp	875
gac ttg gcc tac tcg ccg cct ttc tac ccg tcg cca tgg atg aac gga Asp Leu Ala Tyr Ser Pro Pro Phe Tyr Pro Ser Pro Trp Met Asn Gly 25 30 35	923
aac gga gag tgg gcg gag gcc tac cgc agg gct gtc gac ttc gtc tcg Asn Gly Glu Trp Ala Glu Ala Tyr Arg Arg Ala Val Asp Phe Val Ser 40 45 50	971
cag ctg acc ctc gcg gag aag gtc aac ctg acg acc ggt gtc gg Gln Leu Thr Leu Ala Glu Lys Val Asn Leu Thr Thr Gly Val Gly 55 60 65	1015
gtgagtccat tgacctctac cgagcccccg ttccatgtcc attgagcaat tggctgacgt	1075
cttgaag c tgg atg cag gag aaa tgt gtc ggt gaa acg ggc agc att ccg Trp Met Gln Glu Lys Cys Val Gly Glu Thr Gly Ser Ile Pro 70 75 80	1125
ag gtaggeteae tteeeaatge egetgeaaag gaggtgteta aactggaata aateag Arg	1183
3 ata aga tta agt aga ata tag ata agg agg	1030

Leu Gly Phe Arg Gly Leu Cys Leu Gln Asp Ser Pro Leu 85 90 95	Gly Val Arg
ttt g gtaggtettt caacagagaa caagggtegt egegggagag atge Phe 100	etgatcg 1286
atacctactt ttag ct gac tac gtt tct gcc ttc ccc gcc gg Ala Asp Tyr Val Ser Ala Phe Pro Ala Gl 105	y Val Asn
gtc gct gca acg tgg gat aag aac ctc gcc tac ctt cgt gg Val Ala Ala Thr Trp Asp Lys Asn Leu Ala Tyr Leu Arg Gl 115 120 125	
atg ggt gag gaa cac cgt ggt aag ggc gtc gac gtc cag ct Met Gly Glu Glu His Arg Gly Lys Gly Val Asp Val Gln Le 130 135 140	
gtc gcc ggc cct ctt ggc aga cac ccc gac ggt ggc aga aa Val Ala Gly Pro Leu Gly Arg His Pro Asp Gly Gly Arg As 145 150 155	
ggt ttc tct cct gac ccc gtc ctg acc ggt gtg ctt atg gc Gly Phe Ser Pro Asp Pro Val Leu Thr Gly Val Leu Met Al 165 170	, , ,
atc aag ggt atc cag gat gcc ggt gtg att gct tgc gcc aa Ile Lys Gly Ile Gln Asp Ala Gly Val Ile Ala Cys Ala Ly 180 185 19	s His Phe
att ggt aac gag atg gag cac ttc cgg caa gcc ggt gag gc Ile Gly Asn Glu Met Glu His Phe Arg Gln Ala Gly Glu Al 195 200 205	
tat ggt ttc gat att acc gag agt gtc agc tca aat atc ga Tyr Gly Phe Asp Ile Thr Glu Ser Val Ser Ser Asn Ile As 210 215 220	<del>-</del>
acg ctt cac gag ctg tac ctt tgg ccc ttt gcg gat gct gt Thr Leu His Glu Leu Tyr Leu Trp Pro Phe Ala Asp Ala Va 225 230 235	
gtaagcagtc ccccctcat aggtgattgt acatgtgtat ttctgactcg	ctttcaaag 1776
ct ggc gtt ggt tcg ttc atg tgc tcc tac aac cag gtt aac Ala Gly Val Gly Ser Phe Met Cys Ser Tyr Asn Gln Val Ass 245 250	<del>-</del>
tac agc tgc tcg aac agc tac ctc cta aac aag ttg ctc aac Tyr Ser Cys Ser Asn Ser Tyr Leu Leu Asn Lys Leu Leu Lys 260 265	
ctt gat ttt cag ggc ttc gtg atg agt gac tgg gga gcg cac Leu Asp Phe Gln Gly Phe Val Met Ser Asp Trp Gly Ala Hi 275 280 280	s His Ser
ggc gtt gga gct gcc ctg gct ggc ctt gac atg tcg atg cc Gly Val Gly Ala Ala Leu Ala Gly Leu Asp Met Ser Met Pro 290 295 300	

													ctg Leu			2015
													gac Asp			2063
													cgt Arg			2111
													ggt Gly 365			2159
													aag Lys			2207
													tct Ser			2255
													ggc Gly			2303
													cgt Arg			2351
													ttg Leu 445			2399
													act Thr			2447
		atc Ile														2489
gtga	agtgo	ctg t	caco	gaca	aa to	ggtgc	cctt	gad	ccaga	atgg	aaca	aggtt	ge g	gtctc	aggcc	2549
aggt	atto	cct t	ccto	cgta	at co	ctag	gcaat	cga	atct	cca	ctga	acttt	ag g	sp S	_	2605
													tac Tyr			2653
													tgg Trp			2701
													aac Asn 525			2749

					gtg Val										2797
					gcc Ala										2845
					gtc Val 565										2893
	_	_	_		acg Thr			_		-	 _			_	2941
					ccc Pro										2989
				_	ttc Phe		-		-		_	_			3037
					gag Glu										3085
					tac Tyr 645										3133
					acc Thr										3181
_	-		_	-	tac Tyr	_				-		_	-		3229
					tgg Trp										3277
					acg Thr										3325
					tct Ser 725										3373
					ggt Gly										3421
					ggt Gly										3469

gtgagtttcg cagtctcatt gatatatgtc tttcgagttg gtcactgacc cgcgatctat	3529
ag tat gtc tct ctt ggt ggt cca gat gac ccc aag gtc gtg ctc cgc Tyr Val Ser Leu Gly Gly Pro Asp Asp Pro Lys Val Val Leu Arg 770 775 780	3576
aac ttt gac cgc atc acg ctc cac ccc ggc caa cag aca atg tgg acc Asn Phe Asp Arg Ile Thr Leu His Pro Gly Gln Gln Thr Met Trp Thr 785 790 795	3624
acg aca ttg acg cga cgc gat atc tcg aac tgg gac cct gcc tcc cag Thr Thr Leu Thr Arg Arg Asp Ile Ser Asn Trp Asp Pro Ala Ser Gln 800 805 810	3672
aat tgg gtt gtg acc aaa tat ccc aag aca gtc tac atc ggc agc tct Asn Trp Val Val Thr Lys Tyr Pro Lys Thr Val Tyr Ile Gly Ser Ser 815 820 825 830	3720
tcg cgg aaa ctg cac ctg cag gca ccg ctt ccc cct tac tgaggtttta Ser Arg Lys Leu His Leu Gln Ala Pro Leu Pro Pro Tyr 835 840	3769
tccggaagga ggaagtaaaa acacaatgtt ttagttgtac aggcgtcttt cgtttgtgat	3829
tatccatagg catatcaaga ccactttggg ttatatatat atatatat ataagcggcc	3889
gaggaaagge aatgggtage atggttcaag gggaggaace gtettgaaae tactetcaat	3949
ttettteagt agatagtgea eteeggttga gteecaaata tagttttaat aatggtaaat	4009
ggttcagaaa aagaaaatgt agaggtttca aacacgctag ttgaccctga taggaattga	4069
gcatgaatge ctacacatte caagtegtgt tagegagteg atageegatg aacetattee	4129
gtaggttgag gttcacccta caaataagcc aggatttaag taaatacctg ctcgtgaaat	4189
ctacaacgca tcagatcaga ggaaaattca aatggcagaa gtgcgagcac ctcggtgaga	4249
agagatcgag ctgtcgaagt cggctggaac acaggtaaag agaagtaata caattcattg	4309
atttttacat cgtttaacat gtagaaggta tctaaaatag taagtccaga tatgggccat	4369
ggagategee teggegatet tegggagtat etegggagae geacatgace gegettaace	4429
ctgtcggttg gacccgagtc cgaccgacgt catcagcgca gcgcaggtca ggctgcgcgc	4489
aacgtcaatg ccagggggtg ctgggacagt tgcatatcaa tcgatcagtc aattaaagca	4549
totgotttcc acgttotttt tttatcacct ttcacttccc ctgtcccact tgccttggga	4609
ttgttgagcc caaagaagaa ggagaagaaa atgggctcga caccccggaa cgggtggtcg	4669
acgagcacat catcagcage gtettattat caacatteee aaccacegge cetegttete	4729
ctcgtctacc cgctcactct cctcctcggc tccctgtaca gagccatttc ccccaccgcg	4789
cgggtgagge acgatgctge agaccetget etggeecega ccatagegte egacateaac	4849
ctgtcccagt catcccggta ttcccattcc catagcaaca gcaacagccc ggtcaattac	4909
ttcgcccgca aggacaacat ctttaacgtc tacttcgtca agatcggctg gttctggacg	4969

accc	tcgcc	t to	ctcac	gtt a	actco	tcaco	cag	cctgo	cct a	cacaa	acgc	cggt	cccc	tg	5029
cgcg	cccga	ic gc	accct	cca a	agcco	tgtc	c cgc	tacgo	cca t	cgtca	accct	acta	cctg	ga	5089
tcc															5092
<210> <211> <212> <213>	843 PRT	าoascu	ıs aura	ntiacus	5										
<400> Met 1		Leu	Gly	Trp 5	Leu	Glu	Leu	Ala	Val 10	Ala	Ala	Ala	Ala	Thr 15	Val
Ala	Ser	Ala	Lys 20	Asp	Asp	Leu	Ala	Tyr 25	Ser	Pro	Pro	Phe	Tyr 30	Pro	Ser
Pro	Trp	Met 35	Asn	Gly	Asn	Gly	Glu 40	Trp	Ala	Glu	Ala	Tyr 45	Arg	Arg	Ala
Val	Asp 50	Phe	Val	Ser	Gln	Leu 55	Thr	Leu	Ala	Glu	Lys 60	Val	Asn	Leu	Thr
Thr 65	Gly	Val	Gly	Trp	Met 70	Gln	Glu	Lys	Cys	Val 75	Gly	Glu	Thr	Gly	Ser 80
Ile	Pro	Arg	Leu	Gly 85	Phe	Arg	Gly	Leu	Cys 90	Leu	Gln	Asp	Ser	Pro 95	Leu
Gly	Val	Arg	Phe 100	Ala	Asp	Tyr	Val	Ser 105	Ala	Phe	Pro	Ala	Gly 110	Val	Asn
Val	Ala	Ala 115	Thr	Trp	Asp	Lys	Asn 120	Leu	Ala	Tyr	Leu	Arg 125	Gly	Lys	Ala
Met	Gly 130	Glu	Glu	His	Arg	Gly 135	Lys	Gly	Val	Asp	Val 140	Gln	Leu	Gly	Pro
Val 145	Ala	Gly	Pro	Leu	Gly 150	Arg	His	Pro	Asp	Gly 155	Gly	Arg	Asn	Trp	Glu 160
Gly	Phe	Ser	Pro	Asp 165	Pro	Val	Leu	Thr	Gly 170	Val	Leu	Met	Ala	Glu 175	Thr
Ile	Lys	Gly	Ile 180	Gln	Asp	Ala	Gly	Val 185	Ile	Ala	Cys	Ala	Lys 190	His	Phe

Ile	Gly	Asn 195	Glu	Met	Glu	His	Phe 200	Arg	Gln	Ala	Gly	Glu 205	Ala	Val	Gly
Tyr	Gly 210	Phe	Asp	Ile	Thr	Glu 215	Ser	Val	Ser	Ser	Asn 220	Ile	Asp	Asp	Lys
Thr 225	Leu	His	Glu	Leu	Tyr 230	Leu	Trp	Pro	Phe	Ala 235	Asp	Ala	Val	Arg	Ala 240
Gly	Val	Gly	Ser	Phe 245	Met	Cys	Ser	Tyr	Asn 250	Gln	Val	Asn	Asn	Ser 255	Tyr
Ser	Cys	Ser	Asn 260	Ser	Tyr	Leu	Leu	Asn 265	Lys	Leu	Leu	Lys	Ser 270	Glu	Leu
Asp	Phe	Gln 275	Gly	Phe	Val	Met	Ser 280	Asp	Trp	Gly	Ala	His 285	His	Ser	Gly
Val	Gly 290	Ala	Ala	Leu	Ala	Gly 295	Leu	Asp	Met	Ser	Met 300	Pro	Gly	Asp	Thr
Ala 305	Phe	Gly	Thr	Gly	Lys 310	Ser	Phe	Trp	Gly	Thr 315	Asn	Leu	Thr	Ile	Ala 320
Val	Leu	Asn	Gly	Thr 325	Val	Pro	Glu	Trp	Arg 330	Val	Asp	Asp	Met	Ala 335	Val
Arg	Ile	Met	Ala 340	Ala	Phe	Tyr	Lys	Val 345	Gly	Arg	Asp	Arg	Tyr 350	Gln	Val
Pro	Val	Asn 355	Phe	Asp	Ser	Trp	Thr 360	Lys	Asp	Glu	Tyr	Gly 365	Tyr	Glu	His
Ala	Leu 370	Val	Gly	Gln	Asn	Tyr 375	Val	Lys	Val	Asn ·	Asp 380	Lys	Val	Asp	Val
Arg 385	Ala	Asp	His	Ala	Asp 390	Ile	Ile	Arg	Gln	Ile 395	Gly	Ser	Ala	Ser	Val 400
Val	Leu	Leu	Lys	Asn 405.	Asp	Gly	Gly	Leu	Pro 410	Leu	Thr	Gly	Tyr	Glu 415	Lys
Phe	Thr	Gly	Val 420	Phe	Gly	Glu	Asp	Ala 425	Gly	Ser	Asn	Arg	Trp 430	Gly	Ala

Asp	Gly	Cys 435	Ser	Asp	Arg	Gly	Cys 440	Asp	Asn	Gly	Thr	Leu 445	Ala	Met	Gly
Trp	Gly 450	Ser	Gly	Thr	Ala	Asp 455	Phe	Pro	Tyr	Leu	Val 460	Thr	Pro	Glu	Gln
Ala 465	Ile	Gln	Asn	Glu	11e 470	Leu	Ser	Lys	Gly	Lys 475	Gly	Leu	Asp	Ser	Val 480
Ser	Ile	Val	Phe	Val 485	Asn	Ala	Asp	Ser	Gly 490	Glu	Gly	Tyr	Ile	Asn 495	Val
Asp	Gly	Asn	Glu 500	Gly	Asp	Arg	Lys	Asn 505	Leu	Thr	Leu	Trp	Lys 510	Gly	Gly
Glu	Glu	Val 515	Ile	Lys	Thr	Val	Ala 520	Ala	Asn	Cys	Asn	Asn 525	Thr	Ile	Val
Val	Met 530	His	Thr	Val	Gly	Pro 535	Val	Leu	Ile	Asp	Glu 540	Trp	Tyr	Asp	Asn
Pro 545	Asn	Val	Thr	Ala	Ile 550	Val	Trp	Ala	Gly	Leu 555	Pro	Gly	Gln	Glu	Ser 560
Gly	Asn	Ser	Leu	Val 565	Asp	Val	Leu	Tyr	Gly 570	Arg	Val	Ser	Pro	Gly 575	Gly
Lys	Thr	Pro	Phe 580		Trp	Gly	Lys	Thr 585	Arg	Glu	Ser	Tyr	Gly 590	Ala	Pro
Leu	Leu	Thr 595	Lys	Pro	Asn	Asn	Gly 600	Lys	Gly	Ala	Pro	Gln 605	Asp	Asp	Phe
Thr	Glu 610	Gly	Val	Phe	Ile	Asp 615	Tyr	Arg	Arg	Phe	Asp 620	Lys	Tyr	Asn	Glu
Thr 625	Pro	Ile	Tyr	Glu	Phe 630	Gly	Phe	Gly	Leu	Ser 635	Tyr	Thr	Thr	Phe	Glu 640
Tyr	Ser	Asn	Ile	Tyr 645	Val	Gln	Pro	Leu	Asn 650	Ala	Arg	Pro	Tyr	Thr 655	Pro
Ala	Ser	Gly	Ser 660	Thr	Lys	Ala	Ala	Pro 665	Thr	Phe	Gly	Asn	Ile 670	Ser	Thr

Asp Tyr Ala Asp Tyr Leu Tyr Pro Glu Asp Ile His Lys Val Pro Leu 675 680 685 Tyr Ile Tyr Pro Trp Leu Asn Thr Thr Asp Pro Glu Glu Val Leu Arg Arg Ser Arg Leu Thr Glu Met Lys Ala Glu Asp Tyr Ile Pro Ser Gly 705 710 715 Ala Thr Asp Gly Ser Pro Gln Pro Ile Leu Pro Ala Gly Gly Ala Pro 725 730 Gly Gly Asn Pro Gly Leu Tyr Asp Glu Met Tyr Arg Val Ser Ala Ile 740 745 Ile Thr Asn Thr Gly Asn Val Val Gly Asp Glu Val Pro Gln Leu Tyr 755 760 Val Ser Leu Gly Gly Pro Asp Asp Pro Lys Val Val Leu Arg Asn Phe 775 770 780 Asp Arg Ile Thr Leu His Pro Gly Gln Gln Thr Met Trp Thr Thr 785 790 795 800 Leu Thr Arg Arg Asp Ile Ser Asn Trp Asp Pro Ala Ser Gln Asn Trp 805 810 815 Val Val Thr Lys Tyr Pro Lys Thr Val Tyr Ile Gly Ser Ser Ser Arg 820 825 830 Lys Leu His Leu Gln Ala Pro Leu Pro Pro Tyr 840 835 <210> 23 <211> 3510 <212> ADN <213> Acremonium thermophilum <220> <221> CDS <222> (391)..(447) <223> <220> <221> Intrón

10

15

<222w (448)..(539)

<223>

	<220> <221> CDS <222> (540)(685)	
5	<223>	
10	<220> <221> Intrón <222> (686)(759) <223>	
15	<220> <221> CDS <222> (760)(1148) <223>	
20	<220> <221> Intrón <222> (1149)(1217) <223>	
25	<220> <221> CDS <222> (1218)(3208) <223>	
	<400>23 gcaggtagct acgacattcg acggtccacg cccagtggcg tctgctcggc cgtctgggaa	60
	ccatgcacgc ccgcctctta ggtcgagcga ggtataacat actatctgca cggctaccta	120
	tatattacgt cgatgtcacc cgcaggatgc gagcaccatt acttcgtgtc tcacccgccc	180
	ttccgctccg catctcgtga acctaaaccc acgcgggcac actgcttctt gtgagagcct	240
	ctacccgttc cacaagagcc atagctagag agagaagggc agccaaggga ccggtcaagc	300
	ggcgctcttc atcgcaccaa tctcgacaac ccggcagacg tcaccaccgg ctcccgccgc	360
	acgacgtcac acgggactga ctacgaagac atg agg cag gcc ctt gtt tcg ctg Met Arg Gln Ala Leu Val Ser Leu 1 5	414
	gcc ttg ctg gcc agc agc cct gtt tcg gcg gcg gtgaccgcca gggacgccca Ala Leu Leu Ala Ser Ser Pro Val Ser Ala Ala 10 15	467
	ggtatggtcc caactgctct tcctccctgt ttcctcctct accggtgctg acaacgacaa	527
	tagctgcacc ag cga gaa ctc gcc act tcc gac cct ttc tat cct tcg cca Arg Glu Leu Ala Thr Ser Asp Pro Phe Tyr Pro Ser Pro 20 25 30	578
	tgg atg aac cct gaa gcc aat ggc tgg gag gac gcc tac gcc aag gcc Trp Met Asn Pro Glu Ala Asn Gly Trp Glu Asp Ala Tyr Ala Lys Ala 35 40 45	626

			gaa aag gtc aac Glu Lys Val Asn 60	
act ggc atc gg Thr Gly Ile Gly 65		tctctcctg ta	gaaccgcc taccaga	aaga 725
cattcaggaa gtgc	taatga tgggcc		tgg caa gga gga Trp Gln Gly Gly 70	
		Pro Arg Leu	ggc ctt cgc agc Gly Leu Arg Ser 85	
			ggg gac tac gtc Gly Asp Tyr Val	
	Gln Thr Thr		ttc gac aag ggt Phe Asp Lys Gly 120	
			cac aaa gga aag His Lys Gly Lys 135	
			att ggc cgt acg Ile Gly Arg Thr 150	
		Phe Ser Pro A	gac ccc gtc cta Asp Pro Val Leu 165	
			cag gat gct ggt Gln Asp Ala Gly	
Ala Cys Ala Lys		Ala Asn Glu (	cag g gtgcgtgatg Gln	1158
gaacgcggga cgtg	ctctga tgcaaa	iccca cgagcact	tga ccacgettte c	tcgaacag 1217
	Gln Ser Gly		ggc tac ggc ttt Gly Tyr Gly Phe 210	
			aag acc atg cac Lys Thr Met His 225	
•		Gly Val Arg A	gcc ggc gtc ggc Ala Gly Val Gly 240	=
			ac ggg tgc cag Tyr Gly Cys Gln	

							gag Glu							1456
							acc Thr							1504
							gac Asp							1552
							ctc Leu							1600
_			-	_	-	_	gtc Val 335	_	_		_	_	_	1648
							ctg Leu							1696
_			-			_	ctc Leu			_	_			1744
_	 _	_				_	aac Asn	_	_	-				1792
			_			-	gga Gly		_		_			1840
							aag Lys 415							1888
							ccc Pro							1936
							gcc Ala							1984
							gcc Ala							2032
							gtg Val							2080
							gcc Ala 495							2128

												Val	gac Asp 515			2176
													gac Asp			2224
	_	_		_				_				-	gtc Val			2272
_				-				-			-		ccc Pro			2320
													ggc Gly			2368
													cgc Arg 595			2416
				_		_		_				-	gtc Val			2464
													tcc Ser			2512
-			-		_			_	_				tcc Ser	_		2560
							_		-	_		-	tac Tyr	_		2608
													acg Thr 675			2656
_						_			_			-	gac Asp		_	2704
													cag Gln			2752
													ctc Leu			2800
													gcg Ala			2848
agc	aac	ccg	cag	ccg	ctg	ctg	cgg	tcg	tcg	ggc	aag	aac	gag	ccc	ggc	2896

	iln Pro Leu Leu 45	Arg Ser Ser 750		lu Pro Gly 55
	ag ctg tac gac ln Leu Tyr Asp			
	gc agc atc gtg ly Ser Ile Val 780			
	gg ccc gac gac ly Pro Asp Asp · 795			
	tc gac ccg ggc le Asp Pro Gly 810			
Thr Arg Arg A	at ctc agc aac sp Leu Ser Asn 25		Ala Ile Gln A	
	ac ccc aag aag yr Pro Lys Lys			
	cc gcc gac ctc er Ala Asp Leu 860		gcg acggccaagt	acgtatgtgg 323
actgccatcc ga	acacctat acttt	tggc taggtag	ggg gagcagcaa	g gcctgagcat 329
atactctctc ca	ttgcacat ttctaa	atgta aatatat	ata tcattaatt	g ggagacccaa 335
actcgaattt at	gcatgcgt acaaag	gtgtg ttgaaca	agt ttcggtcca	g cagatagtaa 341
ccgtcttagt tc	gtccatcc ctctct	cgaa tgcgctg	tat acacatgcg	atatagacgt 347
tgtataggtg cca	attgctag caatgo	aagc tt		3510
<210> 24 <211> 861 <212> PRT <213> Acremonium	thermophilum			
<400>24 Met Arg Gln 1	Ala Leu Val S 5	Ser Leu Ala	Leu Leu Ala 10	Ser Ser Pro Val
Ser Ala Ala	Arg Glu Leu A 20	ala Thr Ser 25	Asp Pro Phe	Tyr Pro Ser Pro 30
Trp Met Asn 35	Pro Glu Ala A	asn Gly Trp 40	Glu Asp Ala	Tyr Ala Lys Ala 45

Lys	Ala 50	Phe	Val	Ser	Gln	Leu 55	Thr	Leu	Leu	Glu	Lys 60	Val	Asn	Leu	Thr
Thr 65	Gly	Ile	Gly	Trp	Gln 70	Gly	Gly	Gln	Cys	Val 75	Gly	Asn	Val	Gly	Ser 80
Val	Pro	Arg	Leu	Gly 85	Leu	Arg	Ser	Leu	Cys 90	Met	Gln	Asp	Ser	Pro 95	Val
Gly	Ile	Arg	Phe 100	Gly	Asp	Tyr	Val	Ser 105	Val	Phe	Pro	Ser	Gly 110	Gln	Thr
Thr	Ala	Ala 115	Thr	Phe	Asp	Lys	Gly 120	Leu	Met	Asn	Arg	Arg 125	Gly	Asn	Ala
Met	Gly 130	Gln	Glu	His	Lys	Gly 135	Lys	Gly	Val	Asn	Val 140	Leu	Leu	Gly	Pro
Val 145	Ala	Gly	Pro	Ile	Gly 150	Arg	Thr	Pro	Glu	Gly 155	Gly	Arg	Asn	Trp	Glu 160
Gly	Phe	Ser	Pro	Asp 165	Pro	Val	Leu	Thr	Gly 170	Ile	Ala	Leu	Ala	Glu 175	Thr
Ile	Lys	Gly	Ile 180	Gln	Asp	Ala	Gly	Val 185	Ile	Ala	Cys	Ala	Lys 190	His	Phe
Ile	Ala	Asn 195	Glu	Gln	Glu	His	Phe 200	Arg	Gln	Ser	Gly	G1u 205	Ala	Gln	Gly
Tyr	Gly 210	Phe	Asp	Ile	Ser	Glu 215	Ser	Leu	Ser	Ser	Asn 220	Ile	Asp	Asp	Lys
Thr 225	Met	His	Glu	Leu	Tyr 230	Leu	Trp	Pro	Phe	Ala 235	Asp	Gly	Val	Arg	Ala 240
Gly	Val	Gly	Ala	Ile 245	Met	Cys	Ser	Tyr	Asn 250	Gln	Ile	Asn	Asn	Ser 255	Tyr
Gly	Cys	Gln	Asn 260	Ser	Lys	Thr	Leu	Asn 265	Asn	Leu	Leu	Lys	Asn 270	Glu	Leu
Gly	Phe	Gln 275		Phe	Val	Met	Ser 280	Asp	Trp	Gln	Ala	Gln 285	His	Thr	Gly
Ala	Ala	Ser	Ala	Val	Ala	Glv	Len	Asp	Met	Thr	Met	Pro	Glv	Asp	Thr

	290					295					300				
Ser 305	Phe	Asn	Thr	Gly	Leu 310	Ser	Tyr	Trp	Gly	Thr 315	Asn	Leu	Thr	Leu	Ala 320
Val	Leu	Asn	Gly	Thr 325	Val	Pro	Glu	Tyr	Arg 330	Ile	Asp	Asp	Met	Val 335	Met
Arg	Ile	Met	Ala 340	Ala	Phe	Phe	Lys	Thr 345	Gly	Gln	Thr	Leu	Asp 350	Leu	Pro
Pro	Ile	Asn 355	Phe	Asp	Ser	Trp	Thr 360	Thr	Asp	Thr	Phe	Gly 365	Pro	Leu	His
Phe	Ala 370	Val	Asn <sup>.</sup>	Glu	Asp	Arg 375	Gln	Gln	Ile	Asn	Trp 380	His	Val	Asn	Val
Gln 385	Asp	Asn	His	Gly	Ser 390	Leu	Ile	Arg	Glu	Ile 395	Ala	Ala	Lys	Gly	Thr 400
Val	Leu	Leu	Lys	Asn 405	Thr	Gly	Ser	Leu	Pro 410	Leu	Asn	Lys	Pro	Lys 415	Phe
Leu	Val	Val	Val 420	Gly	Asp	Asp	Ala	Gly 425	Pro	Asn	Pro	Ala	Gly 430	Pro	Asn
Ala	Cys	Pro 435	Asp	Arg	Gly	Cys	Asp 440	Val	Gly	Thr	Leu	Gly 445	Met	Ala	Trp
Gly	Ser 450	Gly	Ser	Ala	Asn	Phe 455	Pro	Tyr	Leu	Ile	Thr 460	Pro	Asp	Ala	Ala
Leu 465	Gln	Ala	Gln	Ala	Ile 470	Lys	Asp	Gly	Thr	Arg 475	Tyr	Glu	Ser	Val	Leu 480
Ser	Asn	Tyr	Gln	Leu 485	Asp	Gln	Thr	Lys	Ala 490	Leu	Val	Thr	Gln	Ala 495	Asn
Ala	Thr		11e 500	Val	Phe	Val		Ala 505	Asp	Ser	Gly	Glu	Gly 510	Tyr	Ile
Asn	Val	Asp 515	Gly	Asn	Glu	Gly	Asp 520	Arg	Lys	Asn	Leu	Thr 525	Leu	Trp	His
Asp	Gly 530	Asp	Ala	Leu	Ile	Lys 535	Ser	Val	Ala	Gly	Trp 540	Asn	Pro	Asn	Thr

Ile 545	Val	Val	Ile	His	Ser 550	Thr	Gly	Pro	Val	Leu 555	Val	Thr	Asp	Trp	Tyr 560
Asp	His	Pro	Asn	Ile 565	Thr	Ala	Ile	Leu	Trp 570	Ala	Gly	Val	Pro	Gly 575	Gln
Glu	Ser	Gly	Asn 580	Ala	Ile	Thr	Asp	-Val 585	Leu	Tyr	Gly	Lys	Val 590	Asn	Pro
Ser	Gly	Arg 595	Ser	Pro	Phe	Thr	Trp 600	Gly	Pro	Thr	Arg	<b>Glu</b> 605	Ser	Tyr	Gly
Thr	Asp 610	Val	Leu	Tyr	Thr	Pro 615	Asn	Asn	Gly	Lys	Gly 620	Ala	Pro	Gln	Gln
Ala 625	Phe	Ser	Glu	Gly	Val 630	Phe	Ile	Asp	Tyr	Arg 635	His	Phe	Asp	Arg	Thr 640
Asn	Ala	Ser	Val	Ile 645	Tyr	Glu	Phe	Gly	His 650	Gly	Leu	Ser	Tyr	Thr 655	Thr
Phe	Gln	Tyr	Ser 660	Asn	Ile	Gln	Val	Val 665	Lys	Ser	Asn	Ala	Gly 670	Ala	Tyr
Lys	Pro	Thr 675	Thr	Gly	Thr	Thr	Ile 680	Pro	Ala	Pro	Thr	Phe 685	Gly	Ser	Phe
Ser	Lys 690	Asp	Leu	Lys	Asp	Tyr 695	Leu	Phe	Pro	Ser	Asp 700	Gln	Phe	Arg	Tyr
Ile 705	Thr	Gln	Tyr		Tyr 710		Tyr	Leu	Asn	Ser 715		Asp	Pro		Lys 720
Ala	Ser	Leu	_	Pro 725	His	Tyr	Gly	Lys	Thr 730	Ala	Ala	Glu	Phe	Leu 735	Pro
Pro	His	Ala	Leu 740	Asp	Ser	Asn	Pro	Gln 745	Pro	Leu	Leu	Arg	Ser 750	Ser	Gly
Lys	Asn	Glu 755	Pro	Gly	Gly	Asn	Arg 760		Leu	Tyr	Asp	Ile 765	Leu	Tyr	Thr
Val	Thr 770	Ala	Asp	Ile	Thr	Asn 775	Thr	Gly	Ser	Ile	Val 780	Gly	Ala	Glu	Val

Pro Gln Leu Tyr Val Ser Leu Gly Gly Pro Asp Asp Pro Lys Val Val

	785					790					795					800	
	Leu	Arg	Gly	Phe	Asp 805	Arg	Ile	Arg	Ile	Asp 810	Pro	Gly	Lys	Thr	Ala 815	Gln	
	Phe	Arg	Val	Thr 820	Leu	Thr	Arg	Arg	Asp 825	Leu	Ser	Asn	Trp	Asp 830	Pro	Ala	
	Ile	Gln	Asp 835	Trp	Val	Ile	Ser	Lys 840	Tyr	Pro	Lys	Lys	Val 845	Tyr	Ile	Gly	
	Arg	Ser 850	Ser	Arg	Lys	Leu	Glu 855	Leu	Ser	Ala	Asp	Leu 860	Ala				
5	<210><211><211><212><213>	3392 ADN	tomiun	n therm	nophilu	m											
10	<220><221><222><223>	CDS (608)	(2405	5)													
15		Intrón (2406		57)													
20	<220><221><222><222><223>	CDS (2458	3)(286	61)													
	<400> tgcg	-	tg c	tgcg	actta	a att	aata	act	ggca	aaacq	gg co	:cgga	gctc	agc	tctga	acc	60
	teeg	gccac	at c	cgct	cggca	a cca	tgcc	agc	gcgt	tgcaa	ac go	catg	aagc	gct	caggt	tt	120
	ttct	tccg	rcc t	gctc	cccad	tgc	cgat	ggc	catc	tgcad	cc cc	agct	cgtc	aca <sup>-</sup>	tttat	ct	180
	cgcg	gcaca	igc g	tctt	cccad	cag	ıttgo	ctt	gctc	atgad	eg ct	gtta	aaga	tgg	cccta	acc	240
	tago	cgct	ga g	tccc	acaad	gec	gaga	tgt	cttt	ggcco	eț tt	acaa	ggca	cgc	catg	gcc	300
	gtco	caagg	tc t	gttc	atgag	g tgt	gttt	gtg	gggc	cgaaq	gg ac	acct	cagt	ggc	cacga	aaa	360
	tgcc	gccg	ag c	gggc	cagca	a cat	gtcg	aga	gaga	catgo	ga ca	ttta	tccc	cga	gatgo	etg	420
25	tatt	aggg	aa c	cggt	ccttt	tet	cgga	gcc ·	gtga	tccga	ag ag	cgtt	cggg	agt	cgtto	gag	480

taaaagatgt cgagtto	gccg ttatatatcg c	gggcctgta go	ctatgtgcc ctct	attctc 540
acaggttcaa tcatcag	gtcc tcgccgtgag a	cgtagcgcg ct	tgaactage gete	gatatc 600
ttccgtc atg gct ct Met Ala Le 1	t cat gcc ttc tteu His Ala Phe Le		la Ser Ala Leu	•
gcc cgg ggt gcc ct Ala Arg Gly Ala Le 15				
acc ggg acg gcc gc Thr Gly Thr Ala Al	la Trp Asp Ala Al			
gtg tcg aga tta to Val Ser Arg Leu Se 50		s Ile Asn Il		
ggc tgg ggt aag gg Gly Trp Gly Lys Gl 65				
atc aac tac cca ca Ile Asn Tyr Pro GI 80			ro Leu Gly Ile	
tcc gcc acc agc gt Ser Ala Thr Ser Va 95				-
acc tgg gat gtg ga Thr Trp Asp Val Gl	u Leu Ile Arg Gl			
gag gcc cgg gga ac Glu Ala Arg Gly Th 130		l Leu Leu Gl		
gct ctt ggc aag at Ala Leu Gly Lys Il 145				
tcc gac ccc tac tt Ser Asp Pro Tyr Le 160		a Met Ser Gl		
att cag tcg gag gg Ile Gln Ser Glu Gl 175			_	
gag cag gaa ctc aa Glu Gln Glu Leu As 19	n Arg Glu Thr Met			-
act atg cac gag ct Thr Met His Glu Le 210		Phe Ala As		
aac gtg gcc agc gt	c atg tgc agc tac	aac aag ct	tc aac ggc acc	tgg 1321

Asn	Val	Ala 225	Ser	Val	Met	Cys	Ser 230	Tyr	Asn	Lys	Leu	Asn 235	Gly	Thr	Trp	
	_		aac Asn	-		_			_	-		_				1369
		_	ggc Gly				_	-				_				1417
			gcc Ala													1465
			tgg Trp 290		_				_	_				_	-	1513
	_		cag Gln	-	_	_		_			-	_	_	-	-	1561
		-	gcg Ala						-					_		1609
		_	·cgt Arg	-		-		_			_				_	1657
			cgc Arg													1705
		_	cgt Arg 370			_		_		-			_	_	_	1753
			cgt Arg		_		_	-		_			_			1801
			ggc Gly													1849
			ccg Pro													1897
			agt Ser													1945
			ggc Gly 450													1993
			tac Tyr													2041

		465					470					475				
								cag Gln								2089
								gtg Val								2137
								ggt Gly								2185
								aac Asn 535								2233
								ctt Leu								2281
		Asp						gtc Val								2329
								cac His								2377
	_		gag Glu						t gt	aagt	ctct	tao	ccact	ccg		2425
Pro	Arg	Phe	Ğlü	Phe 595	Gly	Phe	Gly		ca	tac		aac	ttc	agc		2425
tttt	Arg gtaa	Phe aca a	Glu accco	Phe 595 gatto atc	Gly et aa	Phe acato tcg	Gly cccc tcc	Leu	ca Ser	tac Tyr gcc	acc Thr	aac Asn cca	ttc Phe gcc	agc Ser 605	Tyr ggc	
tttt tcc Ser	Arg cgtaa aac Asn acc	Phe aca a ctg Leu gtc	ggc Gly 610	Phe 595 gatto atc Ile	Gly et aa tee Ser gge	Phe acato tcg Ser ccg	Gly ccccc tcc Ser	Leu ag gca Ala	ca Ser acc Thr	tac Tyr gcc Ala	acc Thr ggc Gly	aac Asn cca Pro	ttc Phe gcc Ala 620 gtc	agc Ser 605 acg Thr	Tyr ggc Gly acc	2477
tttt tcc Ser ccc Pro	aac Asn acc Thr	ctg Leu gtc Val 625	ggc ggc Gly 610 ccc Pro	Phe 595 gatto atc Ile ggc Gly	Gly  tcc Ser  ggc Gly  acc	tcg Ser ccg Pro	tcc Ser gcc Ala 630	Leu gca Ala 615	ca Ser acc Thr ctc Leu	tac Tyr gcc Ala tgg Trp	acc Thr ggc Gly aac Asn	aac Asn cca Pro tat Tyr 635	ttc Phe gcc Ala 620 gtc Val	agc Ser 605 acg Thr gcg Ala	Tyr ggc Gly acc Thr	2477 2525
tttt tcc Ser ccc Pro gtc Val	aac Asn acc Thr acg Thr 640	ctg Leu gtc Val 625 gcg Ala	ggc ggc Gly 610 ccc Pro acc Thr	Phe 595 gatto atc Ile ggc Gly gtt Val	Gly  tcc Ser  ggc Gly  acc Thr	tcg Ser ccg Pro aac Asn 645	tcc ser gcc Ala 630 acc	gca Ala 615 gac Asp	ca Ser acc Thr ctc Leu ggc Gly	tac Tyr gcc Ala tgg Trp gtg Val	acc Thr ggc Gly aac Asn gaa Glu 650 cct	aac Asn cca Pro tat Tyr 635 ggt Gly	ttc Phe gcc Ala 620 gtc Val gcc Ala	agc Ser 605 acg Thr gcg Ala gag Glu	ggc Gly acc Thr gtc Val	2477 2525 2573
tttt tcc Ser ccc Pro gtc Val gct Ala 655 aag	aac Asn acc Thr acg Gln cag	ctg Leu gtc Val 625 gcg Ala ctg Leu	ggc ggc Gly 610 ccc Pro acc Thr	Phe 595 gatto atc Ile ggc Gly gtt Val atc Ile ggc	Gly tcc as tcc Ser ggc Gly acc Thr tct Ser 660	tcg Ser ccg Pro aac Asn 645 ttg Leu	tcc ser gcc Ala 630 acc Thr	Leu gca Ala 615 gac Asp ggc Gly	ca Ser acc Thr ctc Leu ggc Gly tcg Ser aag	tac Tyr gcc Ala tgg Trp gtg Val gct Ala 665	acc Thr ggc Gly aac Asn gaa Glu 650 cct Pro	aac Asn cca Pro tat Tyr 635 ggt Gly gca Ala	ttc Phe gcc Ala 620 gtc Val gcc Ala tcg Ser	agc Ser 605 acg Thr gcg Ala gag Glu cca Pro	ggc Gly acc Thr gtc Val ccg Pro 670 agc	2477 2525 2573 2621

	g Gln Asn T		cct tcg ggg Pro Ser Gly			2813
			agg ttg cag Arg Leu Gln			2861
tagggggtta	tgttcagcac	ctagttgggg	aattgatgtg	taagttggag	taggggtttt	2921
cgtgtacata	cataccattt	ggtcaatgtt	acgacattta	gtttatgaag	tttcctggtg	-2981
gctaccgctg	atgagccctc	gtatgatacc	cacaatctat	atgttttact	cttctctttc	3041
cttttttctc	ttccttttcc	tttattactt	cattccttgt	gtactttctg	tgaacctcca	3101
gtcgaccatc	cgacccaatt	cgaaagtctt	tcctgacctg	gttcaggttg	gcatattctc	3161
gaaaggatgt	cgaccttcct	gaccctactg	ggctaccggg	aaagccctag	gatggctgat	3221
ggacagatct	ggtgatcaac	tatgggaaca	ctccggagat	ggtgactaat	atgcgatggt	3281
catttaaaga	gcaccgcttc	cagcgatctc	cccagttgct	cctcaacgat	tgacacggcc	3341
aatttatcca	gattccggga	ttctctgagt	gagctgtccc	ttttttctag	a	3392

<210> 26 <211> 734 <212> PRT <213> Chaetomium thermophilum

<400> 26

Met 1	Ala	Leu	His	Ala 5	Phe	Leu	Leu	Leu	Ala 10	Ser	Ala	Leu	Leu	Ala 15	Arg
Gly	Ala	Leu	Ser 20	Gln	Pro	Asp	Asn	Val 25	Arg	Arg	Ala	Ala	Pro 30	Thr	Gly
Thr	Ala	Ala 35	Trp	Asp	Ala	Ala	His 40	Ser	Gln	Ala	Ala	Ala 45	Ala	Val	Ser
Arg	Leu 50	Ser	Gln	Gln	Asp	Lys 55	Ile	Asn	Ile	Val	Thr 60	Gly	Val	Gly	Trp
Gly 65	Lys	Gly	Pro	Cys	Val 70	Gly	Asn	Thr	Asn	Pro 75	Val	Tyr	Ser	Ile	Asn 80
Tyr	Pro	Gln	Leu	Cys 85	Leu	Gln	Asp	Gly	Pro 90	Leu	Gly	Ile	Arg	Ser 95	Ala

Thr Ser Val Thr Ala Phe Thr Pro Gly Ile Gln Ala Ala Ser Thr Trp 100 105 110

Asp	Val	Glu 115	Leu	Ile	Arg	Gln	Arg 120	Gly	Val	Tyr	Leu	Gly 125	Gln	Glu	Ala
Arg	Gly 130	Thr	Gly	Val	His	Val 135	Leu	Leu	Gly	Pro	Val 140	Ala	Gly	Ala	Leu
Gly 145	Lys	Ile	Pro	His	Gly 150	Gly	Arg	Asn	Trp	Glu 155	Ala	Phe	Gly	Ser	Asp 160
Pro	Tyr	Leu	Ala	Gly 165	Ile	Ala	Met	Ser	Glu 170	Thr	Ile	Glu	Gly	Ile 175	Gln
Ser	Glu	Gly	Val 180	Gln	Ala	Суз	Ala	Lys 185	His	Tyr	Ile	Ala	Asn 190	Glu	Gln
Glu	Leu	Asn 195	Arg	Glu	Thr	Met	Ser 200	Ser	Asn	Val	Asp	Asp 205	Arg	Thr	Met
His	Glu 210	Leu	Tyr	Leu	Trp	Pro 215	Phe	Ala	Asp	Ala	Val 220	His	Ser	Asn	Val
Ala 225	Ser	Val	Met	Суз	Ser 230	Tyr	Asn	Lys	Leu	Asn 235	Gly	Thr	Trp	Leu	Cys 240
Glu	Asn	Asp	Arg	Ala 245	Gln	Asn	Gln	Leu	Leu 250	Lys	Arg	Glu	Leu	Gly 255	Phe
Arg	Gly	Tyr	Ile 260	Val	Ser	Asp	Trp	Asn 265	Ala	Gln	His	Thr	Thr 270	Val	Gly
Ser	Ala	Asn 275	Ser	Gly	Met	Asp	Met 280	Thr	Met	Pro	Gly	Ser 285	Asp	Phe	Asn
Gly	Trp 290	Asn	Val	Leu	Trp	Gly 295	Pro	Gln	Leu	Asn	Asn 300	Ala	Val	Asn	Ser
Gly 305	Gln	Val	Ser	Gln	Ser 310	Arg	Leu	Asn	Asp	Met 315	Val	Gln	Arg	Ile	Leu 320
Ala	Ala	Trp	Tyr	Leu 325	Leu	Gly	Gln	Asn	Ser 330	Gly	Tyr	Pro	Ser	Ile 335	Asn
Leu	Arg	Ala	Asn 340	Val	Gln	Ala	Asn <sub>.</sub>	His 345	Lys	Glu	Asn	Val	Arg 350	Ala	Val

Ala	Arg	Asp 355	Gly	Ile	Val	Leu	Leu 360	Lys	Asn	Asp	Gly	Ile 365	Leu	Pro	Leu
Gln	Arg 370	Pro	Asn	Lys	Ile	Ala 375	Leu	Val	Gly	Ser	Ala 380	Ala	Val	Val	Asn
Pro 385	Arg	Gly	Met	Asn	Ala 390	Cys	Val	Asp	Arg	Gly 395	Cys	Asn	Glu	Gly	Ala 400
Leu	Gly	Met	Gly	Trp 405	Gly	Ser	Gly	Thr	Val 410	Glu	Tyr	Pro	Tyr	Phe 415	Val
Ala	Pro	Tyr	Asp 420	Ala	Leu	Arg	Glu	Arg 425	Ala	Gln	Arg	Asp	Gly 430	Thr	Gln
Ile	Ser	Leu 435	His	Ala	Ser	Asp	Asn 440	Thr	Asn	Gly	Val	Asn 445	Asn	Ala	Val
Gln	Gly 450	Ala	Asp	Ala	Ala	Phe 455	Val	Phe	Ile	Thr	Ala 460	Asp	Ser	Gly	Glu
Gly 465	Tyr	Ile	Thr	Val	Glu 470	Gly	His	Ala	Gly	Asp 475	Arg	Asn	His	Leu	Asp 480
Pro	Trp	His	Asn	Gly 485	Asn	Gln	Leu	Val	Gln 490	Ala	Val	Ala	Gln	Ala 495	Asn
Lys	Asn	Val	Ile 500	Val	Val	Val	His	Ser 505	Val	Gly	Pro	Val	Ile 510	Leu	Glu
Thr	Ile	Leu 515	Asn	Thr	Pro	Gly	Val 520	Arg	Ala.	Val	Val	Trp 525	Ala	Gly	Leu
Pro	Ser 530	Gln	Glu	Ser	Gly	Asn 535	Ala	Leu	Val	Asp	Val 540	Leu	Tyr	Gly	Leu
Val 545	Ser	Pro	Ser	Gly	Lys 550	Leu	Val	Tyr	Thr	Ile 555	Ala	Lys	Ser	Pro	Ser 560
Asp	Tyr	Pro	Thr	Ser 565	Ile	Val	Arg	Gly	Asp 570	Asp	Asn	Phe	Arg	Glu 575	Gly
Leu	Phe	Ile	Asp 580	Tyr	Arg	His	Phe	Asp 585	Asn	Ala	Arg	Ile	Glu 590	Pro	Arg

Phe Glu Phe Gly Phe Gly Leu Ser Tyr Thr Asn Phe Ser Tyr Ser Asn 595 600 605 Leu Gly Ile Ser Ser Ser Ala Thr Ala Gly Pro Ala Thr Gly Pro Thr 610 615 Val Pro Gly Gly Pro Ala Asp Leu Trp Asn Tyr Val Ala Thr Val Thr 630 635 640 Ala Thr Val Thr Asn Thr Gly Gly Val Glu Gly Ala Glu Val Ala Gln 645 650 Leu Tyr Ile Ser Leu Pro Ser Ser Ala Pro Ala Ser Pro Pro Lys Gln 660 665 670 Leu Arg Gly Phe Val Lys Leu Lys Leu Ala Pro Gly Gln Ser Gly Thr 675 680 685 Ala Thr Phe Arg Leu Arg Lys Arg Asp Leu Ala Tyr Trp Asp Val Gly 690 695 700 Arg Gln Asn Trp Val Val Pro Ser Gly Arg Phe Gly Val Leu Val Gly 705 715 710 720 Ala Ser Ser Arg Asp Ile Arg Leu Gln Gly Glu Ile Val Val 725 730 <210> 27 <211> 1631 <212> ADN <213> Thermoascus aurantiacus <220> <221> Intrón <222> (610)..(674) <223> <220> <221> CDS <222> (675)..(1628) <223> <220> <221> CDS <222> (1)..(609) <223> <400> 27 48

10

15

20

Met 1	Tyr	Gln	Arg	Ala 5	Leu	Leu	Phe	Ser	Phe 10	Phe	Leu	Ala	Ala	Ala 15	Arg	
	cag Gln															96
	cag Gln															144
-	gtt Val 50		_				_		-							192
	aac Asn	_		_			_		-		_		_		-	240
	gtg Val															288
	acc Thr															336
gtc Val	acc Thr	caa Gln 115	agc Ser	tca Ser	Gly	aag Lys	aac Asn 120	att Ile	ggc Gly	tcg Ser	cgc Arg	ctg Leu 125	tac Tyr	ctg Leu	ctg Leu	384
_	gac Asp 130	_				_			_	_	-		_	-		432
	ttc Phe															480
	tac Tyr															528
	aac Asn															576
	cct Pro										gtac	egtea	iga a	igtga	taact	629
agc	cagca	aga g	jccca	atgaa	at ca	ittaa	ictaa	a cgo	tgto	aaa	taca			n Va	t gaa 1 Glu	686
	tgg Trp															734
	tcc Ser	-	_	_		_	_	-		_	_		_			782

	225					230					235					
														atg Met		830
_		_	_	_										gct Ala 270		878
	_	_		_		_	-					_	_	ggc Gly		926
	_						-		-	-		_		aaa Lys		974
														ggc Gly		1022
_	_				_			-	-			-	-	atc Ile		1070
_	_		_	-		_		_						acc Thr 350		1118
		_	-	-	_	_	_	_			_			ggc Gly		1166
														cag Gln		1214
														atg Met		1262
	_	_	_			_		-		-	_	-		cct Pro		1310
-		-			_		_				_	-	-	gac Asp 430	_	1358
	_	Gln					-	_						aag Lys	_	1406
									_	-				ccc Pro		1454
		_							_	-		-		acc Thr		1502

gga agc to Gly Ser Se 480	-		-				
att ggc ta							
gtc ctg aa Val Leu As				-			1631
<210> 28 <211> 521 <212> PRT <213> Thermo	ascus aurantia	acus					
<400>28 Met Tyr G	ln Arg Ala 5	a Leu Leu	Phe Se	r Phe Phe 10	e Leu Ala	Ala Ala	Arg
Ala Gln G	ln Ala Glş 20	Thr Val	Thr Al 25		n His Pro	Ser Leu	Thr
Trp Gln G	ln Cys Ser 5	Ser Gly	Gly Se	r Cys Thi	Thr Gln 45	Asn Gly	Lys
Val Val II	le Asp Ala	Asn Trp	Arg Tr	p Val His	Thr Thr	Ser Gly	Tyr
Thr Asn C	ys Tyr Thr	Gly Asn 70	Thr Tr	p Asp Thr 75	: Ser Ile		Asp 30
Asp Val Ti	nr Cys Ala 85	ı Gln Asn	Cys Al	a Leu Asp 90	Gly Ala	Asp Tyr 95	Ser
Gly Thr Ty	yr Gly Val 100	. Thr Thr	Ser Gl 10	_	ı Leu Arg	Leu Asn I 110	?he
Val Thr G	ln Ser Ser 15	Gly Lys	Asn I1 120	e Gly Ser	Arg Leu 125	Tyr Leu 1	Leu
Gln Asp As	sp Thr Thr	Tyr Gln 135		e Lys Leu	Leu Gly 140	Gln Glu I	Phe
Thr Phe As	sp Val Asp	Val Ser 150	Asn Le	u Pro Cys 155	_		Ala 160

Leu	Tyr	Phe	Val	Ala 165	Met	Asp	Ala	Asp	Gly 170	_	Leu	Ser	Lys	Tyr 175	Pro
Gly	Asn	Lys	Ala 180	Gly	Ala	Lys	Tyr	Gly 185	Thr	Gly	Tyr	Cys	Asp 190	Ser	Gln
Cys	Pro	Arg 195	Asp	Leu	Lys	Phe	Ile 200	Asn	Gly	Gln	Ala	Asn 205	Val	Glu	Gly
Trp	Gln 210	Pro	Ser	Ala	Asn	Asp 215	Pro	Asn	Ala	Gly	Val 220	Gly	Asn	His	Gly
Ser 225	Cys	Cys	Ala	Glu	Met 230	Asp	Val	Trp	Glu	Ala 235	Asn	Ser	Ile	Ser	Thr 240
Ala	Val	Thr	Pro	His 245	Pro	Cys	Asp	Thr	Pro 250	Gly	Gln	Thr	Met	Cys 255	Gln
Gly	Asp	Asp	Cys 260	Gly	Gly	Thr	Tyr	Ser 265	Ser	Thr	Arg	Tyr	Ala 270	Gly	Thr
Суз	Asp	Pro 275	Asp	Gly	Cys	Asp	Phe 280	Asn	Pro	Tyr	Arg	Gln 285	Gly	Asn	His
Ser	Phe 290	Tyr	Gly	Pro	Gly	G1n 295	Ile	Val	Asp	Thr	Ser 300	Ser	Lys	Phe	Thr
Va1 305	Val	Thr	Gln	Phe	Ile 310	Thr	Asp	Asp	Gly	Thr 315	Pro	Ser	Gly	Thr	Leu 320
Thr	Glu	Ile	Lys	Arg 325	Phe	Tyr	Val	Gln	Asn 330	Gly	Lys	Val	Ile	Pro 335	Gln
Ser	Glu	Ser	Thr 340	Ile	Ser	Gly	Val	Thr 345	Gly	Asn	Ser	Ile	Thr 350	Thr	Glu
Tyr	Cys	Thr 355	Ala	Gln	Lys	Ala	Ala 360	Phe	Gly	Asp	Asn	Thr 365	Gly	Phe	Phe
Thr	His 370	Gly	Gly	Leu	Gln	Lys 375	Ile	Ser	Gln	Ala	Leu 380	Ala	Gln	Gly	Met
Val 385	Leu	Val	Met	Ser	Leu 390	Trp	Asp	Asp	His	Ala 395	Ala	Asn	Met	Leu	Trp 400
Leu	Asp	Ser	Thr	Tyr	Pro	Thr	Asp	Ala	Asp	Pro	Asp	Thr	Pro	Gly	Val

405 410 415 Ala Arg Gly Thr Cys Pro Thr Thr Ser Gly Val Pro Ala Asp Val Glu 420 425 430 Ser Gln Tyr Pro Asn Ser Tyr Val Ile Tyr Ser Asn Ile Lys Val Gly 435 440 Pro Ile Gly Ser Thr Gly Asn Pro Ser Gly Gly Asn Pro Pro Gly Gly 450 455 Asn Pro Pro Gly Thr Thr Thr Arg Arg Pro Ala Thr Thr Gly 470 475 465 480 Ser Ser Pro Gly Pro Thr Gln Ser His Tyr Gly Gln Cys Gly Gly Ile 490 485 495 Gly Tyr Ser Gly Pro Thr Val Cys Ala Ser Gly Thr Thr Cys Gln Val 500 505 510 Leu Asn Pro Tyr Tyr Ser Gln Cys Leu 515 <210> 29 <211> 1734 <212> ADN <213> Thermoascus aurantiacus <220> <221> Intrón 10 <222> (610)..(674) <223> <220> <221> CDS <222> (1726)..(1731) 15 <220> <221> CDS 20 <222> (675)..(1661) <223> <220> <221> CDS 25 <222> (1)..(609) <223> <220> <221> Intrón 30 <222> (1662)..(1725) <223>

	tat										ctc					48
Met 1	Tyr	Gln	Arg	Ala 5	Leu	Leu	Phe	Ser	Phe 10	Phe	Leu	Ala	Ala	Ala 15	Arg	
											cac His					96
											acg Thr					144
											acc Thr 60					192
											agt Ser					240
											gga Gly					288
											ctg Leu					336
											cgc Arg					384
											ctg Leu 140					432
	Phe	Asp	Val	Asp	Val	Ser	Asn	Leu	Pro	Cys	ggg Gly	Leu	Asn	Gly	Ala	480
											ttg Leu					528
											tac Tyr					576
									ggt Gly		gtac	gtca:	iga a	igtga	taact	629
agco	eagca	iga g	gecea	itga <i>a</i>	it ca	ittaa	ictaa	. cgc	etgto	aaa	taca			n Va	t gaa 1 Glu	

			ccg Pro													734	
			tgc Cys													782	
			acg Thr													830	
			gac Asp													878	
	_	_	cct Pro 275	_		_	_					_	_	Ğİy		926	
			tac Tyr													974	
	_	_	acc Thr	_				-	-							1022	
_	_		atc Ile		-			_	_			_	_			1070	
-			tcg Ser	_		-		_								1118	
		_	acg Thr 355	_	_	_	_	_			-					1166	
ttc Phe	acg Thr	cac His 370	ggc Gly	G1y ggg	ctt Leu	cag Gln	aag Lys 375	atc Ile	agt Ser	cag Gln	gct Ala	ctg Leu 380	gct Ala	cag Gln	ggc Gly	1214	
			gtc Val													1262	
			agc Ser													1310	
			ggt Gly													1358	
			tac Tyr 435													1406	

Gly Pro				acc gto Thr Va											1454
aac ccc Asn Pro 465	Thr		-	-	l Pro		_						_		1502
ccg acc Pro Thi 480	_	_	Thr S	_		-	_		_			_			1550
Gly Gly	_	Thr		_			_	-							1598
acc ggo Thr Gly														•	1646
ccc tgg Pro Tr	-	_		gtatgti	tct (	cttcc	ccct	t ct	agac	tcgo	tt:	ggat	ttga		1701
cagttgo	ctaa c	atct	gctca	acag	tgc ( Cys )	-	aa								1734
<210> 30 <211> 53 <212> PF <213> Th	4 RT	scus a	urantia	acus											
<400> 30 Met Ty 1		n Ar	g Al 5	a Leu	Leu	Phe	Ser	Pho 10	e Ph	e L	eu 1	Ala	Ala	Ala 15	Arg
Met Ty	r Gl		5 a G1					10				?ro		15	
Met Ty 1	yr Gl in Gl	n Al 20	5 a G1	y Thr	Val	Thr	Ala 25	10 G1:	u As	n H	is I	Pro	Ser 30	15 Leu	Thr
Met Ty 1 Ala Gl	r Gl in Gl .n Gl .s 35	n Al 20 n Cy	5 a Gl s Se	y Thr r Ser	Val Gly	Thr Gly 40	Ala 25 Ser	10 Gli Cy:	u As	n H	is H hr (	Pro Sln 15	Ser 30 Asn	15 Leu Gly	Thr
Met Ty  1  Ala Gl  Trp Gl  Val Va	or Gl	n Al 20 n Cy e As	5 a Gl s Se	y Thr r Ser a Asn	Val Gly Trp 55	Thr Gly 40	Ala 25 Ser	10 Gli Cy:	u As s Th	n H r T	is H hr (	Pro Sln 45 Thr	Ser 30 Asn Ser	Leu Gly	Thr Lys Tyr
Met Ty  1  Ala GI  Trp GI  Val Va  50  Thr As	or Gl in Gl in Gl 35 il Il	n Al 20 n Cy e As	5 a Gl s Se p Al r Th	y Thr r Ser a Asn r Gly 70	Val Gly Trp 55	Thr Gly 40 Arg	Ala 25 Ser Trp	10 Gli Cy: Va:	u As s Th l Hi c Th 75	n Hr T	is H hr (	Pro Sln 45 Thr	Ser 30 Asn Ser	Leu Gly Gly	Thr Lys Tyr Asp

Tyr	Суз	Thr 355	Ala	Gln	Lys	Ala	Ala 360	Phe	Gly	Asp	Asn	Thr 365	Gly	Phe	Phe
Thr	His 370	Gly	Gly	Leu	Gln	Lys 375	Ile	Ser	Gln	Ala	Leu 380	Ala	Gln	Gly	Met
Val 385	Leu	Val	Met	Ser	Leu 390	Trp	Asp	Asp	His	Ala 395	Ala	Asn	Met	Leu	Trp 400
Leu	Asp	Ser	Thr	Tyr 405	Pro	Thr	Asp	Ala	Asp 410	Pro	Asp	Thr	Pro	Gly 415	Val
Ala	Arg	Gly	Thr 420	Суз	Pro	Thr	Thr	Ser 425	Gly	Val	Pro	Ala	Asp 430	Val	Glu
Ser	Gln	Tyr 435	Pro	Asn	Ser	Tyr	Val 440	Ile	Tyr	Ser	Asn	Ile 445	Lys	Val	Gly
Pro	Ile 450	Gly	Ser	Thr	Val	Pro 455	Gly	Leu	Asp	Gly	Ser 460	Asn	Pro	Gly	Asn
Pro 465	Thr	Thr	Thr	Val	Val 470	Pro	Pro	Ala	Ser	Thr 475	Ser	Thr	Ser	Arg	Pro 480
Thr	Ser	Ser	Thr	Ser 485	Ser	Pro	Val	Ser	Thr 490	Pro	Thr	Gly	Gln	Pro 495	Gly
Gly	Cys	Thr	Thr 500	Gln	Lys	Trp	Gly	Gln 505	Суз	Gly	Gly	Ile	Gly 510	Tyr	Thr
Gly	Суѕ	Thr 515	Asn	Cys	Val	Ala	Gly 520	Thr	Thr	Cys	Thr	Gln 525	Leu	Asn	Pro
Trp	Tyr 530	Ser	Gln	Cys	Leu										

#### REIVINDICACIONES

1. Un método para tratar material celulósico con celobiohidrolasa, endoglucanasa, y beta-glucosidasa, por medio del cual dicha celobiohidrolasa es una proteína de fusión que comprende una región núcleo de celobiohidrolasa anclada a un dominio de unión a celulosa, y comprende una secuencia de aminoácidos que tiene una identidad de al menos 80% con el SEQ ID NO: 28 o 30, y en donde dicha región núcleo tiene una identidad de al menos 95% con el SEQ ID NO: 2.

5

25

- 2. El método de la reivindicación 1, en donde la endoglucanasa comprende una secuencia de aminoácidos que tiene una identidad de al menos 80% con el SEQ ID NO: 10, 12, 14 o 16, o con un fragmento del mismo que tiene actividad endoglucanasa.
- 10 3. El método de la reivindicación 2, en donde la endoglucanasa es obtenible de *Thermoascus aurantiacus*, *Acremonium thermophilum*, o *Chaetomium thermophilum*.
  - 4. El método de la reivindicación 3, en donde la endoglucanasa es obtenible de *Thermoascus aurantiacus* CBS 116239, *Acremonium thermophilum* CBS 116240, o *Chaetomium thermophilum* CBS 730.95.
- 5. El método de la reivindicación 1, en donde la beta-glucosidasa comprende una secuencia de aminoácidos que tiene una identidad de al menos 80% con el SEQ ID NO: 22, 24 o 26, o con un fragmento del mismo que tiene actividad beta-glucosidasa.
  - 6. El método de la reivindicación 5, en donde la beta-glucosidasa es obtenible de *Thermoascus aurantiacus*, *Acremonium thermophilum*, o *Chaetomium thermophilum*, preferiblemente de *Thermoascus aurantiacus* CBS 116239, *Acremonium thermophilum* CBS 116240, o *Chaetomium thermophilum* CBS 730.95.
- 20 7. El método de una cualquiera de las reivindicaciones anteriores, en donde el material celulósico es material lignocelulósico.
  - 8. El método de una cualquiera de las reivindicaciones anteriores, que comprende tratar material lignocelulósico con al menos una enzima adicional, preferiblemente una xilanasa que comprende preferiblemente una secuencia de aminoácidos que tiene una identidad de al menos 80% con el SEQ ID NO: 18 o 20, o con un fragmento del mismo que tiene actividad xilanasa.
  - 9. El método de la reivindicación 8, en donde la xilanasa es obtenible de *Thermoascus aurantiacus* o *Acremonium thermophilum*, preferiblemente de *Thermoascus aurantiacus* CBS 116239, o *Acremonium thermophilum* CBS 116240
- 10. El método de una cualquiera de las reivindicaciones anteriores, en donde las enzimas se añaden al material celulósico o bien simultáneamente o bien sucesivamente.
  - 11. El método de una cualquiera de las reivindicaciones anteriores, en donde al menos una de las enzimas está codificada por un gen similar al incluido en un microorganismo que tiene el número de acceso DSM 17326, DSM 17324, DSM 17323, DSM 17729, DSM 16724, DSM 16726, DSM 16725, DSM 17325 o DSM 17667.
- 12. El método de la reivindicación 1, en donde el material celulósico se selecciona del grupo que consiste en rastrojo de maíz, pasto varilla, paja de cereales, bagazo de caña de azúcar y materiales derivados de madera.
  - 13. Una preparación de enzima que comprende celobiohidrolasa, endoglucanasa, y beta-glucosidasa, en donde dicha celobiohidrolasa es una proteína de fusión que comprende una región núcleo de celobiohidrolasa anclada a un dominio de unión a celulosa, y comprende una secuencia de aminoácidos que tiene una identidad de al menos 80% con el SEQ ID NO: 28 o 30, y en donde dicha región núcleo tiene una identidad de al menos 95% con el SEQ ID NO: 2
  - 14. La preparación de enzima de la reivindicación 13, en donde la endoglucanasa comprende una secuencia de aminoácidos que tiene una identidad de al menos 80% con el SEQ ID NO: 10, 12, 14 o 16, o con un fragmento del mismo que tiene actividad endoglucanasa.
- 15. La preparación de enzima de la reivindicación 14, en donde la endoglucanasa es obtenible de *Thermoascus* aurantiacus, Acremonium thermophilum, o Chaetomium thermophilum, preferiblemente de *Thermoascus* aurantiacus CBS 116239, Acremonium thermophilum CBS 116240, o Chaetomium thermophilum CBS 730.95.
  - 16. La preparación de enzima de la reivindicación 13, en donde la beta-glucosidasa comprende una secuencia de aminoácidos que tiene una identidad de al menos 80% con el SEQ ID NO: 22, 24 o 26, o con un fragmento del mismo que tiene actividad beta-glucosidasa.
- 50 17. La preparación de enzima de la reivindicación 16, en donde la beta-glucosidasa es obtenible de *Thermoascus* aurantiacus, Acremonium thermophilum, o Chaetomium thermophilum, preferiblemente de *Thermoascus* aurantiacus CBS 116239, Acremonium thermophilum CBS 116240, o Chaetomium thermophilum CBS 730.95.

- 18. La preparación de enzima de una cualquiera de las reivindicaciones 13-17, que comprende al menos una enzima adicional, preferiblemente una xilanasa que comprende preferiblemente una secuencia de aminoácidos que tiene una identidad de al menos 80% con el SEQ ID NO: 18 o 20, o con un fragmento del mismo que tiene actividad xilanasa.
- 5 19. La preparación de enzima de la reivindicación 18, en donde la xilanasa es obtenible de *Thermoascus aurantiacus* o *Acremonium thermophilum*, preferiblemente de *Thermoascus aurantiacus* CBS 116239 o *Acremonium thermophilum* CBS 116240.

10

- 20. La preparación de enzima de una cualquiera de las reivindicaciones 13-19, en donde al menos una de las enzimas está codificada por un gen similar al incluido en un microorganismo que tiene el número de acceso DSM 17326, DSM 17324, DSM 17323, DSM 17729, DSM 16724, DSM 16726, DSM 16725, DSM 17325 o DSM 17667.
- 21. La preparación de enzima de la reivindicación 13, que está en forma de medio de cultivo gastado, o polvos, gránulos, o líquido.
- 22. El método de una cualquiera de las reivindicaciones 1-12, o la preparación de enzima de una cualquiera de las reivindicaciones 13-21, en donde la proteína de fusión comprende una secuencia de aminoácidos que tiene el SEQ ID NO: 28 o el SEQ ID NO: 30.
- 23. El uso de una preparación de enzima de una cualquiera de las reivindicaciones 13-22 para la degradación de material celulósico.
- 24. El uso de la reivindicación 23, en donde el material celulósico se selecciona del grupo que consiste en rastrojo de maíz, pasto varilla, paja de cereales, bagazo de caña de azúcar y materiales derivados de madera.
- 25. El uso del método de acuerdo con una cualquiera de las reivindicaciones 1-12 o 22 en un procedimiento para preparar etanol a partir de material celulósico.

Fig. 1A.

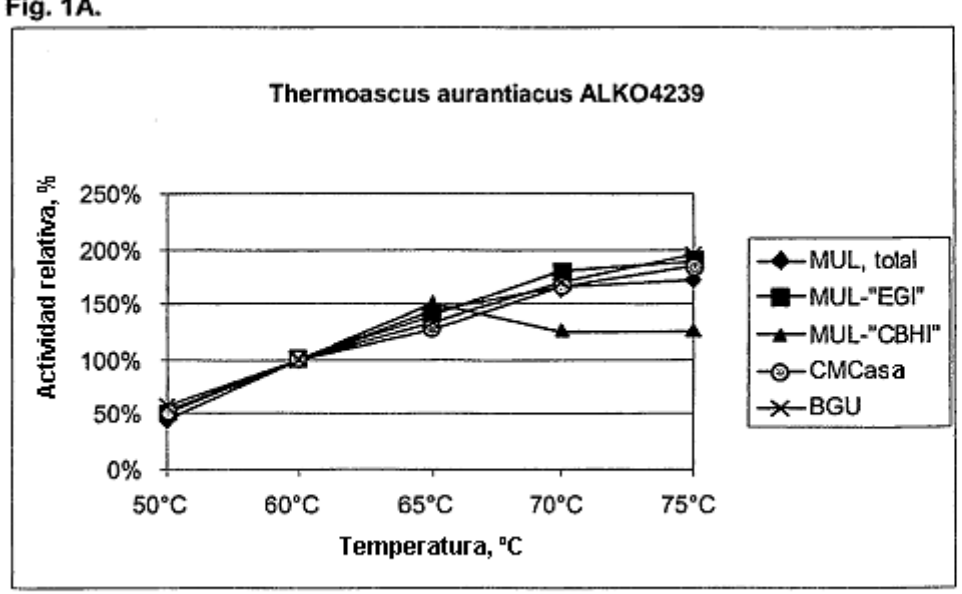


Fig. 1B.

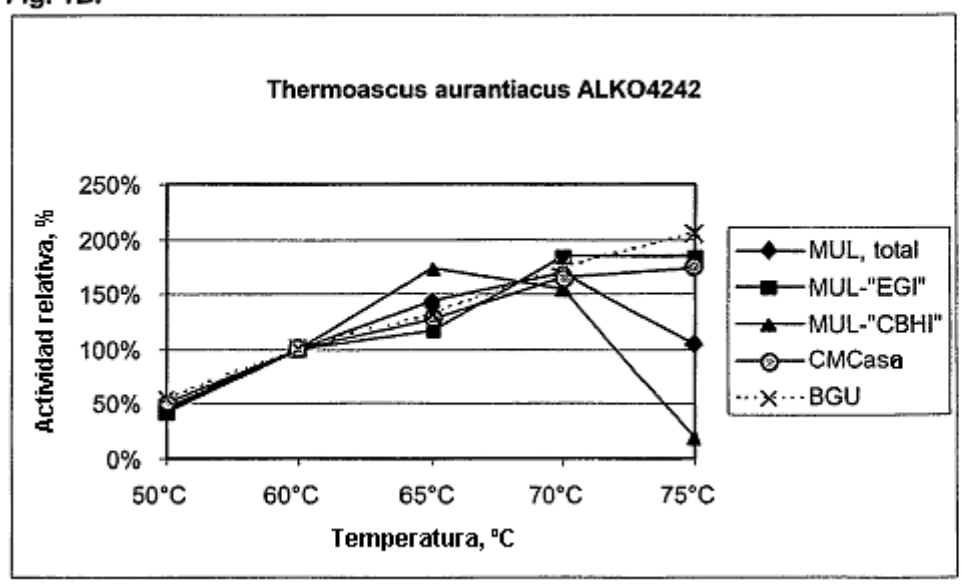


Fig. 1C.

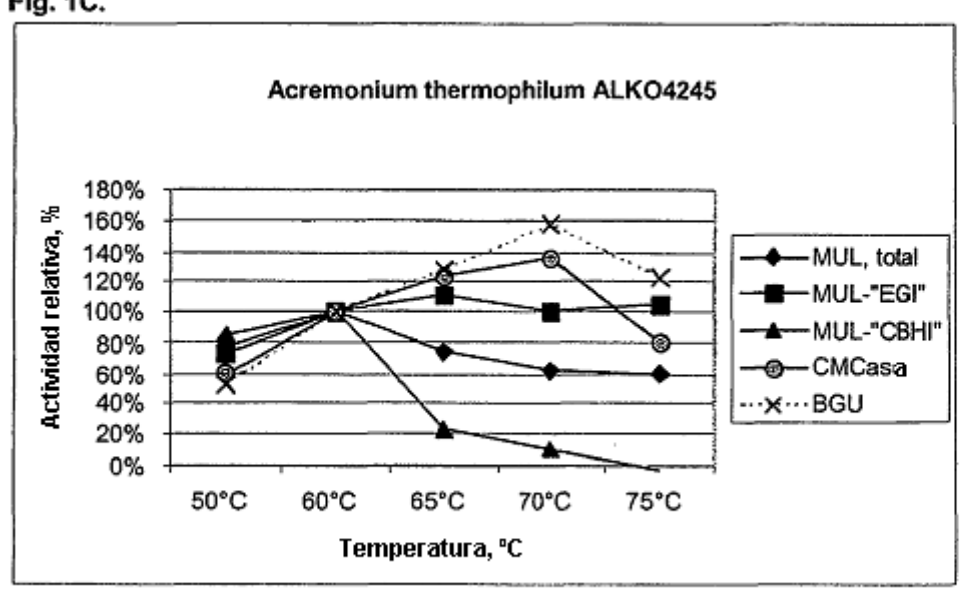


Fig. 1D.

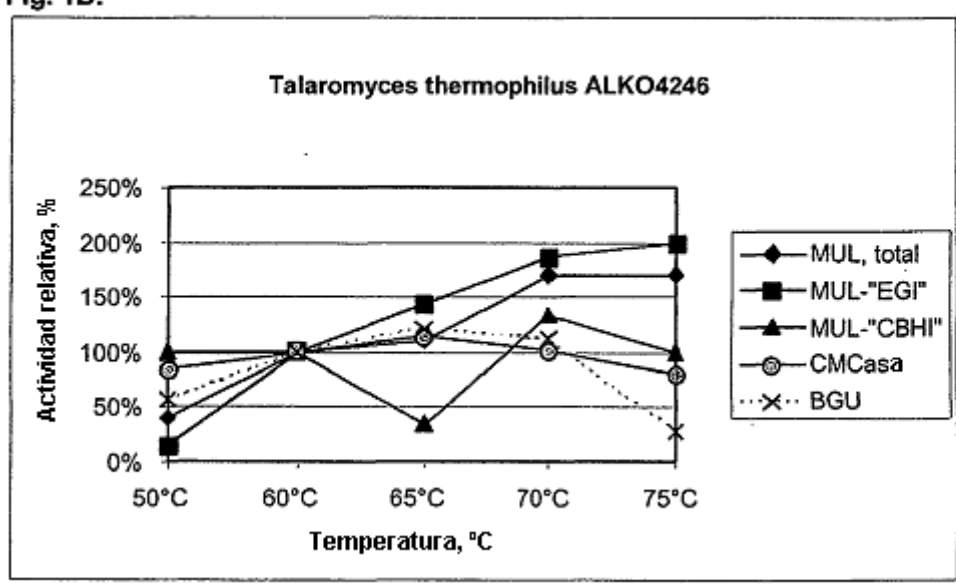


Fig. 1E.

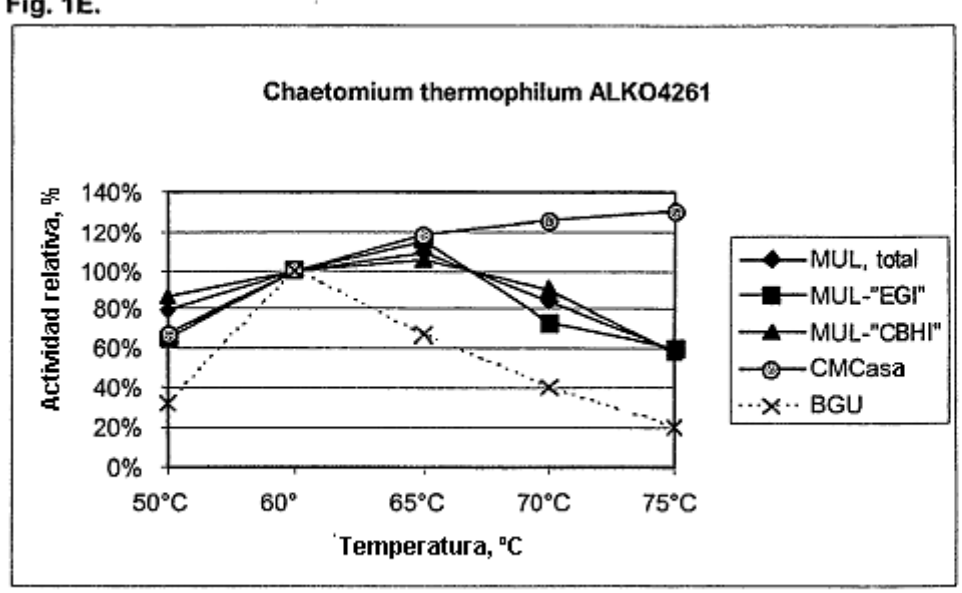


Fig. 1F.

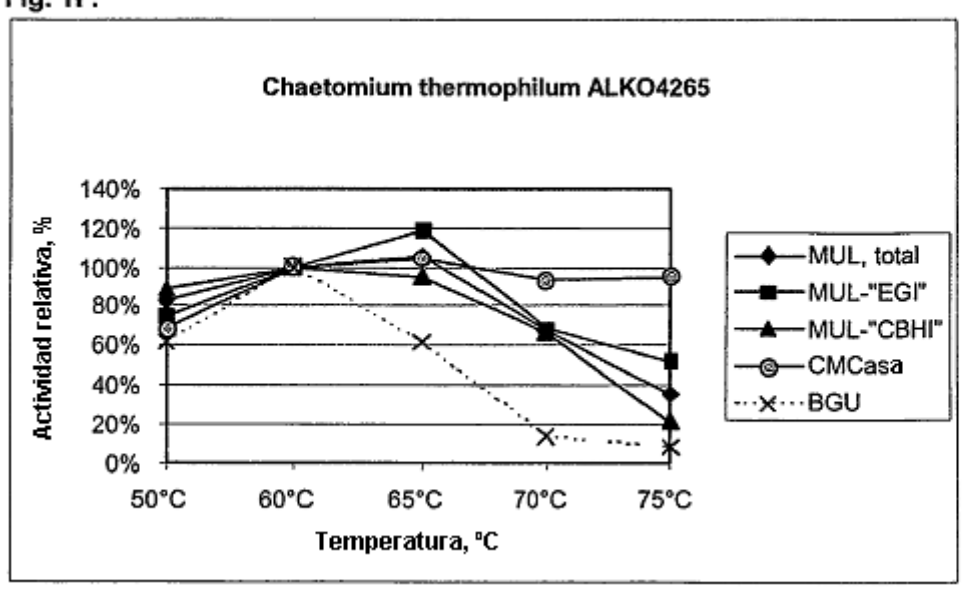
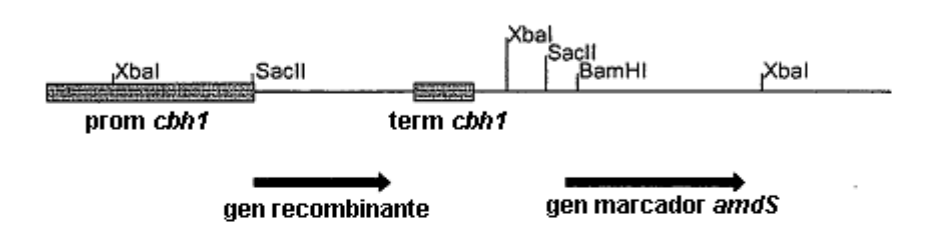
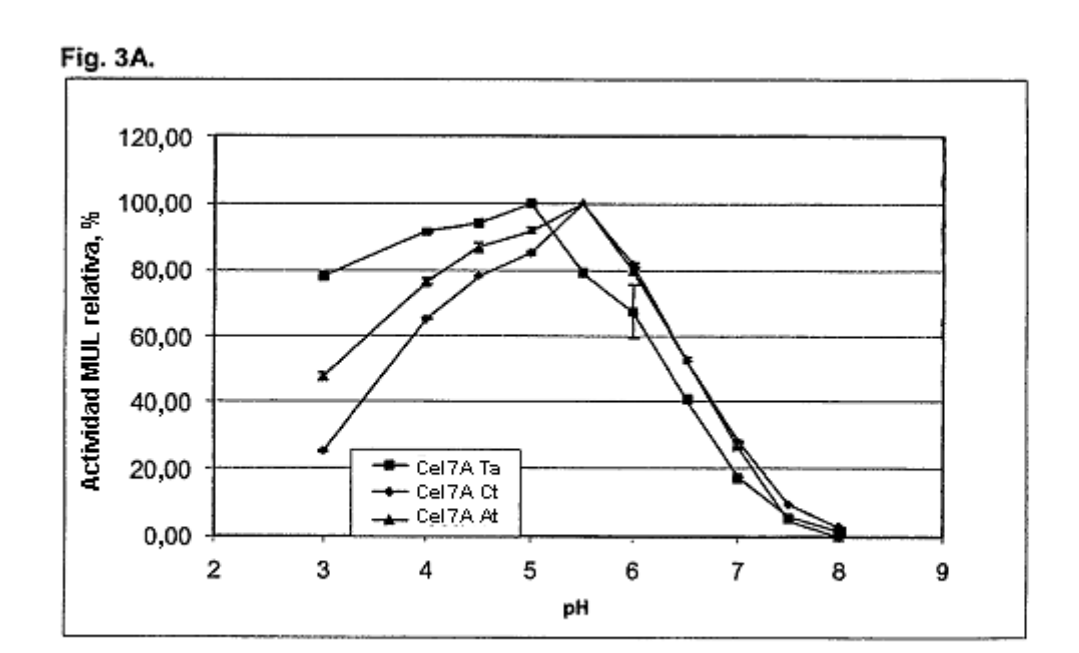


Fig. 2.





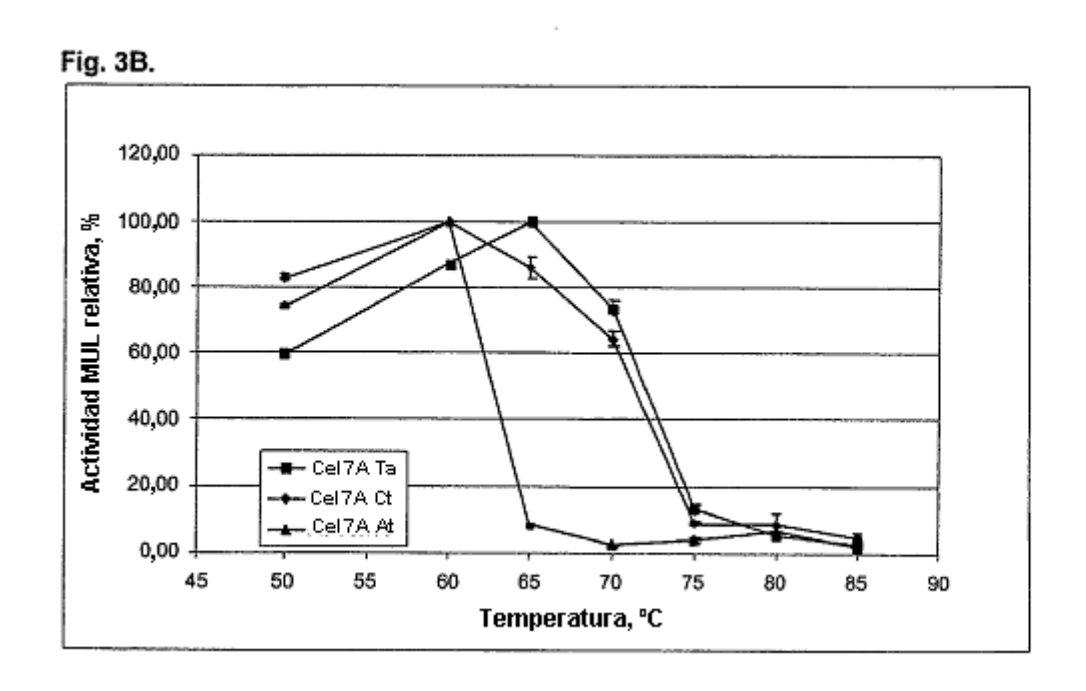


Fig. 4A.

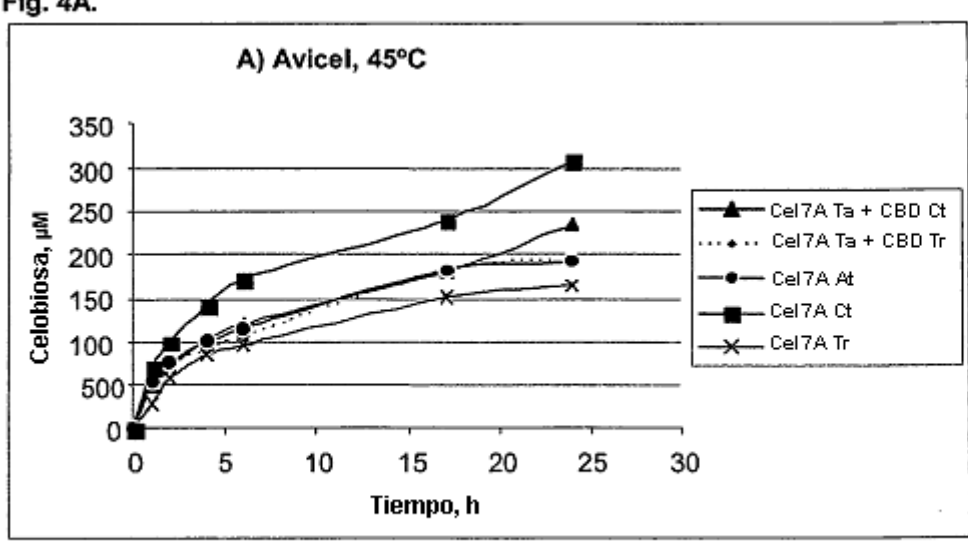


Fig. 4B.

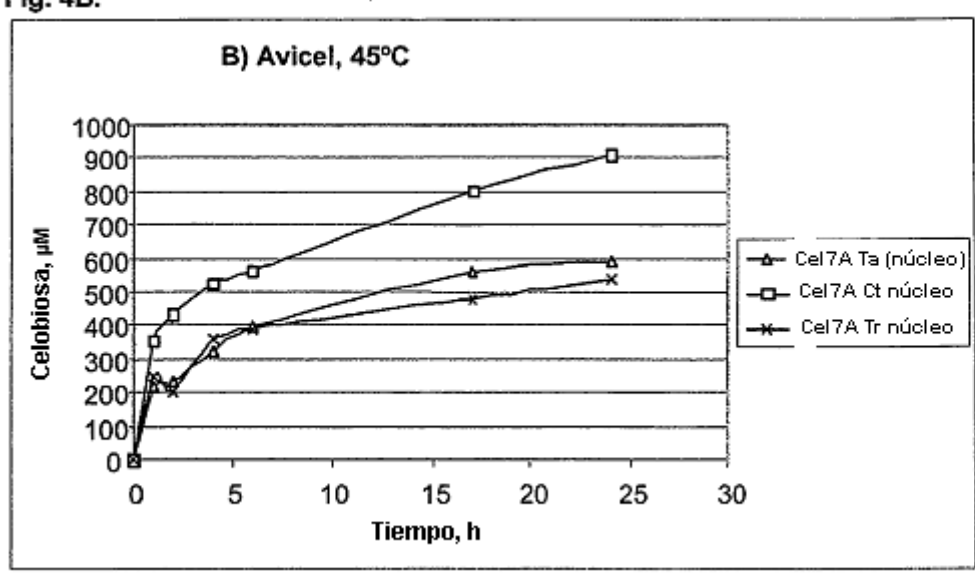


Fig. 5A.

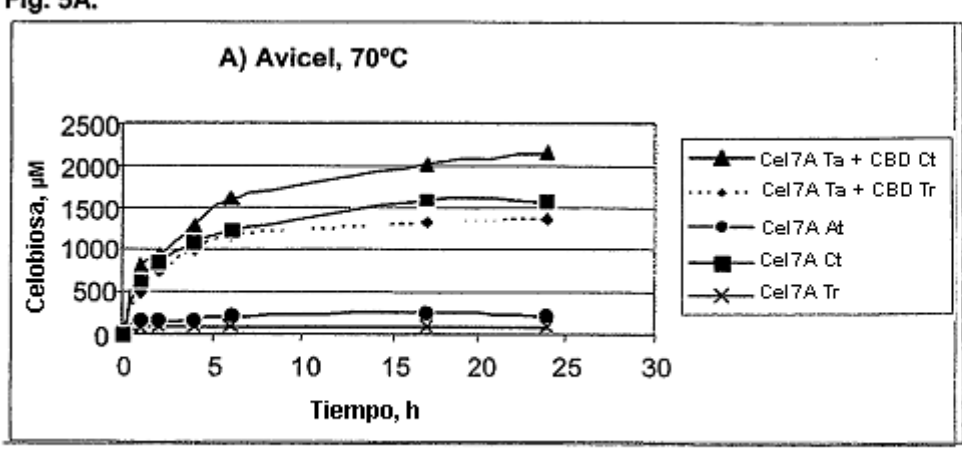
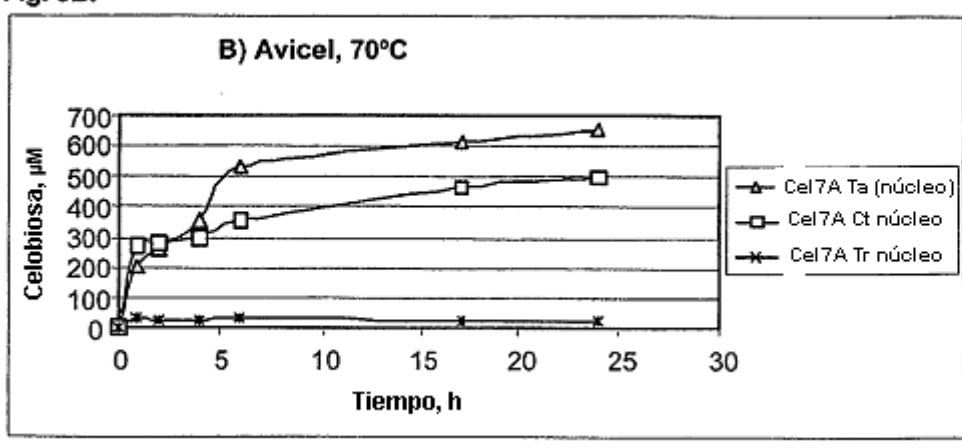
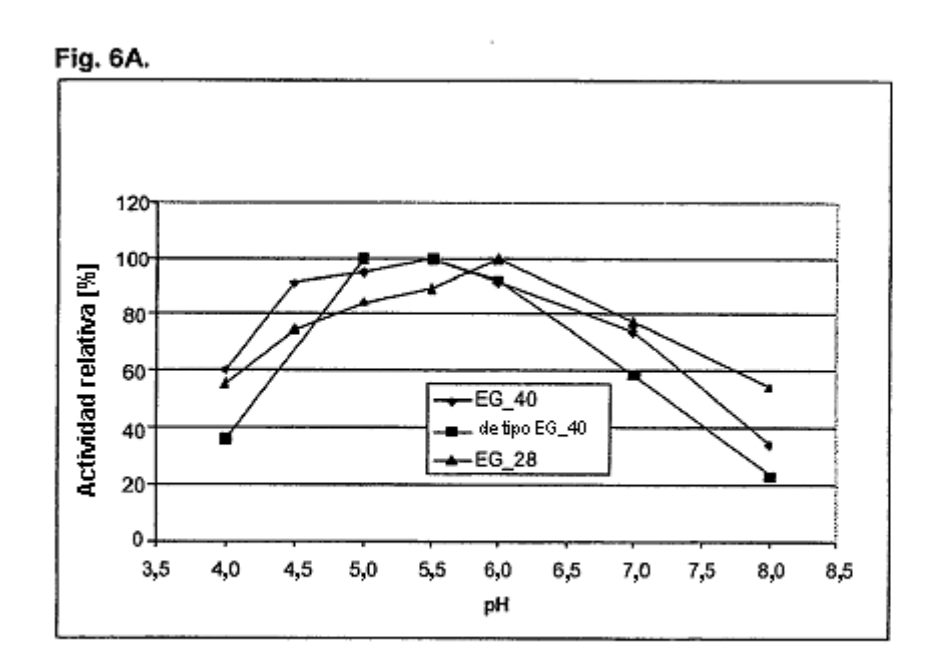
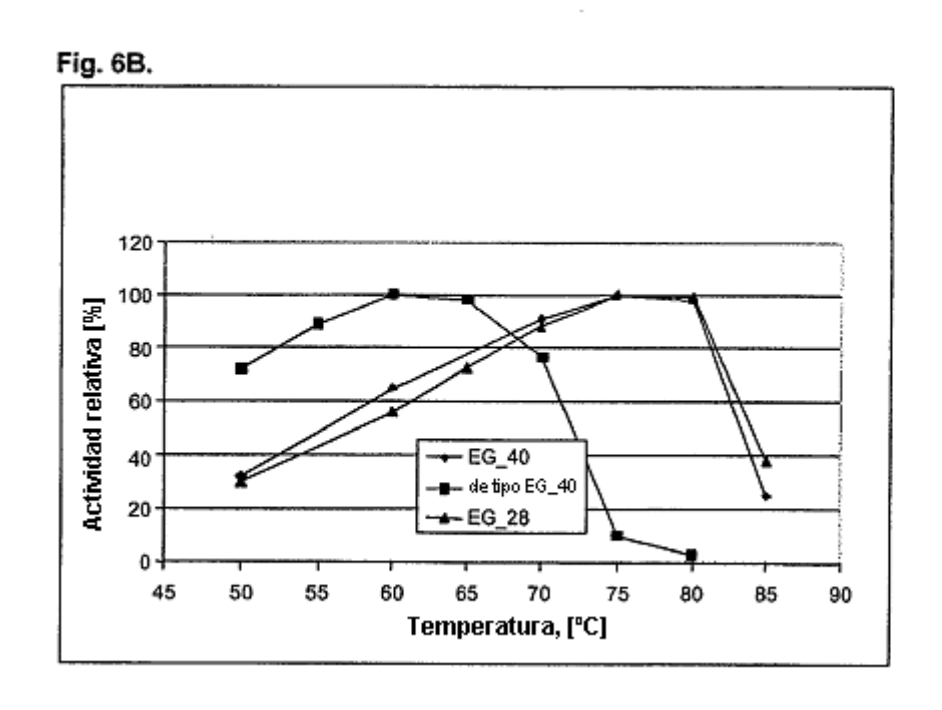
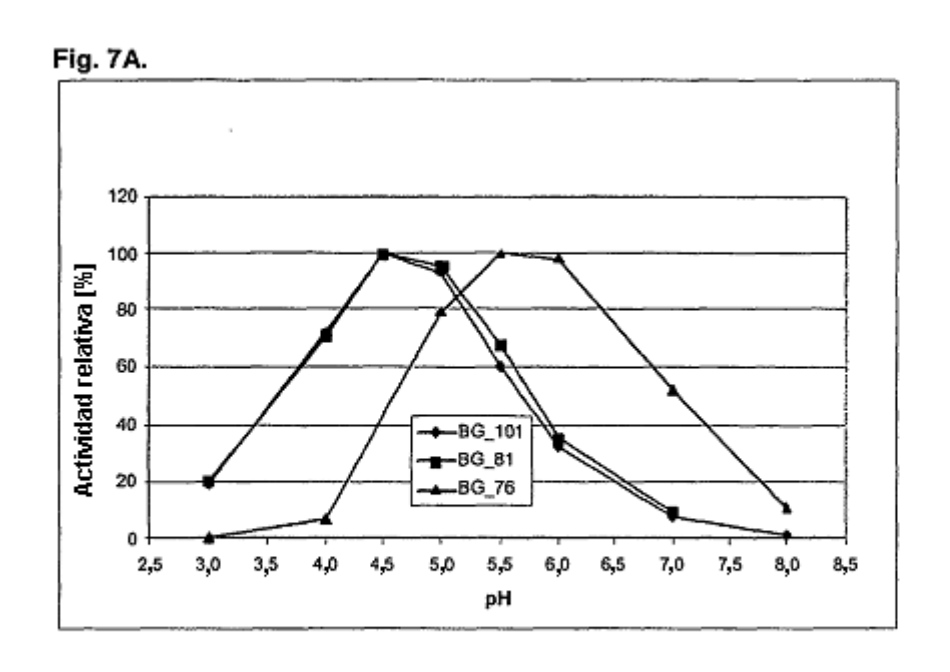


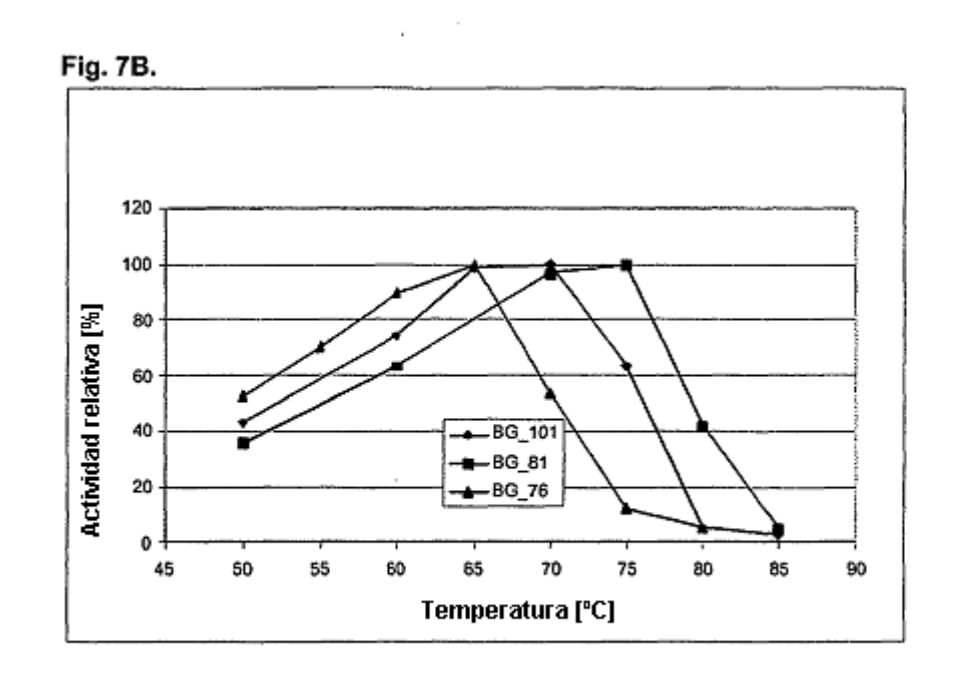
Fig. 5B.

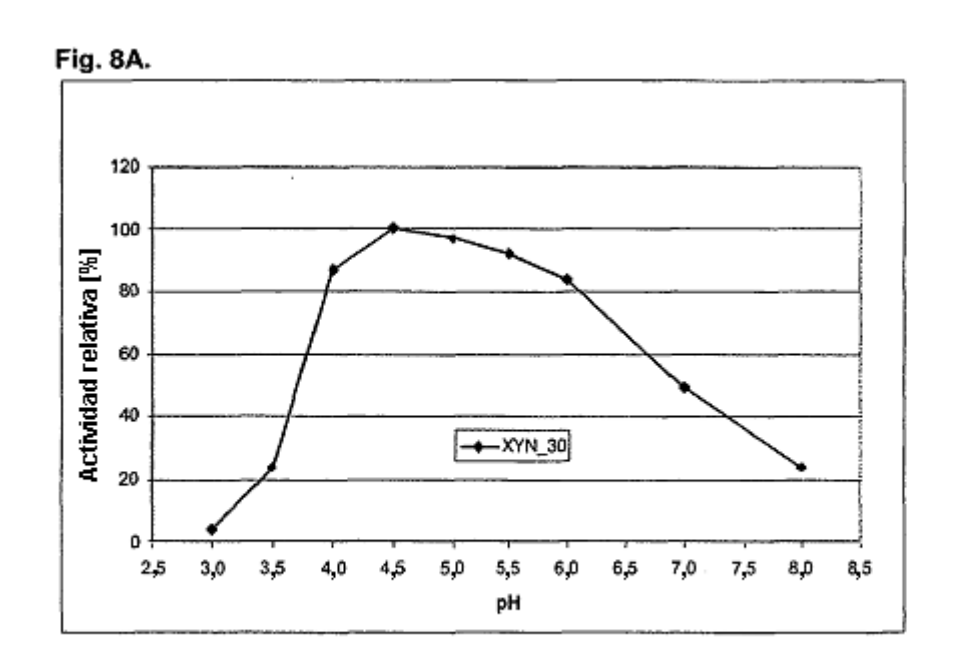


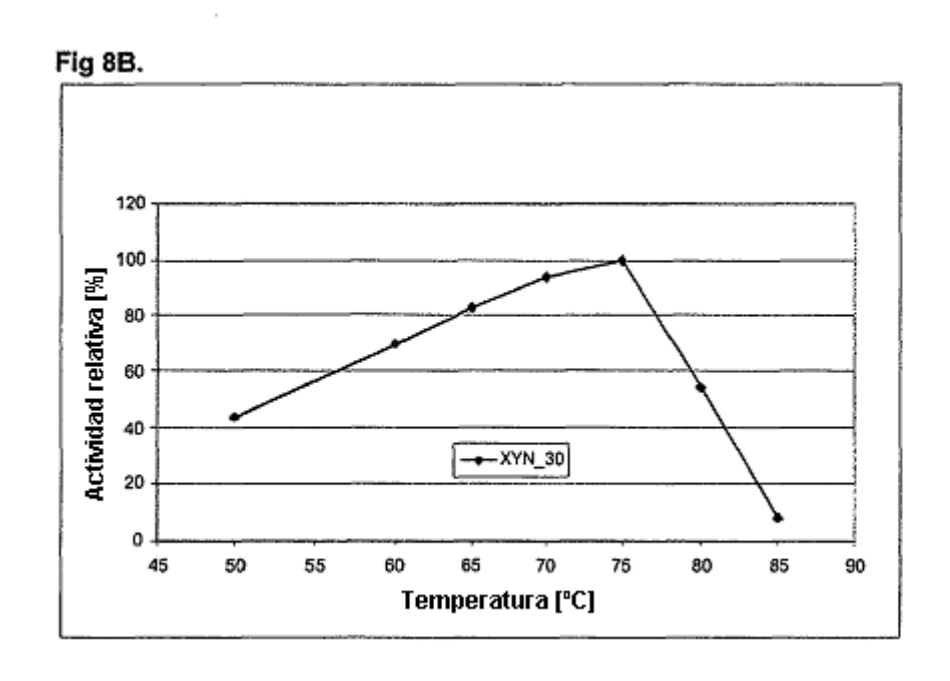


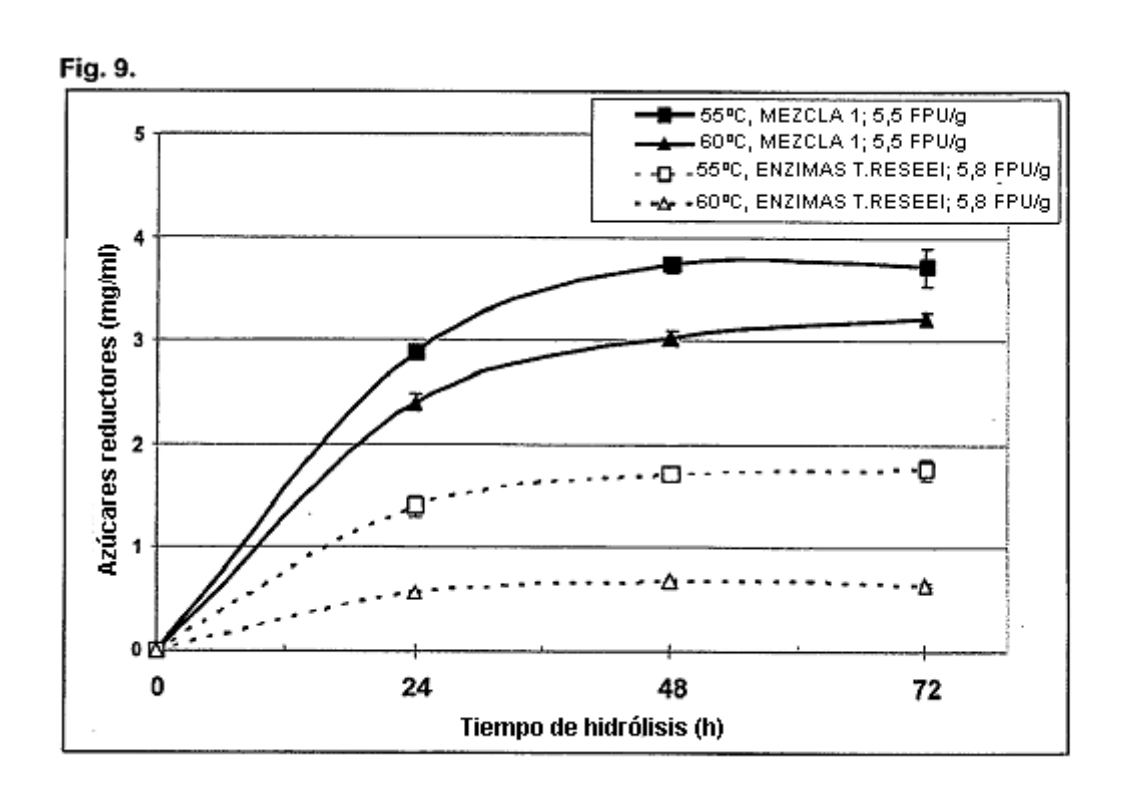














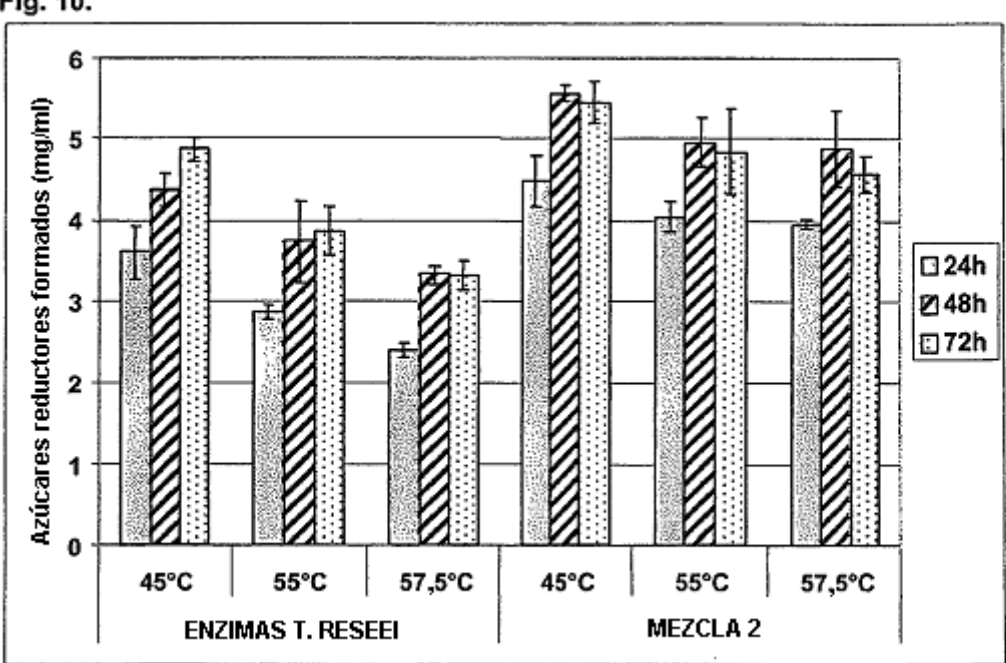


Fig. 11.

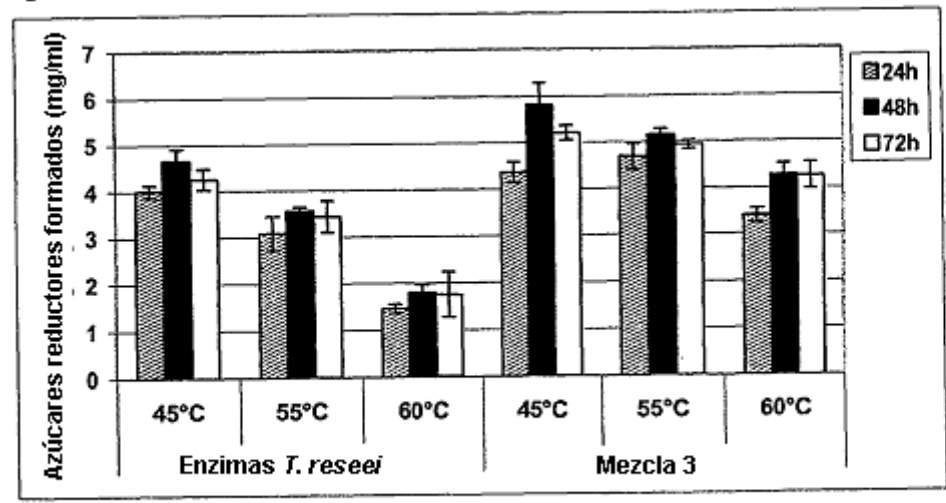


Fig. 12.

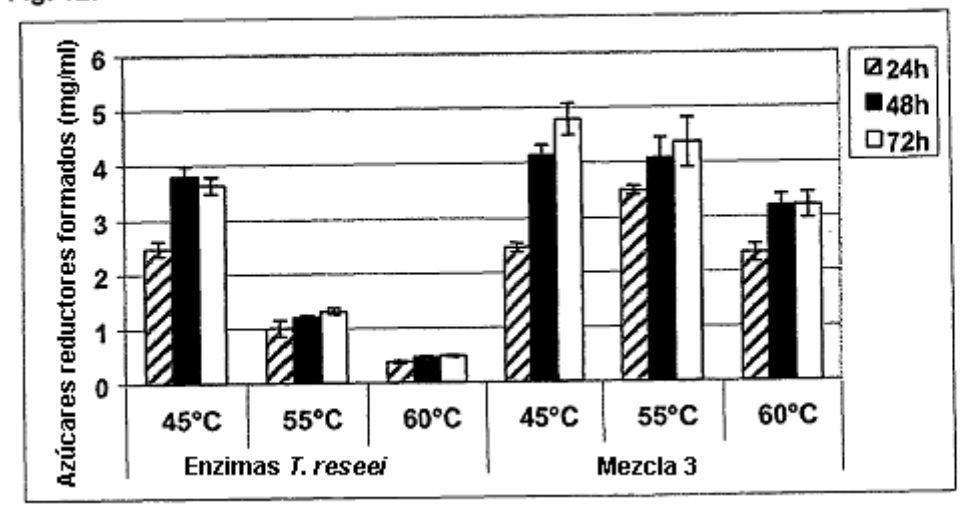


Fig. 13.

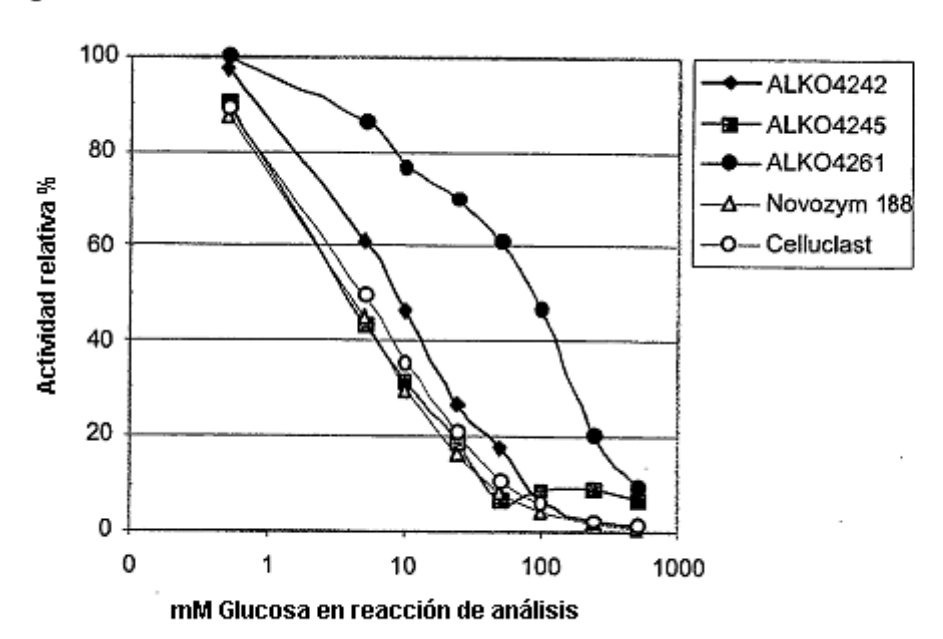
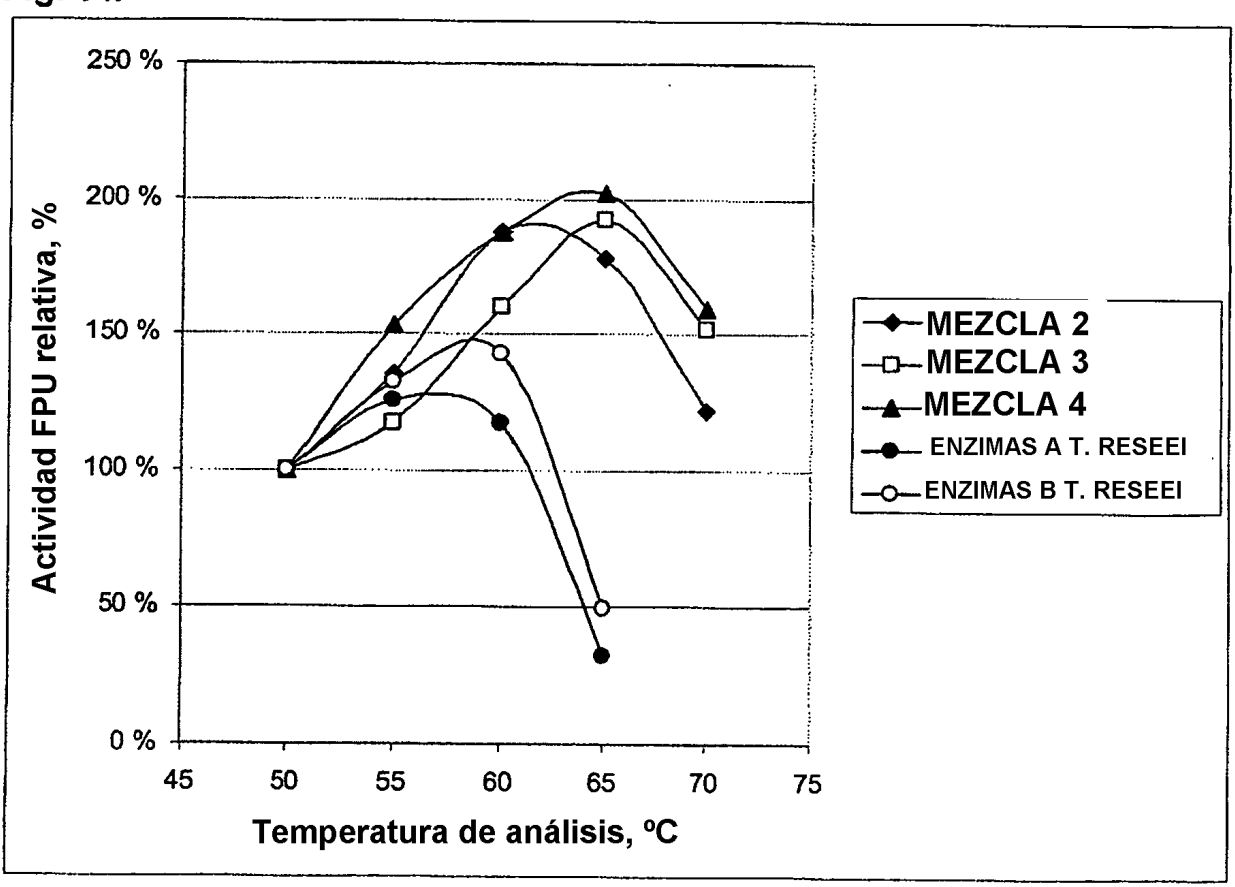
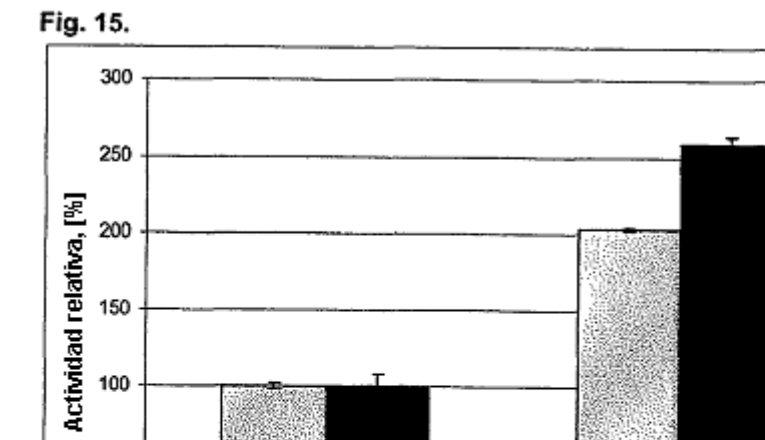


Fig. 14.



NBG81

12 A47 ■ Rut C-30



NO

150

100